

Amt für Umwelt

Hochwasserschutz • (



Hochwasserschutz und Revitalisierung Emme Wehr Biberist bis Aare

Erfolgskontrolle Erhebung Ausgangszustand







28.08.2015









Änderungsnachweis

Version	Datum	Bezeichnung der Änderungen	Verteiler
1	28.08.15	1. Entwurf	AfU, TBF
2			
3			
4			

Genehmigt / geprüft

Adresse Auftraggeber Adresse Auftragnehmer

Amt für Umwelt des Kantons Solothurn INGE M^E

Werkhofstrasse 5 c/o IC Infraconsult AG
4509 Solothurn Kasernenstrasse 27

3013 Bern

Kontaktperson: Roger Dürrenmatt Kontaktperson: Nicole Schiltknecht

Telefon: +41 (0)32 627 27 67 Telefon: +41 (0)31 359 24 22

Fax: +41 (0)32 627 76 93 Fax: -

Mail: roger.duerrenmatt@bd.so.ch Mail: nicole.schiltknecht@infraconsult.ch

Inhaltsverzeichnis

ZUSAMMENFASSUNG	7
EINLEITUNG	12
1.1 KONZEPT	12
1.2 Basiserhebungen	15
1.2.1 Numerisch hydraulische 2D-Modelle	16
1.2.2 Habitattypenkartierung	16
1.3 BEWERTUNG	16
2 ÜBERFLUTUNGSDYNAMIK	18
2.1 BESCHRIEB	
2.2 METHODE ERHEBUNG UND AUSWERTUNG	
2.2.1 Emmenschachen	
2.2.2 Schwarzweg	
2.2.3 Papierfabrik	
2.3 RESULTATE	23
2.4 Kurzdiskussion	22
3 GESCHIEBEHAUSHALT	21
3.1 BESCHRIEB	
3.2 METHODE ERHEBUNG UND AUSWERTUNG	
3.3 RESULTATE	
3.4 Kurzdiskussion	27
4 WASSERTEMPERATUR	29
4.1 BESCHRIEB	29
4.2 METHODE ERHEBUNG UND AUSWERTUNG	29
4.3 RESULTATE	30
4.4 Kurzdiskussion	31
5 HYDROMORPHOLOGISCHER INDEX DER DIVERSITÄT (I	HMID)33
5.1 BESCHRIEB	33
5.2 METHODE ERHEBUNG UND AUSWERTUNG	35
5.2.1 Emmenschachen	
5.2.2 Schwarzweg	
5.2.3 Papierfabrik	
5.3 RESULTATE	43

	5.3.1	Emmenschachen	43
	5.3.2	Schwarzweg	44
	5.3.3	Papierfabrik	44
5.4	KUF	RZDISKUSSION	44
6 5	SOHLE	NSTRUKTUR	46
6.1	BES	SCHRIEB	46
6.2	. Me	THODE ERHEBUNG UND AUSWERTUNG	46
6.3	RES	SULTATE	48
	6.3.1	Emmenschachen	
	6.3.2	Schwarzweg	
	6.3.3	Papierfabrik	
6.4	. Kuf	RZDISKUSSION	57
7 L	JFERS	TRUKTUR	60
7.1	BES	SCHRIEB	60
7.2	. Me	THODE ERHEBUNG UND AUSWERTUNG	60
7.3	RES	SULTATE	62
	7.3.1	Emmenschachen	62
	7.3.2	Schwarzweg	
	7.3.3	Papierfabrik	
7.4	KUF	RZDISKUSSION	71
8 L	_AICHF	HABITAT BACHFORELLE/ÄSCHE	73
8.1	BES	SCHRIEB	73
8.2		THODE ERHEBUNG UND AUSWERTUNG	
8.3		SULTATE	
	831	Emmenschachen	
	8.3.2	Schwarzweg	
		Papierfabrik	
8.4		RZDISKUSSION	
9 N	MOSAI	K AUENFORMATIONEN	83
9.1	BES	SCHRIEB	83
9.2	. Me	THODE ERHEBUNG UND AUSWERTUNG	83
9.3		SULTATE	
	9.3.1	Emmenschachen	
	0.0	Schwarzweg	
9.4		RZDISKUSSION	
10 L	_ANDS	CHAFTSSTRUKTURMASSE	93

Adogangoonlooding EnoigoRontrollo Enlino	7 (111/4119
10.1 BESCHRIEB	93
10.2 METHODE ERHEBUNG UND AUSWERTUNG	93
10.3 RESULTATE	97
10.3.1 Emmenschachen	97
10.3.2 Schwarzweg	100
10.4 Kurzdiskussion	105
11 FOTOGRAFISCHE DOKUMENTATION	106
11.1 BESCHRIEB	106
11.2 METHODE ERHEBUNG UND AUSWERTUNG	106
11.3 RESULTATE	107
12 AUENTYPISCHE PFLANZENARTEN	111
12.1 BESCHRIEB	111
12.2 METHODE ERHEBUNG UND AUSWERTUNG	111
12.3 RESULTATE	112
12.3.1 Emmenspitz	112
12.3.2 Emmenschachen	
12.3.3 Rüti	113
12.3.4 Schwarzweg	114
12.3.5 Papierfabrik	114
12.4 KURZDISKUSSION	114
13 BESTANDSERHEBUNG FISCHE	115
13.1 BESCHRIEB	115
13.2 METHODE ERHEBUNG UND AUSWERTUNG	115
13.3 RESULTATE	116
13.4 Kurzdiskussion	116
14 VORKOMMEN AMPHIBIEN	117
14.1 Beschrieb	117
14.2 METHODE ERHEBUNG UND AUSWERTUNG	117
14.3 RESULTATE	118
14.4 Kurzdiskussion	119
15 GESAMTDISKUSSION	121
TABELLENVERZEICHNIS	124
ABBILDUNGSVERZEICHNIS	
LITERATURVERZEICHNIS	132

Anhang

Anhang A	Bestimmungstabelle Mesohabitate
Anhang B	Daten Ist-Zustand Biberist, Auszug Befischungen
Anhang C	Laichhabitate Bachforelle/Äsche
Anhang D	Fotografische Dokumentation, Zwischenbericht
Anhang E	Amphibienerfassung

Zusammenfassung

Ausgangserhebung Erfolgskontrolle

Konzept

Durch das «Hochwasserschutz- und Revitalisierungsprojekt Emme» werden Massnahmen in und an der Emme realisiert.

Das Erfolgskontrollenkonzept (Infraconsult, Impuls und Fischwerk, 2014) definiert, wie die Zielerfüllung der Entwicklungsziele auf Ebene Prozesse, Lebensräume und Arten dokumentiert werden. Die Erfolgskontrolle basiert auf einem «Vorher-nachher-Vergleich« durch 13 Indikatoren.

Entlang des Projektperimeters wurden 5 Untersuchungsgebiete von je ca. 300 m Länge ausgeschieden. Die Breite der Untersuchungsstrecken umfasst neben der Gerinnesohle das potenzielle Auengebiet.

Die Erfolgskontrolle umfasst die Erhebung der drei Zustände Ausgangszustand, Zustand nach Bauende sowie Projektzustand. Der vorliegende Bericht dokumentiert die Aufnahme des Ausgangszustands in den Jahren 2014/2015.

Überflutungsdynamik

Der standardisierte Indikator der Überflutungsdynamik bei 130 m³/s ist für die Untersuchungsstrecken Schwarzweg und Papierfabrik sehr ähnlich (0.55 resp. 0.54), für die Strecke Emmenschachen ist er leicht höher (0.66). Der Grund für die verhältnismässig geringen Werte ist das kanalisierte Gerinne der Emme mit einem ausgeprägten Hauptgerinne und hoch liegenden Vorländern. Unter diesen Bedingungen ufert das Wasser erst bei sehr grossen Hochwassern ins Vorland aus und die Überflutungsflächen sind bei kleinen Hochwassern nicht viel grösser als bei Mittelwasser. Diese Verhältnisse sind auch anhand geringen Zunahme der Wasserspiegelbreite von ca. 9 % zwischen einem mittleren Jahresabfluss und einem Abfluss von 130 m³/s.

Geschiebehaushalt

Die Transportkapazität der Emme ist wegen des eingeengten Profils unnatürlich hoch. Die Geschiebezufuhr ist heute jedoch genügend gross, um eine weitere Eintiefung der Sohle zu verhindern. Ebenso ist die Durchgängigkeit des Geschiebes gewährleistet. In der Projektstrecke wird zwar viel Geschiebe transportiert, es handelt sich jedoch um einen mehr oder weniger gleichförmigen Geschiebestrom und nicht um Umlagerungsprozesse. Bei Hochwassern können allerdings ausgeprägte Erosions- und Auflandungsprozesse festgestellt werden. Aus den Resultaten wird eine standardisierte Geschiebehaushaltsbewertung von 0.6 generiert.

Wassertemperatur

An der Messstelle Derendingen gab es während der wärmsten Jahreszeit eine Datenlücke (Juni-August), weshalb dieser Jahresgang für die Bewertung nicht verwendet werden konnte.

Entlang der Untersuchungsstrecke steigt bei Niederwasser (Restwasser) trotz Exfiltration von Grundwasser die Wassertemperatur im Sommer an und kühlt im Winter ab. Die festgestellten Über- und Unterschreitungen des erwarteten Normalbereichs werden als eine Abweichung von den natürlichen Temperaturverhältnissen angesehen. Die vielen Abweichungen in Biberist führten zu einer Einstufung in die Klasse 3 ("wesentlich verändert"). Die Stelle Luterbach wird in die Klasse 2 ("wenig verändert") eingestuft. Das Temperaturregime der Emme im Untersuchungsperimeter gilt demnach als "wesentlich verändert".

Hydromorphologischer Index der Diversität

Der tiefste Hydromorphologische Index wird in der Untersuchungsstrecke Emmenschachen mit einem HMID von 3.4 erreicht. Der tiefe Wert widerspiegelt den optischen Eindruck dieser sehr monotonen, strukturlosen Sohle. Leicht besser schneiden die Strecken Papierfabrik mit 4.0 und Schwarzweg mit 4.6 ab. Der verhältnismässig hohe Indexwert der Untersuchungsstrecke Schwarzweg resultiert aus zwei ausgeprägten Kiesbänken. Insgesamt sind die HMID-Werte aber sehr tief und verdeutlichen die kanalisierten Verhältnisse in der Emme. Wie erwartet sinken die Werte des HMID bei steigendem Abfluss (die Werte beim einem Abfluss 6.2 m³/s sind rund ein Viertel tiefer als beim einem Abfluss 1.8 m³/s).

Sohlenstruktur

Die untersuchten Strecken zeigen insgesamt eine grosse Vielfalt an Sohlenstrukturen, unterscheiden sich diesbezüglich aber deutlich voneinander. Die Untersuchungsstrecke Emmenschachen ist bei beiden untersuchten Abflüssen sehr monoton. Die Strecke Schwarzweg hingegen zeigt bei Mittelwasserabfluss eine gewisse Heterogenität. Die Strecke Papierfabrik schliesslich verliert ihre Vielfalt an Sohlenstrukturen bei einer Abflusszunahme um 5 m³/s. Einige wenige Sohlentypen dominieren den Untersuchungsperimeter (Furten, Gleiten, Kiesbänke). Dies ist primär auf die Kanalisierung und die steilen, oft verbauten Ufer der Emme zurückzuführen. Es fehlt auch weitgehend das strömungsverändernde Totholz im Gerinne.

Die Anzahl Sohlenstrukturen pro Einheitslänge liegt bei maximal 12.4, sehr oft aber zwischen 1 und 4. Demnach wird dem Indikator «Sohlenstruktur» für die Strecken Schwarzweg und Papierfabrik der standardisierte Wert von 0.5, der Strecke Emmenschachen derjenige von 0.25 zugeordnet.

Ausgangserhebung Erfolgskontrolle

Uferstruktur

Alle sieben in den Steckbriefen (Woolsey, S. et al., 2005) aufgeführten Uferstrukturtypen kommen vor. Flachufer, Steilufer, Fels und Blockgefüge dominieren. 4 % bis 27 % der Uferlinie weisen eine raue Verbauung (lockerer Blocksatz) auf. Einzig in der Strecke Schwarzweg ist ein grösserer Abschnitt glatt verbaut (13 % der Uferlinie). Für alle Untersuchungsstrecken resultiert ein Wert zwischen 0.48 und 0.66 (Maximum = 1). Bei der Strecke Papierfabrik verbessert sich die Bewertung zwischen minimalem und mittlerem Restwasserabfluss deutlich. Dies ist auf das Auftreten zusätzlicher Strukturtypen (Steilufer und Sporn) zurückzuführen. Die Strecken Schwarzweg und Emmenschachen werden für die beiden untersuchten Abflüsse fast gleich bewertet. Der Grund liegt darin, dass sich die Uferlinie zwischen den beiden Abflüssen kaum verschiebt.

Laichhabitat Bachforelle/Äsche

Insbesondere in der Untersuchungsstrecke Emmenschachen finden Bachforellen und Äschen ausgedehnte, als Laichhabitat optimale bzw. geeignete Flächen. In den Stecken Emmenschachen und Schwarzweg nehmen die als Laichhabitat geeigneten Flächen mit höherem Abfluss zu, in der Strecke Papierfabrik hingegen ab.

Gemäss dem angewandten Bewertungsmassstab sind fast alle drei Untersuchungsstrecken für beide Abflüsse als Laichhabitat für die Bachforelle und die Äsche als optimal bzw. geeignet zu bewerten. Die Strecke Schwarzweg wird aber bei minimalem Restwasserabfluss für die Äsche nur als bedingt geeignet eingestuft.

Mosaik Auenformationen

Sowohl in der Untersuchungsstrecke Emmenschachen wie auch in der Strecke Schwarzweg dominiert der Habitattyp Hartholzaue. Weitere Habitattypen, die auf einen dynamischen Auen-Lebensraum hinweisen, sind nur rudimentär vorhanden. Die Anteile der Pionierformationen an der Gesamtfläche sind verschwindend klein. Die Resultate widerspiegeln ein typisches Bild für fehlende Dynamik in den Uferbereichen.

Landschaftsstrukturmasse

Die Auswertungen für die beiden Untersuchungsstrecken Emmenschachen und Schwarzweg zeigen, dass der Lebensraum tendenziell homogen und strukturarm ist. Die Hartholzaue dominiert, entsprechend sind hochgewachsene Bestände mit relativ hohem Deckungsgrad vorherrschend. Die Vielfalt an verschiedenen Habitattypen ist gering. Die vier ermittelten Landschaftsstrukturmasse lassen sich erst auf Basis eines Vorher-nachher-Vergleichs standardisieren.

Fotographische Dokumentation

In vier Untersuchungsstrecken wurden an insgesamt 21 Fotostandorten Aufnahmen gemacht. Am 25.8.2014 wurde bei einem Restwasserabfluss von 2.3 m³/s fotografiert (71 Fotos). Diese Serie wurde am 27.11.2014 durch Aufnahmen an zusätzlichen 5 Fotostandorten ergänzt (41 Fotos). Die zweiten Aufnahmen erfolgten bei einem Abfluss von ca. 1.8 m³/s. Auf Grund bisher nicht eingetretener Hochwasserabflüssen wird die Dokumentation des Hochwasseraspektes voraussichtlich im Lauf des Sommerhalbjahres 2015 erfolgen.

Auentypische Pflanzenarten

Erwartungsgemäss kommen typische Pionier- bzw. Ruderalpflanzen in den Untersuchungstrecken nur beschränkt und in sehr geringer Zahl oder überhaupt (noch) nicht vor. Diese Arten beanspruchen Habitate, die sich durch die Revitalisierung erst noch einstellen sollen. Im Vergleich mit späteren Erhebungen wird sich zeigen, ob die initiierten Prozesse Erosion, Umlagerung und Überschwemmung die Etablierung einer charakteristischen Pionier- und Ruderalflora ermöglichen werden.

Bestandserhebung Fische

Es wurden 7 Arten gefangen, die – mit Ausnahme der Regenbogenforelle – standorttypisch sind. Es fehlen aber weitere typische Arten wie die Äsche und der Gründling. Beide Arten kommen oberhalb des Wehrs Biberist vor. Auffällig ist zudem der geringe Anteil der Bachforellen an der Gesamtfischdichte.

Strukturierte Abschnitte wie in Derendingen sind in der Restwasserstrecke selten. Es dominieren monotone Abschnitte wie diejenige bei Luterbach. Sie zeichnen sich durch eine geringe Artenzahl, eine geringe Fischdichte und eine sehr kleine Biomasse aus.

Vorkommen Amphibien

Trotz strukturreichem Landlebensraum ist der Altlauf auffallend schlecht durch Amphibien besiedelt. Der grosse Prädationsdruck wird sicher ein Hauptgrund für die extrem tiefe Amphibiendichte sein. Weitere Gründe können die starke Beschattung oder die Isolation des Vorkommens sein.

Das Bächlein führt nur sehr wenig Wasser und entwässert in die Emme. Es ist dadurch für Fische besiedelbar. Die Gründe, weshalb ausser einem Grasfrosch-Laichfund keine Amphibiennachweise gelangen, sind nicht bekannt.

Der Kleinweiher ist mit 5 nachgewiesenen Arten für Amphibien zu diesem Zeitpunkt wohl der geeignetste Lebensraum. Der starke Fischdruck

verhindert wohl aber auch hier eine hohe Individuendichten im ansonsten für Amphibien attraktiven Gewässer.

Gesamtbewertung

Gesamthaft betrachtet lassen die Ergebnisse aus der Ausgangserhebung den Schluss zu, dass es sich bei der Emme zwischen dem Wehr Biberist und der Mündung in der Aare um ein weder besonders stark noch besonders schwach beeinträchtigtes Gewässer handelt. Insbesondere bei den terrestrischen Lebensräumen bestehen aber erhebliche Defizite. Für alle untersuchten Indikatoren besteht das Potential, durch die Realisation entsprechender Massnahmen höhere Bewertungen zu erzielen.

Einleitung

1.1 Konzept

Hochwasserschutz - und Revitalisierungsprojekt Emme

Im Rahmen des «Hochwasserschutz- und Revitalisierungsprojekt Emme» werden vielfältige Massnahmen in und an der Emme realisiert werden. Neben den Aspekten des Hochwasserschutzes und der Erholungsnutzung soll auch eine Revitalisierung und damit eine ökologische Aufwertung des Gewässerraums erfolgen.

Das Erfolgskontrollenkonzept (Infraconsult, Impuls und Fischwerk, 2014) definiert, wie die Zielerfüllung der im Leitbild (Hunziker, R., Dönni, W., Kaufmann, G., 2012) festgelegten Entwicklungsziele dokumentiert werden. Die Veränderungen auf den Ebenen Prozesse, Lebensräume und Arten werden basierend auf einem «Vorher-nachher-Vergleich» mittels 13 Indikatoren gemessen.

Indikatoren

Folgenden Indikatoren werden erhoben:

- Überflutungsdynamik
- Geschiebehaushalt
- Wassertemperatur
- Hydromorphologischer Index der Diversität (HMID)
- Sohlenstruktur
- Uferstruktur
- Laichhabitat Bachforelle/Äsche
- Mosaik Auenformationen
- Landschaftsstrukturmasse
- Fotografische Dokumentation
- Auentypische Pflanzenarten
- Bestandserhebung Fische
- Vorkommen Amphibien

Untersuchungsstrecken

Projektperimeters wurden 5 Untersuchungsgebiete Innerhalb des ausgeschieden (siehe Abbildung 1). In jedem Untersuchungsgebiet wurde eine ca. 300 m lange Untersuchungsstrecke festgelegt. Die Breite der Untersuchungsstrecken umfasst neben der Gerinnesohle das potenzielle Auengebiet (nach Projektrealisierung im Mittel jährlich mindestens einmal überflutet). Zwei der drei im Rahmen der Bestandserhebung Amphibien (siehe Kapitel 14) untersuchten Gewässer liegen ausserhalb dieses Perimeters. Beide Gewässer sowie der angrenzende Landlebensraum aber durch Projekt tangiert. Daher das wurden Amphibienbestände auch an diesen Standorten erhoben.



LEGENDE Untersuchungsgewässer Amphibien Untersuchungsstrecke

Abbildung 1 Lage der Untersuchungsstrecken für die Ausgangserhebung

Aufnahme-Intervalle

Die bauliche Umsetzung der Massnahmen wird sich über mehrere Jahre erstrecken (2016 bis voraussichtlich 2022). Zudem muss den revitalisierten Flussabschnitten Zeit für die Entwicklung der Strukturen eingeräumt werden. Die Erfolgskontrolle umfasst daher die Erhebung von 3 Zeit-Zuständen:

- Ausgangszustand (vorliegender Bericht; 2014/2015): Dokumentation des Zustandes vor dem Beginn der Bauarbeiten, der ca. 2016 erfolgen soll.
- 1. Aufnahme des Projektzustandes (Wirkungskontrolle/Validierung)¹: Nach Abschluss der Bauarbeiten, innerhalb einer Periode von 5 Jahren und nach den ersten geschiebewirksamen Hochwassern, wird anlässlich einer Begehung entschieden, wann die 1. Aufnahme des Projektzustandes erfolgen soll.
- 2. Aufnahme des Projektzustandes (Wirkungskontrolle/Validierung): 10 Jahre nach der 1. Aufnahme des Projektzustandes.

Anzahl Erhebungen

Tabelle 1 zeigt die verwendeten Indikatoren, in Beziehung gesetzt mit den Untersuchungsstrecken und Erhebungszeitpunkten. Eine Aufnahme entspricht der Untersuchung auf einer bestimmten Untersuchungsstrecke zu einem bestimmten Zeitpunkt. Die Anzahl Erhebungen pro Indikator ergeben sich somit aus der Anzahl der Untersuchungsstrecken und der Anzahl untersuchter Zustände (Jahreszeit oder Abfluss).

¹ Ausnahmen: Der Indikator Auentypische Pflanzenarten wird nicht unmittelbar nach Abschluss der Bauarbeiten erhoben, da die Entwicklung der Vegetation Zeit braucht.

lfe	Indikator	Unt	ersu	chun	gsge	biet	Erhe	bun	gsze	itpur	ıkt		
Hierarchiestufe	(Steckbriefnummer gemäss Handbuch EAWAG)	Emmenspitz	Emmenschachen	Rüti	Schwarzweg	Papierfabrik	Frühling	Sommer	Herbst	Winter	Nieder-/Restwasser	Mittelwasser	Hochwasser
Prozesse	Überflutungsdynamik (13)		•		•	•							•
oze	Geschiebe (12)	•	•	•	•	•					•	•	•
ď	Wassertemperatur (-)		•		•	•		ganzj	ährig				
	Hydromorpholog. Index der Diversität (–)		•		•	•					•	•	
e	Sohlenstruktur (33/36)		•		•	•					•	•	
in	Uferstruktur (43/45)		•		•	•					•	•	
ısr	Laichhabitat Bachforelle/Äsche (-)		•		•	•					•	•	
Lebensräume	Mosaik Auenformationen (49)		•		•			•					
تد	Landschaftstrukturmasse (19)		•		•			•					
	Fotografische Dokumentation	•	•		•	•		•	•		•		•
_	Auentypische Pflanzenarten (47)	•	•	•	•	•		•					
Arten	Bestandeserhebungen Fische (-)		•	•					•			•	
_ <	Vorkommen Amphibien (–)	•	•				•						

Tabelle 1 Die Tabelle zeigt für die Ausgangserhebung in welchen Untersuchungsstrecken, welche Indikatoren zu welchen Erhebungszeitpunkten erhoben wurden

1.2 Basiserhebungen

Einige Indikatoren basieren auf der gleichen Datenbasis wie andere Indikatoren. Die erforderlichen Daten können in diesen Fällen in nur einer Feldkartierung erhoben werden. Daraus ergeben sich die in Tabelle 2 aufgezeigten Synergien.

Datenbasis	Indikator	Bemerkungen
Hochauflösendes hydraulisches	Überflutungsdynamik (13)	Unterschiedliche Auswertung derselben Datenbasis
2D-Modell	Hydromorpholog. Index der Diversität (–)	derseiben Datenbasis
		Zusätzlich Substratkartierung
	Laichhabitat Bachforelle/Äsche (–)	
Habitattypen- kartierung	Sohlenstruktur (33)	Gleichzeitige Feldkartierung
	Landschaftsstrukturmasse (19)	Unterschiedliche Genauigkeiten (Indikatoren 19 und 49).
	Mosaik Auenformationen (49)	Nur 1 Aufnahme Projektzustand (Indikator 49).

Tabelle 2 Die Tabelle zeigt, auf welche gemeinsame Datenbasis sich die Auswertungen gewisser Indikatoren stützen

1.2.1 Numerisch hydraulische 2D-Modelle

Numerische Simulationen haben den entscheidenden Vorteil, dass verschiedene Indikatoren ohne aufwändige Feldarbeiten für verschiedene Abflussmengen erfasst werden können (Requena, P., von Pfuhlstein, M., 2011).

Beim Einsatz eines 2D-Strömungsmodells wird die Untersuchungsstrecke zuerst detailliert vermessen. Basierend auf der aufgenommenen Gerinnegeometrie wird anschliessend ein Geländemodell erstellt, welches seinerseits die Basis für das hydraulische 2D-Strömungsmodell bildet. Mit dem Modell können dann für unterschiedliche Abflüsse die mittleren Fliessgeschwindigkeiten (tiefengemittelt) und die Wassertiefen berechnet werden.

1.2.2 Habitattypenkartierung

Im Feld werden die aquatischen Habitate (Mesohabitate) und die terrestrischen Habitate (Auenformationen) kartiert.

Mesohabitate sind Flächen, die bezüglich Wassertiefe, Fliessgeschwindigkeit und Substratzusammensetzung in sich einheitlich sind (z. B. Schnelle, Riffel, Flachwasser, Kolk usw.). Die minimale Ausdehnung eines Mesohabitats beträgt in der grössten linearen Dimension (Länge, Breite, Diagonale) mindestens die mittlere Wasserspiegelbreite. Die Bestimmung erfolgt nach einem Vorschlag der American Fisheries Society (Arend K. K., 1999). In Anhang A befindet sich die entsprechende Bestimmungstabelle.

Die Kartierung der Auenformationen umfasst den Habitattyp, den Grad der Bodenbedeckung und die Höhe der Vegetation. Gegenüber den im Steckbrief aufgelisteten Habitattypen wird eine je nach Indikator verfeinerte Einteilung angewandt, die auf die lokalen Gegebenheiten und die definierten Entwicklungsziele abgestimmt ist.

1.3 Bewertung

Erhebung Ausgangzustand

Der vorliegende Bericht rapportiert die Ergebnisse aus der Erhebung des Ausgangszustands. Je nach Indikator war es methodisch auch ohne Vorhernachher-Vergleich möglich, eine Standardisierung der Ergebnisse, respektive eine Bewertung vorzunehmen. Daher liegen für gewisse Indikatoren Bewertungen vor, für andere jedoch nicht. Die Ausweisung einer alle Indikatoren umfassenden Gesamtbewertung für den Ausgangszustand ist aber nicht möglich.

Bewertung 1. Projektzustand

Nach der 1. Projektzustandserhebung erfolgt eine erste Bewertung gemäss dem Handbuch der EAWAG (Woolsey, S. et al., 2005). Die Indikatorwerte werden dann standardisiert (Werte zwischen 0 und 1), um sie vergleichen zu können. Für Indikatoren, die nicht im Handbuch enthalten sind, wird ein Standardisierungsverfahren entwickelt. Die Veränderungen gegenüber dem Ausgangszustand werden mit Hilfe einer Vergleichsmatrix ermittelt. Abschliessend wird der Grad der Zielerreichung beurteilt.

Weiteres Vorgehen

Nach der 1. und 2. Aufnahme des Projektzustandes wird überprüft, ob die Revitalisierungsmassnahmen die gewünschte physikalische Wirkung auf Ebene der Prozesse und Lebensräume sowie die postulierten Reaktionen auf Ebene der Arten erzielten.

Nach der 2. Aufnahme des Projektzustandes erfolgt eine Gesamtschau zum Erfolg der umgesetzten Massnahmen. Falls der Erfolg sich nicht im gewünschten Masse einstellt, müssen die Ursachen gefunden werden. Erst dann können adäquate "Verbesserungs"-Massnahmen diskutiert werden. Ob und welche Massnahmen das sein könnten, lässt sich zum heutigen Zeitpunkt nicht sagen.

Überflutungsdynamik

2.1 **Beschrieb**

Handbuch **EAWAG**

Steckbriefnr. 13

Überflutungsdynamik: Dauer, Häufigkeit und Ausmass von Überflutungen

Definition

Die bei einem mittleren Jahreshochwasser (ca. Q1) überflutete potenzielle Auenfläche

Begründung

Die Überflutungsdynamik widerspiegelt die Verfügbarkeit von Uferhabitaten und damit von Hochwasserrefugien, insbesondere für Fische und Arthropoden. Sie ist zudem ein Mass zur Beurteilung der lateralen Vernetzung zwischen Fluss und Umland. Heute werden bei Q1 nur kleine Flächen überflutet.

Literatur

(Woolsey, S. et al., 2005)

2.2 Methode Erhebung und Auswertung

Zu erhebende Daten

Benetzte Breite und potenzielle Auenfläche in der Untersuchungsstrecke bei einem Abfluss von 130 m³/s. Der Abfluss basiert auf den Pegelmessungen der Messstation Wiler. Es handelt sich dabei um denjenigen Abfluss, welcher in der Periode von 1922 bis 2013 im Mittel an 24 Stunden im Jahr überschritten wurde (Q1).

Vorgehen

Berechnung der benetzten Breite mit Hilfe eines 2D-Modells.

Erhebungen für den Ausgangszustand

Untersuchungsstrecken		Erhebungszustand					
	Frühling	Sommer	Herbst	Winter	Niederwasser	Mittelwasser	Hochwasser
Emmenschachen							•
Schwarzweg							•
Papierfabrik							•

Auswertung

Berechnung des Anteils der mittleren benetzten Breite bei einem Abfluss Q1 an der gesamten potenziellen Auenfläche. Standardisierung auf Werte zwischen 0 und 1. Als potenzielle Überflutungsfläche wird eine Gewässerraumbreite von 100 Meter angenommen. Diese Breite ist etwas grösser als der minimale Gewässerraum gemäss Wasserbaugesetz von 90 m und entspricht einem erhöhten Gewässerraum (vgl. Fachgutachten Gewässerraum (Infraconsult, Hunziker, Zarn & Partner, Fischwerk, 2015)). Der Wert 1 der Standardisierung ist dann erreicht, wenn die gesamte potenzielle Auenfläche jährlich überflutet wird.

2.2.1 Emmenschachen

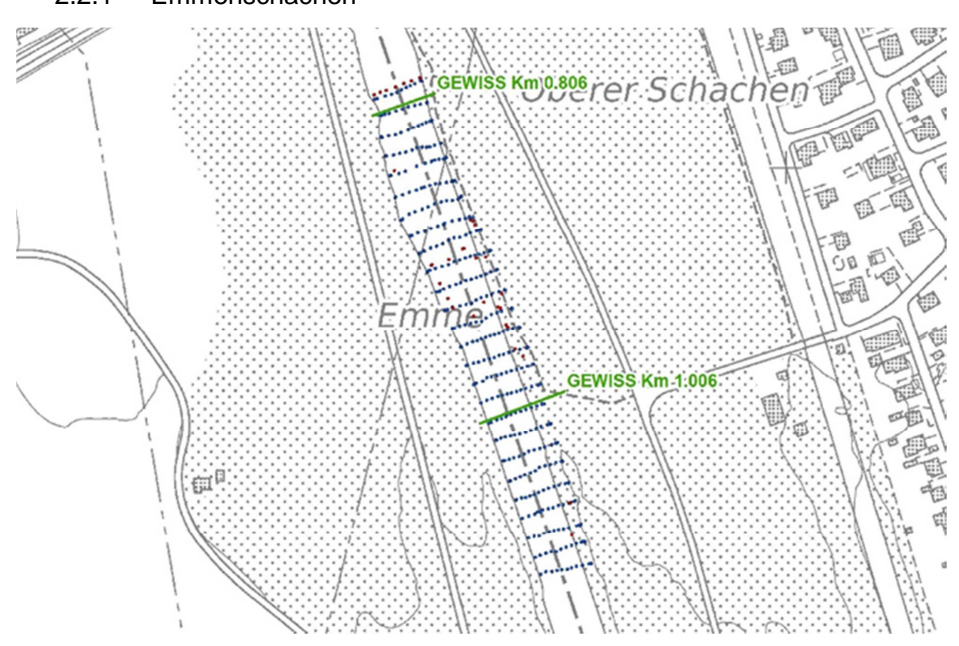


Abbildung 2 Untersuchungsstrecke Emmenschachen: Vermessungen (blaue Punkte = Querprofile, rote Punkte = lokale Strukturen)

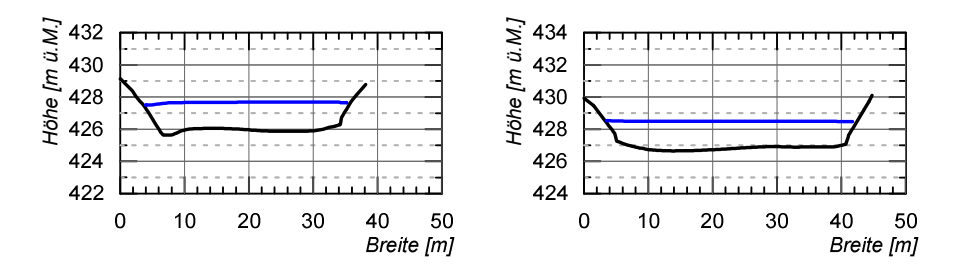


Abbildung 3 Untersuchungsstrecke Emmenschachen: Querprofile mit Sohle und Wasserspiegel bei einem Abfluss von 130 m³/s (Q1)
Links GEWISS-Km 0.806, rechts GEWISS-Km 1.006

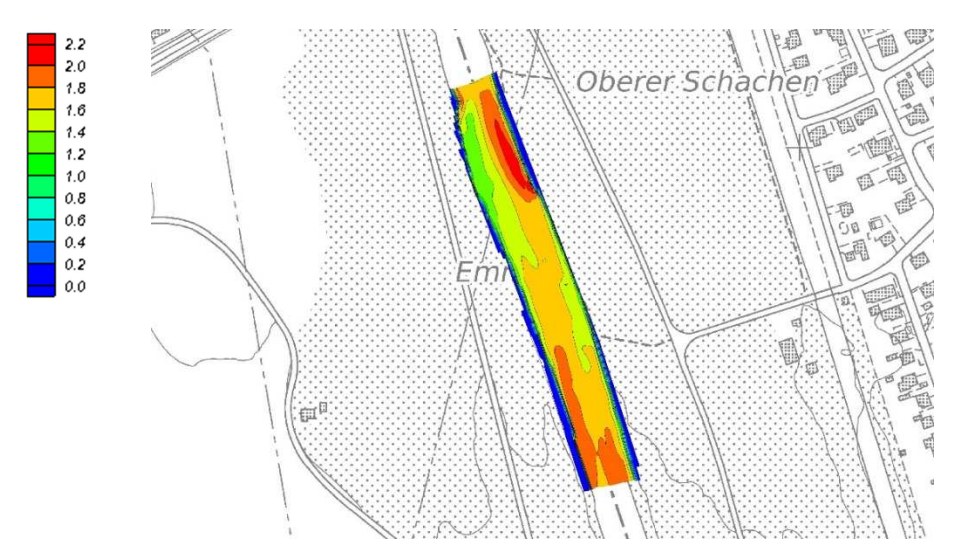


Abbildung 4 Untersuchungsstrecke Emmenschachen: Fliesstiefe (m) bei einem Abfluss von 130 m³/s (Q1)

2.2.2 Schwarzweg

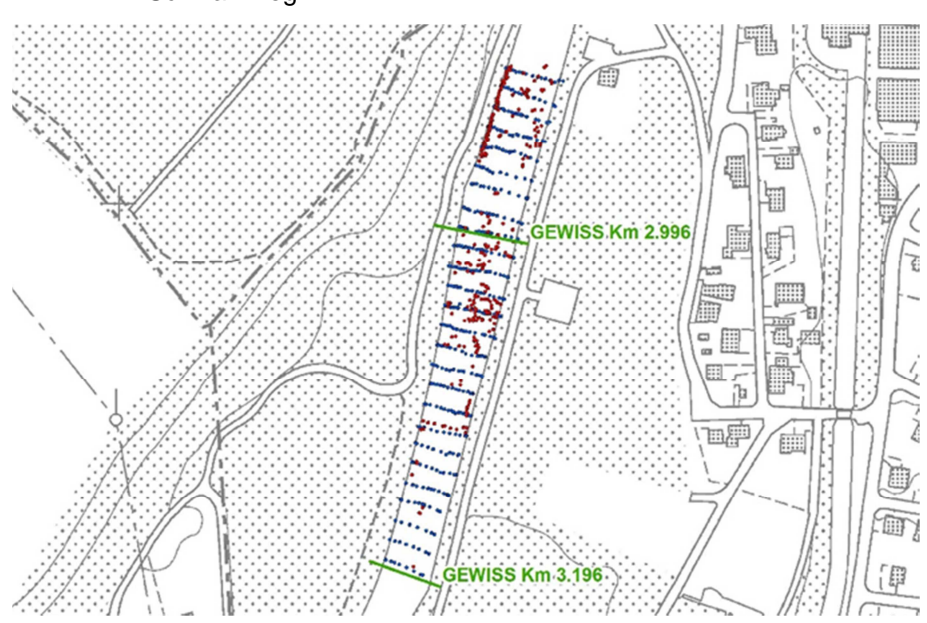


Abbildung 5 Untersuchungsstrecke Schwarzweg: Vermessungen (blaue Punkte = Querprofile, rote Punkte = lokale Strukturen)

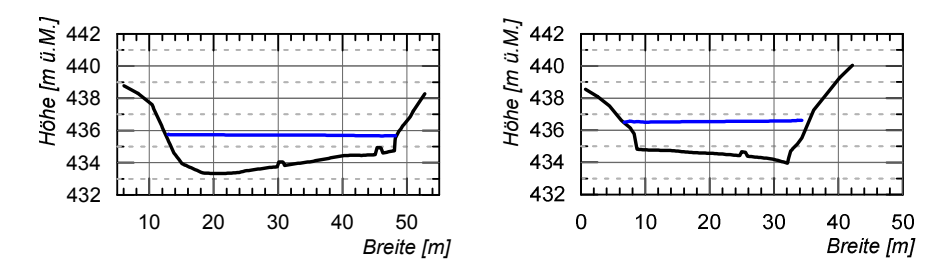


Abbildung 6 Untersuchungsstrecke Schwarzweg: Querprofile mit Sohle und Wasserspiegel bei einem Abfluss von 130 m³/s (Q1) Links GEWISS-Km 2.996, rechts GEWISS-Km 3.196

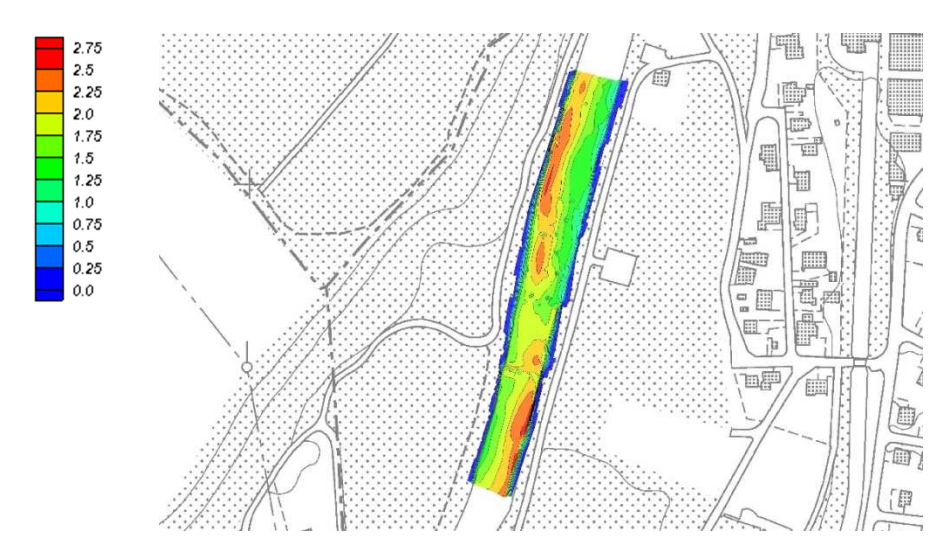
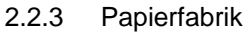


Abbildung 7 Untersuchungsstrecke Schwarzweg: Fliesstiefe (m) bei einem Abfluss von 130 m³/s (Q1)



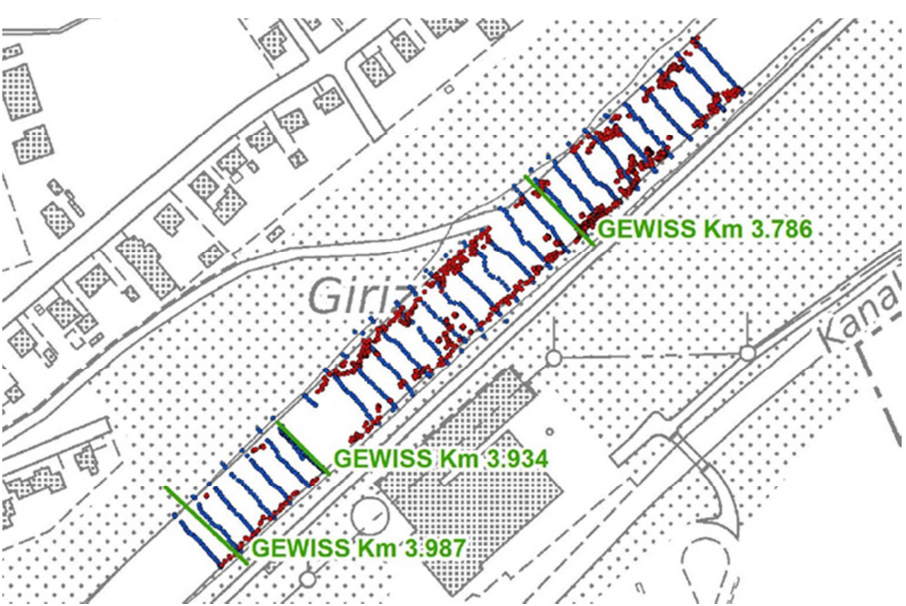


Abbildung 8 Untersuchungsstrecke Papierfabrik: Vermessungen (blaue Punkte = Querprofile, rote Punkte = lokale Strukturen)
Die Rampe wurde nicht vermessen

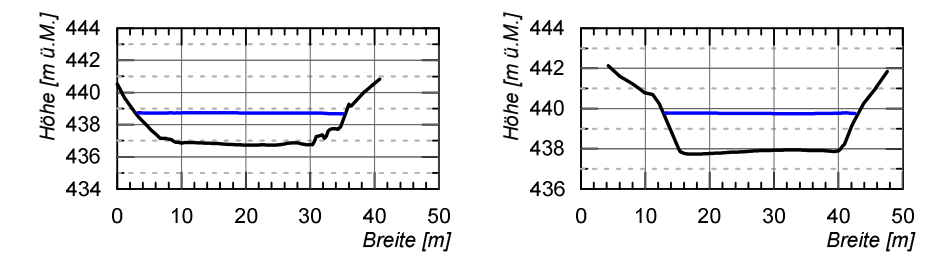


Abbildung 9 Untersuchungsstrecke Papierfabrik: Querprofile mit Sohle und Wasserspiegel bei einem Abfluss von 130 m³/s (Q1) Links GEWISS-Km 3.786, rechts GEWISS-Km 3.987

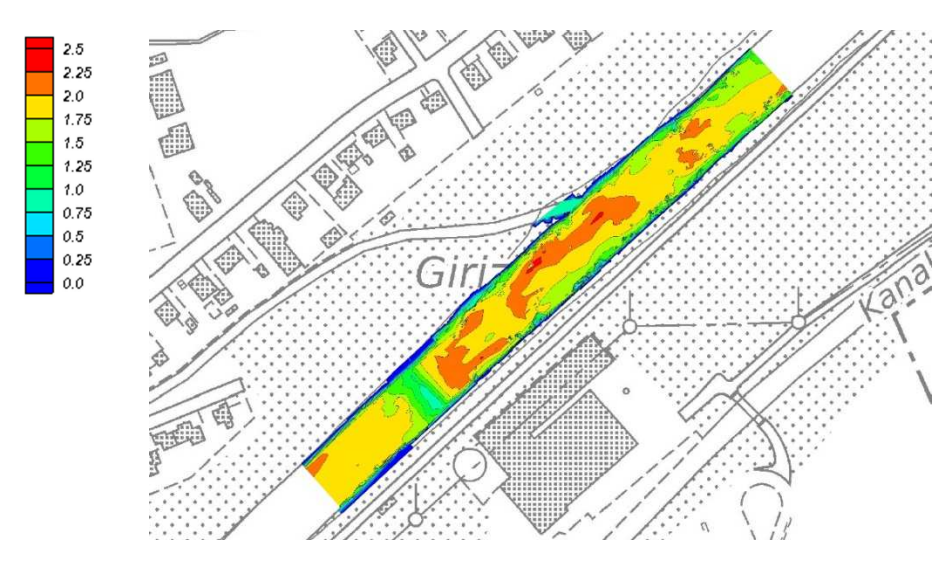


Abbildung 10 Untersuchungsstrecke Papierfabrik: Fliesstiefe (m) bei einem Abfluss von 130 m³/s (Q1)

2.3 Resultate

Die Tabelle 3 führt die benetzte Breite für die untersuchten Strecken bei einem Abfluss Q1 (130 m³/s) sowie die daraus resultierenden standardisierten Werte auf.

Untersuchungsstrecke	Benetzte Breite [m]	Standardisierter Wert
Emmenschachen	41	0.65
Schwarzweg	35	0.55
Papierfabrik	32	0.54

Tabelle 3 Standardisierte Werte für den Indikator Überflutungsdynamik bei Q1 (130 m³/s)

Die Tabelle 4 zeigt die benetzten Breiten für 3 Restwasserabflüsse, den mittleren Jahresabfluss $Q_{\rm m}$ sowie den Abfluss Q1.

Untersuchungsstrecke		Benet			
Abfluss [m³/s]	1.8	2.3	6.3	21.8	130
Emmenschachen	31	31	35	38	41
Schwarzweg	18	19	23	30	33
Papierfabrik	24	24	26	29	32

Tabelle 4 Benetzte Breite für verschiedene Abflüsse (1.8 m³/s, 2.3 m³/s und 6.3 m³/s sind Restwassermengen; 21.8 m³/s entsprechen dem Q_m im Jahr 2013 und 130 m³/s dem Q1 der Station Emme Wiler)

2.4 Kurzdiskussion

Der standardisierte Wert für die Überflutungsdynamik bei einem Abfluss Q1 ist für die Untersuchungsstrecken Schwarzweg und Papierfabrik sehr ähnlich (0.55 resp. 0.54, vgl. Tabelle 3), in der Strecke Emmenschachen ist er leicht höher (0.65).

Der Grund für die verhältnismässig geringen Werte ist das kanalisierte Gerinne der Emme mit einem ausgeprägten Hauptgerinne und hoch liegenden Vorländern. Unter diesen Bedingungen ufert das Wasser erst bei sehr grossen Hochwassern ins Vorland aus und die Überflutungsflächen sind bei kleinen Hochwassern nicht viel grösser als bei Mittelwasser. Diese Verhältnisse sind auch anhand der geringen Zunahme Wasserspiegelbreite von ca. 9 % zwischen Q_m und Q1 erkennbar (vgl. Tabelle 4). Bei natürlichen Gerinnen würde das Wasser wesentlich früher ausufern und die Überflutungsflächen wären auch bei kleinen Hochwassern grösser.

3 Geschiebehaushalt

3.1 **Beschrieb**

Handbuch **EAWAG** Definition

Steckbriefnr. 12, Geschiebe: Geschiebehaushalt

Qualitative Beschreibung des Geschiebehaushaltes

Begründung

Sedimentation, Umlagerung und Erosion von Geschiebe (Korngrösse > 1 cm) sind die treibenden Kräfte eines Fliessgewässers. Sie sind für die Entstehung einer Vielzahl von Lebensräumen verantwortlich.

Der heutige Geschiebetrieb bewirkt eine lockere Sohle mit kleinem Korndurchmesser und ist dadurch ein ideales Laichhabitat für Fischarten wie die Bachforelle und die Äsche.

Literatur

(Woolsey, S. et al., 2005)

3.2 **Methode Erhebung und Auswertung**

Zu erhebende Daten Vorgehen

Auswertung der BAFU-Querprofile (Neuvermessung alle 10 Jahre)

Beurteilung, ob ein Erosions- oder Auflandungszustand vorhanden ist. Bisherige Aufnahmen von BAFU-Querprofilen sind aus den Jahren 1928, 1970, 1979, 1984, 1992, 2004, 2006 und 2013 vorhanden.

3.3 Resultate

Geschichte

Im Rahmen der Korrektion gegen Ende des 19. Jahrhunderts wurde die Emme begradigt und ihr Gerinne eingeengt. Dies führte zu einer Zunahme der Transportkapazität und als Folge davon zu einer Eintiefung der Sohle. Zahlreiche Kiesentnahmen entlang des Flusslaufs verschärften die Situation. Zwar waren die Erosionen anfänglich erwünscht, um die Hochwassersicherheit zu erhöhen, schon bald nach der Korrektion zeigten sich jedoch die Nachteile in Form von unterspülten Brückenwiderlagern und Uferverbauungen. Mit dem Bau von Schwellen wurde versucht, der Eintiefungstendenz entgegenzuwirken. Unterdessen ist der Lauf der Emme mit ca. 80 Schwellen (Eggiwil bis Aare) massiv verbaut.

In der Studie Emme 2050 (VAW & GIUB, 1987) wurde Erosionsproblematik untersucht. Die im Jahr 1987 abgeschlossene Studie zeigte, dass die Erosionsprozesse zwar am Abklingen sind, dass aber auch in Zukunft mit weiteren Erosionen zu rechnen ist. Aufgrund dieser Prognose wurde die Kiesentnahmestelle Utzenstorf, das letzte Kieswerk an der Emme, 1994 stillgelegt.

In der Periode von 1928 bis 1940 befand sich die Emme im Solothurner Abschnitt noch in einem Auflandungszustand. Grund für die Auflandungen im Unterlauf war der grosse Geschiebeeintrag wegen starker Erosionen im Oberlauf. Erst nachdem der Oberlauf durch den Bau von Schwellen immer mehr stabilisiert wurde und der Geschiebeeintrag nachliess, begann sich die Emme auch im Unterlauf einzutiefen. Im Solothurner Abschnitt war dies ab 1940 der Fall. Anschliessend erodierte die Emme anhaltend bis in die 80er Jahre und grub ihr Bett immer tiefer ein. Durch den Bau von Schwellen und Rampen wurde versucht, die Sohle zu stabilisieren resp. eine Auflandung auszulösen. Dies gelang jedoch erst nach 1980.

Heutiger Geschiebehaushalt

In der Periode von 1982 bis 2004 befand sich die Emme im Abschnitt Emmenmatt (Kanton Bern) bis Utzenstorf in einem Erosionszustand, im Solothurner Abschnitt wurden hingegen Auflandungen festgestellt (Abbildung 11).

Die berechnete mittlere jährliche Geschiebefracht beträgt an der Mündung in die Aare rund 12'800 m³/Jahr. Diese Menge passt gut mit der im Kiessammler Emmenspitz festgelegten Entnahmemenge von rund 13'100 m³/Jahr zusammen. Die grossen Hochwasser in den Jahren 2005 und 2007 bewirkten eine markante Zunahme des Geschiebetriebes. So wurde im Zeitraum von 2005 bis Ende 2007 im Durchschnitt mehr als die doppelte Menge (ca. 30'000 m³/Jahr) aus dem Kiessammler Emmenspitz entnommen.

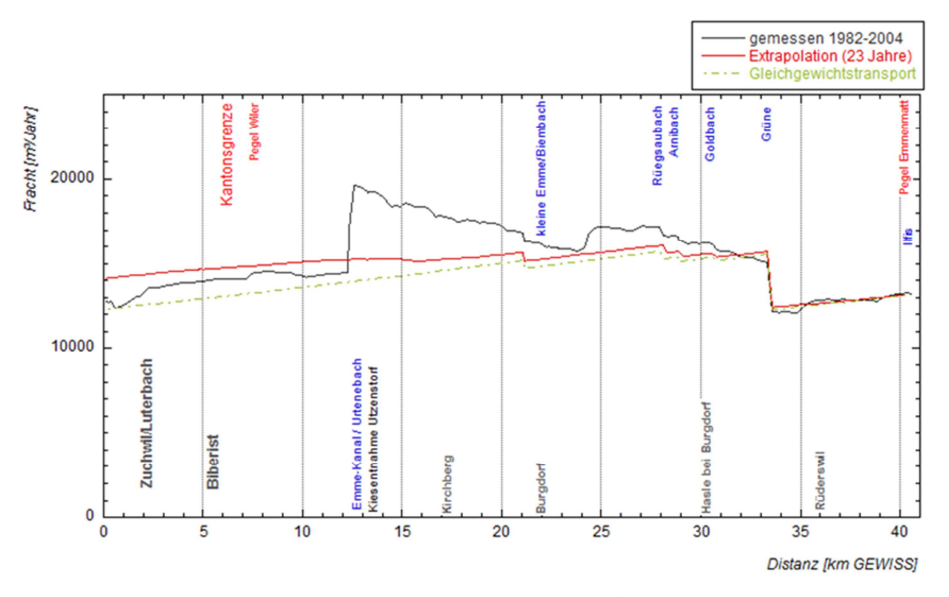


Abbildung 11 Mittlere jährliche Geschiebefrachten² in der Periode 1982-2004 und in Zukunft (Extrapolation) bei gleich bleibender Geschiebezufuhr

Bewertung Geschiebeaufkommen

Wegen der Einengung der Emme einerseits und der Sohlenstabilisierungsmassnahmen im Einzugsgebiet und in der Emme andererseits ist der Geschiebehaushalt anthropogen beeinflusst. Die Geschiebezufuhr in die Projektstrecke ist jedoch genügend gross, um den ökologischen Anforderungen zu genügen. Das Geschiebeaufkommen im IST-Zustand wird darum wie im unbeeinflussten Zustand mit einem A_{EZG} -Wert 3 von 0.5 bewertet.

3.4 Kurzdiskussion

Geschiebehaushalt

Die Transportkapazität der Emme ist wegen des eingeengten Profils unnatürlich hoch. Die Geschiebezufuhr ist heute jedoch genügend gross, um eine weitere Eintiefung der Sohle zu verhindern.

Das Transportdiagramm stellt den Verlauf der Geschiebeführung entlang einer betrachteten Strecke dar. Eine leicht fallende Kurve entspricht einem Geschiebegleichgewicht unter Berücksichtigung des Geschiebeabriebs. Ein sprunghafter Anstieg deutet auf den Geschiebeeintrag eines Zubringers hin, ein sprunghafter Abfall auf eine Geschiebeentnahme. Eine Sohlenerosion wird durch einen mehr oder weniger starken Anstieg der Kurve beschrieben, während ein Abfall auf eine Auflandung hindeutet.

³ A_{EZG}-Wert = Standardisierter Wert zur Bewertung des Geschiebeaufkommens

Geschiebedurchgängigkeit

Im Projektabschnitt ist die Durchgängigkeit des Geschiebes gewährleistet. Lokal und temporär sind oberhalb des Wehres Biberist geringe Ablagerungen zu erwarten, welche bei Hochwasser aber wieder abgespült werden.

Geschiebeumlagerung

In der Projektstrecke wird zwar viel Geschiebe transportiert, es handelt sich jedoch um einen mehr oder weniger gleichförmigen Geschiebestrom und nicht um Umlagerungsprozesse. Bei Hochwassern können allerdings ausgeprägte Erosions- und Auflandungsprozesse festgestellt werden. Dies zeigen sowohl die nach den Hochwassern 2005 und 2007 ausgeführten Sohlenaufnahmen (2006 und 2013) als auch die Resultate der numerischen Simulationen.

Seitenerosionsprozesse

Nach den Hochwassern 2005 und 2007 wurden lokal ausgeprägte Seitenerosionsprozesse beobachtet. Bisher wurden diese Anrisse mehrheitlich wieder verbaut. Nach Realisierung des Projektes können Seitenerosionsprozesse vor allem im Emmenschachen akzeptiert werden.

Bewertung Projektstrecke

Die Projektstrecke wird wie folgt bewertet:

Ausgangserhebung Erfolgskontrolle

Beschreibung		2015
	A _{Projektstrecke} ⁴	Begründung (aus Steckbrief)
Durchgängigkeit	0.1	gewährleistet
Seitenerosionsprozesse	0.0	keine möglich oder nur sehr lokal
Geschiebeumlagerungen/ Ablagerungen	0.0	keine vorhanden
Tendenz zur Sohlenerosion.	0.0	periodische Erosionen- und Auflandungen vorhanden
Geschiebedefizit im Unterwasser	0.0	Kein Defizit
Summe A _{Projektstrecke}	0.1	

Tabelle 5 Bewertungsklassen der Projektstrecke

Bewertung Geschiebehaushalt

Insgesamt wird die Geschiebehaushaltsbewertung aus der Summe der Bewertungen des Geschiebeaufkommens und der Projektstrecke berechnet. Für das Jahr 2015 beträgt der standardisierte Wert für den Geschiebehaushalt folglich 0.6.

⁴ A_{Projektstrecke}-Wert = Standardisierter Wert zur Bewertung der Projektstrecke

Wassertemperatur

4.1 **Beschrieb**

Handbuch EAWAG Definition

Nicht enthalten

Räumliche und zeitliche Entwicklung der Wassertemperatur entlang der Restwasserstrecke

Begründung

Die Wassertemperatur beeinflusst die Zusammensetzung und Verteilung der aquatischen Organismen. Zudem bestimmt sie die Intensität der ökologischen Prozesse.

Flussrevitalisierungen werden prinzipiell eine «kühlende» Wirkung zugeschrieben (höhere Beschattung, verstärkter Austausch mit dem Grundwasser, bessere Vernetzung mit den Auengewässern). Das Angebot und die Erreichbarkeit von thermischen Refugien für Fische und andere Organismen verbessern sich. Dem steht aber ein erhöhter Anteil an nackten Kiesflächen entgegen. Sie erwärmen sich im Sommer stark und «produzieren» daher bei Regen warmes Wasser.

Die Wassertemperatur kann in der Emme bei Restwasserbedingungen für Fische kritische Bereiche erreichen. Auf der gesamten Flussstrecke oberhalb der Felsrippe bei Derendingen exfiltrieren ca. 500 l/s Grundwasser in die Emme. Flussabwärts findet eine Infiltration von etwa 90 l/s statt.

Literatur

(Dübendorfer, C. et al., 2011) (Guthruf. J., 2002)

4.2 Methode Erhebung und Auswertung

Zu erhebende Daten

Zeitreihen der Wassertemperatur 3 Stellen entlang der an Restwasserstrecke

Vorgehen

Ganzjährige Messung der Wassertemperatur mit einer zeitlichen Auflösung von 10 Minuten. Betreuung und Auslesung der Logger durch die Hydrometrie des Amtes für Umweltschutz SO:

- Standort Biberist: Eisenbahnbrücke unterhalb Wehr Biberist (linksufrig, ca. 609 679/225 802)
- Standort Derendingen: oberhalb Felsrippe bei Derendingen (rechtsufrig oberhalb Schwelle, ca. 610 703/226 887 aufwärts)
- Standort Luterbach: oberhalb der SBB-Brücke (rechtsufrig oberhalb Schwelle, ca. 610 279/229 049)

Erhebungen für den Ausgangszustand

Untersuchungsstrecken			Erhebungszustand						
		Frühling	Sommer	Herbst	Winter	Niederwasser	Mittelwasser	Hochwasser	
Standort Biberist		•	•	•	•				
Standort (Schwarzweg)	Derendingen	•	•	•	•				
Standort (Emmenschachen)	Luterbach	•	•	•	•				

Auswertung

Mit Hilfe des Berechnungstools (EXCEL-Tabellen) des Moduls Temperatur des Modulstufenkonzeptes (Dübendorfer, C. et al., 2011):

- 1. Normalbereich: Bewertung der Natürlichkeit der (Tagesmitteltemperatur) Temperaturverhältnisse anhand der Abweichungen von einer Sollkurve (Gewässertyp «Hyporhithral»)
- 2. Temperaturschwellenwerte: Vergleich der Tagesextremwerte mit spezifischen Schwellenwerten der Leitfischart für das Hyporhithral (Äsche)

4.3 Resultate

Für die Messstellen Biberist und Luterbach stand je ein lückenloser Jahresgang zur Verfügung (vgl. Jahr 2014; Abbildung 12). Bei der Stelle Derendingen gab es hingegen eine Datenlücke (19.6. - 2.9.2014) infolge von Vandalismus.

von Biberist zeigten 6 Unterschreitungen 43 Überschreitungen des Normalbereichs. In Luterbach waren es ebenfalls 6 Unterschreitungen aber lediglich 28 Überschreitungen. Die unvollständige Messreihe von Derendingen zeigte 2 Unterschreitungen und 26 Überschreitungen. Die Abweichungen von der Sollkurve waren somit in Biberist (und vermutlich auch in Derendingen) deutlich ausgeprägter als in Luterbach.

Betrachtet man die Temperaturschwellenwerte dreht sich das Bild um. In Biberist lagen lediglich je zwei Tagesextremwerte in einem sensiblen Zeitfenstern über bzw. unter den verwendeten Schadensschwellentemperaturen für die Äsche. In Luterbach war dies 13 x bzw. 3 x der Fall. Zudem lagen 5 Tagesmaximalwerte über dem als Letaltemperatur geltenden Wert von 16 °C während der sensiblen Phase im April (Schlupfzeit der Larven).

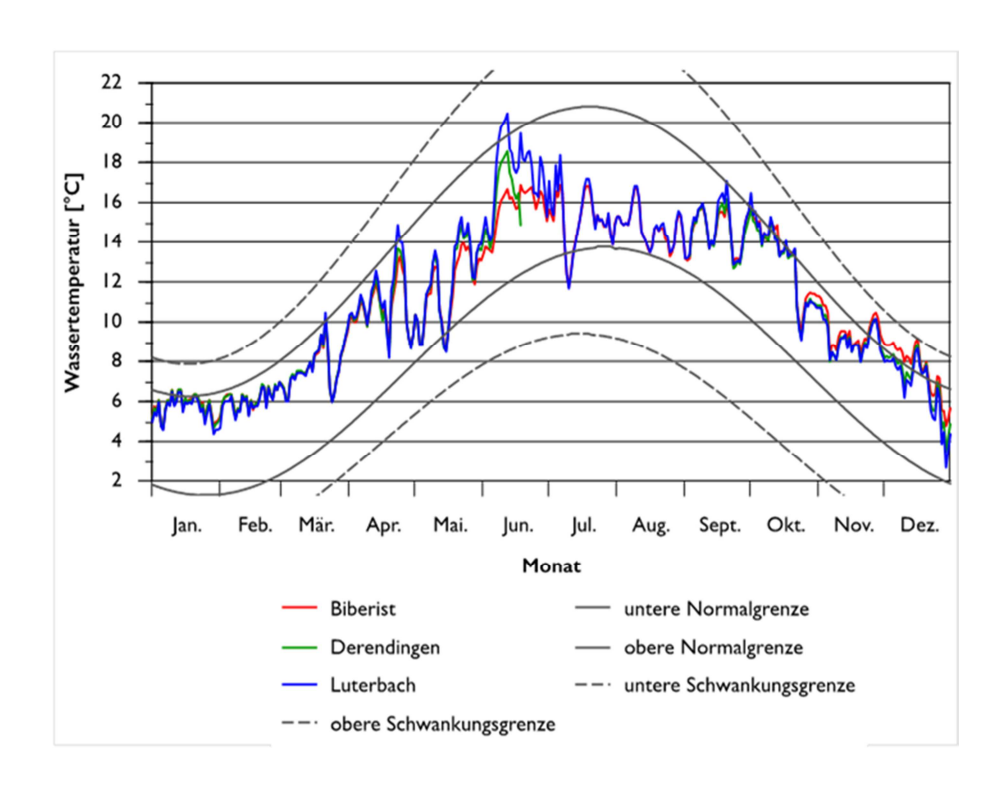


Abbildung 12 Wassertemperaturen (Tagesmittelwerte) an den drei Messstellen im Jahr 2014

4.4 Kurzdiskussion

Für die Messstelle Derendingen gab es während der wärmsten Jahreszeit eine Datenlücke (Juni-August), weshalb dieser Jahresgang für die Bewertung nicht verwendet werden konnte.

Entlang der Untersuchungsstrecke ist bei Niederwasser (Restwasser) prinzipiell mit einer Erhöhung der Wassertemperatur im Sommer und einer Absenkung im Winter zu rechnen. Die Messwerte bestätigen diese Annahme. Die Exfiltration von Grundwasser oberhalb der Felsrippe bei Derendingen (Stellen Biberist und Derendingen) vermag offenbar den Anstieg der Wassertemperatur im Sommer (vgl. Juni in Abbildung 12) und die Abkühlung im Winter (vgl. November-Dezember) nicht zu verhindern.

Die festgestellten Über- und Unterschreitungen des erwarteten Normalbereichs werden als eine Abweichung von den natürlichen Temperaturverhältnissen angesehen. Insbesondere die Überschreitungen gelten bei häufigem Auftreten als ökologisch relevant.

Die vielen Abweichungen in Biberist führen in der fünfstufigen Klassierung zu einer Einstufung in die Klasse 3 ("wesentlich verändert"). Die Stelle Luterbach wird in die Klasse 2 ("wenig verändert") eingestuft (vgl. Tabelle 6).

Anhand der Über- und Unterschreitungen der Temperaturschwellenwerte wird ein Korrekturfaktor für die Grundbewertung berechnet. Da Überschreitungen in Luterbach häufig waren, wird diese Stelle schliesslich wie die Stelle Biberist in die Zustandsklasse 3 eingestuft.

Messstelle	Grundbewertun g	Korrekturfakto r	Zustandsklass e			
Biberist	3	+0	3			
Derendingen		Keine Bewertung infolge Datenlücke				
Luterbach	2	+1	3			

Tabelle 6 Bewertung der Natürlichkeit der Wassertemperatur für das Jahr 2014 anhand des Jahresgangs der Tagesmittelwerte gemäss MSK Temperatur (Dübendorfer, C. et al., 2011)

Das Temperaturregime der Emme im Untersuchungsperimeter gilt demnach als "wesentlich verändert". Diese Aussage ist aber gemäss dem Modul Temperatur des Modulstufenkonzeptes (Dübendorfer, C. et al., 2011) als "provisorisch" zu werten, da eine Zeitreihe von mindestens 5 Jahren für verlässliche Aussagen verlangt wird.

Das Jahr 2014 war zwar über die gesamte Schweiz betrachtet das wärmste seit Messbeginn (MeteoSchweiz, 2015). Der Sommer brachte aber lediglich eine kurze Hitzewelle im Juni. Die Hochsommermonate Juli und August waren hingegen zu kühl und ausgesprochen nass. Insofern kann der Jahresgang 2014 vermutlich als überdurchschnittlich kühl eingestuft werden.

5 Hydromorphologischer Index der Diversität (HMID)

5.1 Beschrieb

Handbuch EAWAG Definition

Im Handbuch nicht enthalten

Vielfältigkeit der hydraulischen Variablen Fliessgeschwindigkeit und Wassertiefe, welche die aquatischen Habitate kennzeichnen.

Begründung

Unterschiedliche Fliessgeschwindigkeiten und Wassertiefen charakterisieren aufgrund der Wechselwirkungen mit anderen hydraulischen und geomorphologischen Grössen die Strukturvielfalt eines Fliessgewässers.

Heute variieren die Fliessgeschwindigkeiten und die Wassertiefen der Emme wegen des kanalisierten Flusslaufs und der ebenen Flusssohle nur wenig. Eine hohe Variabilität dieser Parameter gehört zu den wichtigsten gewässerökologischen Entwicklungszielen.

Der hydromorphologische Index der Diversität (HMID) widerspiegelt die Vielfalt der Lebensräume mithilfe von zwei hydraulischen Variablen:

- Fliessgeschwindigkeit v
- Fliesstiefe t

und zwei statistischen Kerngrössen:

- Standardabweichung σ
- Mittelwert µ

Das Verhältnis zwischen diesen beiden statistischen Werten ist aussagekräftig, um die Variabilität der hydraulischen Variablen zu bestimmen.

Der Variationskoeffizient C_V wird definiert als:

$$C_V = \frac{\sigma}{\mu}$$

und die Teilvielfältigkeit V(i) als:

$$V(i) = (1 + C_{v,i})^2 = \left(1 + \frac{\sigma_i}{\mu_i}\right)^2$$

HMID

Der **HMID** wird für einen Abschnitt aus Produkt Teilvielfältigkeitsindizien, der Fliessgeschwindigkeit v und der Fliesstiefe t berechnet:

$$HMID_{Untersuchungsstrecke} = \prod_{i} V(i) = V(v) \cdot V(t) = \left(1 + \frac{\sigma_{v}}{\mu_{v}}\right)^{2} \cdot \left(1 + \frac{\sigma_{t}}{\mu_{t}}\right)^{2}$$

In (Gostner W, Schleiss A, 2011) wird empfohlen, den HMID auf den mittleren Jahresabfluss Q_m zu beziehen.

(Gostner, W., Schleiss, A., 2011)

Literatur **HMID**

Beispielwerte

Der HMID eines völlig regelmässigen Kanals mit ebener Sohle beträgt 1, da beide Variablen, die Fliesstiefe und die Fliessgeschwindigkeit, nicht variieren $(\sigma = 0)$. Je grösser die Variabilität, desto grösser der HMID. Für natürliche Gewässer wird ein Wert um die 10 erwartet. In (Gostner, W., Schleiss, A., 2011) sind die folgenden Beispiele dargestellt:



Abbildung 13 Aufnahmen von verschiedenen Untersuchungsabschnitten in (Gostner, W., Schleiss, A., 2011) mit HMID-Werten (blau): Bünz (oben): (1) durch Jahrhunderthochwasser 1999 geformtes pendelndes System, (2) naturbelassen pendelnd, (3) kanalisiert, (4) revitalisiert. Venoge (Mitte): (1) naturbelassen geradlinig, (2) kanalisiert, (3) kanalisiert, (4) naturbelassen mäandrierend. Sense (unten): (1) naturbelassen verzweigt, (2) naturbelassen in einer Schlucht pendelnd, (3) naturbelassen verzweigt, geringfügig verbaut, (4) rechtsufrig verbaut, linksufrig naturbelassen, (5) kanalisiert.

5.2 **Methode Erhebung und Auswertung**

Zu erhebende Daten

Ermittlung der Fliessgeschwindigkeiten und Wassertiefen bei verschiedenen Restwasserabflüssen (Restwasser Winter 1.8 m³/s, Restwasser Sommer 2.3 m³/s und mittlerer Jahresabfluss⁵ 6.2 m³/s) zweidimensionalen Strömungsmodells⁶.

Erhebungen für den Ausgangszustand

Untersuchungsstrecken	Erhebungszustand						
	Frühling	Sommer	Herbst	Winter	Niederwasser	Mittelwasser	Hochwasser
Emmenschachen					•	•	
Schwarzweg					•	•	
Papierfabrik					•	•	

Vorgehen

Die drei Untersuchungsstrecken wurden auf einer Länge von je ca. 300 m terrestrisches vermessen. Dabei wurden sowohl Querprofile als auch detailliert Sohlenstrukturen aufgenommen. Anschliessend wurde auf Basis der Vermessungen ein 2D-Strömungsmodell erstellt und der HMID für verschiedene Abflüsse berechnet.

⁵ Mittlerer Jahresabfluss der Messstation Wiler (19.2 m³/s) minus Ausbauwassermenge Kraftwerk Biberist (13 m³/s)

Die alte Restwassermenge betrug zwischen 0.6 bis 1 m³/s. Die Dotiermengen wurden 2013 erhöht und betragen jetzt 1.8 m³/s von September bis April und 2.3 m³/s von Mai bis August.

5.2.1 Emmenschachen



Abbildung 14 Untersuchungsstrecke Emmenschachen: Vermessungen (blaue Punkte = Querprofile, rote Punkte = lokale Strukturen)



Abbildung 15 Fotos der Untersuchungsstrecke Emmenschachen Links: gegen die Fliessrichtung, Rechts: in Fliessrichtung

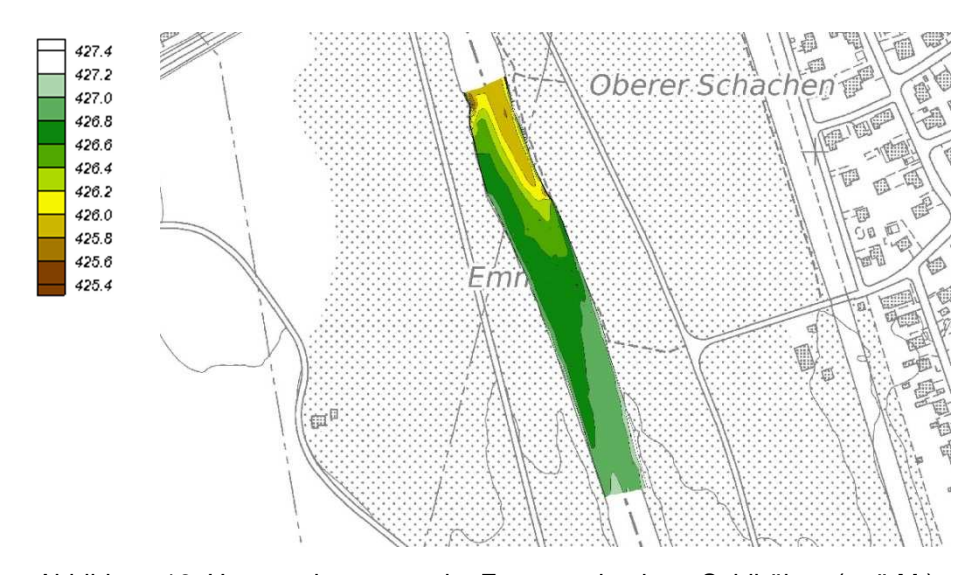


Abbildung 16 Untersuchungsstrecke Emmenschachen: Sohlhöhen (m.ü.M.)

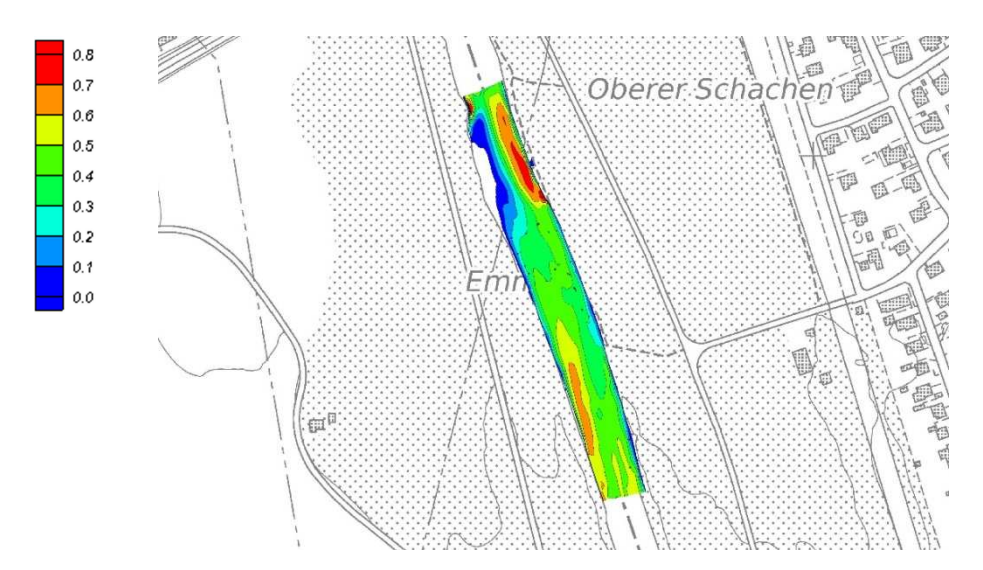


Abbildung 17 Untersuchungsstrecke Emmenschachen: Fliesstiefe (m) bei einem Abfluss von 6.2 m³/s

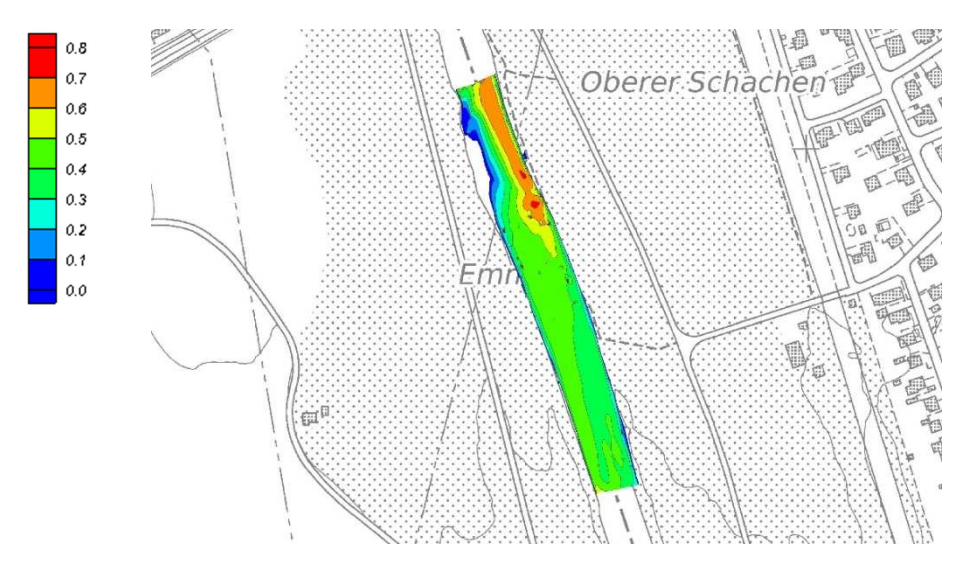


Abbildung 18 Untersuchungsstrecke Emmenschachen: Fliessgeschwindigkeit (m/s) bei einem Abfluss von 6.2 m³/s

5.2.2 Schwarzweg

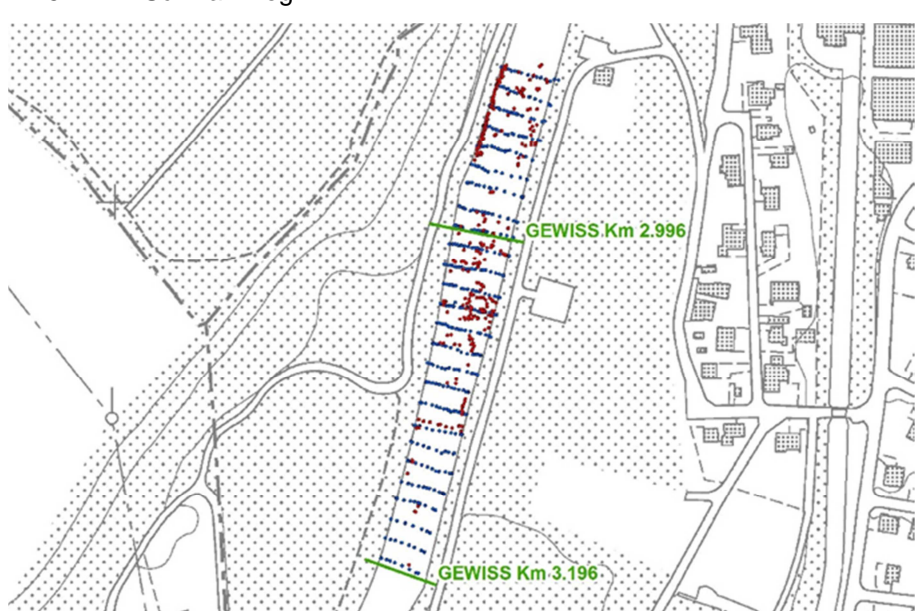


Abbildung 19 Untersuchungsstrecke Schwarzweg: Vermessungen (blaue Punkte = Querprofile, rote Punkte = lokale Strukturen)



Abbildung 20 Fotos der Untersuchungsstrecke Schwarzweg Links: Blick in Fliessrichtung auf die Schwelle, Rechts: im Hintergrund die Schwelle, Blick gegen die Fliessrichtung

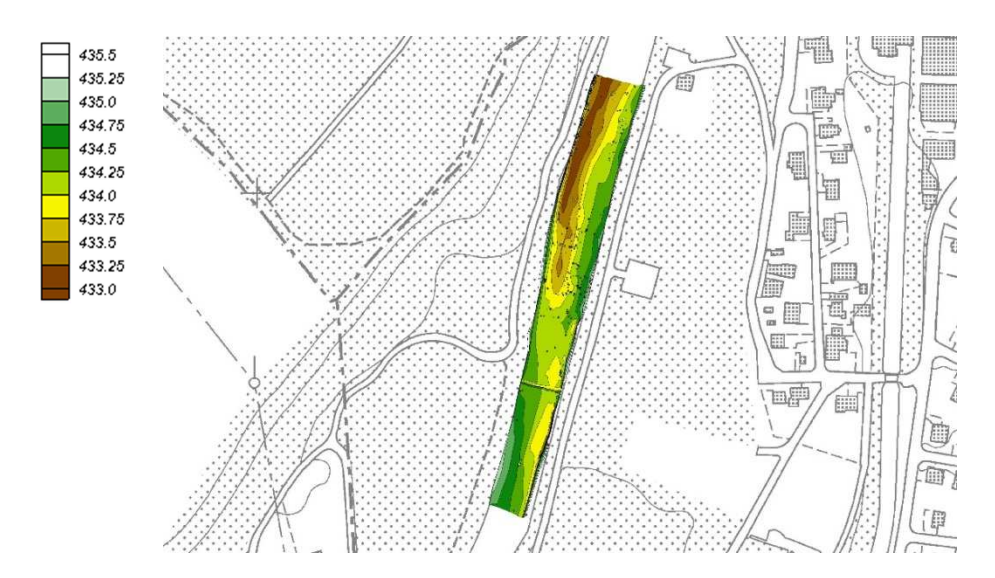


Abbildung 21 Untersuchungsstrecke Schwarzweg: Sohlhöhen (m.ü.M.)

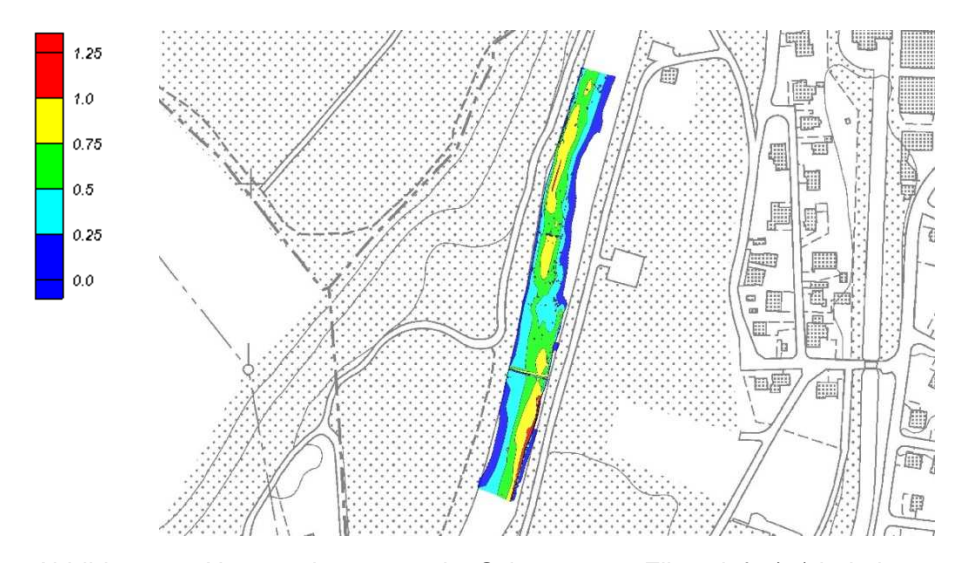


Abbildung 22 Untersuchungsstrecke Schwarzweg: Fliesstiefe (m) bei einem Abfluss von 6.2 m³/s

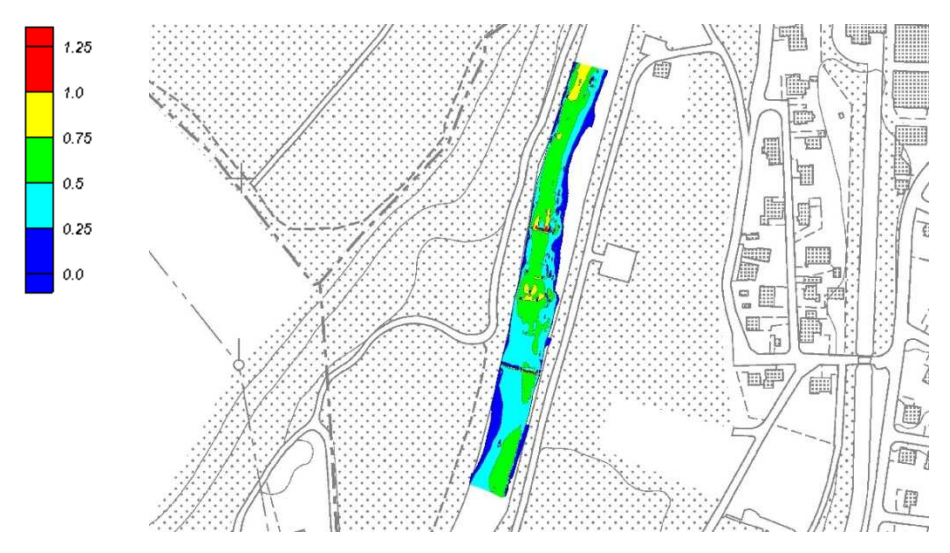


Abbildung 23 Untersuchungsstrecke Schwarzweg: Fliessgeschwindigkeit (m/s) bei einem Abfluss von 6.2 m³/s

5.2.3 Papierfabrik

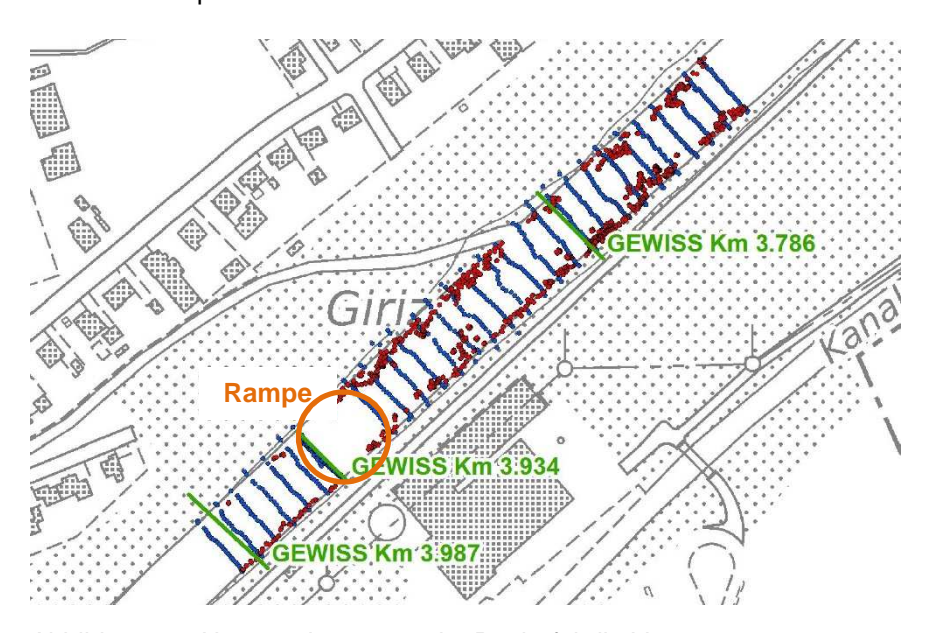


Abbildung 24 Untersuchungsstrecke Papierfabrik: Vermessung (blaue Punkte = Querprofile, rote Punkte = lokale Strukturen)

Die Rampe wurde nicht vermessen



Abbildung 25 Fotos der Untersuchungsstrecke Papierfabrik Links: oberhalb der Rampe, Blick gegen die Fliessrichtung Rechts: unterhalb der Rampe, Blick in Fliessrichtung

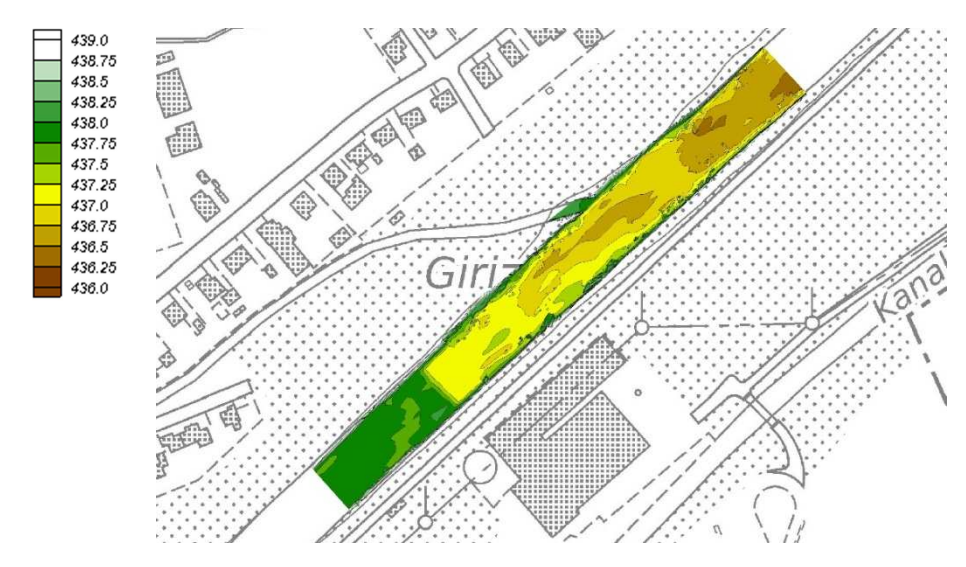


Abbildung 26 Untersuchungsstrecke Papierfabrik: Sohlhöhe (m.ü.M.)

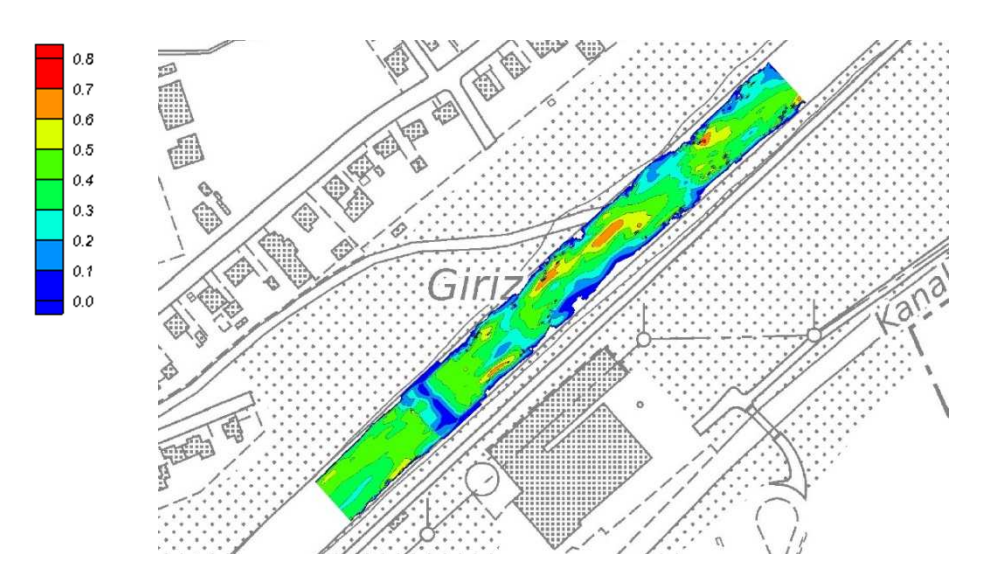


Abbildung 27 Untersuchungsstrecke Papierfabrik: Fliesstiefe (m) bei einem Abfluss von 6.2 m³/s

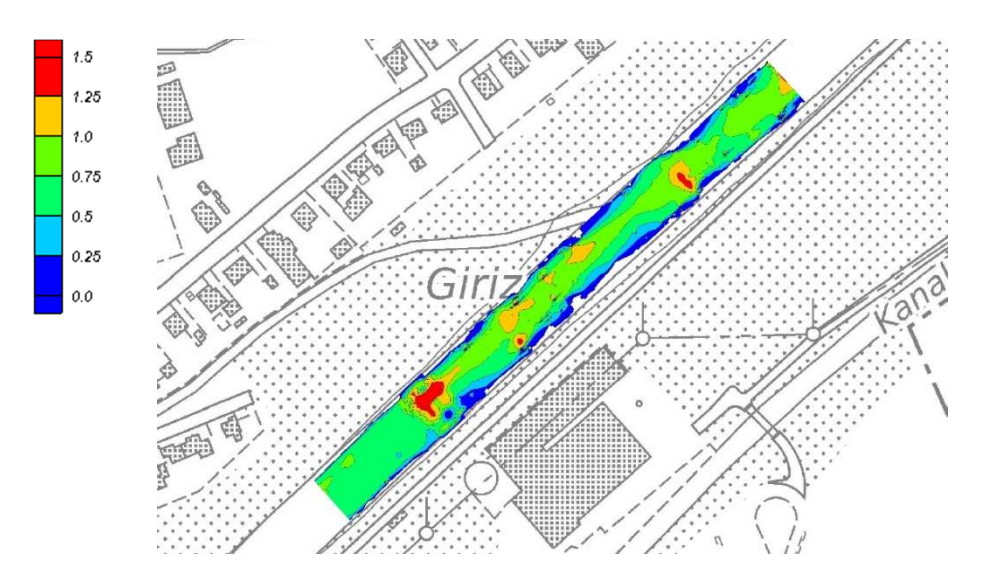


Abbildung 28 Untersuchungsstrecke Papierfabrik: Fliessgeschwindigkeit (m/s) bei einem Abfluss von 6.2 m³/s

Auswertung

Die Auswertung der hydraulischen Berechnungen erfolgt über die ganze Fläche der Untersuchungsstrecke durch die Berechnung des Mittelwerts und der Standardabweichung über alle Fliessgeschwindigkeiten resp. Wassertiefen. Der HMID wird gemäss der Formel des Abschnittes 5.1 berechnet.

5.3 Resultate

5.3.1 Emmenschachen

Die Tabelle 7 zeigt die HMID-Werte der Untersuchungsstrecke Emmenschachen für zwei Restwasserabflüsse und den mittleren Jahresabfluss.

	1.8 m ³ /s	2.3 m ³ /s	6.2 m ³ /s
Ganzer Abschnitt	4.2	4.0	3.4
Oberer Abschnitt	3.1	2.9	2.3
Unterer Abschnitt	5.8	5.6	5.0

Tabelle 7 HMID-Werte der Untersuchungsstrecke Emmenschachen für zwei Restwasserabflüsse und den mittleren Jahresabfluss

5.3.2 Schwarzweg

Die Tabelle 8 zeigt die HMID-Werte der Untersuchungsstrecke Schwarzweg für zwei Restwasserabflüsse und den mittleren Jahresabfluss.

	1.8 m³/s	2.3 m ³ /s	6.2 m ³ /s
Ganzer Abschnitt	6.5	6.0	4.6
Abschnitt oberhalb Schwelle	6.8	6.5	4.7
Abschnitt unterhalb Schwelle	5.5	5.2	4.4

Tabelle 8 HMID-Werte für die Untersuchungsstrecke Schwarzweg für zwei Restwasserabflüsse und den mittleren Jahresabfluss

5.3.3 Papierfabrik

Die Tabelle 9 zeigt die HMID-Werte der Untersuchungsstrecke Papierfabrik für zwei Restwasserabflüsse und den mittleren Jahresabfluss.

	1.8 m ³ /s	2.3 m ³ /s	6.2 m ³ /s
Ganzer Abschnitt (inkl. Rampe)	5.5	5.1	4.0
Abschnitt oberhalb Rampe	3.2	2.9	2.3
Abschnitt unterhalb Rampe	5.5	5.1	4.0

Tabelle 9 HMID-Werte für die Untersuchungsstrecke Papierweg für zwei Restwasserabflüsse und den mittleren Jahresabfluss

Kurzdiskussion

Emmenschachen

Die Untersuchungsstrecke Emmenschachen weist auf den ersten 200 m ein sehr monotones Gerinne auf. Die Sohle ist quasi eben und im Gerinne befinden sich fast keine grossen Steine oder andere Elementen (z. B. Wurzelbäume), welche die regelmässige Strömung stören. Bereits bei kleinen Abflüssen ist die ganze Sohle benetzt. Der HMID erreicht mit 2.3 einen sehr tiefen Wert. Auf den letzten 100 m ändern sich die morphologischen Verhältnisse dank einer leichten Gerinneverbreiterung und die Variabilität der Strömung nimmt deutlich zu. Auf der linken Seite befindet sich eine grosse Kiesbank und der Abfluss konzentriert sich entlang der rechten Böschung. Am Ende der Strecke befindet sich eine Schwelle. Der

- 45 -

HMID für diesen Teilabschnitt beträgt 5.0. Der HMID-Wert für die ganze Strecke beträgt 3.4.⁷

Schwarzweg

Die Untersuchungsstrecke Schwarzweg befindet sich am Ende einer Linkskurve. Im oberen Teil der Untersuchungsstrecke stützt wiederum eine kleine Schwelle die Sohle. Flussaufwärts dieser Schwelle verläuft der Talweg rechtsufrig entlang einer Mauer, am linken Ufer hat sich eine kleine Kiesbank gebildet. Flussabwärts der Schwelle befindet sich auf der rechten Seite eine ausgeprägte Kiesbank, sodass der Talweg die Flussseite wechselt. Insgesamt sind die morphologischen Strukturen aber gering. Oberhalb der Schwelle ist der HMID mit 4.7 etwas höher als unterhalb der Schwelle, wo er 4.4 beträgt. Über die ganze Strecke gemittelt wird ein Wert von 4.6 erreicht.

Papierfabrik

In der Untersuchungsstrecke Papierfabrik verursacht die bestehende Rampe eine grosse Variabilität der Strömung. Die Abschnitte oberhalb und unterhalb der Rampe weisen hingegen mehr oder weniger monotone Fliessstrukturen auf. Der Zustand des Uferschutzes hat ebenfalls einen Einfluss auf die HMID-Werte. Flussaufwärts der Rampe befindet er sich in einem guten Zustand, flussabwärts der Rampe wurden jedoch viele Uferschutzblöcke weggespült. Diese bilden nun in der Sohle neue Strukturen. Die unterschiedlichen Verhältnisse spiegeln sich auch in den Werte des HMID wider. Flussaufwärts der Rampe beträgt der Index für den mittleren Jahresabfluss 2.3, flussabwärts der Rampe 4.0. Der HMID-Wert für die ganze Strecke beträgt 4.0.

Zusammenfassung

Die drei Untersuchungsstrecken weisen in sich kein einheitliches Bild auf. Der tiefste Index wird in der Untersuchungsstrecke Emmenschachen mit einem HMID von 3.4 erreicht. Der tiefe Wert widerspiegelt den optischen Eindruck dieser sehr monotonen, strukturlosen Sohle. Leicht besser schneiden die Strecken Papierfabrik mit 4.0 und Schwarzweg mit 4.6 ab. Der verhältnismässig hohe Indexwert der Strecke Schwarzweg resultiert aus zwei ausgeprägten Kiesbänken. Insgesamt sind die HMID-Werte aber sehr tief und verdeutlichen die kanalisierten Verhältnisse in der Emme.

Wie erwartet sinken die Werte des HMID bei steigendem Abfluss (der Wert bei einem Abfluss von $6.2\,\mathrm{m}^3/\mathrm{s}$ ist rund ein Viertel tiefer als bei einem Abfluss von $1.8\,\mathrm{m}^3/\mathrm{s}$).

Die Untersuchungsstrecke befindet sich im oberen Teil des Abschnittes Emmenschachen, wo quasi keine Strukturen vorhanden sind. Der untere Teil weist dank Uferanrissen eine ausgeprägte Morphologie auf.

Sohlenstruktur

6.1 **Beschrieb**

Handbuch **EAWAG**

Steckbriefnr. 33, Sohle: Dynamik der Sohlenstruktur

Steckbriefnr. 36, Sohle: Sohlenstruktur

Definition

Quantitative Verteilung der Mesohabitate. Mesohabitate sind Flächen, die Wassertiefe, Fliessgeschwindigkeit bezüglich Substratzusammensetzung in sich einheitlich sind (z. B. Schnelle, Furt,

Flachwasser, Kolk usw.).

Begründung

naturnahes Fliessgewässer besteht aufgrund unterschiedlicher hydraulischer Bedingungen aus verschiedenen Sohlenformen und somit auch aus verschiedenen Habitatstrukturen. Die Vielfalt, die Grösse, die Form und die räumliche Verteilung dieser Habitate bestimmen massgeblich die Artenzusammensetzung und Häufigkeit der aquatischen Flora und Fauna. Die Ausbildung dieser Sohlenstrukturen ist eines der wichtigsten gewässerökologischen Entwicklungsziele.

Literatur

(Woolsey, S. et al., 2005)

6.2 Methode Erhebung und Auswertung

Zu erhebende Daten Vorgehen

Lage und Fläche der einzelnen Mesohabitate

Im Gegensatz zu den im Steckbrief aufgeführten Sohlenstrukturen werden die räumlich feiner aufgelösten Mesohabitate kartiert (siehe Anhang A). Die minimale Ausdehnung einer als Mesohabitat zu kartierenden Fläche beträgt in der grössten linearen Dimension (Länge, Breite, Diagonale) etwa die mittlere Wasserspiegelbreite. Entlang der Ufer sind die kartierten Flächen aber oft kleiner, um der kleinräumigen Uferstruktur gerecht zu werden. Die verwendete Typologie der Mesohabitate erfolgte in Anlehnung an einen Vorschlag der American Fisheries Society (Arend K. K., 1999).

Die Kartierung erfolgte weitgehend im Feld. Die Bedingungen waren an allen Erhebungsdaten optimal (klares Wasser, kein oder nur sehr wenig Wind). Zur Verortung der Mesohabitatflächen wurde ein submetergenaues GPS verwendet. Die Erfassungsgenauigkeit betrug je nach Standort 50-90 cm. Sie wurde durch die Mittelwertbildung von jeweils 3 Messwerten zusätzlich erhöht.

Die Feldkartierung wurde mit den Ergebnissen der 2D-Simulationen verifiziert bzw. für nicht watbare Bereiche ergänzt. Hierfür wurden den im Feld unterschiedenen Mesohabitaten die berechneten

Fliessgeschwindigkeiten und Wassertiefen zugewiesen (Abbildung 29). Im Sinne einer Hilfestellung liess sich auf diese Weise die Verteilung der Mesohabitate rechnerisch grob herleiten.

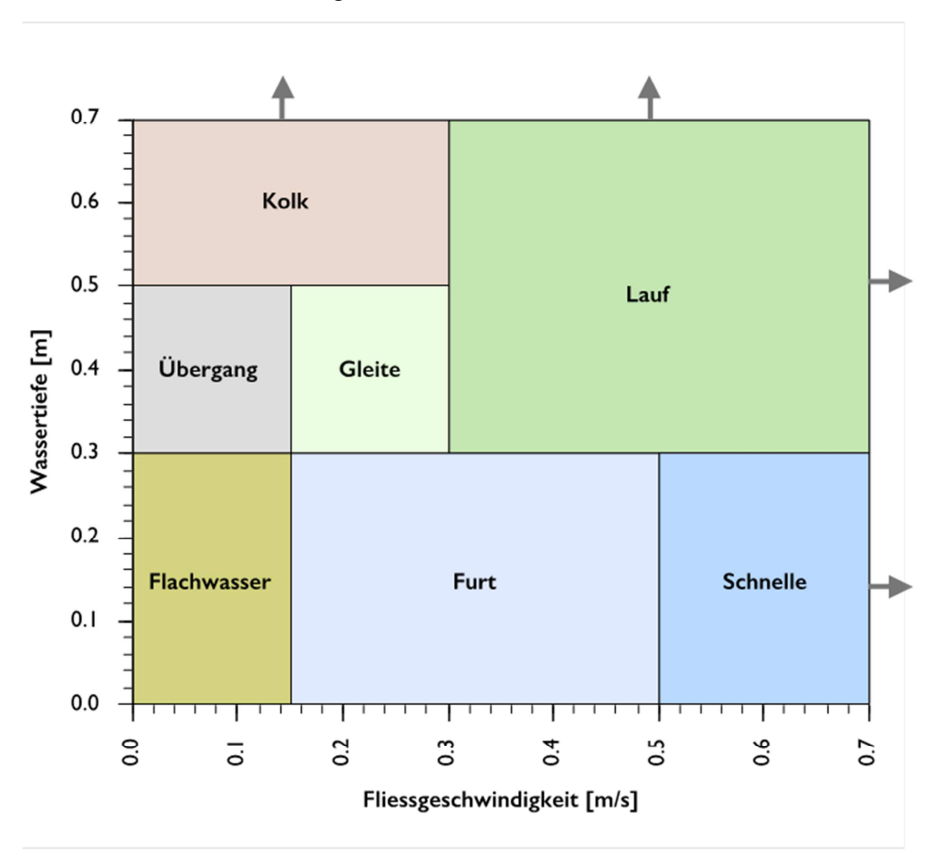


Abbildung 29 Den Mesohabitaten zugewiesene Schwellenwerte (verändert nach (Wyrick, J. R., Senter, A. E., Pasternack, G. B., 2014))

Erhebungen

Zur Berechnung der mittleren Gerinnesohlenbreite wurden auf der Basis der kartierten Flächen je nach Untersuchungsstrecke 12 oder 13 Querprofile im GIS vermessen.

Emmenschachen

4.12.2014 bei minimalem Restwasserabfluss von 1.8 $\rm m^3/s$ 6.3.2015 bei einem mittleren Restwasserabfluss von 8.7 $\rm m^3/s$

Koordinaten unten: 610 338 / 226 4399 oben: 610 1077 / 226 223

Länge: 316 m

Schwarzweg

4.12.2014 bei minimalem Restwasserabfluss von 1.8 m³/s 6.3.2015 bei einem mittleren Restwasserabfluss von 8.5 m³/s

Koordinaten unten: 610 737 / 227 077 oben: 610 665 / 226 793

Länge: 293 m

Papierfabrik

19.6.2014 bei minimalem Restwasserabfluss von 1.8 m³/s 6.3.2015 bei einem mittleren Restwasserabfluss von 6.9 m³/s

Koordinaten unten: 610 263 / 229 049 oben: 610 367 / 228 751

Länge: 326 m

Erhebungen für den Ausgangszustand

Untersuchungsstrecken	Erhebungszustand						
	Frühling	Sommer	Herbst	Winter	Niederwasser	Mittelwasser	Hochwasser
Emmenschachen					•	•	
Schwarzweg					•	•	
Papierfabrik					•	•	

Auswertung

Steckbriefnr. 36: Anzahl Strukturen pro Einheitslänge. Standardisierung auf Werte zwischen 0 und 1. Details vgl. (Woolsey, S. et al., 2005).

Steckbriefnr. 33: Hierfür wird die Verteilung der Mesohabitate zweier zeitlich versetzter Aufnahmen des Projektzustandes miteinander verglichen. Eine Beurteilung dieses Indikators ist deshalb erst möglich, wenn die zweite Aufnahme des Projektzustandes vorliegt.

6.3 Resultate

6.3.1 Emmenschachen

Insgesamt konnten 8 unterschiedliche Mesohabitate festgestellt werden, die sich auf 7 Sohlenstrukturen verteilen (vgl. Tabelle 10). 2 der gemäss Steckbrief zu unterscheidenden 9 Typen von Sohlenstrukturen fehlen (Stufe und Becken). Die einzelnen Typen kommen nur in geringen Häufigkeiten vor (vgl. Abbildung 31).

Der Vielfalt an Strukturtypen steht ein einseitiges Verhältnis der Flächenanteile gegenüber. Der Typ Furt dominiert die Untersuchungsstrecke mit einem Flächenanteil von 86 %.

Das quantitative Vorkommen und die räumliche Verteilung der Mesohabitate unterscheiden sich zwischen den beiden untersuchten Abflüssen nur wenig (vgl. Abbildung 30). Bei einem Abfluss von 1.8 m³/s ist bereits der grösste Teil des kanalisierten Gerinnes benetzt. Trockene Kiesbänke nehmen lediglich 10 % der Fläche ein. Eine Erhöhung des Abflusses auf 8.7 m³/s führt wegen der steilen Uferböschungen kaum zu einer Zunahme der benetzten Breite. Folglich entstehen auch keine neuen Mesohabitate. Vielmehr verschwinden die peripher gelegenen Mesohabitate wie z. B. die Flachwasserzonen.

Mesohabitat	Sohlenstruktur	Abfl	uss 1.8	m³/s		Abf	Abfluss 8.7 m³/s			
(Arend K. K., 1999)	(Woolsey, S. et al., 2005)	Anzahl	Anzahl pro EL	Fläche [m²]	Fläche [%]	Anzahl	Anzahl pro EL	Fläche [m²]	Fläche [%]	
Stufe	Stufe	0	0.0	0	0	0	0.0	0	0	
Schussrinne	Schnelle	1	1.0	144	2	0	0.0	0	0	
Schnelle	Schnelle	2	1.9	402	5	1	1.0	317	4	
Lauf	Schnelle	2	1.9	159	2	3	2.9	878	10	
Furt	Furt	3	2.9	1'565	19	1	1.0	5'888	67	
Gleite	Rinne	4	3.8	2'666	32	2	1.9	1'574	18	
Felsgleite	Rinne	1	1.0	860	10	0	0.0	0	0	
Staukolk	Rinne	0	0.0	0	0	0	0.0	0	0	
Flachwasser	Flachwasser	8	7.7	718	9	1	1.0	22	0.3	
Tümpel	Flachwasser	1	1.0	37	0.4	0	0.0	0	0	
Hinterwasser	Hinterwasser	1	1.0	19	0.2	1	1.0	60	0.7	
Stufenkolk	Becken	0	0.0	0	0	0	0.0	0	0	
Lateralkolk	Kolk	3	2.9	358	4	1	1.0	27	0.3	
Kiesbank	Bank	13	12.4	1'383	17	0	0.0	0	0	
Summe		10	12.9	10'815	100	6	7.7	10'853	100	

Tabelle 10 Mesohabitate bzw. Sohlenstrukturen in der Untersuchungstrecke Emmenschachen

Mittlere Gerinnesohlenbreite: 34 m Länge Untersuchungsstrecke: 316 m

Einheitslänge EL (12x mittlere Sohlenbreite): 408 m



Abbildung 30 Verteilung der Mesohabitate in der Untersuchungsstrecke Emmenschachen am 4.12.2014 (Abfluss 1.8 m³/s) und am 6.3.2015 (Abfluss 8.7 m³/s). Orthofoto vom Frühling 2011

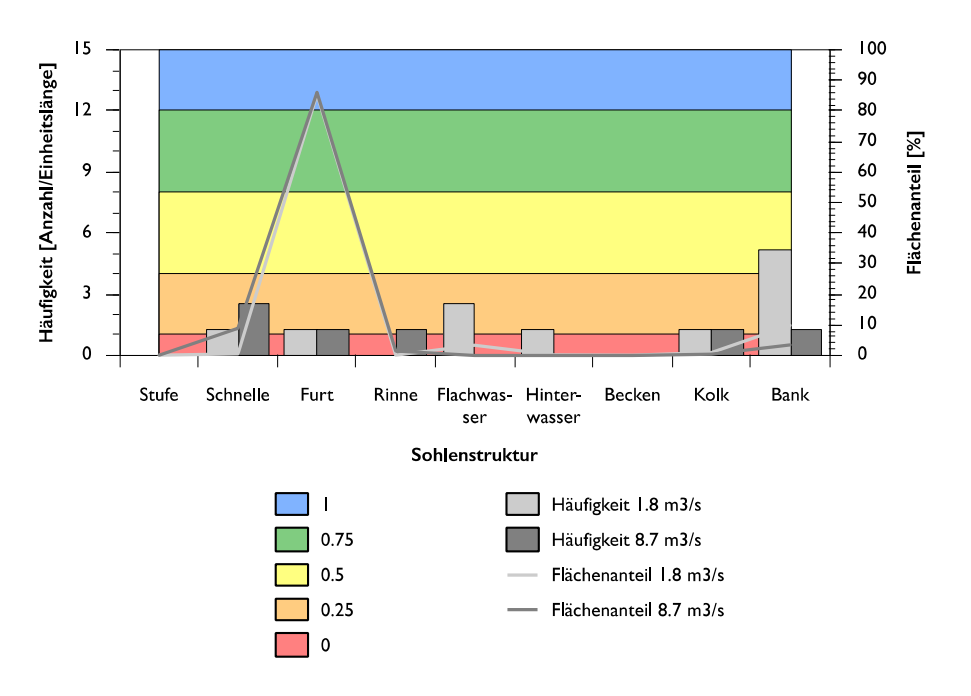


Abbildung 31 Häufigkeit der Sohlenstrukturen in der Untersuchungsstrecke Emmenschachen und Zuordnung der standardisierten Werte (0 = naturfern, 1 = naturnah, Details vgl. Tabelle 13)

6.3.2 Schwarzweg

Es konnten 11 unterschiedliche Mesohabitate festgestellt werden. Sie entsprechen 7 der gemäss Steckbrief zu unterscheidenden 9 Typen von Sohlenstrukturen (vgl. Tabelle 11). 2 Strukturtypen fehlen (Stufe und Becken). Die einzelnen Typen kommen meist nur in geringer Anzahl vor. Lediglich die Typen Lauf und Flachwasser sind häufig (vgl. Abbildung 33). Laufstrukturen dominieren denn auch die Untersuchungsstrecke mit einem Flächenanteil von fast 30 %. Grosse Flächen nehmen auch die Furten und die Kiesbänke ein.

Im Längsprofil zeigt die Emme eine Schnellen-Lauf-Sequenz (Abbildung 32). Aufgrund der Gerinneform und dem relativ hohen Gefälle wäre eher eine Schnellen- bzw. Furt-Kolk-Sequenz zu erwarten. Der anstehende Fels verhindert möglicherweise die Ausbildung typischer Kolke. Im Querprofil wird die zu erwartende typische Abfolge von Mesohabitaten (Kiesbank (trocken)-Flachwasser-Furt-Lauf-Furt-Flachwasser-Kiesbank) durch die Uferverbauungen entlang des Mesohabitates Lauf unterbrochen (Kiesbank (trocken)-Flachwasser-Furt-Lauf-Uferverbauung).

Das quantitative Vorkommen und die räumliche Verteilung der Mesohabitate unterscheidet sich zwischen den beiden untersuchten Abflüssen nur wenig (Abbildung 32). Bei einem Abfluss von 1.8 m³/s ist bereits der grösste Teil

des kanalisierten Gerinnes benetzt. Trockene Kiesbänke nehmen zwar 26 % der Fläche ein, bei einer Erhöhung des Abflusses auf 8.5 m³/s werden sie aber nur zu einem geringen Teil überflutet. Zudem führt die Abflusszunahme auch wegen der steilen Uferböschungen nicht zu einer deutlichen Zunahme der benetzten Breite. Folglich entstehen auch kaum neue Mesohabitate.

Mesohabitat	Sohlenstruktur	Abfl	uss 1.8	m³/s		Abflu	Abfluss 8.5 m³/s			
(Arend K. K., 1999)	(Woolsey, S. et al., 2005)	Anzahl	Anzahl pro EL	Fläche [m²]	Fläche [%]	Anzahl	Anzahl pro EL	Fläche [m²]	Fläche [%]	
Stufe	Stufe	0	0.0	0	0	0	0.0	0	0	
Schussrinne	Schnelle	0	0.0	0	0	1	1.1	22	0.3	
Schnelle	Schnelle	3	3.3	547	7	3	3.3	562	7	
Lauf	Schnelle	8	8.8	2'300	29	4	4.4	3'684	47	
Furt	Furt	4	4.4	1'597	20	4	4.4	1'823	23	
Gleite	Rinne	2	2.2	584	7	0	0.0	0	0	
Felsgleite	Rinne	1	1.1	144	2	0	0.0	0	0	
Staukolk	Rinne	0	0.0	0	0	0	0.0	0	0	
Flachwasser	Flachwasser	6	6.6	608	8	6	6.6	316	4	
Tümpel	Flachwasser	3	3.3	78	1	4	4.4	67	1	
Hinterwasser	Hinterwasser	1	1.1	38	0.5	1	1.1	51	0.6	
Stufenkolk	Becken	0	0.0	0	0	0	0.0	0	0	
Lateralkolk	Kolk	1	1.1	21	0.3	0	0.0	0	0	
Kiesbank	Bank	2	2.2	2'085	26	2	2.2	1'393	18	
Summe		31	34.3	8'002	100	25	27.6	7'918	100	

Tabelle 11 Mesohabitate bzw. Sohlenstrukturen in der Untersuchungsstrecke Schwarzwerg

Mittlere Gerinnesohlenbreite: 27 m Länge Untersuchungsabschnitt: 293 m

Einheitslänge EL (12x mittlere Sohlenbreite): 324 m

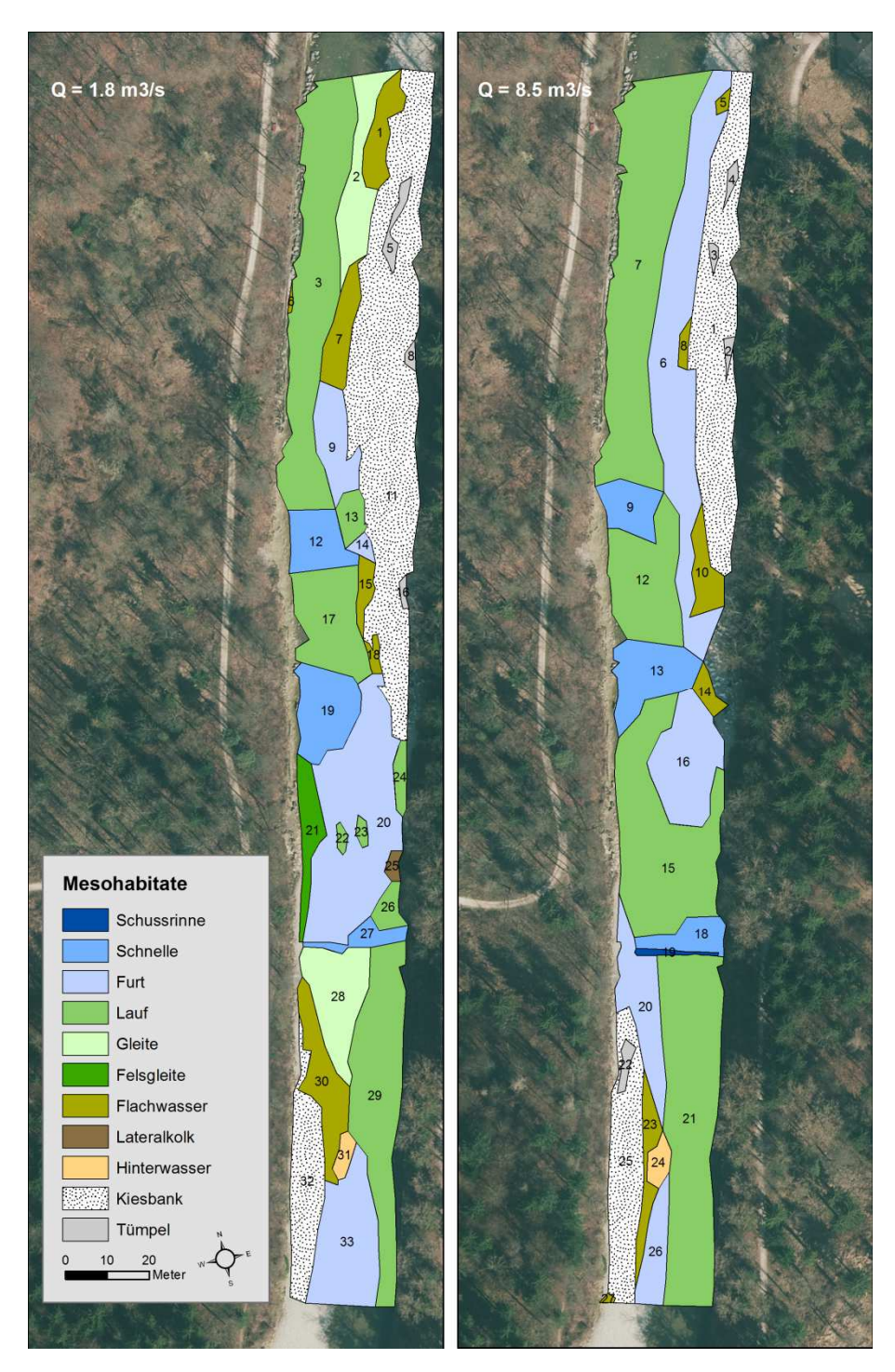


Abbildung 32 Verteilung der Mesohabitate in der Untersuchungsstrecke Schwarzweg am 4.12.2014 (Abfluss 1.8 m³/s) und am 6.3.2015 (Abfluss 8.5 m³/s). Orthofoto vom Frühling 2011

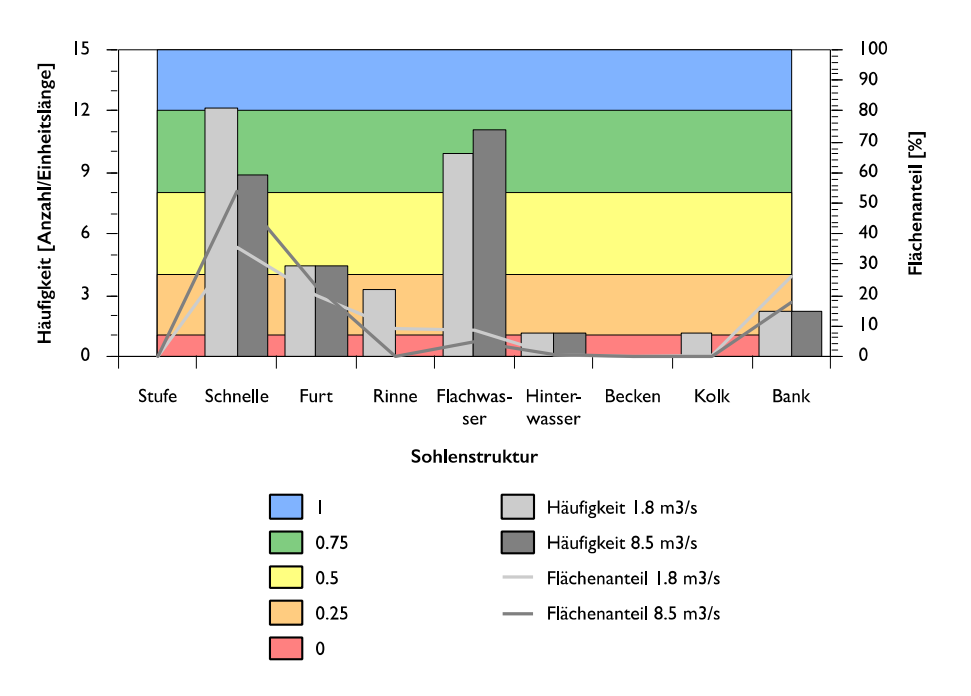


Abbildung 33 Häufigkeit der Sohlenstrukturen in der Untersuchungsstrecke Schwarzweg und Zuordnung der standardisierten Werte (0 = naturfern, 1 = naturnah, Details vgl. Tabelle 13)

6.3.3 Papierfabrik

Es wurden 10 unterschiedliche Mesohabitate festgestellt. Sie entsprechen 7 der gemäss Steckbrief zu unterscheidenden 9 Typen von Sohlenstrukturen (vgl. Tabelle 12). Auch in dieser Strecke fehlen die beiden Typen Stufe und Becken. Die einzelnen Typen kommen meist nur in geringer Anzahl vor. Flachwasser und Kiesbänke sind aber häufig (vgl. Abbildung 35).

Die Emme zeigt im Längsprofil Ansätze einer Schnellen-Lauf-Sequenz (vgl. Abbildung 34). Sie entspricht der typischen Mesohabitatverteilung in Fliessgewässerabschnitten mit geringem Gefälle. Der anstehende Fels verhindert möglicherweise eine Schnellen- bzw. Furt-Kolk-Sequenz, die eigentlich eher dem natürlichen Gefälle entsprechen würde. Die zu erwartende typische Abfolge von Mesohabitaten im Querprofil (Kiesbank (trocken)-Flachwasser-Furt-Lauf-Furt-Flachwasser-Kiesbank) zeigt sich ebenfalls nur ansatzweise, was primär auf die Kanalisierung zurückzuführen ist.

Das quantitative Vorkommen und die räumliche Verteilung der Mesohabitate unterscheidet sich zwischen den beiden untersuchten Abflüssen beträchtlich (Abbildung 34). Bei einem Abfluss von 1.8 m³/s dominieren die Mesohabitate Gleite und Furt sowie die Kiesbänke. Zudem kommen einige peripher gelegene Mesohabitate, insbesondere Flachwasser und Lateralkolke, vor.

Eine Erhöhung des Abflusses auf 6.9 m³/s führt zu einer deutlichen Monotonisierung. Wegen der steilen Uferböschungen der kanalisierten Emme entstehen im Querprofil keine zusätzlichen Mesohabitate. Vielmehr reduziert sich deren Gesamtzahl auf einen Viertel, vor allem wegen dem Verlust an peripheren Mesohabitaten.

Mesohabitat	Sohlenstruktur	Abfl	uss 1.8	m³/s		Abflu	ıss 6.9	m³/s	
(Arend K. K., 1999)	(Woolsey, S. et al., 2005)	Anzahl	Anzahl pro EL	Fläche [m²]	Fläche [%]	Anzahl	Anzahl pro EL	Fläche [m²]	Fläche [%]
Stufe	Stufe	0	0.0	0	0	0	0.0	0	0
Schussrinne	Schnelle	1	1.0	144	2	0	0.0	0	0
Schnelle	Schnelle	2	1.9	402	5	1	1.0	317	4
Lauf	Schnelle	2	1.9	159	2	3	2.9	878	10
Furt	Furt	3	2.9	1'565	19	1	1.0	5'888	67
Gleite	Rinne	4	3.8	2'666	32	2	1.9	1'574	18
Felsgleite	Rinne	1	1.0	860	10	0	0.0	0	0
Staukolk	Rinne	0	0.0	0	0	0	0.0	0	0
Flachwasser	Flachwasser	9	8.6	755	9	1	1.0	22	0
Hinterwasser	Hinterwasser	1	1.0	19	0.2	1	1.0	60	1
Stufenkolk	Becken	0	0.0	0	0	0	0.0	0	0
Lateralkolk	Kolk	3	2.9	358	4	1	1.0	27	0
Kiesbank	Bank	13	12.4	1'383	17	0	0.0	0	0
Summe		39	37.3	8'311	100	10	9.6	8'766	100

Tabelle 12 Mesohabitate bzw. Sohlenstrukturen in der Untersuchungstrecke Papierfabrik

Mittlere Gerinnesohlenbreite: 26 m Länge Untersuchungsabschnitt: 326 m

Einheitslänge EL (12x mittlere Sohlenbreite): 312 m

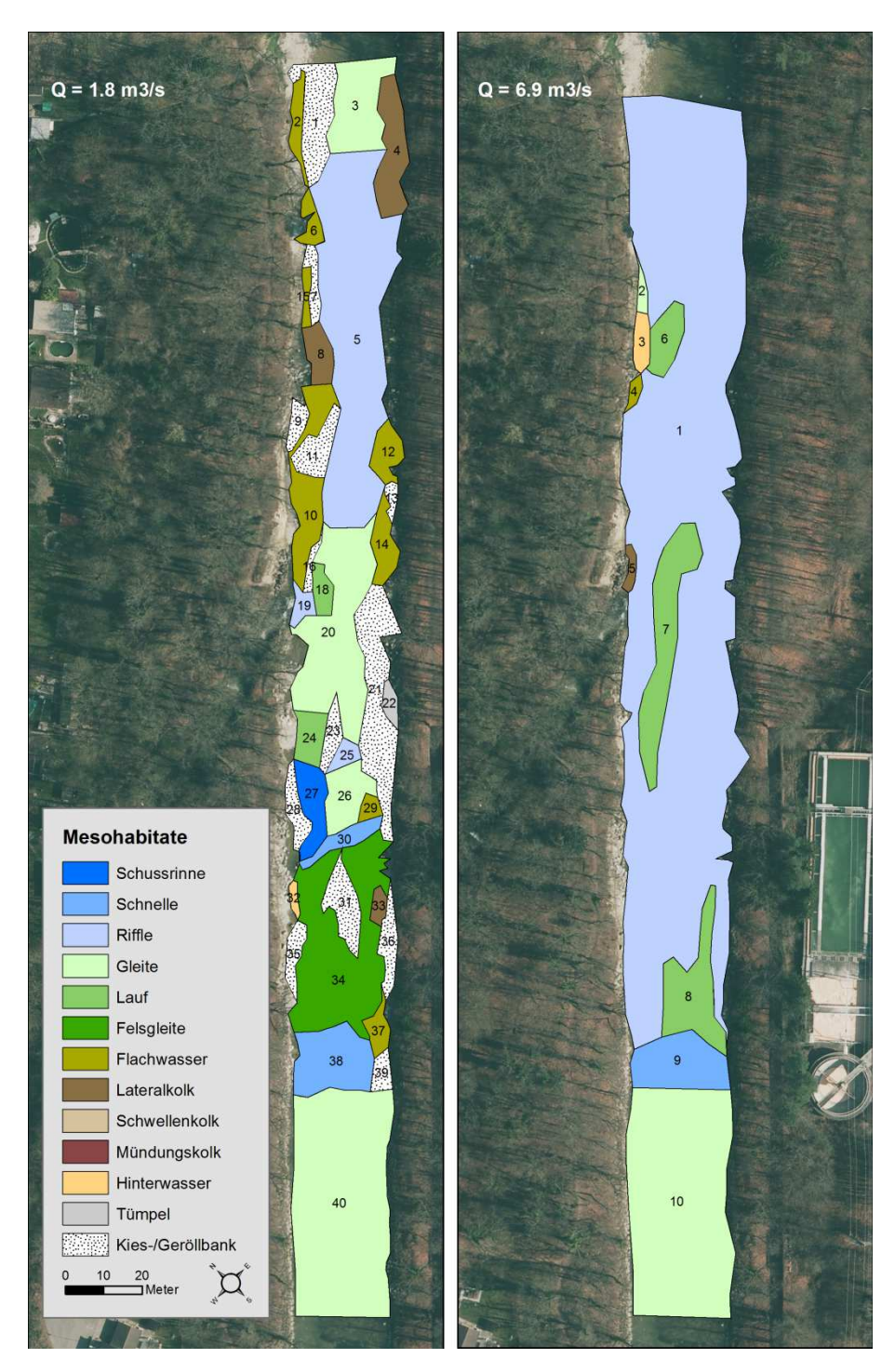


Abbildung 34 Verteilung der Mesohabitate in der Untersuchungsstrecke Papierfabrik am 19.6.2014 (Abfluss 1.8 m³/s) und am 6.3.2015 (Abfluss 6.9 m³/s). Orthofoto vom Frühling 2011

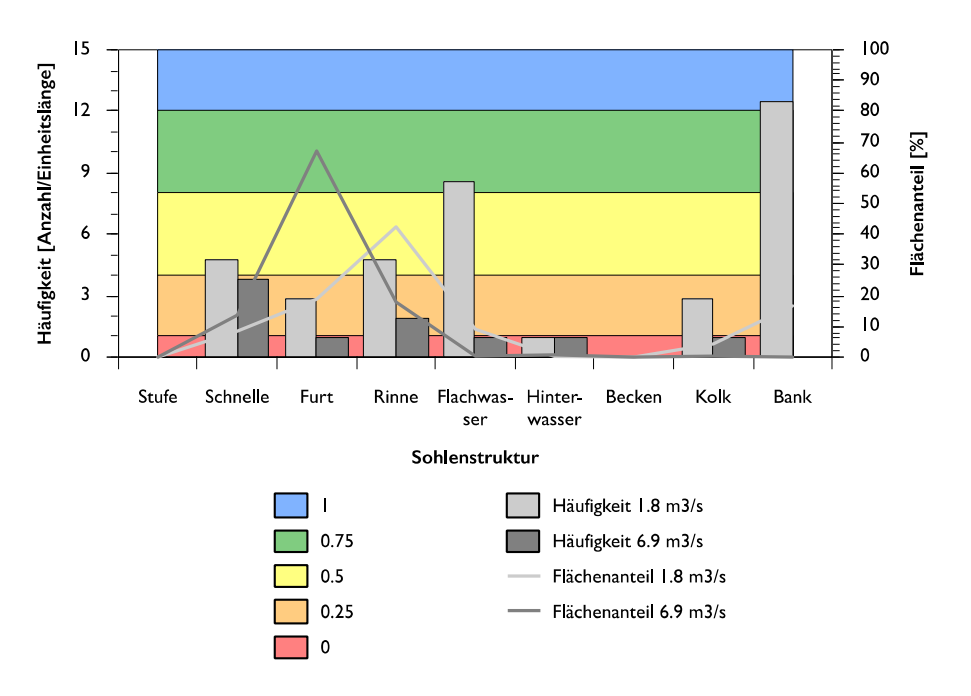


Abbildung 35 Häufigkeit der Sohlenstrukturen in der Untersuchungsstrecke Papierfabrik und Zuordnung der standardisierten Werte (0 = naturfern, 1 = naturnah, Details vgl. Tabelle 13)

6.4 Kurzdiskussion

Die untersuchten Strecken zeigen insgesamt eine grosse Vielfalt an Sohlenstrukturen, unterscheiden sich diesbezüglich aber untereinander. Die Strecke Emmenschachen ist bei beiden untersuchten Abflüssen sehr monoton. Die Strecke Schwarzweg hingegen zeigt auch bei Mittelwasserabfluss eine gewisse Heterogenität. Die Strecke Papierfabrik schliesslich verliert ihre Vielfalt an Sohlenstrukturen bei einer Abflusszunahme um 5 m³/s.

Einige wenige Typen dominieren (Furten, Gleiten, Kiesbänke). Dies ist primär auf die Kanalisierung und die steilen, oft verbauten Ufer der Emme zurückzuführen. Eine Ausuferung und damit die Bildung unterschiedlicher peripher gelegener Mesohabitate – insbesondere bei höheren Abflüssen – kann sich deshalb nicht überall ausbilden. Es fehlt aber auch weitgehend das Totholz im Gerinne. Totholz verändert lokal das Strömungsmuster und induziert damit die Bildung unterschiedlicher Mesohabitate (Lateralkolk, Lauf, Hinterwasser usw.).

Der Mangel an Strukturen manifestiert sich auch im Fischbestand. Die Biomasse ist in strukturarmen Abschnitten wie im Emmenschachen sehr tief (vgl. Anhang B). Die Felsrippe oberhalb Derendingen führt zu einer deutlich vielfältigeren Sohlenstruktur. Entsprechend grösser ist auch die Fischbiomasse.

Mesohabitate bilden unterschiedliche Lebensräume für die Fische. Furten sind die typischen Laichhabitate der Kieslaicher. Sie sind in ausreichendem Masse vorhanden und weisen auch ein geeignetes Laichsubstrat auf (vgl. Kapitel 8). Trotzdem fehlen die typischen Kieslaicher weitgehend. Dies dürfte auf die zu hohen Wassertemperaturen im Sommer (vor allem für die Äsche), aber auch auf den Mangel an Kolken und Unterständen (z. B. für die Bachforelle) zurückzuführen sein.

Die Flachwasserzonen sind ausgezeichnete Habitate für Jungfische. Sie verschwinden in den Strecken Papierfabrik und Emmenschachen bereits bei einem mittleren Abfluss weitgehend und dürften bei Hochwasser völlig fehlen. Der hohe Flächenanteil seichter Mesohabitate (Furten, Gleiten, Flachwasser) liefert ideale Lebensräume für Kleinfischarten. Schmerle, Elritzen und Groppe sind denn auch die häufigsten Fischarten.

Die Anzahl Sohlenstrukturen pro Einheitslänge liegt bei maximal 12.4, sehr oft aber zwischen 1 und 4. In den Strecken Schwarzweg und Papierfabrik sind aber verschieden Strukturen vorhanden. Demnach wird dem Indikator «Sohlenstruktur» für diese beiden Strecken der standardisierte Wert von 0.5, der Strecke Emmenschachen derjenige von 0.25 zugeordnet (vgl. Tabelle 13).

Bewertungsklasse	Bewertungsklasse					
Beschreibung	Anzahl Strukturen pro Typ und Einheitslänge	Standardisierter Wert	Emmenschachen	Schwarzweg	Papierfabrik	
ebene Sohle ohne nennenswerte Strukturen	0 - 1	0				
vereinzelte, räumlich getrennte Strukturen vorhanden	1 - 4	0.25	х			
verschiedene Strukturen vorhanden	4 - 8	0.5		х	х	
typische Strukturen einer Furt- Kolk-Sequenz vorhanden (Schnelle, Furt, Rinne, Becken)	8 - 12	0.75				
typische Strukturen einer Lauf- Hinterlauf- oder einer Stufen- Becken-Sequenz vorhanden (Stufe, Schnelle, Furt, Lauf, Becken)	> 12	1				

Tabelle 13 Bewertungsklassen und Zuordnung der standardisierten Werte nach (Woolsey, S. et al., 2005) für die untersuchten Strecken

Uferstruktur 7

7.1 **Beschrieb**

Handbuch **FAWAG**

Steckbriefnr. 43, Ufer: Dynamik der Uferstruktur

Steckbriefnr. 45, Ufer: Uferstruktur

Definition

Verteilung der Uferstrukturen und Verschiebung der Uferlinie

Begründung

Die Uferlinie bildet die Schnittstelle zwischen dem aquatischen und dem terrestrischen Raum. Als Grenzbiotop bietet ein natürliches Ufer vielen spezialisierten Arten einen Lebensraum. Die Veränderung der Uferstruktur

charakterisiert die Morphodynamik des Gewässers.

Literatur

(Woolsey, S. et al., 2005)

Methode Erhebung und Auswertung 7.2

Zu erhebende Daten

Art, Länge und Lage der Uferstrukturtypen sowie Anteil der Längsverbauung bei minimalem und mittlerem Restwasserabfluss.

Vorgehen

Die Uferlinie wurde im Feld mit einem submetergenauen GPS vermessen. Die Erfassungsgenauigkeit betrug je nach Standort 60-90 cm. Sie wurde durch die Mittelwertbildung von jeweils 3 Messwerten zusätzlich erhöht. Gleichzeitig erfolgte die Kartierung der Strukturelemente.

Erhebung

Emmenschachen

25.11.2014 bei minimalem Restwasserabfluss von 1.8 m³/s (RW) 6.3.2015 bei einem mittleren Restwasserabfluss von 8.7 m³/s (MW)

Koordinaten (Länge 318 m):

unten links: 610 249 / 229 045 unten rechts: 610 276 / 229 056 oben links: 610 352 / 228 743 oben rechts: 610 382 /

228 754

Schwarzweg

25.11.2014 bei minimalem Restwasserabfluss von 1.8 m³/s (RW) 6.3.2015 bei einem mittleren Restwasserabfluss von 8.5 m³/s (MW)

Koordinaten (Länge 297 m):

unten links: 610 724 / 227 082 unten rechts: 610 747 /

227 078

oben links: 610 658 / 226 794 oben rechts: 610 678 / 226 791

- 61 -

Papierfabrik

19.6.2014 bei minimalem Restwasserabfluss von 1.8 m³/s

6.3.2015 bei einem mittleren Restwasserabfluss von 6.9 m³/s (MW)

Koordinaten (Länge 317 m):

610 338 / 226 443 unten links: unten rechts: 610 347 /

226 426

oben links: 610 098 / 226 233 oben rechts: 610 114 /

226 214

Erhebungen für den Ausgangszustand

Untersuchungsstrecken	Erhebungszustand						
	Frühling	Sommer	Herbst	Winter	Niederwasser	Mittelwasser	Hochwasser
Emmenschachen					•	•	
Schwarzweg					•	•	
Papierfabrik					•	•	

Auswertung

Steckbriefnr. 45: Anzahl Strukturelemente pro Einheitslänge, Länge des verbauten Ufers

Für die Bewertung der Uferstruktur werden zwei Parameter berechnet: "Längsverbauung" (A_{Verb}) und "Strukturelemente" (A_{Struktur}). Der Parameter Längsverbauung wird basierend auf der Länge des Ufers sowie der Länge von glatter und rauer Längsverbauung berechnet:

$$A_{Verb} = 1/2 * (1-(L_{L\ddot{a}ngsverbau glatt} + 0.5*L_{L\ddot{a}ngsverbau rau})/L_{Ufer})$$

Für A_{Verb} resultieren standardisierte Werte zwischen 0 (beidseitig glatt verbaut) und 0.5 (ohne Längsverbau).

Der Parameter Strukturelemente wird basierend auf der Anzahl vorkommender Strukturtypen pro Einheitslänge (n) festgelegt. Die Einheitslänge wird als 12-fache Gewässerbreite definiert. Die Werte n werden wie folgt standardisiert:

n	Standardisierter Wert
n ≤ 1	AStruktur = 0
1 < n < 5	AStruktur = 0.125*n - 0.125
5 ≥ n	AStruktur = 0.5

Die Parameter A_{Verb} und $A_{Struktur}$ werden zusammengezählt. Dabei resultiert ein standardisierter Endwert zwischen 0 und 1. Details vgl. (Woolsey, S. et al., 2005).

Steckbriefnr. 43: Hierfür werden die Verteilung der Strukturtypen und die Verschiebung der Uferlinie zweier zeitlich versetzter Aufnahmen des Projektzustandes miteinander verglichen. Eine Beurteilung dieses Indikators ist deshalb erst möglich, wenn die zweite Aufnahme des Projektzustandes vorliegt.

7.3 Resultate

7.3.1 Emmenschachen

Uferverbauung

Die Uferböschung ist am unteren Ende der Untersuchungsstrecke beidseitig vollständig mit Blockwurf verbaut.

Strukturelemente

Die vorkommenden Strukturtypen sind Flachufer, Steilufer, Bucht und Wurzelwerk (vgl. Tabelle 14 und Tabelle 15). Flachufer sind beim Mittelwasserabfluss deutlich weniger häufig. Steilufer hingegen nehmen zu. Dies ist auf die Verschiebung der Uferlinie an den Böschungsfuss des kanalisierten Gerinnes zurückzuführen.

Strukturtyp	linkes Ufer		rechte	s Ufer	beide Ufer		
	[m]	[%]	[m]	[%]	[m]	[%]	
Flachufer	245	61	122	38	367	51	
Steilufer	120	30	174	54	294	41	
Fels	0	0	0	0	0	0	
Sporn	0	0	0	0	0	0	
Bucht	18	4	0	0	18	2	
Wurzelwerk	0	0	8	2	8	1	
Blockgefüge	0	0	0	0	0	0	
Längsverbauung rau	20	5	18	6	38	5	
Längsverbauung glatt	0	0	0	0	0	0	
Summe	403	100	322	100	725	100	

Tabelle 14 Uferstrukturtypen in der Untersuchungsstrecke Emmenschachen bei minimalem Restwasser am 25.11.2014.

Strukturtyp	linkes	Ufer	rechtes Ufer		beide	Ufer
	[m]	[%]	[m]	[%]	[m]	[%]
Flachufer	93	26	0	0	93	14
Steilufer	201	57	301	94	502	74
Fels	0	0	0	0	0	0
Sporn	0	0	0	0	0	0
Bucht	18	5	0	0	18	3
Wurzelwerk	23	7	0	0	23	3
Blockgefüge	0	0	0	0	0	0
Längsverbauung rau	20	6	18	6	38	6
Längsverbauung glatt	0	0	0	0	0	0
Summe	355	100	319	100	674	100

Tabelle 15 Uferstrukturtypen in der Untersuchungsstrecke Emmenschachen bei mittlerem Restwasser am 6.3.2015.

Uferlinie

Die Uferlinie liegt bei beiden untersuchten Abflüssen sehr nahe oder direkt am Böschungsfuss (Abbildung 36). Grössere Verschiebungen ergeben sich lediglich bei der linksufrigen Kiesbank am unteren Streckenende.

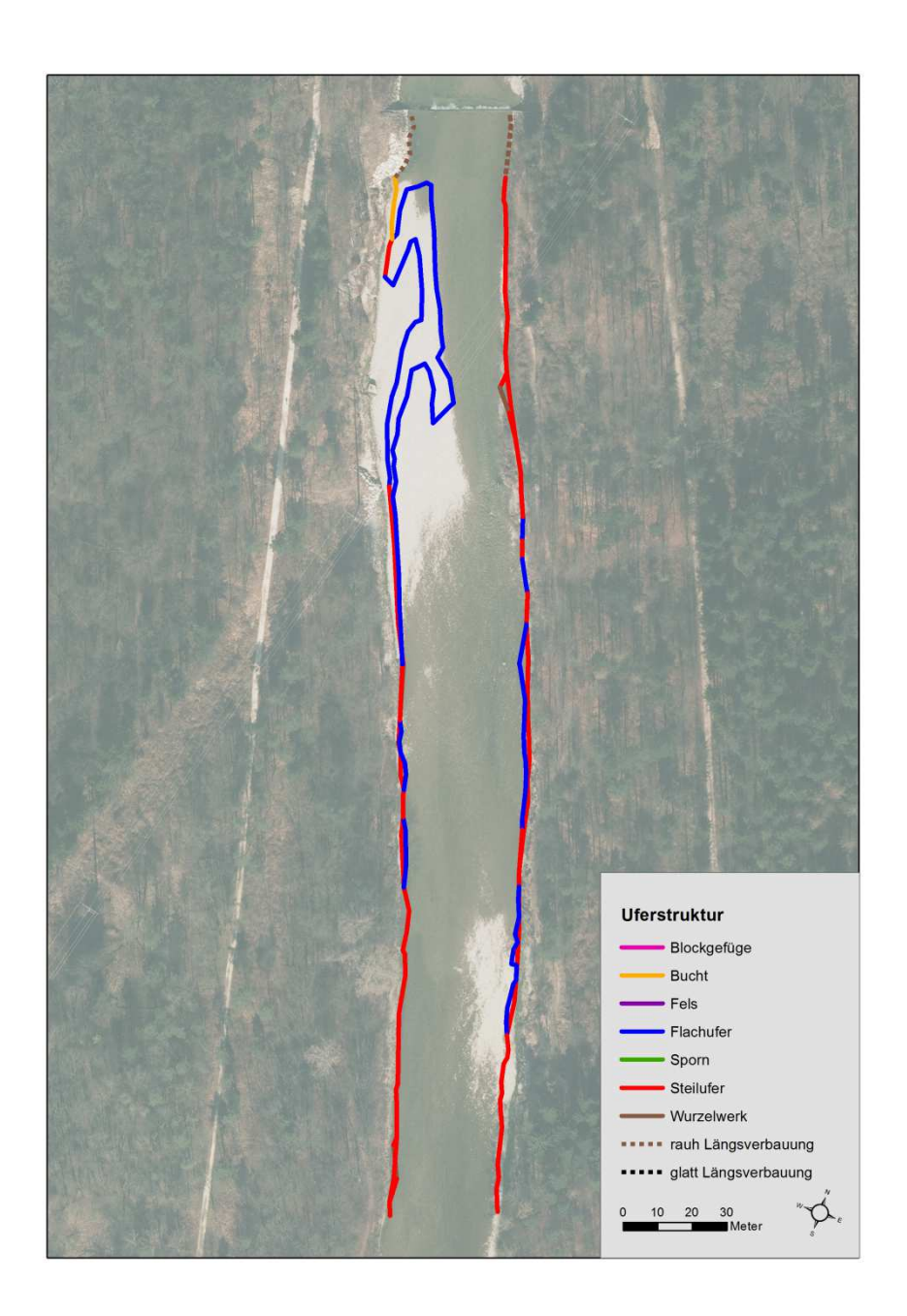


Abbildung 36 Verteilung der Uferstrukturtypen in der Untersuchungsstrecke Emmenschachen
Lage der Uferlinie am 25.11.2014 bei minimalem (innere Linien) und am 6.3.2015 bei mittlerem Restwasserabfluss (äussere Linien)

7.3.2 Schwarzweg

Uferverbauung

Im obersten Abschnitt ist die rechte Uferböschung beinahe vollständig mit einer glatten Ufermauer verbaut. Entlang der linken Uferböschung gibt es einen kurzen Abschnitt mit Blockwurf.

Strukturelemente

Die vorkommenden Strukturtypen sind Flachufer, Fels und Blockgefüge (vgl. Tabelle 16 und Tabelle 17). Flachufer sind bei einem Mittelwasserabfluss weniger häufig. Blockgefüge hingegen nehmen zu. Dies ist auf die Verschiebung der Uferlinie in Richtung des Böschungsfusses zurückzuführen, dem viel Blockgefüge (zerfallener Blocksatz) vorgelagert ist.

Strukturtyp	linkes Ufer		rechte	s Ufer	beide Ufer		
	[m]	[%]	[m]	[%]	[m]	[%]	
Flachufer	74	23	190	57	265	40	
Steilufer	0	0	0	0	0	0	
Fels	144	45	52	16	196	30	
Sporn	0	0	0	0	0	0	
Bucht	0	0	0	0	0	0	
Wurzelwerk	0	0	0	0	0	0	
Blockgefüge	76	24	7	2	84	13	
Längsverbauung rau	27	8	0	0	27	4	
Längsverbauung glatt	0	0	85	25	85	13	
Summe	321	100	334	100	655	100	

Tabelle 16 Uferstrukturtypen in der Untersuchungsstrecke Schwarzweg bei minimalem Restwasser am 25.11.2014

Strukturtyp	linkes Ufer		rechte	s Ufer	beide Ufer		
	[m]	[%]	[m]	[%]	[m]	[%]	
Flachufer	78	24	104	34	182	29	
Steilufer	0	0	0	0	0	0	
Fels	144	45	52	17	196	31	
Sporn	0	0	0	0	0	0	
Bucht	0	0	0	0	0	0	
Wurzelwerk	0	0	0	0	0	0	
Blockgefüge	71	22	67	22	138	22	
Längsverbauung rau	27	8	0	0	27	4	
Längsverbauung glatt	0	0	84	27	84	13	
Summe	319	100	307	100	627	100	

Tabelle 17 Uferstrukturtypen in der Untersuchungsstrecke Schwarzweg bei mittlerem Restwasser am 6.3.2015

Uferlinie

Die Uferlinie liegt teilweise bei beiden untersuchten Abflüssen sehr nahe oder direkt am Böschungsfuss (vgl. Abbildung 37). Grössere Verschiebungen ergeben sich im Bereich der Kiesbänke.

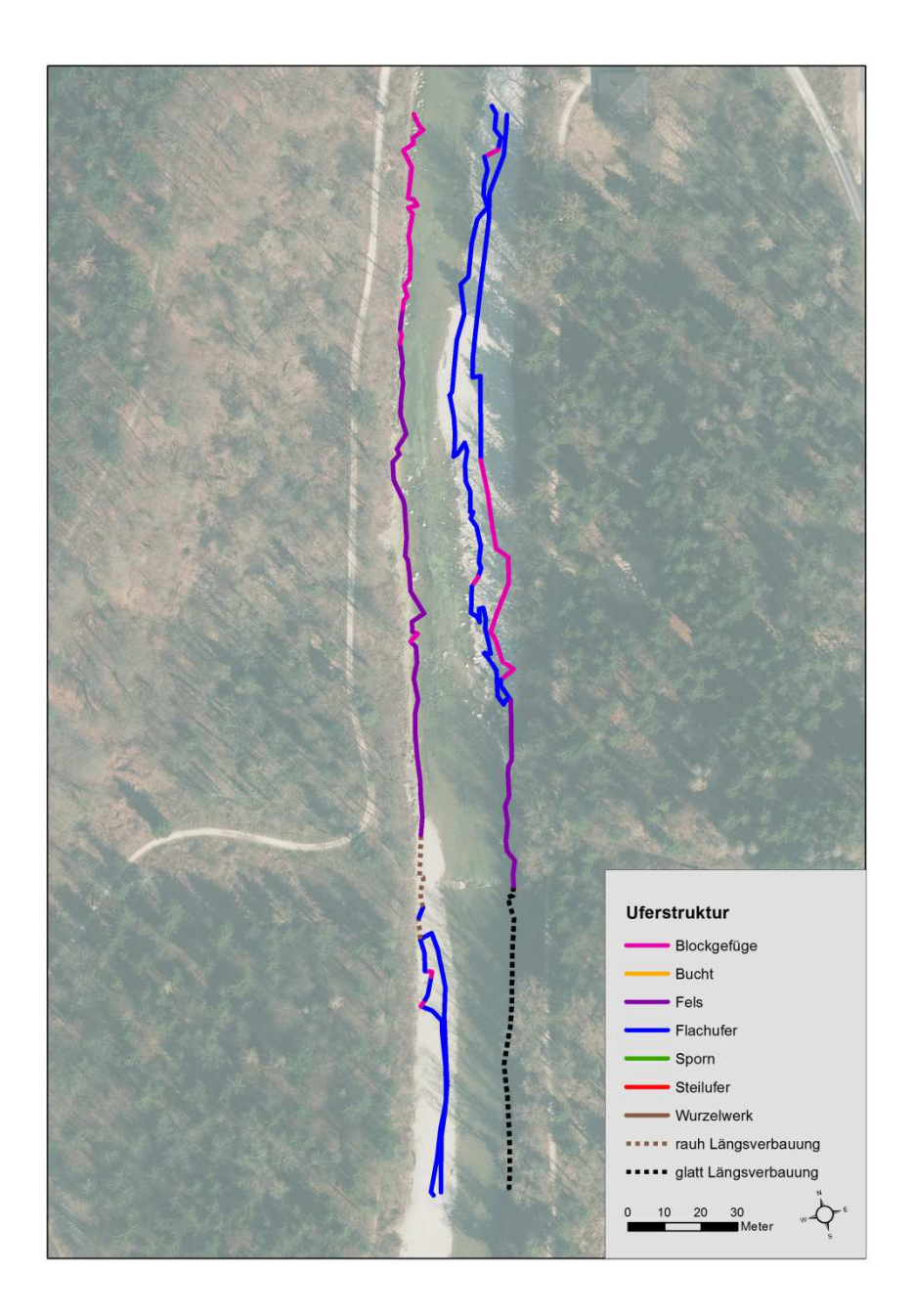


Abbildung 37 Verteilung der Uferstrukturtypen in der Untersuchungsstrecke Schwarzweg
Lage der Uferlinie am 25.11.2014 bei minimalem (innere Linien) und am 6.3.2015 bei mittlerem Restwasserabfluss (äussere Linien)

7.3.3 Papierfabrik

Uferverbauung

Im obersten Abschnitt ist die Uferböschung beidseitig beinahe vollständig mit Blockwurf verbaut.

Strukturelemente

Die vorkommenden Strukturtypen sind Flachufer, Fels und Blockgefüge. Bei Mittelwasserabfluss kommen zusätzlich die Typen Steilufer und Sporn dazu (vgl. Tabelle 18 und Tabelle 19). Der Anteil der Flachufer geht bei einer Abflusserhöhung zugunsten von Blockgefüge und Längsverbauung deutlich zurück. Dies ist auf die Verschiebung der Uferlinie in Richtung des Böschungsfusses zurückzuführen.

Blocksteine aus der zerfallenden Uferböschung sind teilweise so angeordnet, dass sich bei Mittelwasserabfluss ruhige Strömungsverhältnisse (Hinterwasser) bilden. Diese wurden dann als Sporn kartiert. Bei Niedrigwasser hingegen sind diese Strukturen für das Strömungsbild nicht relevant und werden deshalb nicht als Sporn sondern als Blockgefüge erfasst.

Strukturtyp	linkes Ufer		rechte	s Ufer	beide Ufer		
	[m]	[%]	[m]	[%]	[m]	[%]	
Flachufer	84	22	88	24	172	23	
Steilufer	0	0	0	0	0	0	
Fels	161	43	159	44	320	43	
Sporn	0	0	0	0	0	0	
Bucht	0	0	0	0	0	0	
Wurzelwerk	0	0	0	0	0	0	
Blockgefüge	62	17	45	12	108	15	
Längsverbauung rau	64	17	71	19	135	18	
Längsverbauung glatt	4	1	0	0	4	1	
Summe	376	100	363	100	739	100	

Tabelle 18 Uferstrukturtypen in der Untersuchungsstrecke Papierfabrik bei minimalem Restwasser am 19.6.2014

Strukturtyp	linkes Ufer		rechte	s Ufer	beide Ufer		
	[m]	[%]	[m]	[%]	[m]	[%]	
Flachufer	9	3	9	3	17	3	
Steilufer	10	3	0	0	10	1	
Fels	104	33	141	41	244	37	
Sporn	14	4	17	5	31	5	
Bucht	0	0	0	0	0	0	
Wurzelwerk	0	0	0	0	0	0	
Blockgefüge	72	23	104	30	176	27	
Längsverbauung rau	110	35	71	21	181	27	
Längsverbauung glatt	0	0	0	0	0	0	
Summe	318	100	340	100	658	100	

Tabelle 19 Uferstrukturtypen in der Untersuchungsstrecke Papierfabrik bei mittlerem Restwasser am 6.3.2015

Uferlinie

Die Uferlinie liegt teilweise bei beiden untersuchten Abflüssen sehr nahe oder direkt am Böschungsfuss (vgl. Abbildung 38). Grössere Verschiebungen ergeben sich vor allem im Bereich der Kiesbänke.

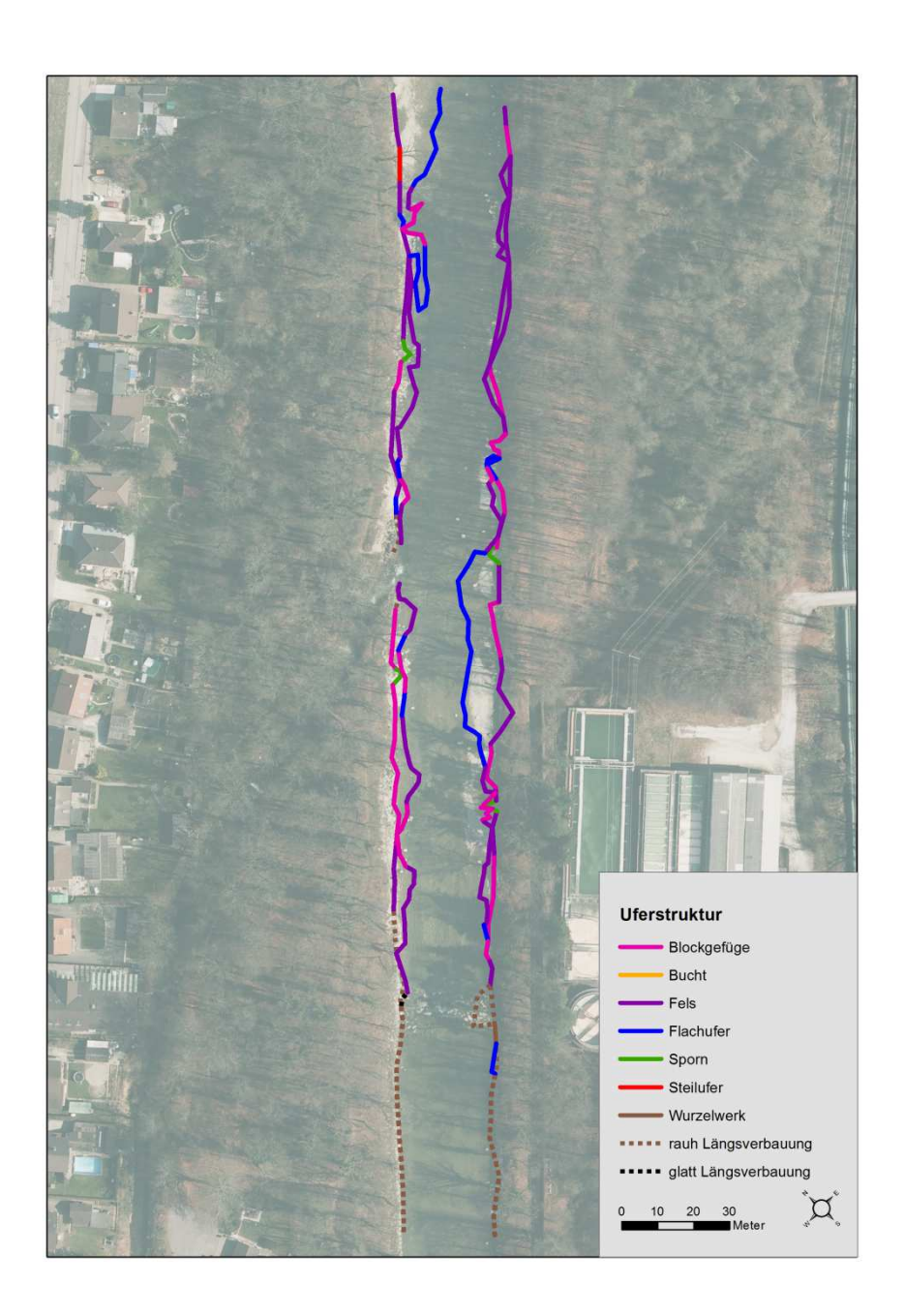


Abbildung 38 Verteilung der Uferstrukturtypen in der Untersuchungsstrecke Papierfabrik
Lage der Uferlinie am 19.6.2014 bei minimalem (innere Linien) und am 6.3.2015 bei mittlerem Restwasserabfluss (äussere Linien)

7.4 Kurzdiskussion

Strukturelemente

Sämtliche der in den Steckbriefen (Woolsey, S. et al., 2005) aufgeführten 7 unterschiedenen Uferstrukturtypen kommen vor. Flachufer, Steilufer, Fels und Blockgefüge dominieren. 4 % bis 27 % der Uferlinie weisen eine raue Verbauung (lockerer Blocksatz) auf. Einzig in der Strecke Schwarzweg ist eine grössere Strecke glatt verbaut (13 % der Uferlinie).

Lebensräume

Die Uferzonen sind wichtige Fischlebensräume. Flachufer bieten Habitat für Jungfische, aber auch für die Adultstadien der Kleinfischarten (z. B. Schmerle, Elritze). Bei minimalem Restwasserabfluss sind Flachufer ausreichend vorhanden. Bei Mittelwasserabfluss hingegen verschiebt sich die Uferlinie verstärkt an den Böschungsfuss, so dass diese Habitate zu einem grossen Teil verschwinden.

Bei Hochwasser finden die Fische natürlicherweise in strömungsberuhigten Zonen (Wurzelwerk, Sporn, Bucht) Schutz vor dem Verdriften. Solche Strukturen kommen nur in geringem Ausmass vor und dürften bei Hochwasser aufgrund der Kanalisierung der Emme kaum mehr von Bedeutung sein. Im Bereich des zerfallenden Blocksatzes bilden sich vermutlich lediglich kleinflächige Rückzugshabitate.

Bewertung

Für alle Untersuchungsstrecken resultiert ein Wert zwischen 0.48 und 0.66 (Maximum = 1; vgl. Tabelle 20). In der Strecke Papierfabrik verbessert sich die Bewertung zwischen minimalem und mittlerem Restwasserabfluss deutlich. Dies ist auf das Auftreten zusätzlicher Strukturtypen (Steilufer und Sporn) zurückzuführen, obwohl diese quantitativ keine Rolle spielen.

Die Strecken Schwarzweg und Emmenschachen werden für die beiden untersuchten Abflüsse fast gleich bewertet. Der Grund liegt darin, dass sich die Uferlinie zwischen den beiden Abflüssen über weite Strecken kaum verschiebt. Grössere Verschiebungen gibt es nur im Bereich der Kiesbänke, aber ohne dass die Uferlinie bei Mittelwasser den Böschungsfuss und damit andere Strukturtypen erreichen würde.

Bewertungsparameter	Papierfabrik		Schwarzweg		Emmen- schachen	
	RW	MW	RW	MW	RW	MW
Länge Längsverbau rau	135	181	27	27	38	38
Länge Längsverbau glatt	4	0	85	84	0	0
Länge Ufer	739	658	655	627	725	674
Mittlere Gerinnesohlenbreite [m]	2	6	27		34	
Einheitslänge [m]	30	06	324		407	
Anzahl Strukturtypen (ohne Längsverbau)	3	5	3	3	4	4
Anzahl Strukturtypen/Einheitslänge	1.2	2.3	1.5	1.6	2.2	2.4
A _{Verb} (Parameter Längsverbau)	0.45	0.43	0.43	0.42	0.49	0.48
A _{Struktur} (Parameter Strukturtypen)	0.03	0.17	0.06	0.07	0.15	0.18
A (A _{Verb} + A _{Struktur})	0.48	0.60	0.49	0.49	0.64	0.66

Tabelle 20 Standartisierte Bewertung der Untersuchungsstrecken
A = Standardisierter Wert
RW = minimalere Restwasserabfluss
MW = mittlerer Restwasserabfluss

Kritik

Der Indikator stützt auf die Anzahl Strukturtypen ab, die auf lediglich sieben Typen begrenzt ist. Die Wahrscheinlichkeit ist gross, dass sich die Anzahl zwischen dem Ausgangs- und dem Projektzustand nicht wesentlich ändert. Es wäre daher vermutlich sinnvoll, wenn die Anzahl Strukturen sowie der Längenanteil der Strukturtypen an der Uferlinie Eingang in die Bewertung finden würden.

8 Laichhabitat Bachforelle/Äsche

8.1 Beschrieb

Handbuch EAWAG Definition

Nicht enthalten

Potenzielles Angebot an Laichhabitat für die Bachforelle und die Äsche

Begründung

Bachforellen und Äschen sind Kieslaicher mit hohen Ansprüchen an die Qualität der Laichplätze. Die wichtigsten Parameter sind das Laichsubstrat, die Fliessgeschwindigkeit, die Wassertiefe und das Deckungsangebot in der Nähe. Die natürliche Reproduktion der beiden Arten ist gemäss Leitbild ein wichtiges biologisches Entwicklungsziel.

Literatur

(Jorde, K., Schneider, M., 2010)

8.2 Methode Erhebung und Auswertung

Zu erhebende Daten

Dominierende Korngrössen und Anteil Feinmaterial (Sand/Silt), Fliessgeschwindigkeiten und Wassertiefen bei minimalem Restwasser (1.8 m³/s) und bei Mittelwasser (6.2 m³/s) sowie das Deckungsangebot bei minimalem Restwasserabfluss.

Vorgehen

Die quantitative Einschätzung des potenziellen Angebotes an Laichhabitaten erfolgte über die Habitatparameter Fliessgeschwindigkeit, Wassertiefe und Substrat. Anhand eines hydraulisches 2D-Modells wurden die Wassertiefen und Fliessgeschwindigkeiten für die beiden zu untersuchenden Abflüsse berechnet. Das Substrat (dominierende Korngrösse) wurde im Feld kartiert.

Zusätzlich wurde der Anteil Feinmaterial sowie das Deckungsangebot im Feld erfasst. Beide Parameter flossen aber nur als qualitative Ergänzung in die Beurteilung mit ein. Details zur Methodik finden sich in Anhang C.

Erhebung

Emmenschachen

25.11.2014 bei minimalem Restwasserabfluss von 1.8 m³/s

Koordinaten (Länge 306 m):

Unten links: 610 250 / 229 041 unten rechts: 610 278 / 229 052 oben links: 610 348 / 228 754 oben rechts: 610 381 / 228 760

Schwarzweg

25.11.2014 bei minimalem Restwasserabfluss von 1.8 m³/s

Koordinaten (Länge 298 m):

Unten links: 610 721 / 227 082 unten rechts: 610 753 / 227 073 oben links: 610 647 / 226 795 oben rechts: 610 677 / 226 785

Papierfabrik

17.4.2014 bei minimalem Restwasserabfluss von 1.8 m³/s

Koordinaten (Länge 59 + 210 m):

Unten links: 610 315 / 226 438 unten rechts: 610 336 / 226 415 610 096 / 226 236 610 114 / 226 214 oben links: oben rechts:

Erhebungen für Ausgangszustand

Untersuchungsstrecken		ungszi	ustand				
	Frühling	Sommer	Herbst	Winter	Niederwasser	Mittelwasser	Hochwasser
Emmenschachen					•	•	
Schwarzweg					•	•	
Papierfabrik					•	•	

Auswertung

Berechnung der potenziellen Fläche an Laichhabitat für den minimalen und den mittleren Restwasserabfluss.

8.3 Resultate

Weiterführende Informationen finden sich in Anhang C.

8.3.1 Emmenschachen

Bachforelle

Das Sohlensubstrat der Untersuchungsstrecke ist primär grobkiesig und somit als Laichsubstrat für die Bachforelle geeignet (vgl. Abbildung 39). Zudem gibt es bei beiden Abflüssen ausreichend Flächen mit geeigneten oder optimalen Fliessgeschwindigkeiten und Wassertiefen.

Überlagert man die Flächen mit den Einzeleignungen für das Substrat, die Fliessgeschwindigkeiten die Wassertiefen und erhält die Gesamteignung. Potenziell optimales oder geeignetes Laichhabitat kommt beim Restwasserabfluss 70 %, mittleren Restwasserabfluss auf 82 % der Gerinnesohlenfläche vor.

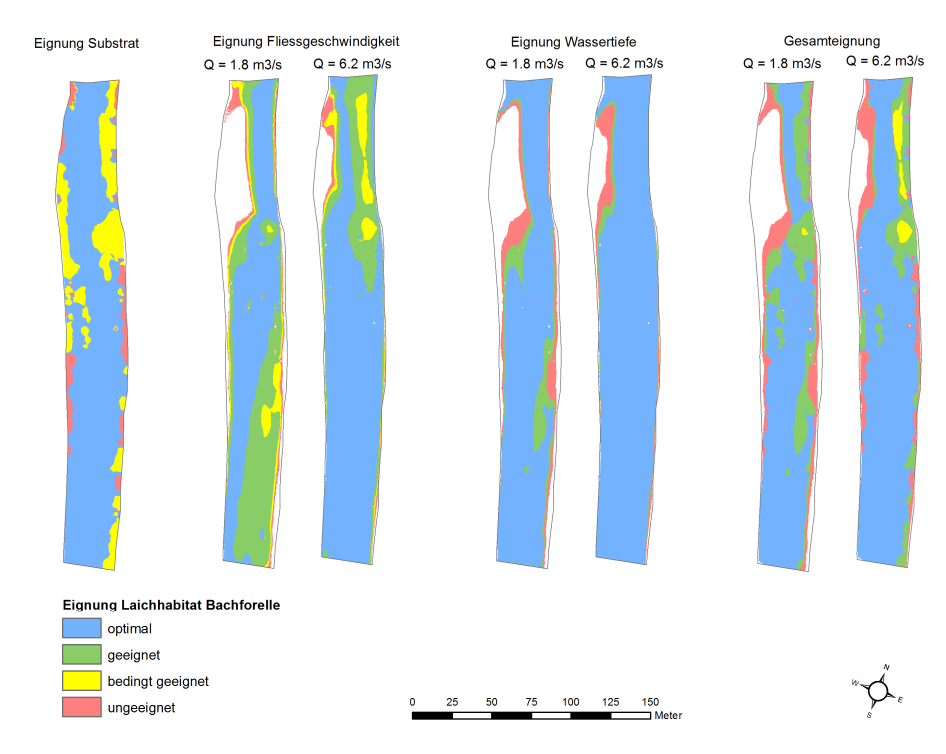


Abbildung 39 Eignung des Substrates, der Fliessgeschwindigkeit, der Wassertiefe sowie die Gesamteignung in der Untersuchungsstrecke Emmenschachen für die Bachforelle

Äsche

Das Sohlensubstrat ist auf weiten Flächen als Laichsubstrat für die Äsche geeignet (vgl. Abbildung 40). Zudem gibt es bei beiden Abflüssen ausreichend Flächen mit geeigneten oder optimalen Fliessgeschwindigkeiten und Wassertiefen. Die optimalen Flächen beider Parameter sind aber beim Mittelwasserabfluss deutlich grösser.

Folglich ist auch die Gesamteignung als Laichhabitat beim Mittelwasserabfluss deutlich besser als beim minimalen Restwasserabfluss. Optimale bzw. geeignete Flächen nehmen 45 % bzw. knapp 67 % der Gerinnesohlenfläche ein.

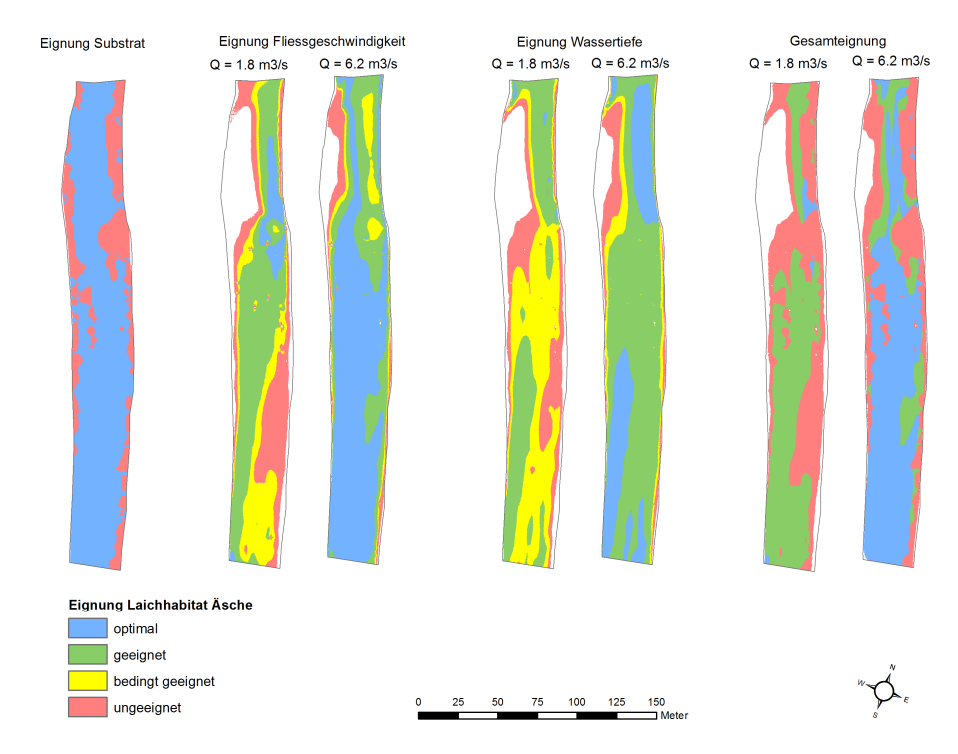


Abbildung 40 Eignung des Substrates, der Fliessgeschwindigkeit, der Wassertiefe sowie die Gesamteignung in der Untersuchungsstrecke Emmenschachen für die Äsche

8.3.2 Schwarzweg

Bachforelle

Die Gerinnesohle besteht zu einem grossen Teil aus anstehendem Fels. Grössere Flächen mit Laichsubstrat kommen aber vor (vgl. Abbildung 41). Zudem sind bei beiden Abflüssen genügend Flächen mit ausreichenden Wassertiefen und Fliessgeschwindigkeit vorhanden. Hinsichtlich der Gesamteignung nimmt die Fläche an optimalem bzw. geeignetem Laichhabitat zwischen den beiden untersuchten Abflüssen von gut 15 % auf knapp 25 % der Gerinnesohlenfläche zu.

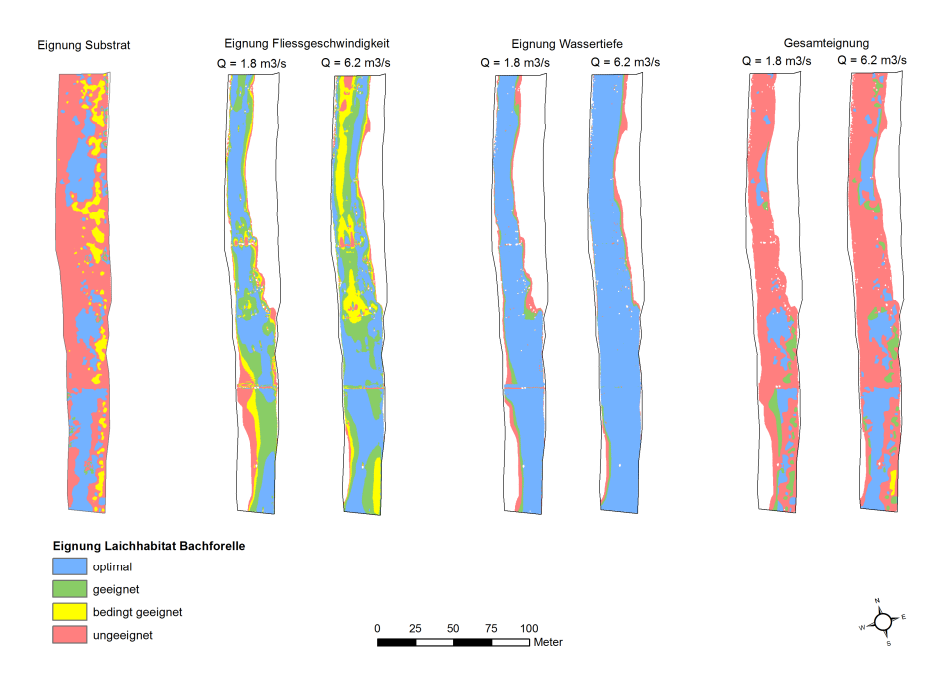


Abbildung 41 Eignung des Substrates, der Fliessgeschwindigkeit, der Wassertiefe sowie die Gesamteignung in der Untersuchungsstrecke Schwarzweg für die Bachforelle

Äsche

Für die Äsche präsentierte sich die Situation vergleichbar zur Bachforelle (vgl. Abbildung 42). Hinsichtlich der Gesamteignung verdoppelt sich die Fläche an optimalem bzw. geeignetem Laichhabitat von knapp 10 % auf gut 20 %.

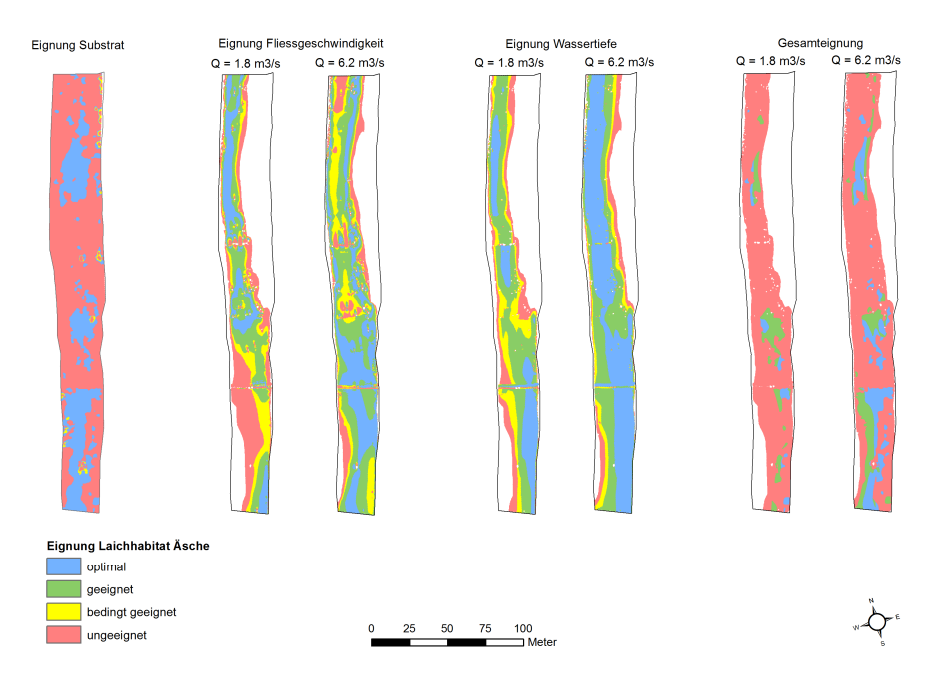


Abbildung 42 Eignung des Substrates, der Fliessgeschwindigkeit, der Wassertiefe sowie die Gesamteignung in der Untersuchungsstrecke Schwarzweg für die Äsche

8.3.3 Papierfabrik

Bachforelle

Das vorherrschende Substrat ist anstehender Fels, der aber teilweise mit ausgedehnten, als Laichhabitat optimalen Grobkiesflächen überlagert ist (vgl. Abbildung 43).

Flächen mit ausreichenden Fliessgeschwindigkeiten und Wassertiefen sind beim minimalen Restwasserabfluss genügend vorhanden. Erhöhung auf den Mittelwasserabfluss nimmt die Fläche mit optimalen Wassertiefen jedoch deutlich zu. Hinsichtlich der Fliessgeschwindigkeiten verschlechtert sich die Situation aber massiv. Dies dürfte auf die Enge des kanalisierten Gerinnes zurückzuführen sein.

Aufgrund der zu hohen Fliessgeschwindigkeit bei einem Abfluss von 6.2 m³/s ist auch die Gesamteignung bei diesem Abfluss geringer als bei minimalem Restwasser. Dies betrifft insbesondere den Bereich unterhalb der Blockrampe.

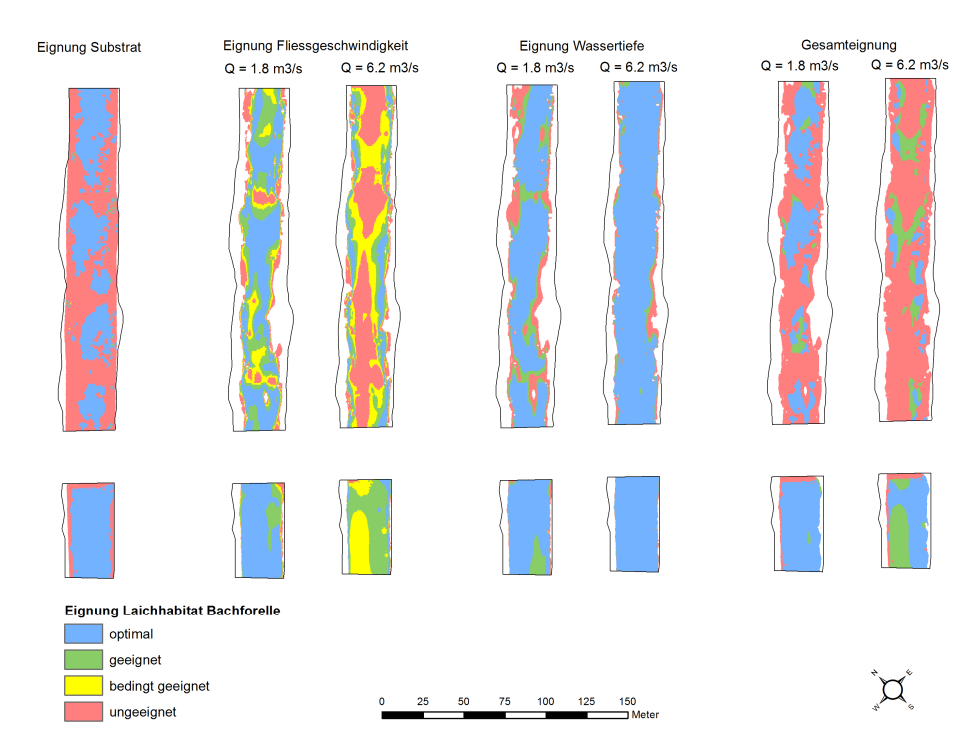


Abbildung 43 Eignung des Substrates, der Fliessgeschwindigkeit, der Wassertiefe sowie die Gesamteignung in der Untersuchungsstrecke Papierfabrik für die Bachforelle. Die Lücke entspricht dem Bereich der Blockrampe. Sie konnte nicht ausreichend genau modelliert werden.

Äsche

Bei der Äsche zeigt sich ein ähnliches Bild wie bei der Bachforelle (vgl. Abbildung 44). Allerdings bevorzugt diese Art etwas grössere Wassertiefen. Dieser Habitatparameter zeigt deshalb eine deutlich geringere Eignung, was sich schliesslich auch auf die Gesamteignung auswirkt.

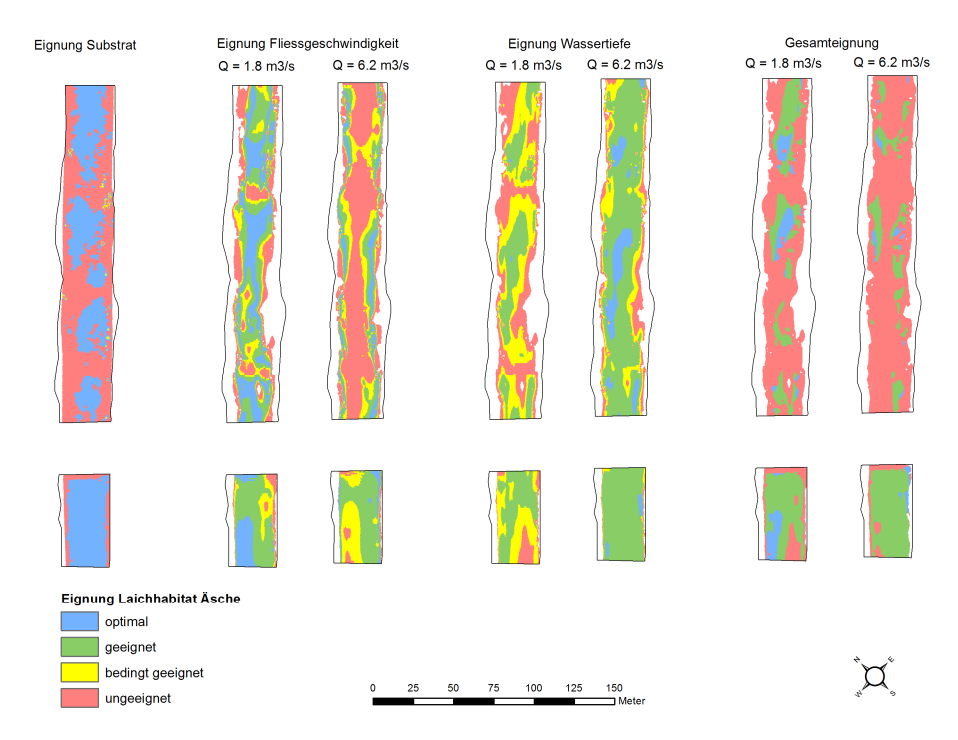


Abbildung 44 Eignung des Substrates, der Fliessgeschwindigkeit, der Wassertiefe sowie die Gesamteignung in der Untersuchungsstrecke Papierfabrik für die Äsche. Die Lücke entspricht dem Bereich der Blockrampe. Sie konnte nicht ausreichend genau modelliert werden.

8.4 Kurzdiskussion

Gesamteignung

Insbesondere in der Untersuchungsstrecke Emmenschachen finden Bachforellen und Äschen ausgedehnte als Laichhabitat optimale bzw. geeignete Flächen (vgl. Abbildung 45). In den Strecken Emmenschachen und Schwarzweg nimmt die Fläche an Laichhabitat mit höherem Abfluss zu, in der Strecke Papierfabrik hingegen ab.

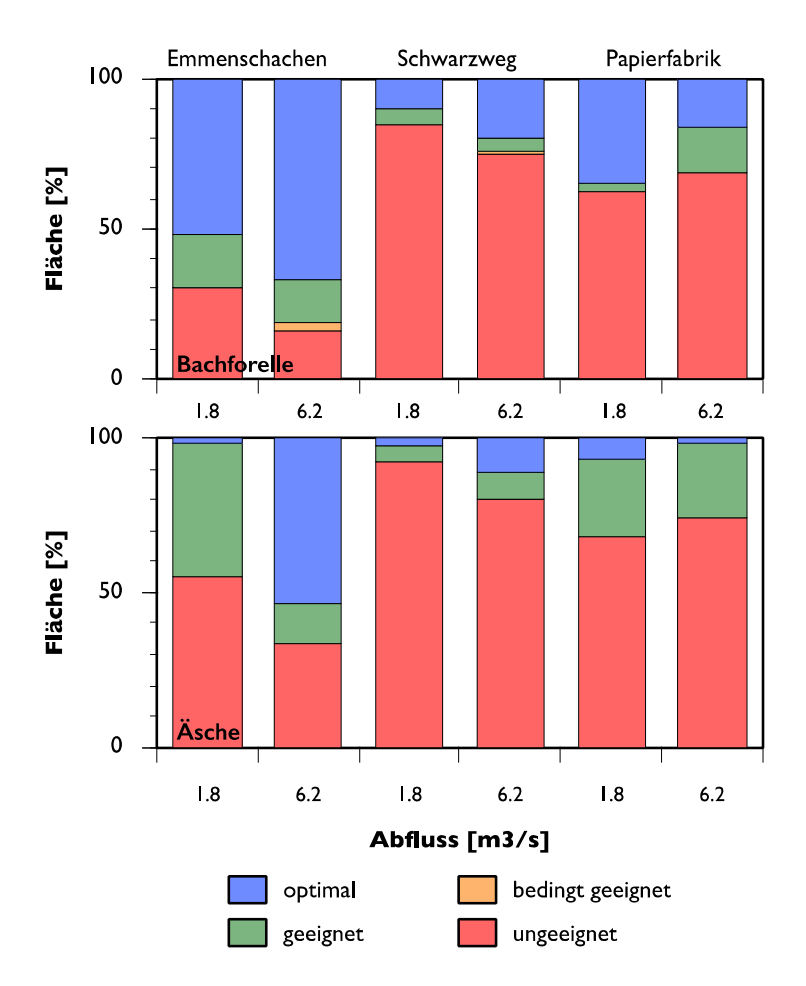


Abbildung 45 Abflussabhängige Veränderung der als potenzielles Laichhabitat für die Bachforelle und die Äsche unterschiedlich geeigneten Flächen der drei Untersuchungsstrecken.

Dargestellt ist die Gesamteignung als Prozentsatz der gesamten modellierten Fläche (entspricht weitgehend der gesamten Gerinnesohlenfläche, inkl. der trockenen Kiesbänke; Emmenschachen: 11 078 m²; Papierfabrik: 8 046 m²; Schwarzweg: 8 815 m²).

Gewichtete nutzbare Fläche (WUA)

In der Habitatmodellierung ist es üblich, nicht die nutzbaren Flächen der einzelnen Eignungsklassen zu vergleichen, sondern die über die Eignungen gewichtete Fläche (weighted usable area = WUA). Damit ist es möglich, das gesamte Angebot an potenzieller Habitatfläche mit einem Wert wiederzugeben und später einen direkten Vergleich zum Projektzustand herzustellen (vgl. Tabelle 21).

Da geeignete habitatspezifische Bewertungsmassstäbe fehlen, wurde die WUA (bezogen auf die modellierte Gerinnefläche) vereinfacht nach folgender Einteilung klassiert:

>20 % = optimal 5-10 % = bedingt geeignet 10-20 % = geeignet <5 % = ungeeignet Dieser Bewertungsmassstab wurde nach den Angaben in (Toepfer, C. S., Fisher, W. L., Warde W. D., 2000) entwickelt. Er ist als Orientierungshilfe anzusehen. Richtwerte sind uns nicht bekannt.

Demnach sind fast alle drei Untersuchungsstrecken für beide Abflüssen als Laichhabitat für die Bachforelle und die Äsche als optimal bzw. geeignet zu bewerten. Die Strecke Schwarzweg wird aber bei minimalem Restwasserabfluss für die Äsche nur als bedingt geeignet eingestuft.

Art	Abfluss	WUA [%]					
	[m ³ /s]	Emmenschache n	Schwarzweg	Papierfabrik			
Bachforelle	1.8	63	13	37			
	6.2	76	23	25			
Äsche	1.8	28	5	22			
	6.2	61	16	16			

Tabelle 21 Abflussspezifische Bewertung des Habitatangebotes in den Untersuchungsstrecken hinsichtlich der Ansprüche der Bachforelle und der Äsche

Kiesschicht

In den Strecken Schwarzweg und Papierfabrik herrscht eine felsige Flusssohle vor, die auf grossen Flächen mit einer als Laichsubstrat geeigneten Grobkiesschicht überdeckt ist. Bachforelle und Äsche benötigen für die Eiablage eine mindestens etwa 10 cm dicke Kiessohle (Riedl, C., Peter, A., 2013) (Schneider & Korte, 2005). Die Mächtigkeit der Kiesablagerungen wurde nicht beurteilt, dürfte aber diesen Grenzwert meistens überschreiten.

Deckungsangebot

In den Untersuchungsstrecken Emmenschachen und Schwarzweg gibt es ein nur sehr kleines Angebot an Deckungsstrukturen, in der Untersuchungsstrecke Papierfabrik fehlen sie vollständig (siehe Anhang C). Bachforellen und Äschen brauchen Deckungsstrukturen als Unterstände in der Nähe der Laichhabitate. Das weitgehend fehlende Deckungsangebot relativiert deshalb die ansonsten gute Eignung als Laichhabitat.

Sand

Der Anteil an Sand und Silt sollte auf den Laichhabitatflächen nicht mehr als etwa 10 % betragen. Problematisch könnte dies lediglich in der Strecke Schwarzweg oberhalb der Schwelle sein. Die dortige Grobkiesfläche war zum Zeitpunkt der Substratkartierung mit Sand durchsetzt. Die ausgewiesene Eignung dieser Fläche als Laichhabitat für Bachforellen und Äschen dürfte sich deshalb reduzieren (Anhang C).

Mosaik Auenformationen 9

9.1 **Beschrieb**

Handbuch **EAWAG** Definition

Steckbriefnr. 49, Vegetation: zeitliches Mosaik

Vorkommen und räumliche Verteilung der terrestrischen Auenformationen

Begründung

Ein Mosaik aus Auenformationen widerspiegelt die Dynamik bzw. die Stabilität sowie die Vernetzung der Lebensräume. Das heutige Angebot an unterschiedlichen terrestrischen Habitaten ist weitgehend unbekannt. Deren vielfältige Ausbildung (vor allem Weich- und Hartholzaue sowie Pionierformationen) und natürliche Entwicklung ist eines der wichtigsten gewässerökologischen Entwicklungsziele.

Literatur

(Woolsey, S. et al., 2005)

9.2 Methode Erhebung und Auswertung

Zu erhebende Daten

Fläche und Lage der einzelnen terrestrischen Auenformationen in den potenziellen Auenflächen.

Perimeter

Die Perimeter beider Untersuchungsstrecken umgrenzen den Bereich der potentiellen Auenflächen, welche ihrerseits als Überflutungsflächen innerhalb der Interventionslinien liegen.

Für die Untersuchungsstrecke Emmenschachen misst die Perimeterfläche 9.12 ha auf einer Gesamtlänge von rund 600 m; die Perimeterfläche für die Strecke Schwarzweg beträgt 4.77 ha, die Gesamtlänge misst rund 440 m.

Vorgehen

Anhand des Infrarotluftbildes der betreffenden Untersuchungsfläche wurde im ArcGIS eine Luftbildausscheidung in Anlehnung an den Schlüssel von Thielen (Thielen, R., Perrottet, N., Cosandey, A. C., Roulier, C., 2002) der verschiedenen Habitattypen gemacht. Diese wurde anschliessend während der Vegetationsperiode (27.08., resp. 03.09.2014) im Feld verifiziert.

Definition Auenformationen

Als Auenformationen wurden die folgenden Habitattypen (Haupttypen) unterschieden (Thielen, et al., 2003) (Delarze & Gonseth, 2008):

- Wasser
- Kies- / Sandbank
- Kies- / Sandbank mit Pioniervegetation
- Weichholzaue
- Hartholzaue
- übrige Wälder
- übrige Habitattypen
- Feuchtgebiete
- Trockenstandorte

Definition Pionierformationen

Als Pionierformationen gelten die neu besiedelten Flächen innerhalb des Untersuchungsperimeters. Diese Auenformationen frühe stellen Sukzessionsstadien einer typischen Aue dar. Folgende Habitattypen werden als Pionierformationen bezeichnet:

- Kies- / Sandbank mit Pioniervegetation
- Weichholzaue

Erhebungen für den Ausgangszustand

Untersuchungsstrecken	Erheb	Erhebungszustand					
	Frühling	Sommer	Herbst	Winter	Niederwasser	Mittelwasser	Hochwasser
Emmenschachen		•					
Schwarzweg		•					

Auswertung

Im Unterschied zum Kapitel 10, in dem weitere Typen von aquatischen und terrestrischen Habitaten unterschieden werden, beziehen sich sämtliche Berechnungen in diesem Kapitel auf die entsprechenden Flächenanteile der oben beschriebenen Haupttypen.

Die Kartierungen der Habitattypen wurden als Karten dargestellt.

Die Vielfalt der Auenformationen wurde anhand des Shannon Index, bzw. der Shannon Evenness berechnet. Anhand der Flächenanteile, welche die einzelnen Auenformationen an der Gesamtfläche einnehmen, wird der sogenannte Shannon-Index berechnet. Der Wert des Shannon-Index ist umso höher, je mehr verschiedene Auenformationen anzutreffen sind und je ähnlicher deren relative Häufigkeiten sind. Dominieren eine oder zwei Auenformationen aufgrund eines hohen Flächenanteils, wird dies anhand der Shannon Evenness erkennbar. Die Shannon Evenness wird in Werten zwischen 0 und 1 angegeben. Ein tiefer Evenness-Wert steht für eine starke Dominanz - bei einem Evenness-Wert nahe 1 liegt kaum Dominanz einer Auenformation vor.

Die Flächenanteile der Pionierformationen wurden in Prozent der Gesamtfläche angegeben.

Die Resultate der Berechnung des Shannon Index sowie dem Anteil an Pionierformationen wurden auf Werte zwischen 0 und 1 standardisiert. Details zur Standardisierung sind dem Handbuch EAWAG (Woolsey, S. et al., 2005) zu entnehmen. Je näher der standardisierte Wert für den Shannon-Index beim 1-Richtwert liegt, desto vielfältiger sind die vorkommenden Auenformationen. Der standardisierte Wert für die Pionierformationen hängt davon ab, wie hoch der prozentuale Flächenanteil an Pioniervegetation an der Gesamtfläche ist. Mit einem Anteil von 50 bis 60 % wird das Maximum des standardisierten Wertes 1 erreicht. Je näher der standardisierte Wert beim 1-Richtwert liegt, desto ausgeglichener ist das Vorkommen von Pionierformationen.

9.3 Resultate

9.3.1 Emmenschachen

Vielfalt der Auenformationen

Die berechneten Werte zur Vielfalt der verschiedenen Auenformationen sind in Tabelle 22 dargestellt. Der standardisierte Wert für den Anteil der Auenformationen beträgt 0.24.

Jahr	Shannon-Index	Shannon Evenness	standardisierter Wert Shannon-Index
2014	0.72	0.52	0.24

Tabelle 22 Shannon Index und Shannon Evenness für die Untersuchungsstrecke Emmenschachen

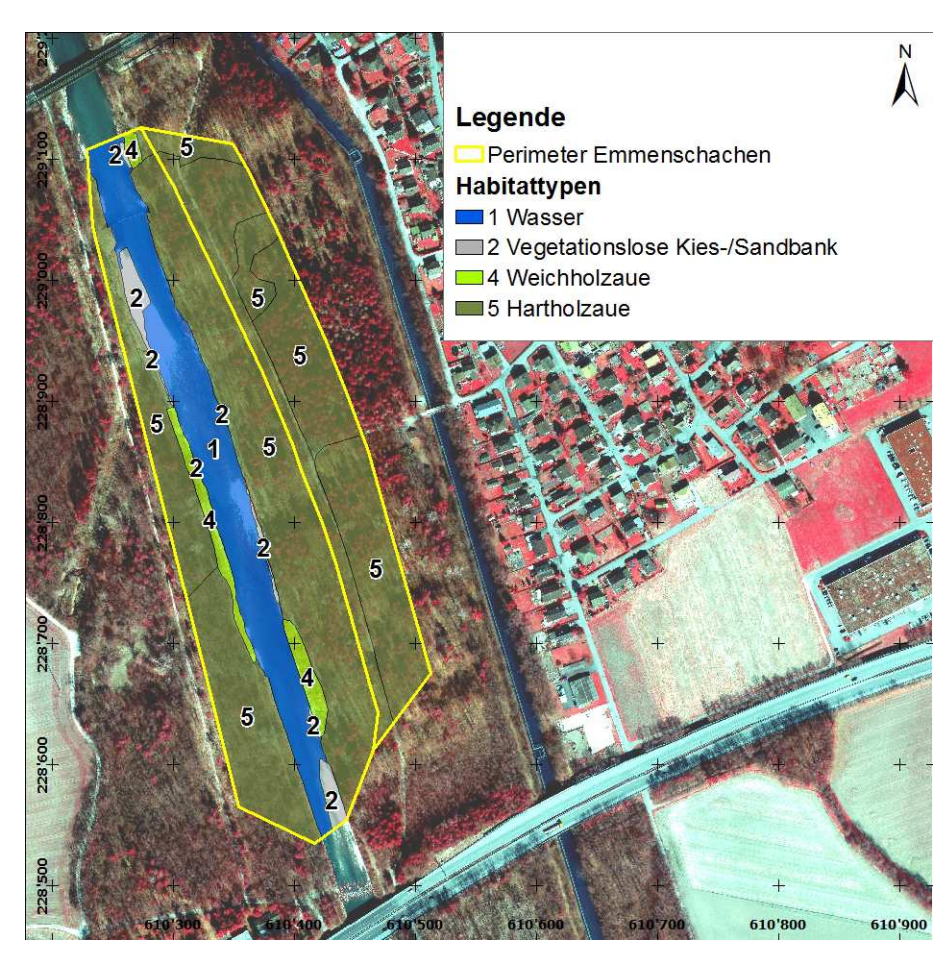


Abbildung 46 Die terrestrischen Habitattypen (Auenformationen) für die Untersuchungsstrecke Emmenschachen

Anteile der Auenformationen

Die Tabelle 23 zeigt den Anteil der verschiedenen Auenformationen an der Gesamtfläche der Untersuchungsstrecke.

Haupttyp	Fläche [a]	Anteil an Gesamtfläche [%]	Anzahl
Wasser	170.1	18.7	1
Kies- / Sandbank	20.8	2.3	8
Kies- / Sandbank mit Pioniervegetation	0	0	0
Weichholzaue	29.7	3.3	3
Hartholzaue	691.4	75.8	7
übrige Wälder	0	0	0
übrige Habitattypen	0	0	0
Feuchtgebiete	0	0	0
Trockenstandorte	0	0	0
Total	912.0	100.1	19

Tabelle 23 Auenformationen in der Untersuchungsstrecke Emmenschachen. Anteile der verschiedenen Haupttypen an der Gesamtfläche. Mit 'Anzahl' sind die Anzahl der einzelnen Teilflächen pro Haupttyp innerhalb des Perimeters gemeint.

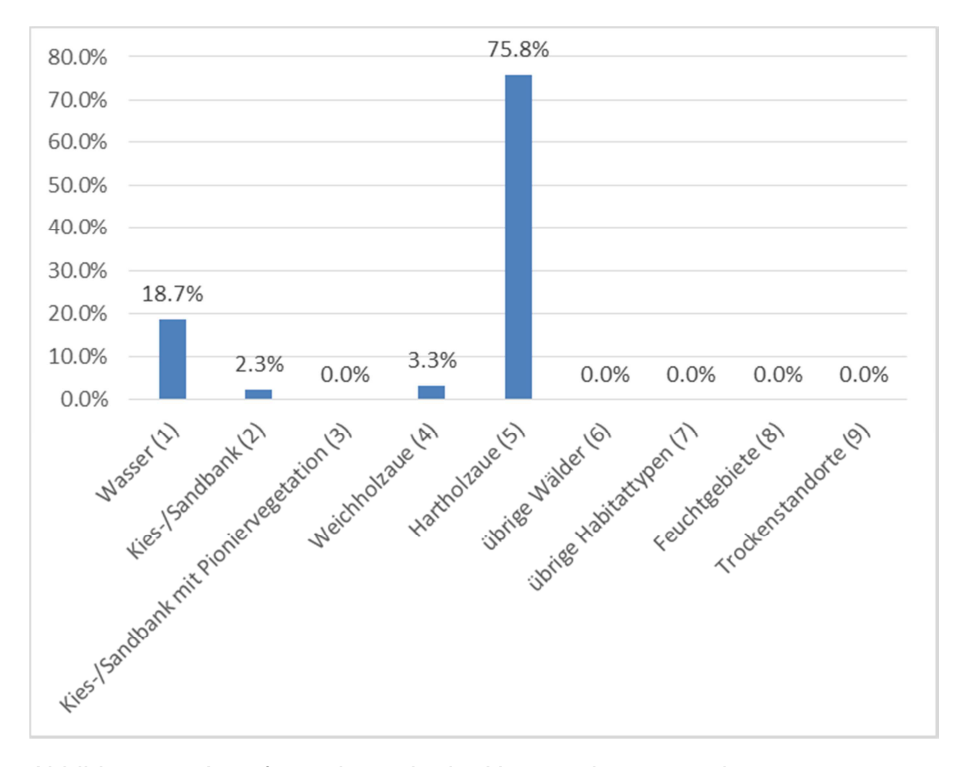


Abbildung 47 Auenformationen in der Untersuchungsstrecke Emmenschachen; Anteil der Haupttypen an der Gesamtfläche

Anteil an Pionierformationen

der Untersuchungsstrecke Emmenschachen die In kommt nur Pionierformation "Weichholzaue" vor. Wie Tabelle 24 zeigt, ergibt der prozentuale Anteil dieser Formation den standardisierten Wert 0.0.

Jahr	Anteil der Pionierformationen [%]	standardisierter Wert
2014	3.26	0.0

Tabelle 24 Anteil der Pionierformationen an der Gesamtfläche für die Untersuchungsstrecke Emmenschachen

9.3.2 Schwarzweg

Vielfalt der Auenformationen

Die berechneten Werte zur Vielfalt der verschiedenen Auenformationen für die Untersuchungsstrecke Schwarzweg sind in Tabelle 25 dargestellt. Der standardisierte Wert für den Shannon-Index beträgt: 0.56.

Jahr	Shannon-Index	Shannon Evenness	standardisierter Wert Shannon-Index
2014	1.0	0.63	0.56

Tabelle 25: Shannon Index und Shannon Evenness für die Untersuchungsstrecke Schwarzweg

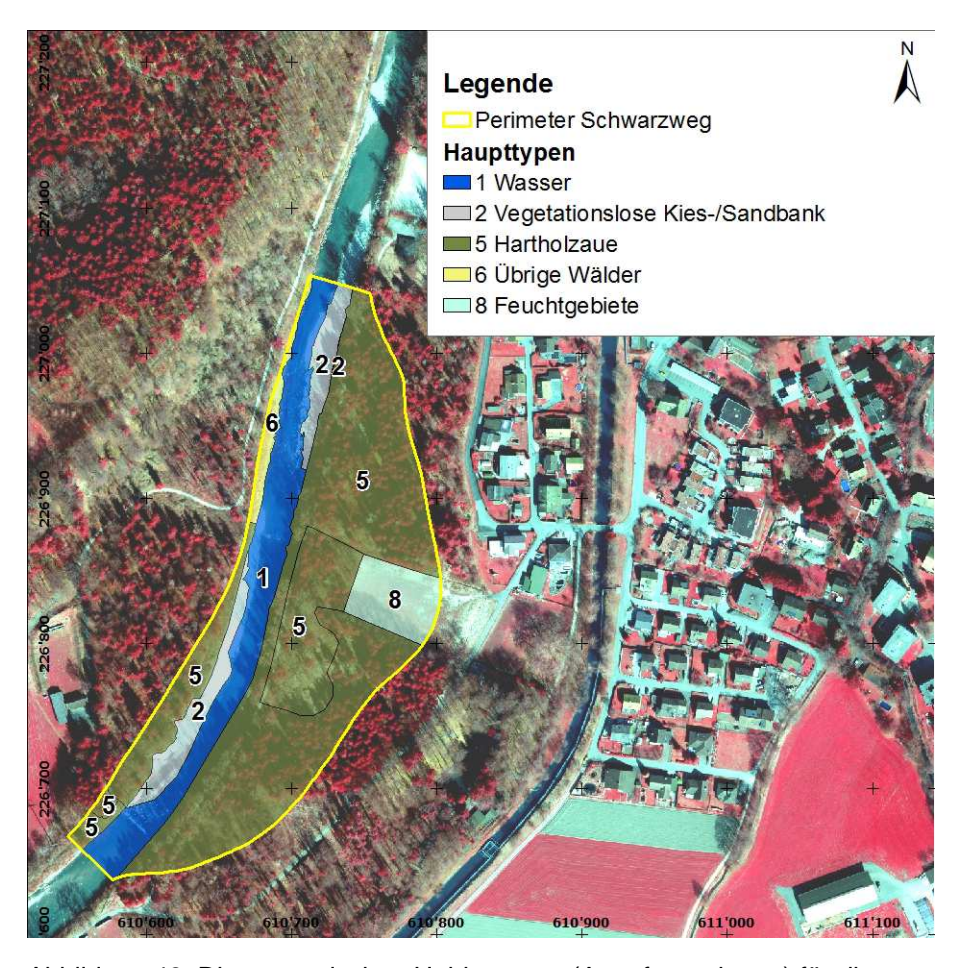


Abbildung 48 Die terrestrischen Habitattypen (Auenformationen) für die Untersuchungsstrecke Schwarzweg

Anteile der Auenformationen

Die Tabelle 26 zeigt den Anteil der verschiedenen Auenformationen an der Gesamtfläche der Untersuchungsstrecke.

Haupttyp	Fläche [a]	Anteil an Gesamtfläche [%]	Anzahl
Wasser	85.3	17.9	1
Kies- / Sandbank	35.5	7.4	2
Kies- / Sandbank mit Pioniervegetation	0	0	0
Weichholzaue	0	0	0
Hartholzaue	320.5	67.2	6
übrige Wälder	9.1	1.9	1
übrige Habitattypen	0	0	0
Feuchtgebiete	26.9	5.6	1
Trockenstandorte	0	0	0
Total	477.3	100.0	11

Tabelle 26 Auenformationen in der Untersuchungsstrecke Schwarzweg.
Anteile der verschiedenen Haupttypen an der Gesamtfläche.
Mit 'Anzahl' sind die Anzahl der einzelnen Teilflächen pro
Haupttyp innerhalb des Perimeters gemeint.

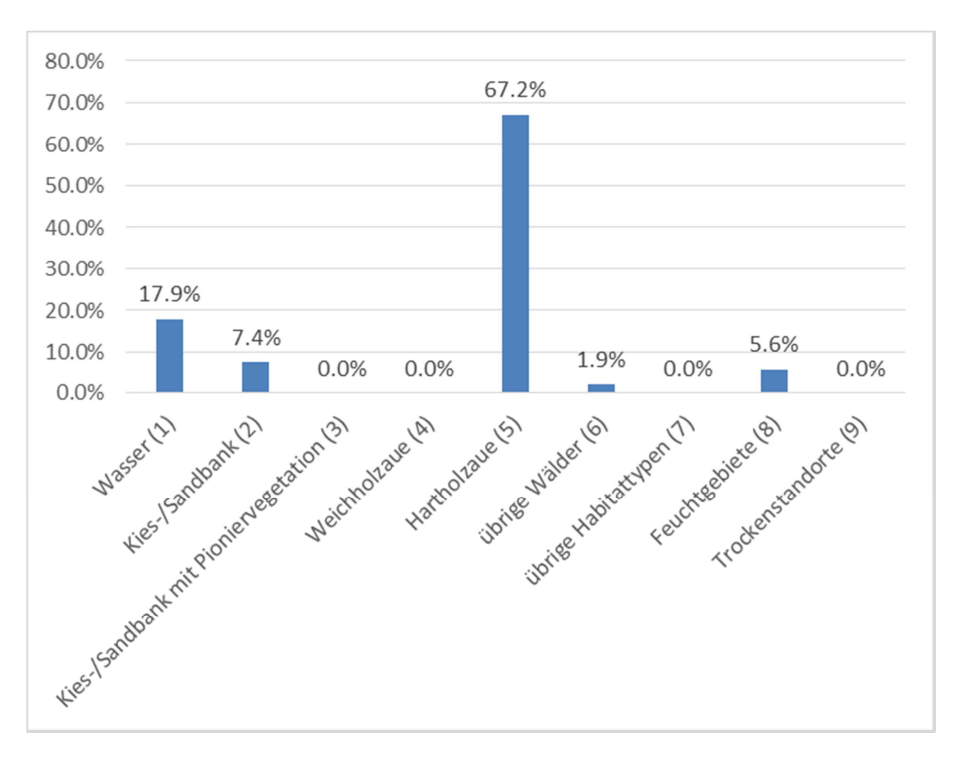


Abbildung 49 Auenformationen in der Untersuchungsstrecke Schwarzweg; Anteil der Haupttypen an der Gesamtfläche

Anteil an Pionierformationen

In der Untersuchungsstrecke Schwarzweg sind keine Pionierformationen vorhanden.

- 92 -

9.4 Kurzdiskussion

Der Indikator "Zeitliches Mosaik" beschreibt das Vorkommen verschiedener terrestrischer Auenformationen und gibt einen Hinweis zu Strukturvielfalt und Sukzession innerhalb der Untersuchungsstrecke. Die Tabelle 27 gibt eine Übersicht zu den berechneten Werten und den abgeleiteten standardisierten Werten.

Untersuchungs-	Shannon-	Shannon- Evenness	standardisierte Werte			
strecke	Index		Shannon- Index	Pionierformation		
Emmenschachen	0.72	0.52	0.24	0.0		
Schwarzweg	1.0	0.72	0.56	-		

Tabelle 27: Standardisierte Werte für die Untersuchungsstrecken Emmenschachen und Schwarzweg

In beiden untersuchten Strecken dominiert der Habitattyp Hartholzaue. Weitere Habitattypen, welche auf einen vielfältigen und dynamischen Auen-Lebensraum hinweisen, sind nur rudimentär vorhanden. Die fehlende Heterogenität wird vor allem aus den Kartenprodukten ersichtlich. Wie weit dies durch die ermittelten Werte für den Shannon-Index, bzw. der Shannon Evenness unterstützt wird, lässt sich erst im Vergleichen mit künftigen Folgeaufnahmen sagen.

Die Ausgangserhebungen zeigen deutlich die verschwindend kleinen oder ganz ausbleibenden Anteile an Pionierformationen. Dies ist ein typisches Bild für einen Uferbereich mit fehlender Dynamik und einer daher ausbleibenden Sukzession.

10 Landschaftsstrukturmasse

10.1 Beschrieb

Handbuch **EAWAG** Definition

Steckbriefnr. 19, Landschaft: Landschaftsstrukturmasse

Vielfalt und räumliche Anordnung der terrestrischen und aquatischen Habitattypen

Begründung

Eine naturnahe Flusslandschaft besteht aufgrund unterschiedlicher Umweltbedingungen aus verschiedenen Habitaten. Die Vielfalt, die Grösse, die Form und die räumliche Verteilung dieser Habitate bestimmen massgeblich die Artenzusammensetzung, die Häufigkeit sowie die Vernetzung der Flora und Fauna.

Heute ist das Angebot an unterschiedlichen Habitaten vermutlich eher klein. Die Ausbildung vielfältiger Strukturen ist eines der wichtigsten gewässerökologischen Entwicklungsziele.

Literatur

(Woolsey, S. et al., 2005)

10.2 Methode Erhebung und Auswertung

Zu erhebende Daten

Lage und Fläche der einzelnen Habitattypen im Flussgerinne und in den potenziellen Auenflächen.

Perimeter

Die Perimeter beider Untersuchungsstrecken umgrenzen den Bereich der potentiellen Auenflächen, welche ihrerseits als Überflutungsflächen innerhalb der Interventionslinien liegen.

Für die Untersuchungsstrecke Emmenschachen misst die Perimeterfläche 8.4 ha auf einer Gesamtlänge von rund 600 m; die Perimeterfläche für die Strecke Schwarzweg beträgt 4.5 ha, die Gesamtlänge misst rund 440 m.

Vorgehen

Der Indikator basiert auf den terrestrischen und den aquatischen Habitattypenkartierungen.

Terrestrische Habitattypen

Die Erfassung der terrestrischen Habitattypen erfolgte im Rahmen der Datenerfassung für den Indikator "Mosaik der Auenformationen" (vgl. Kapitel 9). Zusätzlich wurden ergänzende Subtypen nach (Thielen, et al., 2003) und (Delarze & Gonseth, 2008) definiert.

Der Deckungsgrad wurde in einem ersten Schritt im ArcGIS anhand des Infrarotluftbildes bestimmt und anschliessend während Vegetationsperiode (27.08., resp. 03.09.2014) im Feld verifiziert.

Die Vegetationshöhe wurde im Feld (27.08., resp. 03.09.2014) erhoben.

In Anlehnung an Woolsey (Woolsey, S. et al., 2005) wurden die einzelnen Abstufungen für Deckungsgrad und Vegetationshöhe definiert.

Zusammen mit den bestehenden Habitattypen stellen diese die Elemente für einen dreistelligen Habitatcode (x/y/z) dar (vgl. Tabelle 28):

Code	Habitattyp (x)	Deckungsgrad [%] (y)	Vegetationshöhe [m] (z)
0		0	0
1		10-40	<0.5
2	Kies- / Sandbank	40-80	0.5-1
3	Kies- / Sandbank mit Pioniervegetation	80-100	1-2
4	Weichholzaue		2-5
5	Hartholzaue		5-10
6	übrige Wälder		
7	übrige Habitattypen		
8	Feuchtgebiete		
9	Trockenstandorte		

Tabelle 28 Abstufungen für terrestrische Habitattypen, Deckungsgrad und Vegetationshöhe

Lesebeispiel: Ein Feuchtgebiet mit einem Deckungsgrad von 80-100 % und einer Vegetationshöhe von 0.5-1 m erhält den Habitatcode 832.

Aquatische Mesohabitate

Die Habitattypen der aquatischen Lebensräume sind in Tabelle 29 aufgeführt. Wie in Kapitel 6 beschrieben, wurden sie als Mesohabitate kartiert.

Code	Habitattyp (x)
1	Furt
2	Schnelle
6	Gleite
7	Lauf
9	Flachwasser
11	Lateralkolk
12	Hinterwasser
16	Staukolk
18	Kiesbank
20	Felsgleite

Tabelle 29 Codierung der aquatischen Mesohabitate

Erhebungen für Ausgangszustand

Untersuchungsstrecken		Erhebungszustand					
	Frühling	Sommer	Herbst	Winter	Niederwasser	Mittelwasser	Hochwasser
Emmenschachen		•					
Schwarzweg		•					

Auswertung

Im GIS wurden die Abstufungen Habitattyp, Deckungsgrad Vegetationshöhe als Kartenprodukte dargestellt.

Zudem wurden für die codierten Flächen (Definition siehe oben, aquatisch und terrestrisch) unter Anwendung einer spezifischen Berechnungs-Software die Werte der Landschaftsstrukturmasse gemäss Woolsey (Woolsey, S. et al., 2005) ermittelt.

Um die Übersicht über die zahlreichen Werte zu vereinfachen, beschränken wir uns bei der Darstellung der Ergebnisse auf je ein Landschaftsstrukturmass zu Fläche (MPS), Form (MSI), Distanz (MNN) und Eingebundenheit (Mean Proximity MPI) (vgl. Tabelle 30).

Landschafts- strukturmass	Beschreibung	Berechnungs- software
MSI	Mean Shape Index: Komplexität einer Fläche im Vergleich zu einer Standartform [-]	PatchAnalyst
MPS	Mean Patch Size: Mittlere Flächengrösse pro Gesamtcode [ha]	PatchAnalyst
MNN	Mittlere Distanz zur nächstgelegenen Fläche desselben Habitattyps	V-Late
MPI	Mittlerer Proximity-Index, Verhältnis aus der Flächengrösse einer Einzelfläche und der Distanz zur nächstgelegenen Fläche desselben Typs innerhalb eines Radius von 50 m (Implementierung nach fragstats)	V-Late

Tabelle 30 Definition der Landschaftsstrukturmasse, die für die Untersuchungsstrecken Emmenschachen und Schwarzweg zu Anwendung kommen.

Die aufgeführten Landschaftsstrukturmasse wurden unter Einbezug sämtlicher vorkommender codierter Flächen (landscape level) sowohl für die ganze Untersuchungsstrecke, wie auch für die einzelnen codierte Flächen (class level) berechnet.

Wenn nur eine Fläche pro Habitattyp vorkommt, beträgt die mittlere Distanz zur nächstgelegenen Fläche desselben Habitattyps (MNN) Null. Befinden sich die Flächen desselben Typs weiter als 50 m auseinander, liegen sie ausserhalb des Radius zur Berechnung des Mittleren Proximity-Index (MPI), was ebenfalls einen Null-Wert generiert. Für den MNN-Wert auf Ebene Untersuchungsstrecke (landscape level) wurden die MNN-Werte der codierten Flächen gemittelt.

10.3 Resultate

10.3.1 Emmenschachen

Kartendarstellunge n Emmenschachen

Die folgenden Kartenprodukte stellen die terrestrischen Habitattypen, bzw. Subtypen sowie Deckungsgrad und Vegetationshöhe dar (Abbildung 50 bis Abbildung 52). Die Kartendarstellungen der aquatischen Mesohabitate finden sich in Kapitel 6.3.

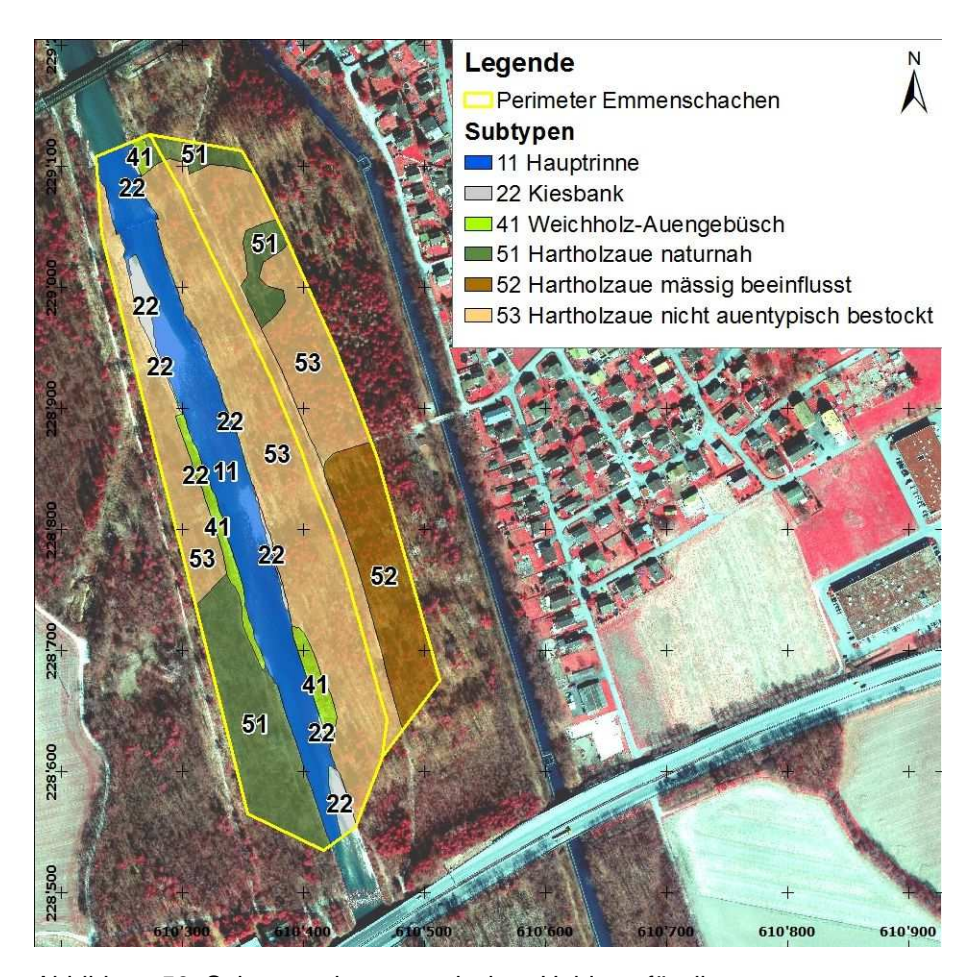


Abbildung 50 Subtypen der terrestrischen Habitate für die Untersuchungsstrecke Emmenschachen



Abbildung 51 Deckungsgrad der unterschiedlichen terrestrischen Habitate für die Untersuchungsstrecke Emmenschachen

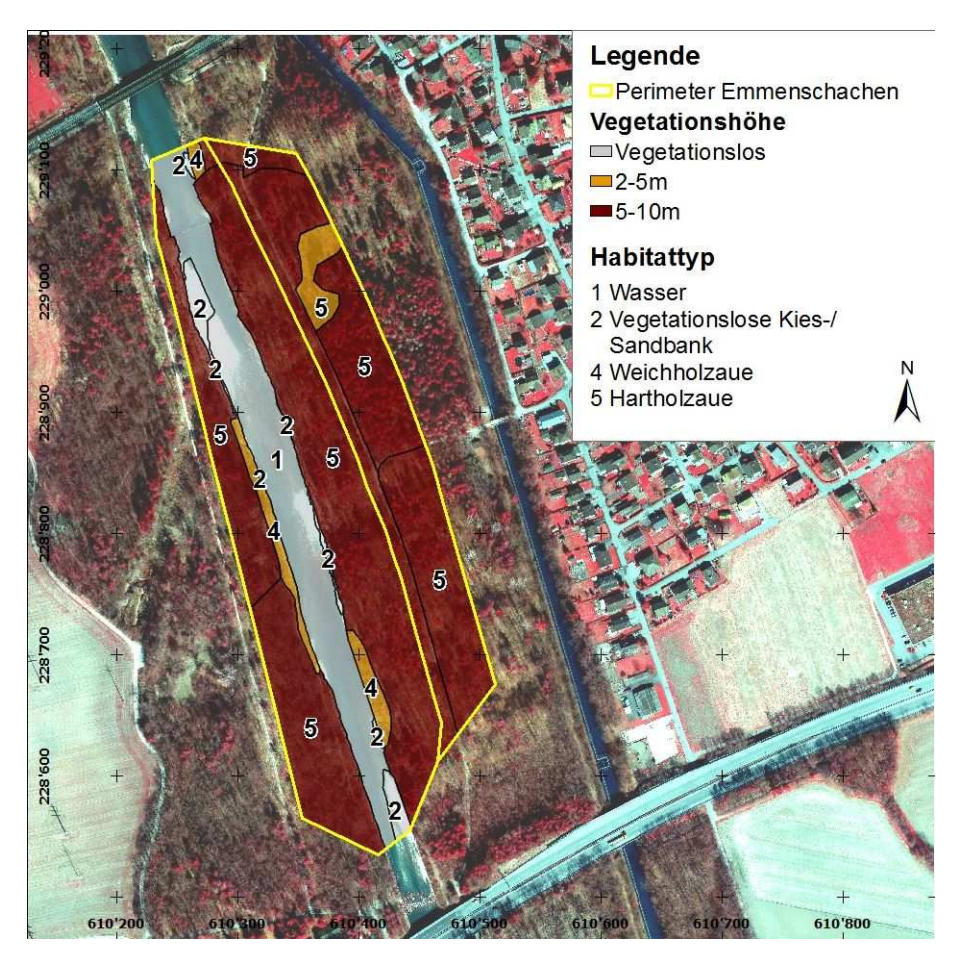


Abbildung 52 Vegetationshöhe der unterschiedlichen terrestrischen Habitate für die Untersuchungsstrecke Emmenschachen

Landschaftsstrukturmasse Emmenschachen

Die Landschaftsstrukturmasse wurden sowohl auf Ebene der Untersuchungsstrecke (landscape level, siehe Tabelle 31) wie auch auf Ebene der codierten Flächen (class level, siehe Tabelle 32) berechnet.

MPS [ha]	MSI [-]	MNN [m]	Mean Proximity
0.38	3.22	16.05	4.32

Tabelle 31 Landschaftsstrukturmasse auf Ebene der Untersuchungsstrecke

Habitat- code	Anzahl Einzel-	MSI [-]	MPS [ha]	MNN [m]	Mean Proximity			
	flächen							
aquatische Habitattypen								
Furt	1	2.12	0.93	0.00	0			
Lauf	1	1.58	0.01	0.00	0			
Flach- wasser	2	1.92	0.02	36.71	0.13			
Lateral- kolk	1	1.74	0.01	0.00	0			
Hinter- wasser	1	1.12	0.00	0.00	0			
Kiesbank	4	2.98	0.03	43.61	0.31			
terrestrische Habitattypen								
Kiesbank 200	5	6.78	0.02	59.06	0.53			
Weicholz- aue 424	2	2.54	0.13	29.20	1.56			
Weicholz- aue 434	1	1.28	0.03	0.00	0			
Hartholz- aue 524	1	1.53	0.19	0.00	0			
Hartholz- aue 525	1	1.97	1.63	0.00	0			
Hartholz- aue 535	2	2.34	2.54	24.07	43.91			

Tabelle 32 Landschaftsstrukturmasse auf Ebene Habitattyp für die Untersuchungsstrecke Emmenschachen

10.3.2 Schwarzweg

Kartendarstellunge Schwarzweg

Die folgenden Kartenprodukte stellen die terrestrischen Habitattypen, bzw. Subtypen sowie Deckungsgrad und Vegetationshöhe dar (Abbildung 53 bis Abbildung 55). Die Kartendarstellungen der aquatischen Habitattypen finden sich in Kapitel 6.3.

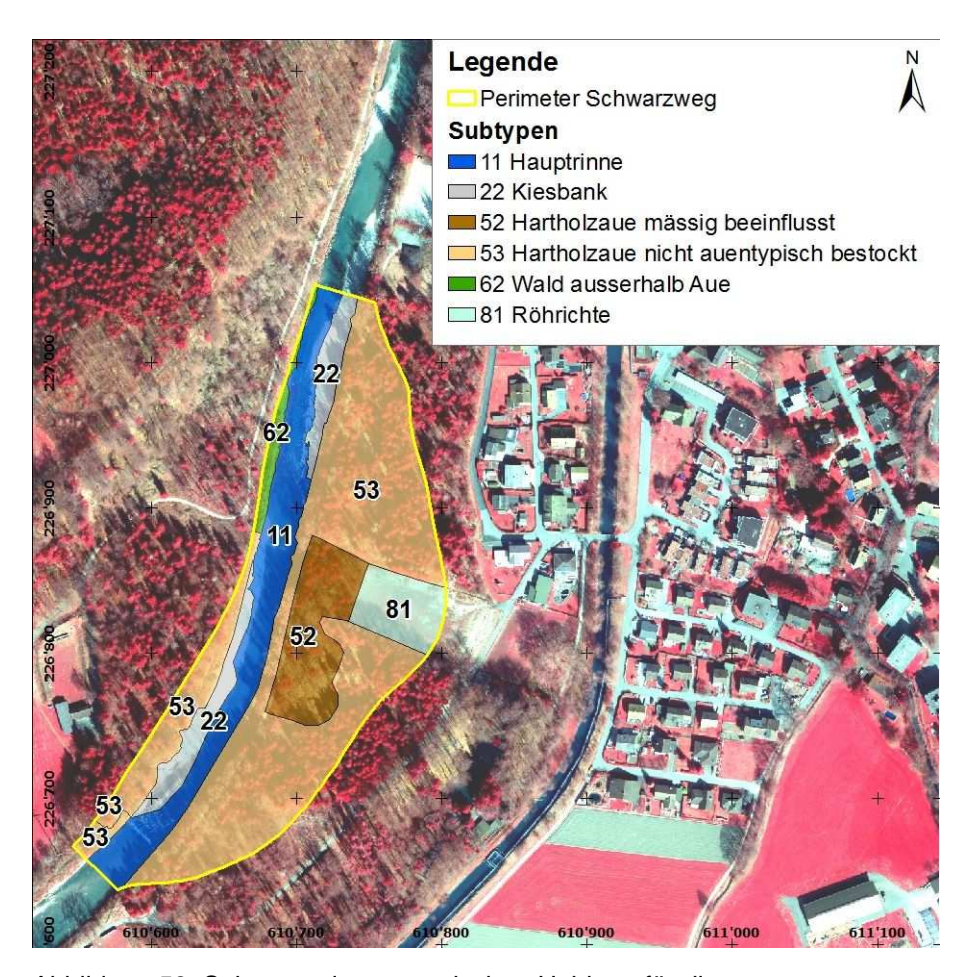


Abbildung 53 Subtypen der terrestrischen Habitate für die Untersuchungsstrecke Schwarzweg

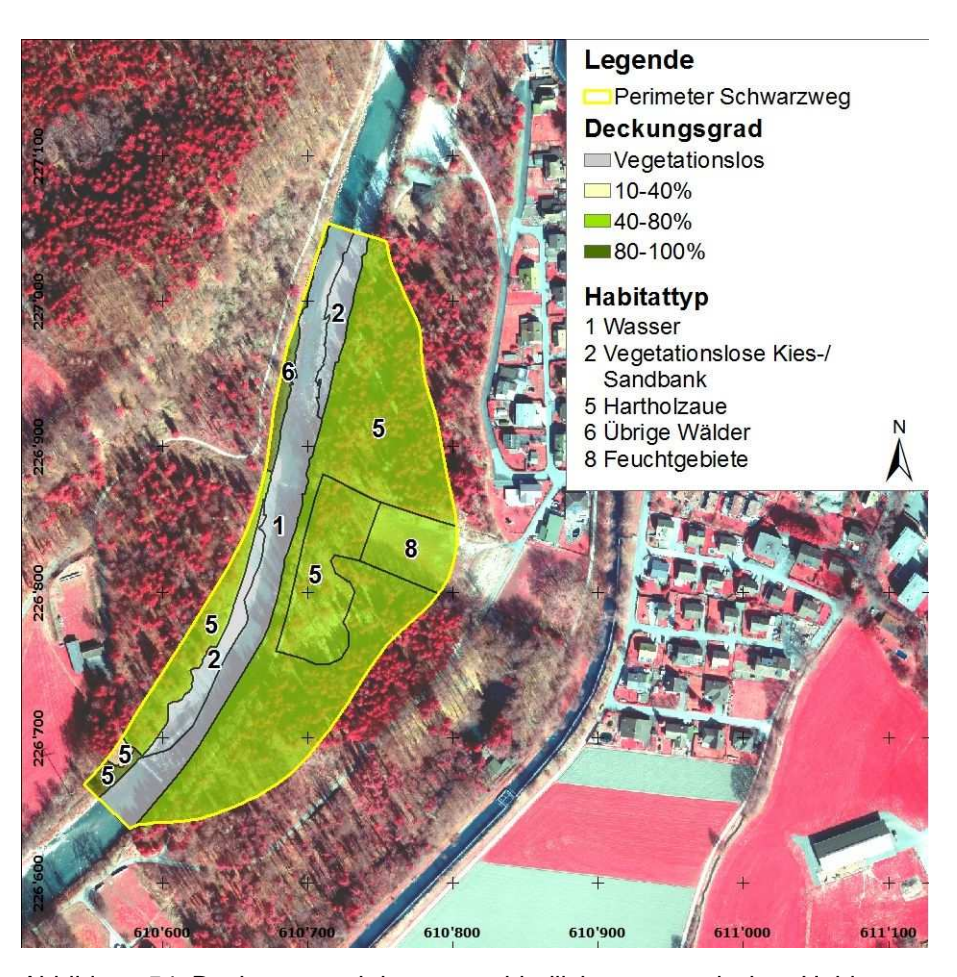


Abbildung 54 Deckungsgrad der unterschiedlichen terrestrischen Habitate für die Untersuchungsstrecke Schwarzweg

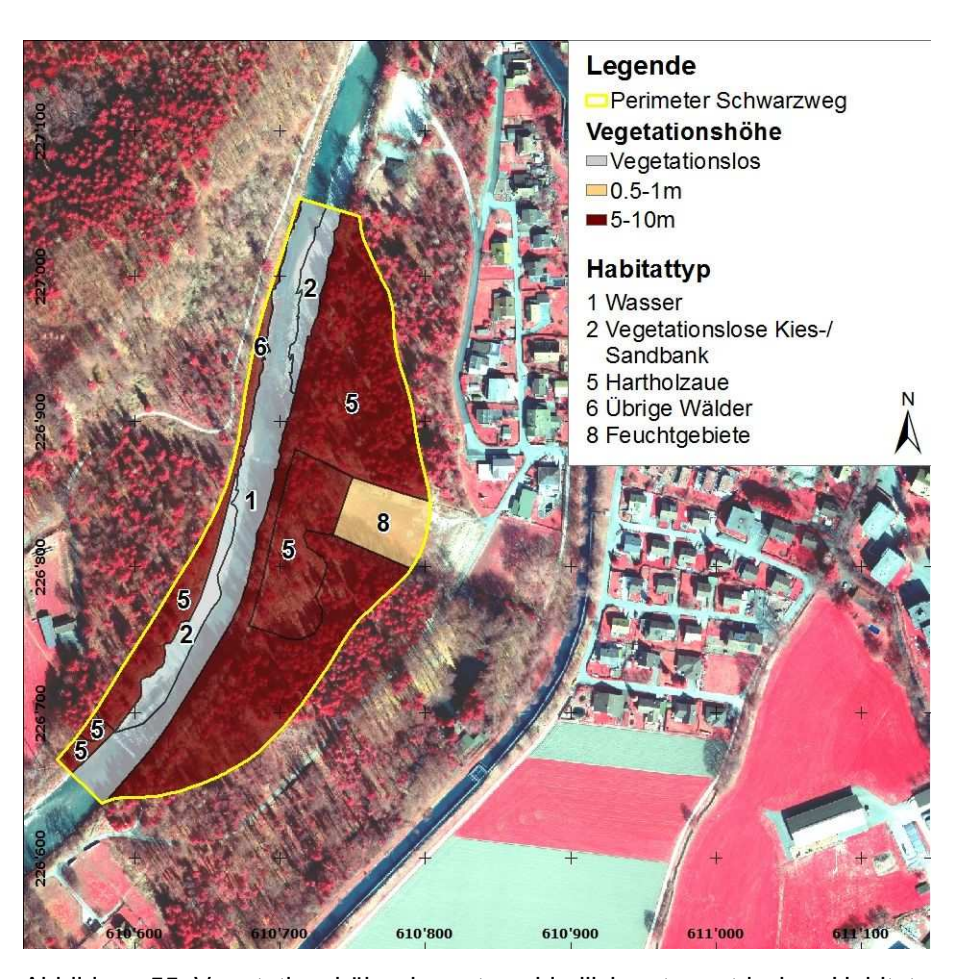


Abbildung 55 Vegetationshöhe der unterschiedlichen terrestrischen Habitate für die Untersuchungsstrecke Schwarzweg

Landschaftsstrukturmasse Schwarzweg

Die Landschaftsstrukturmasse wurden sowohl auf der Ebene der ganzen Untersuchungsstrecke (landscape level, siehe Tabelle 33) wie auch auf Ebene der codierten Flächen (class level, siehe Tabelle 34) berechnet.

MPS [ha]	MSI [-]	MNN [m]	Mean_Proximity
0.12	2.05	25.7	7.43

Tabelle 33 Landschaftsstrukturmasse auf Ebene der Untersuchungsstrecke

Habitat- code	Anzahl Einzel- flächen	MSI [-]	MPS [ha]	MNN [m]	Mean Proximity		
aquatische Habitattypen							
Furt	4	1.51	0.04	22.65	1.42		
Schnelle	3	1.44	0.02	26.95	0.42		
Gleite	2	1.79	0.03	156.09	0		
Lauf	7	1.58	0.03	3.80	23.88		
Flach- wasser	8	1.88	0.01	14.84	5.32		
Lateral- kolk	1	1.28	0.00	0.00	0		
Hinter- wasser	1	1.27	0.00	0.00	0		
Kiesbank	2	2.53	0.10	69.37	0		
Felsgleite	1	2.22	0.01	0.00	0		
terrestriscl	terrestrische Habitattypen						
Kiesbank 200	2	7.15	0.08	68.69	0		
Hartholz- aue 515	1	1.23	0.02	0.00	0		
Hartholz- aue 525	2	2.09	1.57	23.19	29.19		
Hartholz- aue 535	1	1.52	0.05	0.00	0		
Übriger Wald 635	1	3.45	0.09	0.00	0		
Feucht- gebiet 822	1	1.12	0.27	0.00	0		

Tabelle 34 Landschaftstrukturmasse auf Ebene Habitattyp für die Untersuchungsstrecke Schwarzweg

10.4 Kurzdiskussion

Kartendarstellunge

Die Auswertungen für die Ausgangserhebung der beiden Untersuchungsstrecken Emmenschachen und Schwarzweg zeigen einen eher homogenen, strukturarmen Lebensraum. Bei den terrestrischen Habitaten dominiert die Hartholzaue, entsprechend sind hohe Bestände mit relativ hohem Deckungsgrad vorherrschend. Auch die feinere Aufteilung in Subtypen zeigt deutlich, wie vorherrschend die Hartholzaue ist. Allgemein ist die Vielfalt an verschiedenen Habitattypen gering, was auf eine eher bescheidene Artenvielfalt von Flora und Fauna schliessen lässt.

Landschaftsstrukturmasse

Die vier beschriebenen Indices (vgl. Tabelle 35) lassen für die Ausgangserhebung noch keine aussagekräftige Interpretation zu. Erst im Vergleich mit den Folgeaufnahmen werden konkrete Aussagen zur Habitatvielfalt und der räumlichen Anordnung der Habitattypen möglich.

Untersuchungs- strecke	Fläche	Form	Distanz	Eingebundenheit	
	MPS [ha]	MSI [-]	MNN [m]	Mean Proximity	
Emmenschachen	0.38	3.22	16.05	4.32	
Schwarzweg	0.12	2.05	25.7	7.43	

Tabelle 35 Landschaftsstrukturmasse für die beiden Untersuchungsstrecken Emmenschachen und Schwarzweg (landscape level)

Die ermittelten Werte unterstützen das Bild der Karten. Dies wird beispielsweise bei der mittleren Distanz zur nächstgelegenen Fläche desselben Habitattyps (MNN) erkennbar: kommt nur eine Fläche vor, hat dies einen Null-Wert zur Folge. Befinden sich die Flächen desselben Typs weiter als 50 m auseinander, liegen sie ausserhalb des Aktionsradius zur Berechnung des Mittleren Proximity-Index (MPI), was ebenfalls einen Null-Wert generiert.

11 Fotografische Dokumentation

11.1 Beschrieb

Handbuch **EAWAG** Definition

Nicht enthalten

Begründung

Geografisch eindeutig definierte fotografische Aufnahmen der Strukturen

Die Untersuchungsstrecken werden im Laufe der Zeit eine unterschiedliche Entwicklung erfahren. Die Erhebung der anderen Indikatoren wird eher wissenschaftlich geprägte Ergebnisse liefern. Sie sind daher weniger geeignet, den ökologischen Erfolg einer breiten Öffentlichkeit aufzuzeigen. Die fotografische Dokumentation wird die strukturelle Entwicklung aus Sicht des Betrachters festhalten.

11.2 Methode Erhebung und Auswertung

Zu erhebende Daten Vorgehen

Fotos der Untersuchungsstrecken während der Vegetationsperiode

Es wurden Fotostandorte ausgewählt, die sowohl im Ausgangszustand als auch in den Projektzuständen eine gute Sicht in die Untersuchungsstrecke garantieren (Details vgl. Anhang D).

Erhebungen für den Ausgangszustand

Untersuchungsstrecken	Erhebungszustand						
	Frühling	Sommer	Herbst	Winter	Niederwasser	Mittelwasser	Hochwasser
Emmenspitz	•	•			•		•
Emmenschachen	•	•			•		•
Schwarzweg	•	•			•		•
Papierfabrik	•	•			•		•
zusätzliche Standorte	•		•		•		•

Auswertung

Zusammenstellung der Fotos in einer Dokumentation

11.3 Resultate

Erhebung

In alle vier Untersuchungsstrecken wurden an 21 Fotostandorten Aufnahmen gemacht (siehe Abbildung 56, Abbildung 57, Abbildung 59 und Abbildung 61). Am 25.8.2014 wurde bei einem Restwasserabfluss von 2.3 m³/s fotografiert (71 Fotos). Diese Serie wurde am 27.11.2014 durch Aufnahmen an zusätzlichen 5 Fotostandorten ergänzt (41 Fotos) (siehe Abbildung 58, Abbildung 60 und Abbildung 62). Diese Aufnahmen erfolgten bei einem Abfluss von ca. 1.8 m³/s.

Die Aufnahmen zur Dokumentation des Hochwasseraspektes erfolgten am 5.5.2015 bei einem Abfluss zwischen 63 m³/s und 43 m³/s (150 Fotos).

Dokumentation

Eine ausführliche fotografische Dokumentation ist in Anhang D aufgeführt. Der gesamte Foto-Satz inklusive Bildspezifikation befindet sich auf der Daten-CD.

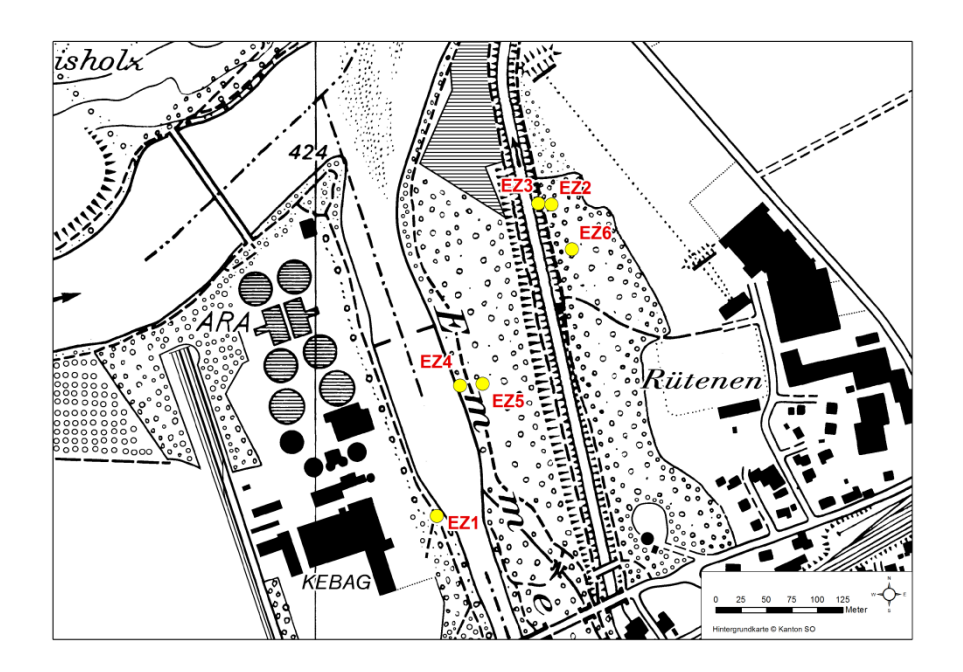


Abbildung 56 Fotostandorte in der Untersuchungsstrecke Emmenspitz (EZ)

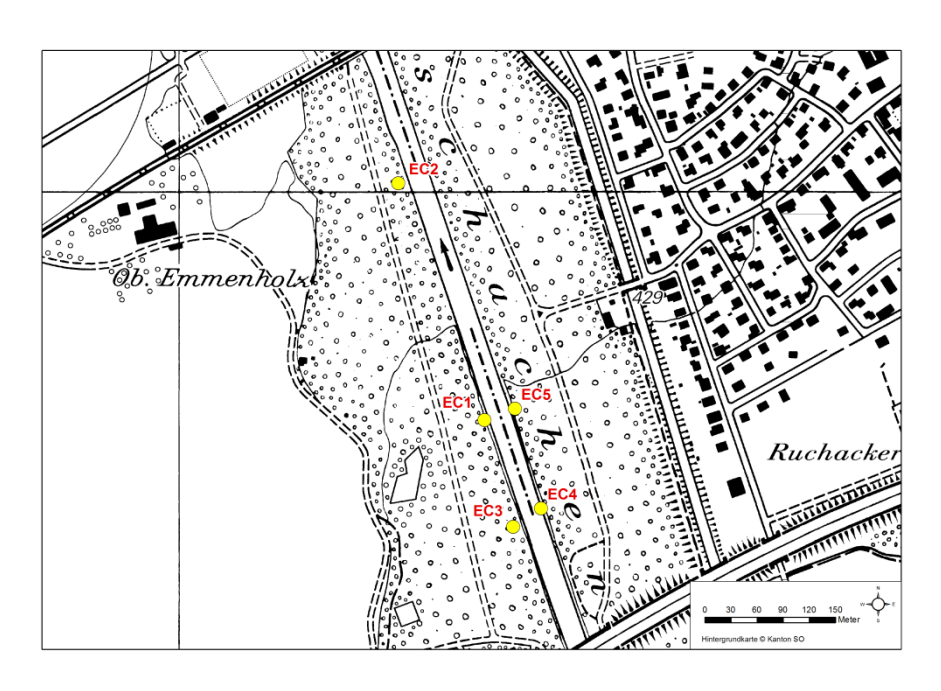


Abbildung 57 Fotostandorte in der Untersuchungsstrecke Emmenschachen (EC)

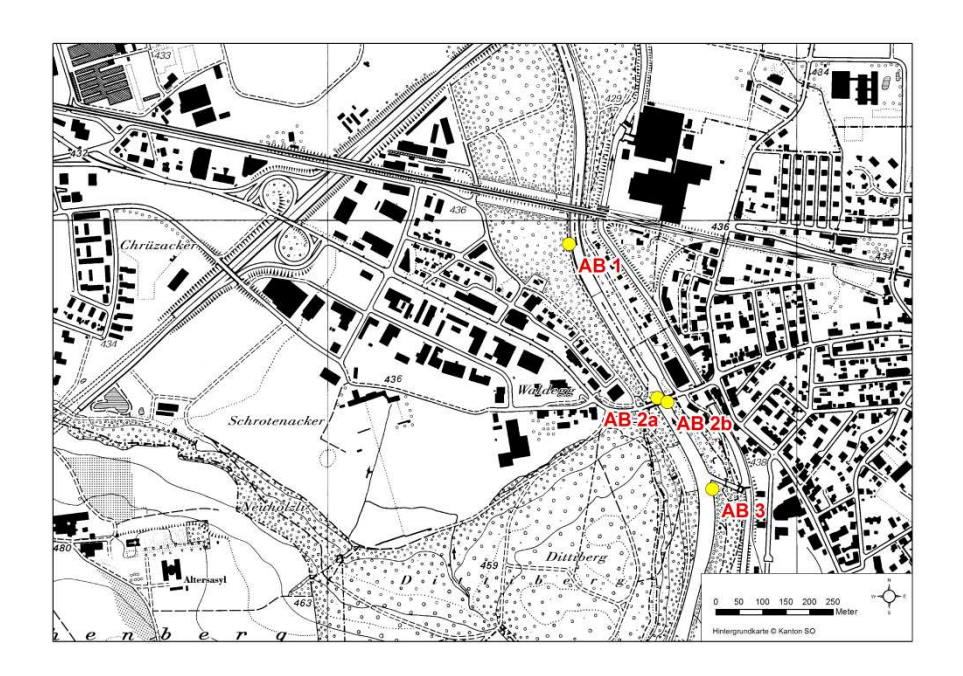


Abbildung 58 Zusätzliche Fotostandorte bei der Autobahnbrücke (AB)

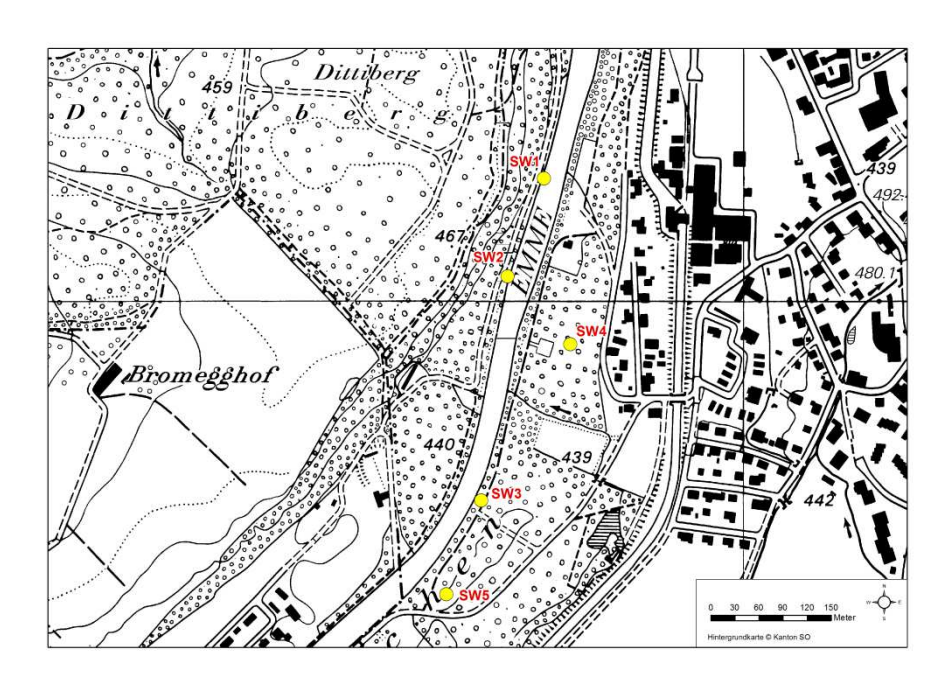


Abbildung 59 Fotostandorte in der Untersuchungsstrecke Schwarzweg (SW)

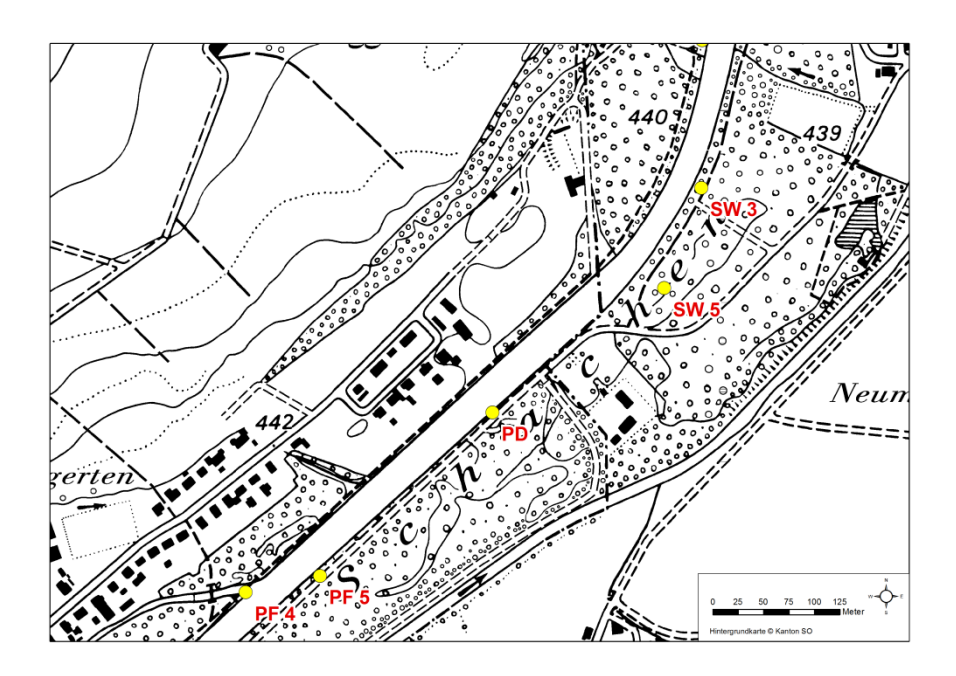


Abbildung 60 Zusätzlicher Fotostandort beim Pockenhaus Derendingen (PD)

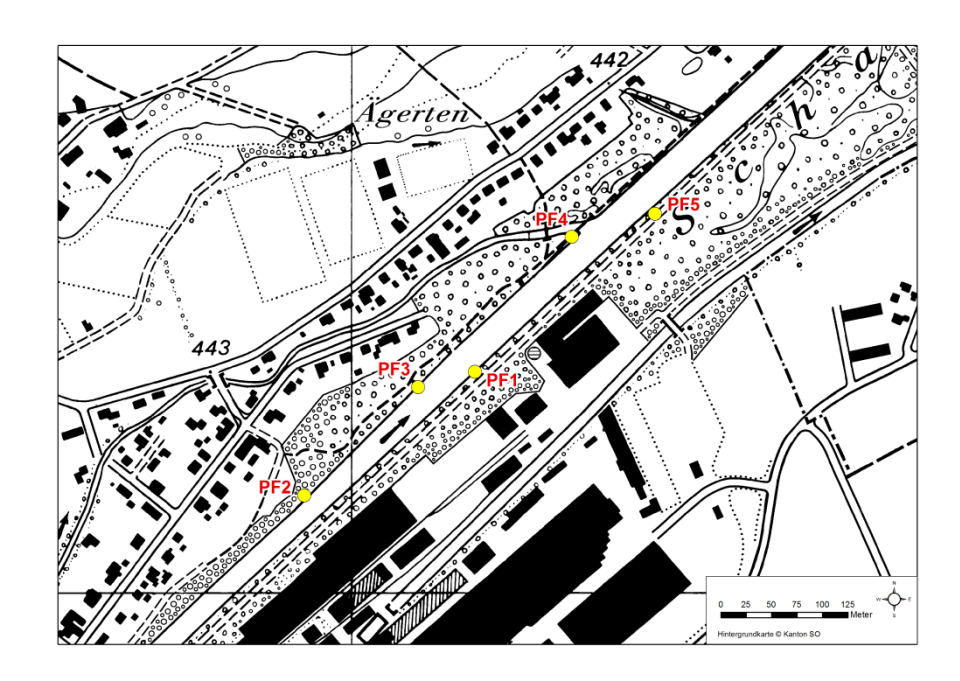


Abbildung 61 Fotostandorte in der Untersuchungsstrecke Papierfabrik (PF)

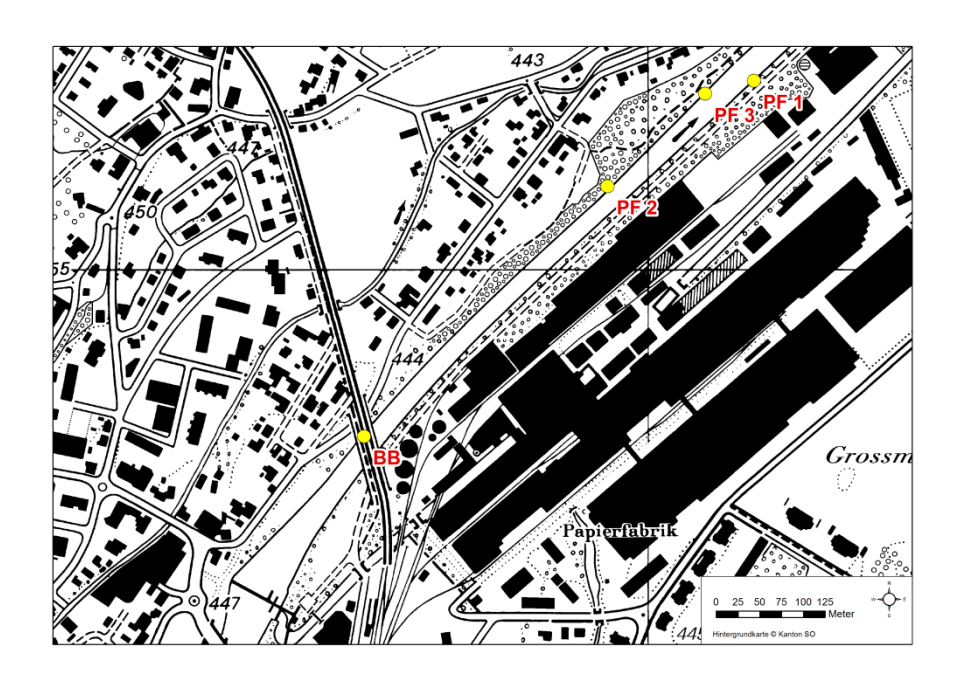


Abbildung 62 Zusätzlicher Fotostandort bei der Bahnbrücke (BB)

12 Auentypische Pflanzenarten

12.1 Beschrieb

Handbuch **EAWAG** Definition Literatur

Steckbriefnr. 47, Vegetation: auentypische Pflanzenarten

Vorkommen, Häufigkeit und Deckungsgrad ausgewählter Zielarten

(Woolsey, S. et al., 2005)

12.2 Methode Erhebung und Auswertung

Zu erhebende Daten

Anzahl Individuen bzw. deren besiedelte Fläche in den potenziellen Auenflächen. Als Zielarten wurden folgende auentypischen Pflanzenarten festgelegt:

- Silber-Weide (Salix alba)
- Lavendel-Weide (Salix elaeagnos)
- Rosmarin-Weidenröschen (Epilobium dodonaei)
- Sanddorn (Hippophaë rhamnoides)

Vorgehen

Erhebungen erfolgten in einer Feldkartierung (Begehung vom 03.09.2014).

Es wurden sämtliche Individuen der Zielarten aufgenommen. Zwei Altersstadien wurden unterschieden (Jungbäume/Sträucher und Bäume (> 5 m)).

Erhebungen für Ausgangszustand

Untersuchungsstrecken	Erhebungszustand						
	Frühling	Sommer	Herbst	Winter	Niederwasser	Mittelwasser	Hochwasser
Emmenspitz		•					
Emmenschachen		•					
Rüti		•					
Schwarzweg		•					
Papierfabrik		•					

Auswertung

Da im Rahmen der Ausgangserhebung nur eine von vier Arten vorgefunden wurde, ist eine Standardisierung, welche der lokalen Häufigkeit Rechnung trägt, nicht aussagekräftig. Auf eine Auswertung gemäss (Woolsey, S. et al., 2005). wurde daher für die Ausgangserhebung verzichtet.

Die Anzahl Individuen pro Zielart wurde tabellarisch aufgelistet.

12.3 Resultate

In allen Untersuchungsstrecken kommt von den vier Zielarten lediglich die Silber-Weide Salix alba vor.

12.3.1 Emmenspitz

auentypische	Anzahl Individuen					
Pflanzenarten	Bäume	Sträucher/Jungbäume				
Salix alba	0	5				
Salix elaeagnos	0	0				
Epilobium dodonaei	0	0				
Hippophaë rhamnoides	0	0				

Tabelle 36 Auentypische Pflanzenarten für die Untersuchungsstrecke Emmenspitz

auentypische	Anzahl Individuen					
Pflanzenarten	Bäume	Sträucher/Jungbäume				
Salix alba	12	29				
Salix elaeagnos	0	0				
Epilobium dodonaei	0	0				
Hippophaë rhamnoides	0	0				

Tabelle 37 Auentypische Pflanzenarten für die Untersuchungsstrecke Emmenschachen

12.3.3 Rüti

auentypische	Anzahl Individuen					
Pflanzenarten	Bäume	Sträucher/Jungbäume				
Salix alba	0	2				
Salix elaeagnos	0	0				
Epilobium dodonaei	0	0				
Hippophaë rhamnoides	0	0				

Tabelle 38 Auentypische Pflanzenarten für die Untersuchungsstrecke Rüti

12.3.4 Schwarzweg

auentypische	Anzahl Individuen					
Pflanzenarten	Bäume	Sträucher/Jungbäume				
Salix alba	1	8				
Salix elaeagnos	0	0				
Epilobium dodonaei	0	0				
Hippophaë rhamnoides	0	0				

Tabelle 39 Auentypische Pflanzenarten für die Untersuchungsstrecke Schwarzweg

12.3.5 Papierfabrik

auentypische	Anzahl Individuen					
Pflanzenarten	Bäume	Sträucher/Jungbäume				
Salix alba	0	2				
Salix elaeagnos	0	0				
Epilobium dodonaei	0	0				
Hippophaë rhamnoides	0	0				

Tabelle 40 Auentypische Pflanzenarten für die Untersuchungsstrecke Papierfabrik

12.4 Kurzdiskussion

Erwartungsgemäss kommen die typischen Pionier- bzw. Ruderalpflanzen in den untersuchten Strecken nur beschränkt und in sehr geringer Zahl oder überhaupt (noch) nicht vor. Sie beanspruchen Habitate, welche sich durch die Revitalisierung erst noch einstellen sollten. Als einzige der ausgewählten auentypischen Pflanzenarten konnte die Silber-Weide Salix alba kartiert werden.

Im Vergleich mit späteren Erhebungen wird sich zeigen, wie weit die zu erwartenden Prozesse Erosion, Umlagerung und Überschwemmung eine charakteristische Pionier- und Ruderalflora fördern können.

13 Bestandserhebung Fische

13.1 Beschrieb

Handbuch **EAWAG** Definition

Nicht enthalten

Quantitative Erhebung des Fischbestandes

Begründung

Die Förderung aquatischer Strukturen ist gemäss Leitbild eines der wichtigsten Entwicklungsziele. Davon sollen in erster Linie die Fische profitieren.

Bemerkung

Die Erhebungen fanden 2010 statt. Die Ergebnisse wurden in einem separaten Bericht aufbereitet (siehe Anhang B).

13.2 Methode Erhebung und Auswertung

Zu erhebende Daten Vorgehen

Art, Anzahl, Gewicht und Länge der gefangenen Fische

Der Untersuchungsperimeter umfasste zwei Strecken. Die Strecke Derendingen liegt oberhalb der Emmebrücke bei Derendingen. Die Strecke Luterbach liegt oberhalb der Autobahnbrücke zwischen Derendingen und Luterbach. Die Strecken wurden in zwei Durchgängen elektrisch befischt mit einer Absperrung am oberen Ende der Befischungsstrecke.

Erhebungen für den Ausgangszustand

Untersuchungsstrecken	Erhebungszustand						
	Frühling	Sommer	Herbst	Winter	Niederwasser	Mittelwasser	Hochwasser
Emmenschachen			•			•	
Rüti			•			•	

Auswertung

Längen-Häufigkeitsverteilung, Artenzusammensetzung, Dichte und Biomasse. Vergleich der Projektzustände mit dem Ausgangszustand.

13.3 Resultate

Es wurden 7 Arten gefangen, die – mit Ausnahme der Regenbogenforelle – standorttypisch sind. Es fehlen aber weitere typische Arten wie die Äsche und der Gründling. Beide Arten kommen oberhalb des Wehrs Biberist vor. Auffällig ist zudem der geringe Anteil der Bachforellen an der Gesamtdichte.

Die Artenzahl und die Fischdichte, insbesondere aber die Biomasse waren in der strukturierten Strecke bei Derendingen deutlich grösser als in der monotonen Strecke bei Luterbach.

Details finden sich in Anhang B.

13.4 Kurzdiskussion

Die gesamte Restwasserstrecke zeichnet sich primär durch monotone Abschnitte aus, wie sie durch die Untersuchungsstrecke bei Lutherbach repräsentiert werden. Strukturierte Abschnitte wie bei Derendingen sind selten. Die mittlere Dichte bzw. Biomasse über die gesamte Restwasserstrecke dürfte deshalb auf einem vergleichbar tiefen Niveau liegen, wie in der Untersuchungsstrecke bei Lutherbach.

14 Vorkommen Amphibien

14.1 Beschrieb

Handbuch **EAWAG** Definition

Nicht enthalten

Vorkommen und Häufigkeit verschiedener Amphibienarten

Begründung

Die Förderung aquatischer Strukturen ist gemäss Leitbild eines der wichtigsten Entwicklungsziele. Davon sollen auch die Pionierarten unter den Amphibien profitieren.

Im Jahr 2012 erfolgte eine Bestandserhebung im Emmenspitz und im Emmenschachen. Die folgenden Ausführungen fassen die wichtigsten Erkenntnisse aus dieser Bestandserhebung zusammen (ganzer Bericht siehe Anhang E).

14.2 Methode Erhebung und Auswertung

Zu erhebende Daten

Abundanz der verschiedenen Amphibienarten, gesondert nach Adultiere, Larven und Laich (Laichballen und Laichschnüre).

Zwei Tagbegehungen (14.03 und 27.03.2012) zur visuellen Erfassung von potentiellen Amphibiengewässern sowie Erfassung von Grasfrosch- und Erdkrötenlaich. Zwei Nachtbegehungen (05.04 und 17.06.2012) zur visuellen und akustischen Erfassung von Amphibien.

Während drei Nächten (13.04. bis 20.04.2012) wurden Molchfallen in den Gewässern platziert. Die gefangenen Tiere wurden jeden Morgen registriert und anschliessend wieder freigelassen.

Grünfrösche (Pelophylax sp.) können aus Distanz nur bestimmt werden, wenn sie deutlich rufen. Daher war es nicht immer auszumachen, ob es sich bei den Grünfröschen vor Ort um Seefrösche (Pelophylax ridibundus) oder andere Grünfroscharten (Pelophylax sp.) handelte. Nicht sicher bestimmbare Grünfrösche wurden daher der Kategorie "Grünfrosch unbestimmt (Pelophylax sp.)" zugeordnet.

Untersuchungsstrecken

Es wurden drei Gewässer mit Amphibienpotential untersucht: grossflächiger Altlauf, ein nur wenig Wasser führender Bach und ein Kleinweiher (vgl. Abbildung 1).

Zwei der drei Gewässer (Bach und Kleinweiher) liegen ausserhalb der Untersuchungstrecken für die Erfolgskontrolle. Die Amphibien in diesen Gewässern wurden dennoch untersucht, da sich die betroffenen Lebensräume durch projektierte Massnahmen verändern werden.

Erhebungen für den Ausgangszustand

Untersuchungsgewässer Amphibien	-						
	Frühling	Sommer	Herbst	Winter	Niederwasser	Mittelwasser	Hochwasser
Altlauf	•						
Bach	•						
Kleinweiher	•						

Auswertung

Vergleich der Projektzustände mit dem Ausgangszustand

14.3 Resultate

Im Gebiet wurden 5 Amphibienarten nachgewiesen (siehe Tabelle 41 und Abbildung 63).

Untersuchung s-gewässer	Abundanz Amphibienarten							
	Fadenmolch Lissotriton helveticus	Bergmolch Ichthyosaura alpestris	Erdkröte Bufo bufo	Grasfrosch Rana temporaria	Seefrosch Pelophylax ridibundus	Grünfrosch unbestimmt Pelophylax sp.		
Altlauf			2 Ad 1 L	1 Ad 50 Lv 110 L	2 Ad	6 Ad		
Bach				1 L				
Kleinweiher	24 Ad	3 Ad	1 Ad 50 Lv	3 Ad 60 Lv 7 L		2 Ad		

Tabelle 41 Abundanz der Amphibien nach Gewässer. Aufgeführt ist jeweils die grösste Anzahl auf einer Begehung festgestellter Adulttiere (Ad), Larven (Lv) und Laich (L). Verändert nach Anhang E.

Der Grasfrosch hat sich in allen drei untersuchten Gewässern fortgepflanzt, jedoch nur im Altlauf mit über 100 Laichballen in grösserer Zahl.

Einen sicheren Nachweis des nicht einheimischen Seefroschs wurde im Altlauf gemacht. Es kann nicht ausgeschlossen werden, dass es sich bei den weiteren Grünfröschen im Altarm und im Kleinweiher um Seefrösche handelt.

Einzelne Erdkröten haben sich in den Gewässern Altlauf und Kleinweiher fortgepflanzt.

Molche konnten nur im Kleinweiher nachgewiesen werden. auentypische Fadenmolch (Rote Liste: Verletzlich) in deutlich höherer Dichte als der Bergmolch.

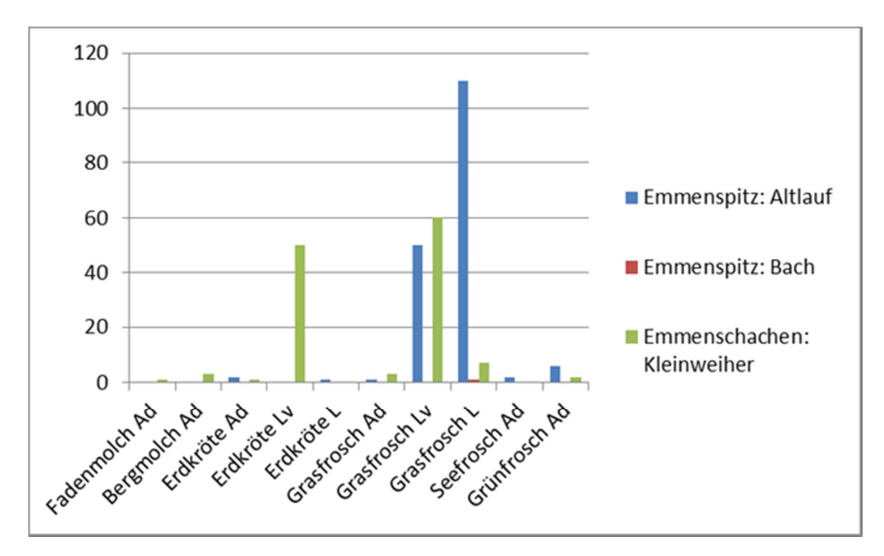


Abbildung 63 Abundanz Amphibien, Adulttiere (Ad), Larven (Lv) und Laich (L). Verändert nach Anhang E.

14.4 Kurzdiskussion

Datenlage

Die Gewässer waren zum Teil schlecht zugänglich und stark bewachsene Ufer erschwerten die Aufnahme. Daher ist nicht auszuschliessen, dass Einzeltiere oder Molche im Altarm übersehen wurden. Dass eine zusätzlich vorkommende Art übersehen worden wäre, ist aber unwahrscheinlich.

Alle drei untersuchten Gewässer wiesen Fischbesatz auf. Das Vorkommen von Fischen in Laichgewässern kann den Fortpflanzungserfolg von Amphibien beträchtlich reduzieren.

Altlauf

Trotz strukturreichem Landlebensraum ist der Altarm auffallend schlecht durch Amphibien besiedelt. Der grosse Prädationsdruck wird sicher ein Hauptgrund für die extrem tiefe Amphibiendichte sein. Weitere Gründe könnten die starke Beschattung oder die Isolation des Vorkommens sein.

Bach

Das Bächlein führt nur sehr wenig Wasser und entwässert in die Emme. Es ist dadurch für Fische besiedelbar. Die Gründe, weshalb ausser einem Grasfrosch-Laichfund keine Amphibiennachweise gelangen, sind nicht bekannt.

Kleinweiher

Der Kleinweiher ist mit 5 nachgewiesenen Arten für Amphibien zu diesem Zeitpunkt der geeignetste Lebensraum. Der starke Fischdruck verhindert wohl aber auch hier hohe Individuendichten im ansonsten für Amphibien attraktiven Gewässer.

Empfehlung und Ausblick

Innerhalb des Untersuchungsperimeters sind entsprechende amphibienrelevante Massnahmen vorgesehen, insbesondere die Schaffung von
Stillgewässern (Massnahmen M33, M35). Weitere Stillgewässer sind im
Bereich Schwarzweg (M13) geplant. Die gemäss Erfolgskontrollenkonzept
vorgesehenen Projektzustandserhebungen werden Hinweise liefern, wie
weit diese Massnahmen die Amphibien fördern und deren Lebensraum
aufwerten. Dazu wäre es sinnvoll, den Untersuchungsperimeter auf
besagten Bereich Schwarzweg zu erweitern.

15 Gesamtdiskussion

Vergleichbarkeit

Um die Ergebnisse der erhobenen Indikatoren für eine Untersuchungsstrecke vergleichbar zu machen, müssen sie auf einen Wert zwischen 0 und 1 standardisiert werden.

Keine Gesamtbewertung

Für folgende Indikatoren lassen sich nur auf Basis eines Vorher-nachher-Vergleichs standardisierte Werte, respektive Bewertungen generieren. Daher erscheinen die Ergebnisse aus der Ausgangserhebung dieser Indikatoren nicht in der nummerischen Gesamtbewertung.

- Wassertemperatur
- Landschaftsstrukturmasse
- Fotographische Dokumentation
- Auentypische Pflanzenarten
- Bestandserhebung Fische
- Vorkommen Amphibien

Gesamtbewertung

Abbildung 64 die standardisierten der zeigt Ergebnisse aus Untersuchungsstrecken Emmenschachen, Ausgangserhebung für die Schwarzweg und Papierfabrik. Es werden nur jene Untersuchungsstrecken abgebildet, für die standardisierte Bewertungen vorliegen.

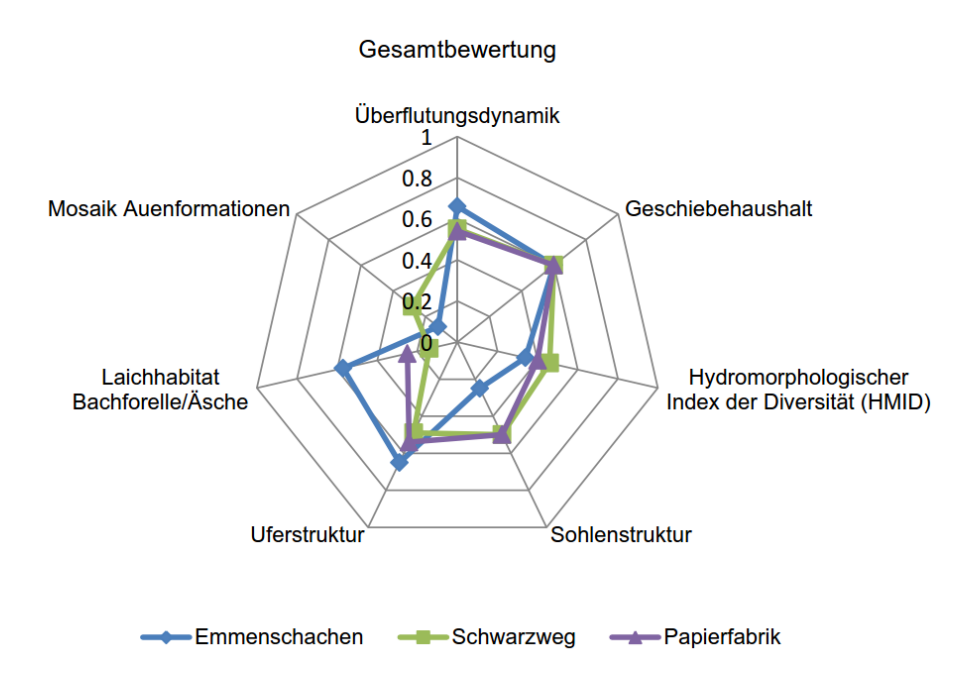


Abbildung 64 Gesamtbewertung für die Untersuchungsstrecken Emmenschachen, Schwarzweg und Papierfabrik

Emmenschachen

Die Bewertung für die Untersuchungsstrecke Emmenschachen liegt im Durchschnitt bei 0.46. Wobei vier Indikatoren über 0.5, und drei unter 0.5 liegen.

Schwarzweg

Die Bewertung für die Untersuchungsstrecke Schwarzweg liegt im Durchschnitt bei 0.43. Wobei zwei Indikatoren über 0.5, vier unter 0.5 und einer bei genau 0.5 liegen.

Papierfabrik

Die Bewertung für die Untersuchungsstrecke Papierfabrik liegt im Durchschnitt bei 0.47. Wobei drei Indikatoren über 0.5, zwei unter 0.5 und einer bei genau 0.5 liegen.

Synthese

Gesamthaft betrachtet lassen die Ergebnisse aus der Ausgangserhebung den Schluss zu, dass es sich bei der Emme zwischen dem Wehr Biberist und der Mündung in der Aare um ein weder besonders stark noch besonders schwach beeinträchtigtes Gewässer handelt. Insbesondere bei den terrestrischen Lebensräumen bestehen aber erhebliche Defizite. Für alle untersuchten Indikatoren besteht das Potential, durch die Realisation entsprechender Massnahmen im Rahmen des Hochwasserschutz- und Revitalisierungsprojektes Emme, Wehr Biberist bis Aare, höhere Bewertungen zu erzielen.

Bern, 28.08.2015

IC Infraconsult AG
Fischwerk
Hunziker Zarn und Partner AG
Impuls AG

Nicole Schiltknecht

Werner Dönni

Roni Hunziker

Myrta Montani

Simona Stoll

Andrea Stocker

Lena Spallinger

Vincent Haebler

Matthias Pfäffli

Niklaus Reusser

Nadine Trierweiler

Tabellenverzeichnis

Tabelle 1 Die Tabelle zeigt für die Ausgangserhebung in welcher
Untersuchungsstrecken, welche Indikatoren zu welcher Erhebungszeitpunkten erhoben wurden
Tabelle 2 Die Tabelle zeigt, auf welche gemeinsame Datenbasis sich die Auswertungen gewisser Indikatoren stützen
Tabelle 3 Standardisierte Werte für den Indikator Überflutungsdynamik bei Q1 (130 m³/s)
Tabelle 4 Benetzte Breite für verschiedene Abflüsse (1.8 m 3 /s, 2.3 m 3 /s und 6.3 m 3 /s sind Restwassermengen; 21.8 m 3 /s entsprechen dem Q _n im Jahr 2013 und 130 m 3 /s dem Q1 der Station Emme Wiler)
Tabelle 5: Bewertungsklassen der Projektstrecke
Tabelle 6 Bewertung der Natürlichkeit der Wassertemperatur für das Jahr 2014 anhand des Jahresgangs der Tagesmittelwerte gemäss MSK Temperatur (Dübendorfer, C. et al., 2011)
Tabelle 7 HMID-Werte der Untersuchungsstrecke Emmenschachen für zwei Restwasserabflüsse und den mittleren Jahresabfluss
Tabelle 8 HMID-Werte für die Untersuchungsstrecke Schwarzweg für zwei Restwasserabflüsse und den mittleren Jahresabfluss
Tabelle 9 HMID-Werte für die Untersuchungsstrecke Papierweg für zwe Restwasserabflüsse und den mittleren Jahresabfluss
Tabelle 10 Mesohabitate bzw. Sohlenstrukturen in der Untersuchungstrecke Emmenschachen
Tabelle 11 Mesohabitate bzw. Sohlenstrukturen in der Untersuchungsstrecke Schwarzwerg
Tabelle 12 Mesohabitate bzw. Sohlenstrukturen in der Untersuchungstrecke Papierfabrik
Tabelle 13 Bewertungsklassen und Zuordnung der standardisierter Werte nach (Woolsey, S. et al., 2005) für die untersuchten Strecken 59
Tabelle 14 Uferstrukturtypen in der Untersuchungsstrecke Emmenschachen bei minimalem Restwasser am 25.11.2014
Tabelle 15 Uferstrukturtypen in der Untersuchungsstrecke Emmenschachen bei mittlerem Restwasser am 6.3.2015
Tabelle 16 Uferstrukturtypen in der Untersuchungsstrecke Schwarzweg

Tabelle 17 Uferstrukturtypen in der Untersuchungsstrecke Schwarzweg bei mittlerem Restwasser am 6.3.2015
Tabelle 18 Uferstrukturtypen in der Untersuchungsstrecke Papierfabrik bei minimalem Restwasser am 19.6.2014
Tabelle 19 Uferstrukturtypen in der Untersuchungsstrecke Papierfabrik bei mittlerem Restwasser am 6.3.2015
Tabelle 20 Standartisierte Bewertung der Untersuchungsstrecken A = Standardisierter Wert RW = minimalere Restwasserabfluss MW = mittlerer Restwasserabfluss
Tabelle 21 Abflussspezifische Bewertung des Habitatangebotes in den Untersuchungsstrecken hinsichtlich der Ansprüche der Bachforelle und der Äsche
Tabelle 22 Shannon Index und Shannon Evenness für die Untersuchungsstrecke Emmenschachen
Tabelle 23 Auenformationen in der Untersuchungsstrecke Emmenschachen. Anteile der verschiedenen Haupttypen an der Gesamtfläche. Mit 'Anzahl' sind die Anzahl der einzelnen Teilflächen pro Haupttyp innerhalb des Perimeters gemeint.
Tabelle 24 Anteil der Pionierformationen an der Gesamtfläche für die Untersuchungsstrecke Emmenschachen
Tabelle 25: Shannon Index und Shannon Evenness für die Untersuchungsstrecke Schwarzweg
Tabelle 26 Auenformationen in der Untersuchungsstrecke Schwarzweg. Anteile der verschiedenen Haupttypen an der Gesamtfläche. Mit 'Anzahl' sind die Anzahl der einzelnen Teilflächen pro Haupttyp innerhalb des Perimeters gemeint
Tabelle 27: Standardisierte Werte für die Untersuchungsstrecken Emmenschachen und Schwarzweg
Tabelle 28 Abstufungen für terrestrische Habitattypen, Deckungsgrad und Vegetationshöhe Lesebeispiel: Ein Feuchtgebiet mit einem Deckungsgrad von 80-100 % und einer Vegetationshöhe von 0.5-1 m erhält den Habitatcode 832.
Tabelle 29 Codierung der aquatischen Mesohabitate
Tabelle 30 Definition der Landschaftsstrukturmasse, die für die Untersuchungsstrecken Emmenschachen und Schwarzweg zu Anwendung kommen.

Tabelle 31 Untersuchungs:	Landschaftsst strecke		auf	Ebene	der 99
Tabelle 32 Untersuchungs				• •	
Tabelle 33 Untersuchungs		rukturmasse			
Tabelle 34 Untersuchungs		ukturmasse a		• •	
Tabelle 35 Untersuchungs: level)	strecken Emn		und Schv	varzweg (laı	ndscape
Tabelle 36 Emmenspitz		Pflanzenarten		_	
Tabelle 37 Emmenschache		Pflanzenarten		_	
Tabelle 38 Rüti		Pflanzenarten		_	
Tabelle 39 Schwarzweg	• •	Pflanzenarten		_	
Tabelle 40 Papierfabrik		Pflanzenarten		_	
Tabelle 41 jeweils die grös Larven (Lv) und	ste Anzahl aut	_	ng festgest	ellter Adulttie	ere (Ad),

Abbildungsverzeichnis

Abbildung 1	Lage der Untersuchungsstrecken für die Ausgangserhebung
Abbildung 2 (blaue Punkte =	Untersuchungsstrecke Emmenschachen: Vermessungen = Querprofile, rote Punkte = lokale Strukturen)
Sohle und Wa	Untersuchungsstrecke Emmenschachen: Querprofile mit asserspiegel bei einem Abfluss von 130 m³/s (Q1) Links .806, rechts GEWISS-Km 1.006
	Untersuchungsstrecke Emmenschachen: Fliesstiefe (m) bei von 130 m³/s (Q1)20
_	Untersuchungsstrecke Schwarzweg: Vermessungen (blaue profile, rote Punkte = lokale Strukturen)
und Wasserspi	Untersuchungsstrecke Schwarzweg: Querprofile mit Sohle egel bei einem Abfluss von 130 m³/s (Q1) Links GEWISSts GEWISS-Km 3.196
	Untersuchungsstrecke Schwarzweg: Fliesstiefe (m) bei von 130 m³/s (Q1)21
Punkte = Quer	Untersuchungsstrecke Papierfabrik: Vermessungen (blaue profile, rote Punkte = lokale Strukturen) Die Rampe wurde n
und Wasserspi	Untersuchungsstrecke Papierfabrik: Querprofile mit Sohle egel bei einem Abfluss von 130 m³/s (Q1) Links GEWISS-Km EWISS-Km 3.98722
	Untersuchungsstrecke Papierfabrik: Fliesstiefe (m) bei von 130 m³/s (Q1)23
	Mittlere jährliche Geschiebefrachten in der Periode 1982- kunft (Extrapolation) bei gleich bleibender Geschiebezufuhr 27
-	Wassertemperaturen (Tagesmittelwerte) an den drei Jahr 201431
in (Gostner, W (1) durch Jahrh naturbelassen naturbelassen	Aufnahmen von verschiedenen Untersuchungsabschnitten ., Schleiss, A., 2011) mit HMID-Werten (blau): Bünz (oben): nunderthochwasser 1999 geformtes pendelndes System, (2) pendelnd, (3) kanalisiert, (4) revitalisiert. Venoge (Mitte): (1) geradlinig, (2) kanalisiert, (3) kanalisiert, (4) naturbelassen Sense (unten): (1) naturbelassen verzweigt. (2)

naturbelassen in einer Schlucht pendelnd, (3) naturbelassen verzweigt, geringfügig verbaut, (4) rechtsufrig verbaut, linksufrig naturbelassen, (5) kanalisiert.
Abbildung 14 Untersuchungsstrecke Emmenschachen: Vermessungen (blaue Punkte = Querprofile, rote Punkte = lokale Strukturen)
Abbildung 15 Fotos der Untersuchungsstrecke Emmenschachen Links: gegen die Fliessrichtung, Rechts: in Fliessrichtung
Abbildung 16 Untersuchungsstrecke Emmenschachen: Sohlhöhen (m.ü.M.)
Abbildung 17 Untersuchungsstrecke Emmenschachen: Fliesstiefe (m) bei einem Abfluss von 6.2 m³/s
Abbildung 18 Untersuchungsstrecke Emmenschachen: Fliessgeschwindigkeit (m/s) bei einem Abfluss von 6.2 m³/s
Abbildung 19 Untersuchungsstrecke Schwarzweg: Vermessungen (blaue Punkte = Querprofile, rote Punkte = lokale Strukturen)
Abbildung 20 Fotos der Untersuchungsstrecke Schwarzweg Links: Blick in Fliessrichtung auf die Schwelle, Rechts: im Hintergrund die Schwelle, Blick gegen die Fliessrichtung
Abbildung 21 Untersuchungsstrecke Schwarzweg: Sohlhöhen (m.ü.M.) 39
Abbildung 22 Untersuchungsstrecke Schwarzweg: Fliesstiefe (m) bei einem Abfluss von 6.2 m³/s
Abbildung 23 Untersuchungsstrecke Schwarzweg: Fliessgeschwindigkeit (m/s) bei einem Abfluss von 6.2 m³/s
Abbildung 24 Untersuchungsstrecke Papierfabrik: Vermessung (blaue Punkte = Querprofile, rote Punkte = lokale Strukturen) Die Rampe wurde nicht vermessen
Abbildung 25 Fotos der Untersuchungsstrecke Papierfabrik Links: oberhalb der Rampe, Blick gegen die Fliessrichtung Rechts: unterhalb der Rampe, Blick in Fliessrichtung
Abbildung 26 Untersuchungsstrecke Papierfabrik: Sohlhöhe (m.ü.M.) 42
Abbildung 27 Untersuchungsstrecke Papierfabrik: Fliesstiefe (m) bei einem Abfluss von 6.2 m³/s
Abbildung 28 Untersuchungsstrecke Papierfabrik: Fliessgeschwindigkeit (m/s) bei einem Abfluss von 6.2 m³/s
Abbildung 29 Den Mesohabitaten zugewiesene Schwellenwerte (verändert nach (Wyrick, J. R., Senter, A. E., Pasternack, G. B., 2014)) 47

Emmenschachen am 4.12.2014 (Abfluss 1.8 m³/s) und am 6.3.2015 (Abfluss 8.7 m³/s). Orthofoto vom Frühling 201150
Abbildung 31 Häufigkeit der Sohlenstrukturen in der Untersuchungsstrecke Emmenschachen und Zuordnung der standardisierten Werte (0 = naturfern, 1 = naturnah, Details vgl. Tabelle 13)
Abbildung 32 Verteilung der Mesohabitate in der Untersuchungsstrecke Schwarzweg am 4.12.2014 (Abfluss 1.8 m³/s) und am 6.3.2015 (Abfluss 8.5 m³/s). Orthofoto vom Frühling 2011
Abbildung 33 Häufigkeit der Sohlenstrukturen in der Untersuchungsstrecke Schwarzweg und Zuordnung der standardisierten Werte (0 = naturfern, 1 = naturnah, Details vgl. Tabelle 13)54
Abbildung 34 Verteilung der Mesohabitate in der Untersuchungsstrecke Papierfabrik am 19.6.2014 (Abfluss 1.8 m³/s) und am 6.3.2015 (Abfluss 6.9 m³/s). Orthofoto vom Frühling 2011
Abbildung 35 Häufigkeit der Sohlenstrukturen in der Untersuchungsstrecke Papierfabrik und Zuordnung der standardisierten Werte (0 = naturfern, 1 = naturnah, Details vgl. Tabelle 13)
Abbildung 36 Verteilung der Uferstrukturtypen in der Untersuchungsstrecke Emmenschachen Lage der Uferlinie am 25.11.2014 bei minimalem (innere Linien) und am 6.3.2015 bei mittlerem Restwasserabfluss (äussere Linien)
Abbildung 37 Verteilung der Uferstrukturtypen in der Untersuchungsstrecke Schwarzweg Lage der Uferlinie am 25.11.2014 bei minimalem (innere Linien) und am 6.3.2015 bei mittlerem Restwasserabfluss (äussere Linien)
Abbildung 38 Verteilung der Uferstrukturtypen in der Untersuchungsstrecke Papierfabrik Lage der Uferlinie am 19.6.2014 bei minimalem (innere Linien) und am 6.3.2015 bei mittlerem Restwasserabfluss (äussere Linien)
Abbildung 39 Eignung des Substrates, der Fliessgeschwindigkeit, der Wassertiefe sowie die Gesamteignung in der Untersuchungsstrecke Emmenschachen für die Bachforelle
Abbildung 40 Eignung des Substrates, der Fliessgeschwindigkeit, der Wassertiefe sowie die Gesamteignung in der Untersuchungsstrecke Emmenschachen für die Äsche

Abbildung 41 Eignung des Substrates, der Fliessgeschwindigkeit, der
Wassertiefe sowie die Gesamteignung in der Untersuchungsstrecke
Schwarzweg für die Bachforelle77
Abbildung 42 Eignung des Substrates, der Fliessgeschwindigkeit, der Wassertiefe sowie die Gesamteignung in der Untersuchungsstrecke Schwarzweg für die Äsche78
Abbildung 43 Eignung des Substrates, der Fliessgeschwindigkeit, der
Wassertiefe sowie die Gesamteignung in der Untersuchungsstrecke
Papierfabrik für die Bachforelle. Die Lücke entspricht dem Bereich der
Blockrampe. Sie konnte nicht ausreichend genau modelliert werden 79
Abbildung 44 Eignung des Substrates, der Fliessgeschwindigkeit, der Wassertiefe sowie die Gesamteignung in der Untersuchungsstrecke Papierfabrik für die Äsche. Die Lücke entspricht dem Bereich der Blockrampe. Sie konnte nicht ausreichend genau modelliert werden 80
Abbildung 45 Abflussabhängige Veränderung der als potenzielles
Laichhabitat für die Bachforelle und die Äsche unterschiedlich geeigneten Flächen der drei Untersuchungsstrecken. Dargestellt ist die Gesamteignung
als Prozentsatz der gesamten modellierten Fläche (entspricht weitgehend
der gesamten Gerinnesohlenfläche, inkl. der trockenen Kiesbänke;
Emmenschachen: 11 078 m²; Papierfabrik: 8 046 m²; Schwarzweg: 8 815
m ²)
Abbildung 46 Die terrestrischen Habitattypen (Auenformationen) für die Untersuchungsstrecke Emmenschachen
Abbildung 47 Auenformationen in der Untersuchungsstrecke Emmenschachen; Anteil der Haupttypen an der Gesamtfläche
Abbildung 48 Die terrestrischen Habitattypen (Auenformationen) für die
Untersuchungsstrecke Schwarzweg
Abbildung 49 Auenformationen in der Untersuchungsstrecke
Schwarzweg; Anteil der Haupttypen an der Gesamtfläche91
Abbildung 50 Subtypen der terrestrischen Habitate für die Untersuchungsstrecke Emmenschachen
Abbildung 51 Deckungsgrad der unterschiedlichen terrestrischen
Habitate für die Untersuchungsstrecke Emmenschachen98
Abbildung 52 Vegetationshöhe der unterschiedlichen terrestrischen
Habitate für die Untersuchungsstrecke Emmenschachen
Abbildung 53 Subtypen der terrestrischen Habitate für die
Untersuchungsstrecke Schwarzweg101

· ·	Deckungsgrad der unterschiedlichen terrestrischen Untersuchungsstrecke Schwarzweg 102
_	Vegetationshöhe der unterschiedlichen terrestrischen Untersuchungsstrecke Schwarzweg
Abbildung 56 (EZ)	Fotostandorte in der Untersuchungsstrecke Emmenspitz
· ·	Fotostandorte in der Untersuchungsstrecke en (EC)
Abbildung 58	Zusätzliche Fotostandorte bei der Autobahnbrücke (AB) 108
Abbildung 59 (SW)	Fotostandorte in der Untersuchungsstrecke Schwarzweg
Abbildung 60 (PD)	Zusätzlicher Fotostandort beim Pockenhaus Derendingen
Abbildung 61 (PF)	Fotostandorte in der Untersuchungsstrecke Papierfabrik
Abbildung 62	Zusätzlicher Fotostandort bei der Bahnbrücke (BB) 110
-	Abundanz Amphibien, Adulttiere (Ad), Larven (Lv) und Laich ach Anhang E119
•	Gesamtbewertung für die Untersuchungsstrecken en, Schwarzweg und Papierfabrik121

Literaturverzeichnis

[1]	Arend, K. K. (1999). Macrohabitat identification. In: Bain, M. B., Stevenson, N. J. Aquatic Habitat Assessment – Common Methods. <i>American</i> Fisheries Society.
[2]	Baumann, P, Kirchhofer A, Schälchli U. (2012). Sanierung Schwall/Sunk – Strategische Planung. Ein Modul der Vollzugshilfe Renaturierung der Gewässer. BAFU, Umwelt-Vollzug 1203.
[3]	Binderheim, E., Göggel, W. (2007). <i>Methoden zur Untersuchung und Beurteilung der Fliessgewässer:</i> Äusserer Aspekt. BAFU Umwelt-Vollzug 0701.
[4]	Brown, S. K., Buja, K. R., Jury, S. H., Monaco, M. E., Banner, A. (2000). Habitat suitability index models for eight fish and invertebrate species in Casco and Sheepscot Bays, Maine. <i>North American Journal of Fisheries</i> Management 20; 408-435.
[5]	Delarze, R., & Gonseth, Y. (2008). <i>Lebensräume der Schweiz</i> . Ott Verlag.
[6]	Dübendorfer, C., Moser, D., Kempter, T., Egloff, L., Müller, V., Wanner, P., Kirchhofer, A., Baumann, P. (2011). Expertenbericht zu einem Modul Temperatur im Rahmen des Modul-Stufen-Konzepts. BAFU.
[7]	Frey, M., Schmid, M., Wüest, A. (2003). <i>Einfluss von Aufweitungen auf das Temperaturregime der Thur.</i> EAWAG.
[8]	Geist, D. R., Murray, C. J., Hanrahan, T. P., Xie, Y. (2008). A model of the effects of flow fluctuations on fall Chinook salmon spawning habitat availability in the Columbia River. <i>North American Journal of Fisheries Management</i> , 28(6), S. 1894-1910.
[9]	Gostner, W., Schleiss, A. (2011). Der hydromorphologische Index der Diversität. <i>Wasser Energie Luft 103.</i>
[10]	Guthruf J. (2002). Emme unterhalb Biberist – Untersuchung der Restwasserproblematik. Fischereibiologisches Gutachten. Amt für Umwelt des Kantons Solothurn.
[11]	Hunziker, R., Dönni, W., Kaufmann, G. (2012). Leitbild Emme. Von der Kantonsgrenze Bern- Solothurn bis zur Mündung in die Aare. Amt für Umwelt des Kantons Solothurn.

[12]	Infraconsult, Impuls und Fischwerk. (2014). Konzept Erfolgskontrolle. Hochwasserschutz und Revitalisierung Emme, Wehr Biberist bis Aare. Amt für Umwelt des Kantons Solothurn.	
[13]	Infraconsult, Hunziker, Zarn & Partner und Fischwerk. (2015). Fachgutachten Gewässerraum. Hochwasserschutz und Revitalisierung Emme, Wehr Biberist bis Aare. Amt für Umwelt des Kantons Solothurn.	
[14]	Jorde, K., Schneider, M. (2010). Kapitel 5 - Habitatsimulationsmodelle und Funktionsweisen. In Bauhaus-Universität Weimar (Hrsg.), Durchgängigkeit und Habitatmodellierung von Fliessgewässern. Wiederherstellen der Durchgängigkeit, Funktionskontrolle von Wanderhilfen, Habitate und ihre Beschreibung, Weiterbildendes Studium "Wasser und Umwelt" (1. Ausg., S. 159-168). Verlag der Bauhaus-Universität Weimar.	
[15]	MeteoSchweiz. (2015). «2014 – Tag für Tag. Temperatur Niederschlag Sonnenscheindauer». Bundesamt für Meteorologie und Klimatologie MeteoSchweiz.	
[16]	Requena, P., von Pfuhlstein, M. (2011). Erfolgskontrolle der morphologischen Entwicklungen bei Flussaufweitungen – Erfahrungen aus der Praxis. «Wasser Energie Luft» (103. Jg. 2011, Heft 2), S. 128-132.	
[17]	Riedl, C., Peter, A. (Juli 2013). Timing of brown trout spawning in Alpine rivers with special consideration of egg burial depth. <i>Ecology of Freshwater Fish</i> (22), S. 384-397.	
[18]	Schneider, J., & Korte, E. (2005). Strukturelle Verbesserungen von Fliessgewässern für Fische, Gemeinnützige Fortbildungsgesellschaft für Wasserwirtschaft und Landschaftsentwicklung mbH. (GfG, Hrsg.) Mainz.	
[19]	Stucki P. (2010). Methoden zur Untersuchung und Beurteilung der Fliessgewässer: Makrozoobenthos Stufe F (flächendeckend). BAFU Umwelt-Vollzug 1026.	
[20]	Thielen, R., Perrottet, N., Cosandey, A. C., Roulier, C. (2002). Cartographie des zones alluviales. Clés de photo-interprétation. Services conseil Zones alluviales. Yverdon-les-Bains.	

[21]	Thielen, R., Roulier, C. (2003) Cartographie des zones alluviales. Directives de terrain. Services conseil Zones alluviales. Yverdon-les-Bains
[22]	Toepfer, C. S., Fisher, W. L., Warde W. D. (2000). A multistage approach to estimate fish abundance in streams using geographic information systems. <i>North American Journal of Fisheries Managment</i> (20), S. 634-645.
[23]	Versuchsanstalt für Wasserbau, Hydrologie und Glaziologie ETH Zürich (VAW) und das Geographische Institut der Universität Bern (GIUB). (1987). Emme 2050. Studie über die Entwicklung des Klimas, der Bodenbedeckung, der Besiedlung, der Wasserwirtschaft und des Geschiebeaufkommens im Emmental, sowie über die Sohlenentwicklung und den Geschiebehaushalt in der Emme und mögliche zukünftige Verbauungskonzepte. Baudirektion des Kantons Bern (Tiefbauamt, OIK IV) und des Baudepartements des Kantons Solothurn (Amt für Wasserwirtschaft), 4 Bände (unveröffentl.).
[24]	Woolsey, S.; Weber, Ch.; Gonser, T.; Hoehn, E.; Hostmann, M.; Junker, B.; Roulier, Ch.; Schweizer, St.; Tiegs, S.; Tockner, K.; Peter, A. (2005). Handbuch für die Erfolgskontrolle bei Fliessgewässerrevitalisierungen. EAWAG.
[25]	Wyrick, J. R., Senter, A. E., Pasternack, G. B. (2014). Revealing the natural complexity of fluvial morphology through 2D hydrodynamic delineation of river landforms. <i>Geomorphology</i> (210), S. 14-22.

Hochwasserschutz und Revitalisierung	Emme Solothurn, Wehr Bik	perist bis Aare
Ausgangserhebung Erfolgskontrolle		Anhang A

Anhang A

Bestimmungstabelle Mesohabitate

Bestimmungstabelle Mesohabitate

Schnell fliessende Mesohabitate

Turbulent: weisses (schäumendes) Wasser

Furt (riffle)			
Turbulenz	mittel; kein/wenig Weisswasser, hoch bei verengtem Querschnitt; Wellen, die die Wasseroberfläche nicht brechen	· S.	
Mittl. Flgeschw.	mittel; 0.2-0.5 m/s		
Tiefe	<0.5 m	.20,0	
Korngrösse	0.2-25 cm; grössere Steine submers oder teilweise emers	111111	36
Gefälle	1-4%		
Beschrieb	gerades oder konvexes Längenprofil		
Schnelle (rapid)			
Turbulenz	beträchtlich; Weisswasser; Wellen brechen Wasserober- fläche		S Harry
Mittl. Flgschw.	hoch; >0.5 m/s		
Tiefe	<0.5 m		The state of the s
Korngrösse	>6 cm; grössere Steine emers	3	
Gefälle	4-7%		
Beschrieb	oft Stufen und kleine Kolke hinter grösseren Steinen; planares Längenprofil		
Kaskade (cascad	e)		
Turbulenz	hoch; v. a. Weisswasser		*
Mittl. Flgschw.	hoch; >0.5 m/s		
Korngrösse	>25 cm oder anstehender Fels		
Gefälle	>7%	1	
Beschrieb	Serie kleinerer Abstürze/Stu- fen und Kolke; gestuftes Län- genprofil		
Stufe (fall)			
Turbulenz	hoch; Weisswasser	Schussrinne (ch	
Mittl. Flgschw.	freifallend über vertikale Kante	Turbulenz Mittl. Flgschw.	turbulent hoch
Korngrösse	-	Korngrösse	anstehende Fels, wenig oder
Gefälle	≤100%		nicht emers
Beschrieb	Wasserfall	Gefälle	2-30%
		Beschrieb	enge Felsenrinnen

1

Gleite (glide)			
Turbulenz	keine		
Mittl. Flgschw.	<0.5 m/s; gleichförmig		
Tiefe	relativ seicht (0.1-0.3 m bzw. ≤ 0.05*mittlere Breite)		
Korngrösse	<6 cm; grössere Steine submers oder teilweise emers		
Gefälle	<1%		
Beschrieb	breites Gewässerbett ohne Tal- weg; gewöhnlich den Übergang zwischen Kolk und Riffle bil- dend; keine grösseren Fliesshin- dernisse		
Lauf (run)		schneller Lauf (fast run)	
Turbulenz	gering	gering-mittel	
Mittl. Flgschw.	realtiv hoch	hoch	
Tiefe	tiefer als Furt und Gleite (>0.5 m)		
Korngrösse	variabel; >1.5 cm	variabel Beschrieb v. a. bei höheren Abflüssen, nimmt einen Gross-	
Gefälle	>4 %	variabel teil der Gerinnebreite ein	
Beschrieb	kommt über eindeutigem Tal- weg vor; uniformes Gewässer- bett; keine grösseren Fliesshin- dernisse		
Felsgleite (bedre	ock sheet)		
Turbulenz	keine	The state of the s	
Mittl. Flgschw.	gleichförmig		
Tiefe	seicht		
Korngrösse	glatter, anstehender Fels		
Gefälle	variabel		
Flachwasser (ed	gewater)	AMILIA	
Turbulenz	keine		
Mittl. Flgschw.	gering bis stehend		
Tiefe	<0.2 m		
Korngrösse	>6 cm	PARTITION OF THE PARTIT	
Gefälle	gering		
Beschrieb	gewöhnlich in Begleitung von Furten; entlang des Ufers oder einer Kiesbank	3	

FISCHWERK · WERNER DÖNNI

Langsam fliessende Mesohabitate

Erosionskolke (Tiefe >0.50 m bei Gerinnesohlenbreite ≤5 m, >1.00 m bei Gerinnesohlenbreite >5 m)

Zentralkolk ((mid-channel pool)	
Lage	Hauptströmung	
Auslöser	Verengung des Gewässerquer- schnitts	2000
Korngrösse	sehr variabel	
Längsschnitt	tiefster Punkt in der Mitte oder oben	
Querschnitt	tiefster Punkt in der Mitte	
Beschrieb	der Kolk nimmt >60% der Wasserspiegelbreite ein	
Lateralkolk (lateral pool)	
Lage	ufernah	
Auslöser	teilweise Blockierung des Ge- wässerbetts (Steine, Fels, Baum- stamm, Wurzelstock) engt den Querschnitt von einer Seite her ein	
Korngrösse	variabel	
Längsschnitt	tiefster Punkt in der Mitte oder oben	
Querschnitt	tiefster Punkt entlang des Hindernisses	
Beschrieb	der Kolk nimmt i. a. <60% der Wasserspiegelbreite ein	
Hinterwasser	r (backwater eddy)	
Lage	ufernah	\wedge - \wedge
Auslöser	Erosionswirbel unterhalb eines Hindernisses (Steine, Baum- stamm, Wurzelstock) am Gewäs- serrand	
Korngrösse	<25 cm, Sand	The same of the sa
Längsschnitt	tiefster Punkt in der Mitte oder oben	201
Querschnitt	tiefster Punkt in der Mitte	
Beschrieb	tief, bei Niederwasser nicht durchströmt	///////////////////////////////////////

3

Rinne (trench	n pool)
Lage	Hauptströmung
Auslöser	starke Verengung des Querschnitts in begrad. Abschnitt
Korngrösse	sehr grobkörnig, Wände oft anstehender Fels
Längsschnitt	uniform, lang und eng
Querschnitt	uniform, U-förmig
Beschrieb	rasch und gleichförmig fliessend, tief
Mündungsko	olk (confluence pool)
Lage	Hauptströmung
Auslöser	Zusammentreffen zweier o. mehrerer Gewässerrinnen
Längsschnitt	tiefster Punkt in der Mitte
Querschnitt	tiefster Punkt in der Mitte
Beschrieb	höhere Strömung/Turbulenz als die meisten and. Pooltypen
Stufenkolk/B	Becken (plunge pool)
Lage	Hauptströmung
Auslöser	vertikaler Fall des Wassers über ein die ± ganze Breite umfassendes Hindernis
Korngrösse	sehr verschieden
Längsschnitt	tiefster Punkt in der Mitte
Querschnitt	tiefster Punkt in der Mitte
Beschrieb	oft gross und tief, >1 m
Tümpel	
Lage	meist ufernah, isoliert vom Hauptstrom
Korngrösse	sehr verschieden
Beschrieb	kolk- oder flachwasserartig

Staukolke (entstanden durch Aufstau)

Staukolke (entstanden durch Aufstau)				
Staukolk (da	mmed pool)	74.30		
Lage	Hauptströmung			
Auslöser	Aufstauung unterhalb eines ±die ganze Breite umfass. Hind. (Baumst., Erdrutsch, Wehr)			
Korngrösse	<1 cm, Sand			
Längsschnitt	tiefster Punkt oben			
Querschnitt	tiefster Punkt variabel			
Beschrieb	temporär	~		
Nebengerinn	ekolk (secondary channel pool)			
Lage	ufernah	00/14/1		
Auslöser	Geschiebeablagerung	\\\\\\\\\\\\\\\\\\\\\\\\\\\\\\\\\\\\\\		
Korngrösse	<1.5 cm, Sand, Silt			
Längsschnitt	tiefster Punkt unten			
Querschnitt	tiefster Punkt in der Mitte			
Beschrieb	ausserh. des Hauptgerinnes, evtl. isoliert u. austrocknend	/ (30		

4

Hochwasserschutz und Revitalisierung Emme Solothurn, Wehr Biberist bis Aare Ausgangserhebung Erfolgskontrolle Anhang A

Anhang B

Erfolgskontrolle Emme, Daten Ist-Zustand Biberist Auszug Befischungen Fischwerk 2011 Amt für Umwelt Kanton Solothurn



Untersuchungsstrecke bei Biberist

Hochwasserschutz- und Revitalisierungsprojekt Emme Erfolgskontrolle: Daten Ist-Zustand Biberist

Indikatoren Uferstruktur, Sohlenstruktur, Breitenvariabilität, Fischunterstände, Fischbestand, Äusserer Aspekt, Makrozoobenthos

21. Oktober 2011

FISCHWERK

Auszug Befischungen

WERNER DÖNNI

FISCHBIOLOGIE • GEWÄSSERÖKOLOGIE • GEOINFORMATIK

HIMMELRICHSTRASSE 8, 6010 KRIENS

T 041 310 10 43

WERNER.DOENNI@FISCHWERK.CH

WWW.FISCHWERK.CH

Impressum

Auftraggeber Amt für Umwelt Kanton Solothurn

Greibenhof, Werkhofstrasse 5

4509 Solothurn

Kontaktperson

Roger Dürrenmatt

T 032 627 27 67

roger.duerrenmatt@bd.so.ch

Auftragnehmer Fischwerk

Himmelrichstrasse 8

6010 Kriens
Kontaktperson
Werner Dönni
T 041 310 10 43

werner.doenni@fischwerk.ch

Auftragserteilung 13. September 2010

Mitarbeit Aquatica GmbH

Joachim Guthruf Hängertstrasse 13 G 3114 Wichtrach

5 Fische: Quantitative Bestandeserhebung

5.1 Methodik

Der Untersuchungsperimeter umfasste 2 Strecken. Die Strecke «Derendingen lag oberhalb der Emmebrücke bei Derendingen und die Strecke Luterbach oberhalb der Autobahnbrücke zwischen Derendingen und Luterbach (Anhang). Die Strecke «Derendingen» war die selben wie bei der Bestandeserhebung von 1999/2000 (Guthruf 2002). Die Strecke Luterbach wurde damals nicht befischt.

Das Vorgehen bei der quantitativen Befischung war weitgehend gleich wie 1999/2000 (Guthruf 2002, Tab. 5). Die Bestandeserhebungen wurden von der Firma Aquatica (J. Guthruf) organisiert und durchgeführt. Zudem stellte sie die Resultate zusammen.

Tab. 5 Kennwerte zu den Befischungen.

Abfluss: Strecken Derendingen und Luterbach Berechnung über gemessene Fliessgeschwindigkeiten.

Parameter	Untersuchungsstrecken		
	Derendingen	Luterbach	
Datum	23.10.2010	27.11.2010	
Methode	quantitative	quantitative	
	ganze Fläche	ganze Fläche	
	2 Durchgänge	2 Durchgänge	
	2 Anoden	2 Anoden	
	Absperrenetz oben	Absperrenetz oben	
Streckenlänge [m]	200	200	
Mittlere Streckenbreite [m]	18.3	21.3	
Benetzte Fläche [ha]	0.36	0.43	
Wetter	regnerisch	Schneefall	
Abfluss [m³/s]	1.0	1.0	
Wassertemperatur [°C]	keine Messung	keine Messung	
Spezifische Leitfähigkeit [µS/cm]	keine Messung	keine Messung	

5.2 Ergebnisse

Im Wesentlichen werden die Ergebnisse der Befischungen von 1999/2000 bestätigt (Guthruf 2002):

- Relativ geringe Artenzahl (Tab. 6).
- Geringer Anteil an Salmoniden (Bachforelle) an der Gesamtdichte (Tab. 7).
- Grosse Biomasse in der Strecke Derendingen.
- Es wurden insgesamt mehr Jungfische als Adulte gefangen (Abb. 3). Das ist zwar typisch für einen natürlichen Bestandesaufbau. Die sehr geringe Anzahl an adulten Bachforellen kann aber auch auf einen Mangel an Kolken, Hinterwasser usw. zurückzuführen sein, die die bevorzugten Habitate der adulten Bachforellen sind.

FISCHWERK · WERNER DÖNNI

Tab. 6 Artenzusammensetzung 1999/2000 und 2010 in den beiden Untersuchungsstrecken der Emme.

Art	Derending	en	Luterbach		
	1999/2000	2010	2010		
Alet	•	•			
Bachforelle	•	•	•		
Barbe		•	•		
Elritze	•	•	•		
Groppe	•	•	•		
Regenbogenforelle	•	•			
Schmerle	•	•	•		
Dreistachliger Stichling	•				
Artenzahl	7	7	5		

Tab. 7 Dichte und Biomasse der einzelnen Fischarten in den beiden Untersuchungsstrecken der Emme im Herbst 2010. Die Werte beziehen sich jeweils auf 200 m Flusslänge.

Art	Deren	dinger	1		Luterbach					
	Dichte		Biomass	e	Dichte		Biomass	e		
pro 200 m	[Ind.]	[%]	[g]	[%]	[Ind.]	[%]	[g]	[%]		
Alet	19	2	9'957	49	0	0	0	0		
Bachforelle	46	4	5'223	26	7	- 1	64	2		
Barbe	5	0	144	- 1	ı	0	ı	0		
Elritze	503	41	1'704	8	355	41	849	32		
Groppe	240	20	1'226	6	88	10	345	13		
Regenbogenforelle	- 1	0	422	2	0	0	0	0		
Schmerle	402	33	1'603	8	407	47	1'416	53		
Summe	1'216	100	20'279	100	858	100	2'675	100		

Strukturierte Abschnitte wie bei Derendingen sind in der Restwasserstrecke selten. Es dominieren monotone Strecken wie diejenige bei Luterbach. Sie zeichnet sich durch eine geringe Artenzahl, eine geringe Fischdichte und eine sehr kleine Biomasse aus. Die mittlere Dichte bzw. Biomasse der gesamten Restwasserstrecke läge somit zwischen den Ergebnissen von Derendingen und Luterbach, aber wohl deutlich näher bei denjenigen von Luterbach.

8 Zitierte Literatur

Guthruf, J. (2002) Emme-Restwasserstudie, Fachbereich Fischökologie. Amt für Umwelt des Kantons Solothurn, 67 S.

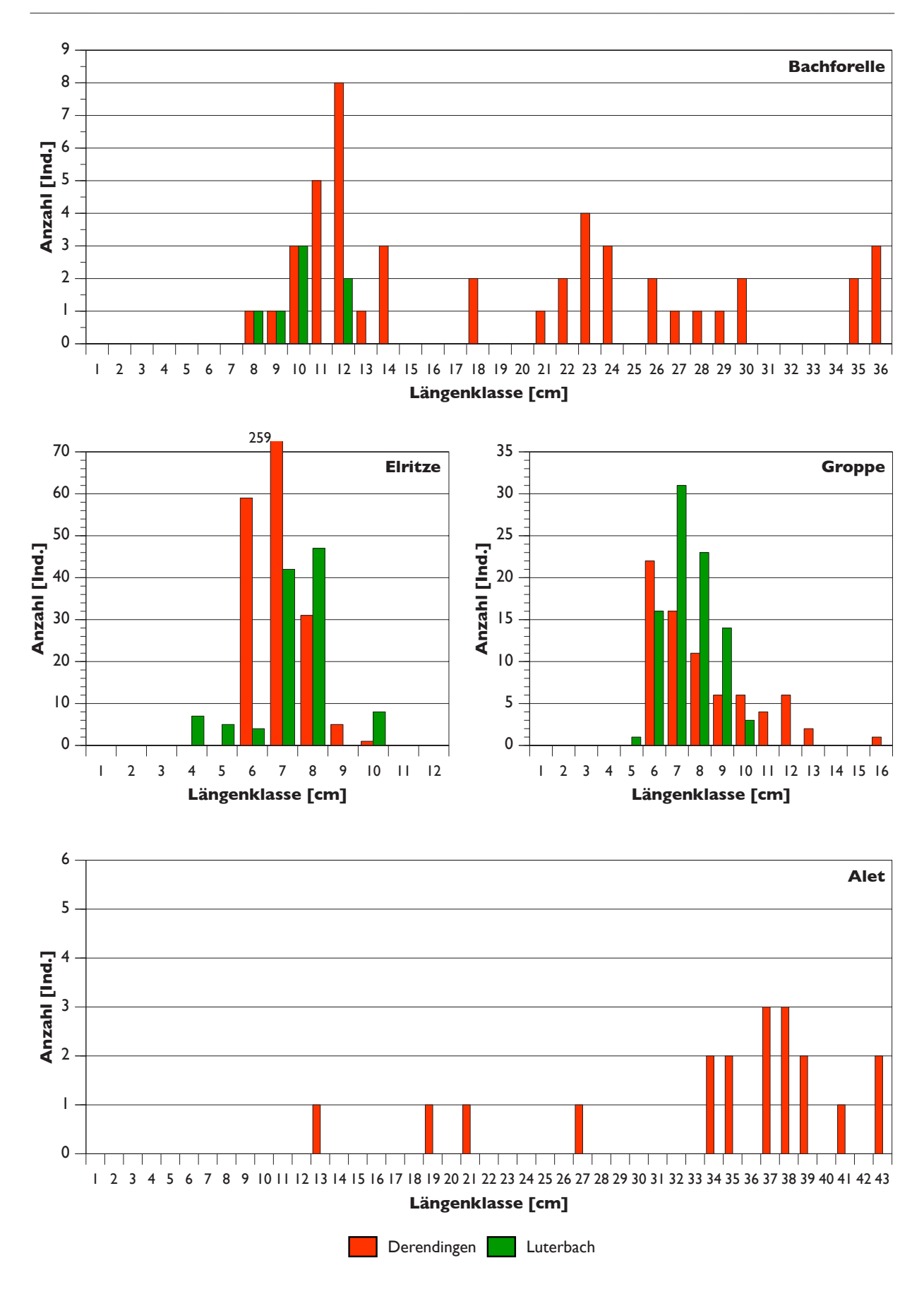


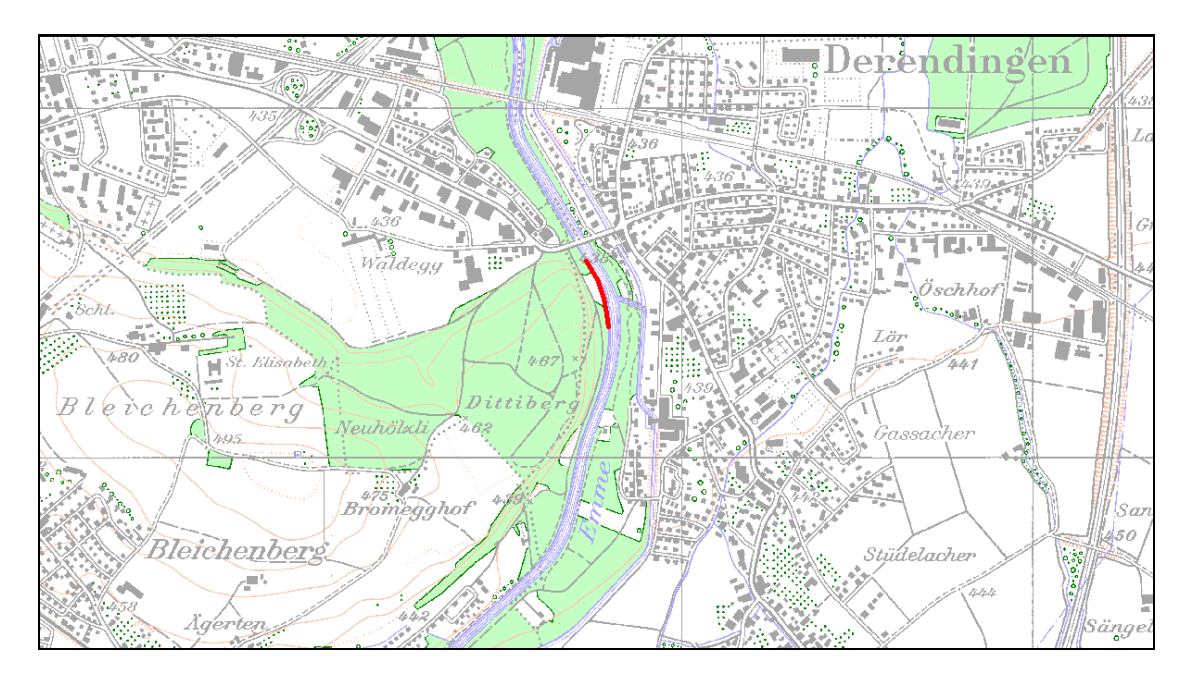
Abb. 3 Längen-Häufigkeitsverteilung häufiger Fischarten in den beiden Untersuchungsstrecken der Emme im Herbst 2010. In der x-Achse ist die obere Klassengrenze der Totallänge angegeben.

Befischungsstrecken Anhang

Strecke Derendingen Abfischungsart: quantitativ, 2 Durchgänge, 2 Anoden, 1 Absperrnetz oben

200 m Länge:

oberes Ende: 610'811 / 227'374 unteres Ende: 610'735 / 227'567

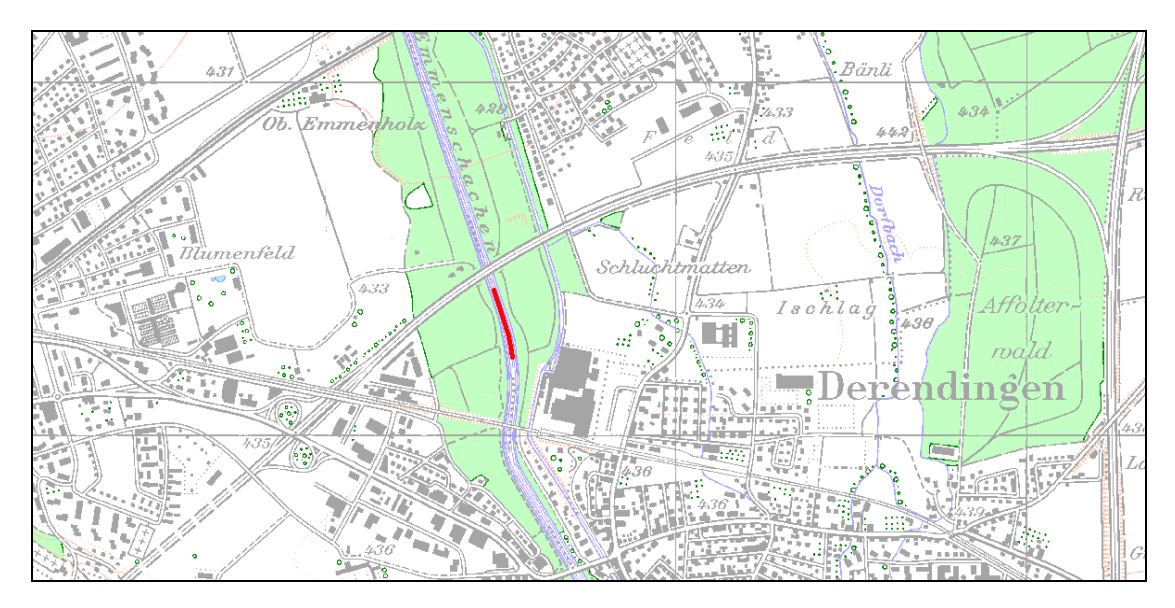


Strecke Luterbach

Abfischungsart: quantitativ, 2 Durchgänge, 2 Anoden, 1 Absperrnetz oben

Länge: 200 m

oberes Ende: 610'533 / 228'220 unteres Ende: 610'480 / 228'413



Anhang Rohdaten der Befischungen

Derendingen – 1. Durchgang

Bachforelle	Nr.	Art	TL [mm]	Gewicht [g]	Bemerkungen	Nr.	Art	TL [mm]	Gewicht [g]	Bemerkungen
2 Bachforelle 293 251 70 Groope 67 3 3 Alet 429 944 71 Ehrizze 65 2 4 Elitize 72 3 72 Schmerle 90 4 4 5 Elitize 72 3 72 Schmerle 86 4 72 5 Elitize 72 3 73 Schmerle 86 4 74 Schmerle 86 4 75 Schmerle 86 7 7 7 7 7 8 Schmerle 86 7 7 7 7 8 Schmerle 86 7 7 7 7 8 Schmerle 86 7 8 7 7 8 Schmerle 87 8 7 8 8 Schmerle 87 8 8 Schmerle 87 8 9 Schmerle 87 9 Schmerle 88 9 Schmerle 88 9 Schmerle 88 9 Schmerle 89 9 Schmerle	I	Bachforelle	255			69	Groppe	57	I	
4 Elitize 72 3 3 72 Schmerle 90 4 4 5 Elitize 72 3 73 Schmerle 86 4 6 Elitize 72 3 74 Schmerle 86 4 8 5 Elitize 72 74 Schmerle 87 3 75 Schmerle 87 7 4 7 Schmerle 87 7 Schmerle 88 Schlorelle 88 Elitize 96 7 Schmerle 88 Schlorelle 88 Elitize 96 7 Schmerle 88 Schlorelle 88 Schlorelle 89 Elitize 96 7 Schmerle 88 Schlorelle 89 Schlorelle 89 Elitize 96 8 Schlorelle 89 Schmerle 80 Schmerle 80 Schmerle 89 Schmerle 80 Schmerle 85 Schmerle 85 Schmerle 85	2	Bachforelle	293	251		70	Groppe	67	3	
5 Elitrize 69 2 74 Schmerle 86 4 7 Alet 263 217 78 Schmerle 87 3 7 Alet 263 217 75 Schmerle 87 3 9 Elitize 72 3 70 Groppe 90 7 9 Elitize 75 3 78 Schmerle 80 3 11 Elitize 68 2 77 Schmerle 87 4 12 Elitize 70 2 20 81 Elitize 70 2 13 Elitize 66 2 evtl.tot 81 Bachforelle 351 385 44 15 Elitize 73 4 482 Bachforelle 351 385 341 64	3	Alet	429	944		71	Elritze	65	2	
6 Elitize	4	Elritze	72	3		72	Schmerle	90	4	
7 Alet 263 217	5	Elritze	72	3		73	Schmerle	86	4	
8 Bachforelle 213 91 76 Groppe 90 7 9 Elritze 72 3 3 77 Groppe 116 16 16 16 11 11 11	6	Elritze	69	2		74	Schmerle	87	3	
9 Elritze	7	Alet	263	217		75	Schmerle	78	3	
10 Elritze	8	Bachforelle	213	91		76	Groppe	90	7	
11 Birtize	9	Elritze	72	3		77	Groppe	116	16	
12 Birtize	10	Elritze	75			78	Schmerle	80	3	
13 Birtize 66 2 evtl. tot 81 Bachforelle 351 385 14 Birtize 75 4 82 Bachforelle 323 106 15 Birtize 73 4 83 Bachforelle 223 106 16 Birtize 70 3 85 Bachforelle 238 249 17 Birtize 70 3 85 Bachforelle 358 531 18 Birtize 72 3 86 Alet 126 20 19 Birtize 95 6 88 Birtize 96 7 21 Birtize 69 2 89 Birtize 96 7 22 Birtize 75 4 90 Schmerle 86 4 23 Bachforelle 111 14 91 Birtize 92 8 24 Birtize 71 3 92 Groppe 119 21 25 Birtize 74 4 93 Birtize 71 3 26 Birtize 77 3 94 Birtize 71 3 27 Birtize 77 3 94 Birtize 71 3 28 Bachforelle 38 86 Alet 126 Alet 29 Birtize 71 3 95 Birtize 71 3 21 Birtize 71 3 95 Birtize 71 3 27 Birtize 71 3 95 Birtize 71 3 28 Bachforelle 38 86 Alet 39 Birtize 71 3 29 Birtize 69 3 95 Birtize 71 3 20 Birtize 71 3 97 Birtize 71 3 21 Birtize 71 3 97 Birtize 71 3 21 Birtize 71 3 97 Birtize 71 3 21 Birtize 71 4 99 Birtize 71 3 21 Birtize 71 2 10 Birtize 71 3 21 Birtize 71 2 10 Birtize 71 3 21 Birtize 73 3 4 10 Birtize 71 3 22 Birtize 73 4 10 Birtize 75 3 23 Birtize 75 3 10 Birtize 77 3 24 Groppe 57 1 10 Birtize 77 3 25 Birtize 75 3 10 Birtize 77 3 26 Birtize 77 2 10 Birtize 77 3 27 Birtize 77 2 10 Birtize 77 3 28 Birtize 77 2 10 Birtize 77 3 29 Birtize 70 10 Birtize 77 3 20 Birtize 70 10 Birtize 70 10 21 Birtize 70 10 Birtize 70 10 22 Birtize 71 2 10 Birtize 70 10 23 Birtize 71 2 10 Birtize 70 10 24 Schmerle 80 3 11 Bi	- 11	Elritze	68	2		79	Schmerle	87	4	
14 Britze 55 4 82 Bachforelle 350 440 15 Britze 68 3 83 Bachforelle 223 106 16 Britze 70 3 84 Bachforelle 229 249 17 Britze 70 3 85 Bachforelle 229 249 18 Britze 70 2 85 Bachforelle 116 20 19 Britze 70 2 87 Bachforelle 117 16 10 Britze 95 6 88 Britze 96 7 11 Britze 95 6 88 Britze 96 7 12 Britze 75 4 90 Schmerle 86 4 21 Britze 77 3 92 Groppe 119 21 22 Britze 71 3 92 Groppe 119 21 25 Britze 71 3 92 Groppe 119 21 26 Britze 71 3 92 Groppe 119 21 27 Britze 77 3 94 Britze 71 3 28 Bachforelle 358 487 95 Groppe 58 2 29 Britze 80 4 99 Britze 71 3 31 Schmerle 80 4 99 Britze 71 3 32 Bachforelle 214 94 99 Britze 71 3 33 Britze 71 3 91 Britze 71 3 34 Groppe 73 4 100 Britze 71 3 35 Britze 71 2 101 Britze 71 3 36 Alet 348 502 104 Groppe 95 9 37 Alet 404 790 105 Britze 72 3 38 Groppe 57 1 106 Britze 73 3 39 Groppe 69 3 107 Britze 72 3 39 Groppe 67 2 108 Britze 73 3 30 Britze 67 2 108 Britze 72 3 31 Groppe 57 1 106 Britze 75 3 32 Groppe 69 3 107 Britze 75 3 33 Groppe 67 2 108 Britze 76 3 34 Groppe 57 1 106 Britze 75 3 35 Britze 77 2 108 Britze 75 3 36 Alet 348 502 104 Groppe 95 9 37 Alet 404 790 105 Britze 75 3 38 Groppe 67 2 108 Britze 75 3 39 Groppe 69 3 107 Britze 75 3 40 Britze 77 2 108 Britze 77 3 41 Schmerle 80 2 115 Britze 75 3 42 Schmerle 81 2 115 Britze 66 2 43 Schmerle 80 3 117 Britze 67 2 44 Schmerle 80	12	Elritze	70	2		80	Elritze	70	2	
15 Elritze	13	Elritze	66	2	evtl. tot	81	Bachforelle	351	385	
16 Elritze	14	Elritze	75	4		82	Bachforelle	350	440	
17 Eritze	15	Elritze	68			83	Bachforelle	223	106	
18 Eritze 72 3 86 Alet 126 20 19 Eritze 70 2 87 Bachforelle 117 16 20 Eritze 95 6 88 Eritze 96 7 21 Eritze 69 2 89 Eritze 66 2 22 Eritze 75 4 90 Schmerle 86 4 23 Bachforelle 111 14 91 Eritze 92 8 24 Eritze 71 3 72 Groppe 119 21 25 Eritze 71 3 94 Eritze 71 3 27 Eritze 71 3 94 Eritze 71 3 28 Bachforelle 358 487 96 Groppe 58 2 29 Eritze 72 3 97 Eritze 72 3 30 Eritze 80 4 98 Eritze 71 3 31 Schmerle 90 4 99 Eritze 70 1 32 Bachforelle 214 94 100 Eritze 77 3 33 Eritze 71 2 101 Eritze 77 3 34 Groppe 73 4 102 Eritze 77 3 35 Eritze 75 3 103 Schmerle 86 2 36 Alet 348 502 104 Groppe 95 9 37 Alet 404 790 105 Eritze 72 3 38 Groppe 57 1 106 Eritze 73 3 39 Groppe 69 3 107 Eritze 72 3 30 Groppe 69 3 107 Eritze 73 3 31 Schmerle 80 4 790 105 Eritze 74 3 32 Groppe 67 3 107 Eritze 75 3 33 Groppe 67 3 107 Eritze 75 3 34 Groppe 67 3 107 Eritze 75 3 35 Groppe 67 3 107 Eritze 75 3 36 Alet 348 502 104 Groppe 95 9 37 Alet 404 790 105 Eritze 75 3 38 Groppe 67 3 107 Eritze 66 2 41 Schmerle 80 2 3 110 Schmerle 80 2 42 Schmerle 80 3 117 Eritze 67 2 43 Schmerle 80 3 117 Eritze 67 2 44 Schmerle 81 2 112 Eritze 67 2 45 Schmerle 80 4 121 Eritze 69 2 45 Schmerle 80 4 121 Eritze 67 2 46 Schmerle 80 4 121 Eritze 69 2 47 Schmerle 80 4 121 Eritze 67 2 48 Schmerle 80 4 121 Eritze 69 2 49 Schmerle 80 4 121 Eritze 69 2 50 Fitze 67 2	16	Elritze	73	4		84	Bachforelle	289	249	
Pitrize	17	Elritze	70			85	Bachforelle	358	531	
20 Elritze 95 6 88 Elritze 96 7	18	Elritze	72			86	Alet	126	20	
1 Elritze	19	Elritze	70			87	Bachforelle	117	16	
22 Elritze	20	Elritze								
1							Elritze			
24 Elritze	22			4						
Section	23	Bachforelle	111			91	Elritze	92	8	
26 Elritze 71 3 94 Elritze 71 3 27 Elritze 69 3 95 Elritze 66 3 28 Bachforelle 358 487 96 Groppe 58 2 29 Elritze 72 3 97 Elritze 71 3 31 Schmerle 90 4 98 Elritze 70 1 32 Bachforelle 214 94 100 Elritze 72 3 33 Elritze 71 2 101 Elritze 71 3 34 Groppe 73 4 102 Elritze 57 1 35 Elritze 75 3 103 Schmerle 86 2 36 Alet 348 502 104 Groppe 95 9 37 Alet 404 790 105 Elritze 72 3 38 Groppe 57 1 106 Elritze 76 3 39 Groppe 69 3 107 Elritze 76 3 40 Elritze	24	Elritze	71	3		92	Groppe	119	21	
27 Elritze	25	Elritze	74	4		93	Elritze	71		
28 Bachforelle 358 487 96 Groppe 58 2 29 Elritze 72 3 97 Elritze 72 3 31 Schmerle 90 4 99 Elritze 71 3 21 Bachforelle 214 94 100 Elritze 72 3 32 Elritze 71 2 101 Elritze 71 3 33 Elritze 75 3 103 Schmerle 86 2 36 Alet 348 502 104 Groppe 95 9 37 Alet 404 4790 105 Elritze 72 3 38 Groppe 57 1 106 Elritze 72 3 39 Groppe 69 3 107 Elritze 73 3 40 Elritze 67 2 108 Elritze 73 3 41 Schmerle 82 3 109 Schmerle 51 <1	26	Elritze	71	3		94	Elritze	71		
29 Elritze	27	Elritze	69	3		95	Elritze	66		
30 Ehritze 80 4 98 Ehritze 71 3	28	Bachforelle	358	487		96	Groppe	58		
31 Schmerle 90 4 99 Etritze 70 1 32 Bachforelle 214 94 100 Etritze 72 3 3 3 Etritze 71 3 3 Etritze 71 3 3 Etritze 71 3 3 Etritze 75 1 3 3 Etritze 57 1 3 3 Etritze 72 3 3 Etritze 72 3 3 Etritze 72 3 3 Etritze 74 3 3 Etritze 75 3 3 Etritze 76 3 3 Etritze 66 2 Etritze 67 2 108 Etritze 66 2 Etritze 66 2 Etritze 67 2 108 Etritze 66 2 Etritze 66 2 Etritze 67 2 Etritze 67 2 Etritze 68 2 Etritze Etritze 67 E	29	Elritze								
32 Bachforelle 214 94 100 Elritze 72 3 3 3 3 3 3 4 Groppe 73 4 102 Elritze 57 1 3 3 3 3 3 3 3 3 3	30	Elritze		4		98	Elritze		3	
Section	31					11				
34 35 Elritze 75 3 3 4 36 2 36 36 36 37 38 348 502 37 38 37 38 38 39 39 39 39 39 39	32	Bachforelle	214			100	Elritze			
35 Elritze	33					11				
36 Alet						11				
37 Alet										
38 Groppe 57						11				
107 Elritze 73 3 3 40 Elritze 67 2 108 Elritze 66 2 2 3 40 Elritze 67 2 41 Schmerle 82 3 109 Schmerle 51 < 1 42 Schmerle 79 3 110 Schmerle 80 2 43 Schmerle 80 3 111 Schmerle 80 2 44 Schmerle 81 2 112 Elritze 69 2 45 Schmerle 82 3 113 Elritze 77 3 3 46 Schmerle 82 3 114 Elritze 75 3 3 47 Schmerle 86 3 115 Elritze 67 2 2 48 Schmerle 86 3 115 Elritze 67 2 2 49 Schmerle 83 3 117 Elritze 66 2 2 2 2 2 2 2 2				790						
Schmerle										
Schmerle						11				
42 Schmerle 79 3 III0 Schmerle 80 2 43 Schmerle 80 3 III Schmerle 80 2 45 Schmerle 81 2 III2 Elritze 69 2 45 Schmerle 80 2 III3 Elritze 72 3 46 Schmerle 82 3 III4 Elritze 75 3 47 Schmerle 86 3 III5 Elritze 75 3 48 Schmerle 86 3 III6 Elritze 75 3 49 Schmerle 83 3 II7 Elritze 66 2 50 Elritze 70 2 II8 Schmerle 84 3 51 Elritze 71 2 II9 Elritze 60 I 52 Schmerle 80 2 III Elritze										
43 Schmerle 80 3 44 Schmerle 81 2 45 Schmerle 90 3 45 Schmerle 90 3 46 Schmerle 82 3 47 Schmerle 78 2 48 Schmerle 86 3 49 Schmerle 86 3 49 Schmerle 83 3 49 Schmerle 86 3 49 Schmerle 84 3 49 Schmerle 83 3 50 Elritze 70 2 118 Schmerle 84 3 51 Elritze 71 2 119 Elritze 60 1 52 Schmerle 105 8 120 Elritze 60 1 52 Schmerle 80 2 121 Elritze 69 2 55 <td< td=""><td></td><td></td><td></td><td></td><td></td><td></td><td></td><td></td><td></td><td></td></td<>										
44 Schmerle 81 2 I12 Elritze 69 2 45 Schmerle 90 3 I13 Elritze 72 3 46 Schmerle 82 3 I14 Elritze 75 3 47 Schmerle 86 3 I15 Elritze 67 2 48 Schmerle 86 3 I16 Elritze 75 3 49 Schmerle 83 3 I17 Elritze 66 2 50 Elritze 70 2 I18 Schmerle 84 3 51 Elritze 71 2 I19 Elritze 60 1 52 Schmerle 105 8 120 Elritze 99 9 53 Schmerle 90 4 121 Elritze 63 1 54 Schmerle 80 2 122 Elritze 69 2 55 Elritze 71 2 123 Elritze 72 2 55 Schmerle 93 4 124 Schmerle 350 419 56 Sc										
45 Schmerle 90 3 113 Elritze 72 3 46 Schmerle 82 3 114 Elritze 75 3 47 Schmerle 86 3 115 Elritze 67 2 48 Schmerle 86 3 116 Elritze 75 3 49 Schmerle 83 3 117 Elritze 66 2 50 Elritze 70 2 118 Schmerle 84 3 51 Elritze 71 2 119 Elritze 60 1 52 Schmerle 105 8 120 Elritze 99 9 53 Schmerle 90 4 121 Elritze 63 1 54 Schmerle 80 2 122 Elritze 69 2 55 Elritze 71 2 123 Elritze 72<						11				
46 Schmerle 82 3 114 Elritze 75 3 47 Schmerle 78 2 115 Elritze 67 2 48 Schmerle 86 3 116 Elritze 75 3 49 Schmerle 83 3 117 Elritze 75 3 50 Elritze 70 2 118 Schmerle 84 3 51 Elritze 71 2 118 Schmerle 84 3 52 Schmerle 105 8 120 Elritze 99 9 53 Schmerle 90 4 121 Elritze 63 1 54 Schmerle 80 2 122 Elritze 69 2 55 Elritze 71 2 123 Elritze 72 3 56 Schmerle 93 4 124 Schmerle 72 2 57 Schmerle 68 1 125 Bachforelle 350 419 58 Schmerle 78 2 126 Alet 338 443 <										
47 Schmerle 78 2 I15 Elritze 67 2 48 Schmerle 86 3 I16 Elritze 75 3 49 Schmerle 83 3 I17 Elritze 66 2 50 Elritze 70 2 I18 Schmerle 84 3 51 Elritze 71 2 I19 Elritze 60 I 52 Schmerle 105 8 120 Elritze 99 9 53 Schmerle 90 4 121 Elritze 63 I 54 Schmerle 80 2 122 Elritze 69 2 55 Elritze 71 2 123 Elritze 69 2 55 Elritze 71 2 123 Elritze 72 2 56 Schmerle 68 1 125 Bachforelle						11				
48 Schmerle 86 3 116 Elritze 75 3 49 Schmerle 83 3 117 Elritze 66 2 50 Elritze 70 2 118 Schmerle 84 3 51 Elritze 71 2 119 Elritze 60 1 52 Schmerle 105 8 120 Elritze 99 9 53 Schmerle 90 4 121 Elritze 63 1 54 Schmerle 80 2 122 Elritze 69 2 55 Elritze 71 2 123 Elritze 72 3 56 Schmerle 93 4 124 Schmerle 72 2 57 Schmerle 68 1 125 Bachforelle 350 419 58 Schmerle 78 2 126 Alet 338 443 59 Elritze 67 1 127 Elritze 97 9 60 Elritze 71 2 128 Elritze 67 2 61 Schmerle 80 3 129 Elritze 67			l	_		11			_	
49 Schmerle 83 3 117 Elritze 66 2 50 Elritze 70 2 118 Schmerle 84 3 51 Elritze 71 2 119 Elritze 60 1 52 Schmerle 105 8 120 Elritze 99 9 53 Schmerle 90 4 121 Elritze 63 1 54 Schmerle 80 2 122 Elritze 69 2 55 Elritze 71 2 123 Elritze 72 3 56 Schmerle 93 4 124 Schmerle 72 2 57 Schmerle 68 1 125 Bachforelle 350 419 58 Schmerle 78 2 126 Alet 338 443 59 Elritze 67 1 127 Elritze 97 9 60 Elritze 71 2 128 Elritze 67 2 61 Schmerle 80 3 129 Elritze 80 4 62				2		11			2	
50 Elritze 70 2 118 Schmerle 84 3 51 Elritze 71 2 119 Elritze 60 1 52 Schmerle 105 8 120 Elritze 99 9 53 Schmerle 90 4 121 Elritze 63 1 54 Schmerle 80 2 122 Elritze 69 2 55 Elritze 71 2 123 Elritze 72 3 56 Schmerle 93 4 124 Schmerle 72 2 57 Schmerle 68 1 125 Bachforelle 350 419 58 Schmerle 78 2 126 Alet 338 443 59 Elritze 67 1 127 Elritze 97 9 60 Elritze 71 2 128 Elritze 67 2 61 Schmerle 80 3 129 Elritze 80 4 62 Schmerle 89 4 130 Elritze 75 3 63 Schmerle 87 4 131 Elritze 75 3 64 Elrit				3		11			3	
51 Elritze 71 2 119 Elritze 60 1 52 Schmerle 105 8 120 Elritze 99 9 53 Schmerle 90 4 121 Elritze 63 1 54 Schmerle 80 2 122 Elritze 69 2 55 Elritze 71 2 123 Elritze 72 3 56 Schmerle 93 4 124 Schmerle 72 2 57 Schmerle 68 1 125 Bachforelle 350 419 58 Schmerle 78 2 126 Alet 338 443 59 Elritze 67 1 127 Elritze 97 9 60 Elritze 71 2 128 Elritze 67 2 61 Schmerle 80 3 129 Elritze 80 4 62 Schmerle 89 4 130 Elritze 69 2 63 Schmerle 87 4 131 Elritze 75 3 64 Elritze 65 2 132 Schmerle 67 1 65 Gropp				3					2	
52 Schmerle 105 8 120 Elritze 99 9 53 Schmerle 90 4 121 Elritze 63 1 54 Schmerle 80 2 122 Elritze 69 2 55 Elritze 71 2 123 Elritze 72 3 56 Schmerle 93 4 124 Schmerle 72 2 57 Schmerle 68 1 125 Bachforelle 350 419 58 Schmerle 78 2 126 Alet 338 443 59 Elritze 67 1 127 Elritze 97 9 60 Elritze 71 2 128 Elritze 67 2 61 Schmerle 80 3 129 Elritze 80 4 62 Schmerle 89 4 130 Elritze 69 2 63 Schmerle 87 4 131 Elritze 75 3 64 Elritze 65 2 132 Schmerle 86 3 65 Groppe 68 3 133 Schmerle 67 1 67 Schme				2		11				
53 Schmerle 90 4 121 Elritze 63 1 54 Schmerle 80 2 122 Elritze 69 2 55 Elritze 71 2 123 Elritze 72 3 56 Schmerle 93 4 124 Schmerle 72 2 57 Schmerle 68 1 125 Bachforelle 350 419 58 Schmerle 78 2 126 Alet 338 443 59 Elritze 67 1 127 Elritze 97 9 60 Elritze 71 2 128 Elritze 67 2 61 Schmerle 80 3 129 Elritze 80 4 62 Schmerle 89 4 130 Elritze 69 2 63 Schmerle 87 4 131 Elritze 75 3 64 Elritze 65 2 132 Schmerle <td></td> <td></td> <td></td> <td> 2</td> <td></td> <td>11</td> <td></td> <td></td> <td></td> <td></td>				2		11				
54 Schmerle 80 2 122 Elritze 69 2 55 Elritze 71 2 123 Elritze 72 3 56 Schmerle 93 4 124 Schmerle 72 2 57 Schmerle 68 1 125 Bachforelle 350 419 58 Schmerle 78 2 126 Alet 338 443 59 Elritze 67 1 127 Elritze 97 9 60 Elritze 71 2 128 Elritze 67 2 61 Schmerle 80 3 129 Elritze 67 2 61 Schmerle 89 4 130 Elritze 69 2 63 Schmerle 87 4 131 Elritze 75 3 64 Elritze 65 2 132 Schmerle 86 3 65 Groppe 68 3 133 Schmerle 67 1 66 Elritze 72 3 134 Alet 364 585 67 Schmerle 85 3 135 Alet 341 437						11 .				
55 Elritze 71 2 123 Elritze 72 3 56 Schmerle 93 4 124 Schmerle 72 2 57 Schmerle 68 1 125 Bachforelle 350 419 58 Schmerle 78 2 126 Alet 338 443 59 Elritze 67 1 127 Elritze 97 9 60 Elritze 71 2 128 Elritze 67 2 61 Schmerle 80 3 129 Elritze 80 4 62 Schmerle 89 4 130 Elritze 69 2 63 Schmerle 87 4 131 Elritze 75 3 64 Elritze 65 2 132 Schmerle 86 3 65 Groppe 68 3 133 Schmerle 67 1 66 Elritze 72 3 134 Alet 364 585 67 Schmerle 85 3 135 Alet 341 437						11			1	
56 Schmerle 93 4 124 Schmerle 72 2 57 Schmerle 68 1 125 Bachforelle 350 419 58 Schmerle 78 2 126 Alet 338 443 59 Elritze 67 1 127 Elritze 97 9 60 Elritze 71 2 128 Elritze 67 2 61 Schmerle 80 3 129 Elritze 80 4 62 Schmerle 89 4 130 Elritze 69 2 63 Schmerle 87 4 131 Elritze 75 3 64 Elritze 65 2 132 Schmerle 86 3 65 Groppe 68 3 133 Schmerle 67 1 66 Elritze 72 3 134 Alet 364 585 67 Schmerle 85 3 135 Alet 341 437				2						
57 Schmerle 68 1 125 Bachforelle 350 419 58 Schmerle 78 2 126 Alet 338 443 59 Elritze 67 1 127 Elritze 97 9 60 Elritze 71 2 128 Elritze 67 2 61 Schmerle 80 3 129 Elritze 80 4 62 Schmerle 89 4 130 Elritze 69 2 63 Schmerle 87 4 131 Elritze 75 3 64 Elritze 65 2 132 Schmerle 86 3 65 Groppe 68 3 133 Schmerle 67 1 66 Elritze 72 3 134 Alet 364 585 67 Schmerle 85 3 135 Alet 341 437						11				
58 Schmerle 78 2 126 Alet 338 443 59 Elritze 67 1 127 Elritze 97 9 60 Elritze 71 2 128 Elritze 67 2 61 Schmerle 80 3 129 Elritze 80 4 62 Schmerle 89 4 130 Elritze 69 2 63 Schmerle 87 4 131 Elritze 75 3 64 Elritze 65 2 132 Schmerle 86 3 65 Groppe 68 3 133 Schmerle 67 1 66 Elritze 72 3 134 Alet 364 585 67 Schmerle 85 3 135 Alet 341 437										
59 Elritze 67 1 127 Elritze 97 9 60 Elritze 71 2 128 Elritze 67 2 61 Schmerle 80 3 129 Elritze 80 4 62 Schmerle 89 4 130 Elritze 69 2 63 Schmerle 87 4 131 Elritze 75 3 64 Elritze 65 2 132 Schmerle 86 3 65 Groppe 68 3 133 Schmerle 67 1 66 Elritze 72 3 134 Alet 364 585 67 Schmerle 85 3 135 Alet 341 437						11				
60 Elritze 71 2 128 Elritze 67 2 61 Schmerle 80 3 129 Elritze 80 4 62 Schmerle 89 4 130 Elritze 69 2 63 Schmerle 87 4 131 Elritze 75 3 64 Elritze 65 2 132 Schmerle 86 3 65 Groppe 68 3 133 Schmerle 67 1 66 Elritze 72 3 134 Alet 364 585 67 Schmerle 85 3 135 Alet 341 437										
61 Schmerle 80 3 129 Elritze 80 4 62 Schmerle 89 4 130 Elritze 69 2 63 Schmerle 87 4 131 Elritze 75 3 64 Elritze 65 2 132 Schmerle 86 3 65 Groppe 68 3 133 Schmerle 67 1 66 Elritze 72 3 134 Alet 364 585 67 Schmerle 85 3 135 Alet 341 437										
62 Schmerle 89 4 130 Elritze 69 2 63 Schmerle 87 4 131 Elritze 75 3 64 Elritze 65 2 132 Schmerle 86 3 65 Groppe 68 3 133 Schmerle 67 1 66 Elritze 72 3 134 Alet 364 585 67 Schmerle 341 437						11				
63 Schmerle 87 4 131 Elritze 75 3 64 Elritze 65 2 132 Schmerle 86 3 65 Groppe 68 3 133 Schmerle 67 1 66 Elritze 72 3 134 Alet 364 585 67 Schmerle 85 3 135 Alet 341 437										
64 Elritze 65 2 132 Schmerle 86 3 65 Groppe 68 3 133 Schmerle 67 1 66 Elritze 72 3 134 Alet 364 585 67 Schmerle 85 3 135 Alet 341 437						11				
65 Groppe 68 3 13 Schmerle 67 1 66 Elritze 72 3 134 Alet 364 585 67 Schmerle 85 3 135 Alet 341 437						11				
66 Elritze 72 3 134 Alet 364 585 67 Schmerle 85 3 135 Alet 341 437				2		11				
67 Schmerle 85 3 135 Alet 341 437				3						
77 Samerie										
			92	5				390		

Nr.	Art	TL [mm]	Gewicht [g]	Bemerkungen	Nr.	Art	TL [mm]	Gewicht [g]	Bemerkungen
137	Alet	380	654	Schwanzfl. verkrüppelt	211	Elritze	95	7	
138		368	586	Jennanzin verni appeie	212	Regenbogen	369	422	
139	Alet	361	508		213	Alet	202	92	
	Schmerle	76	2			Bachforelle	229	98	
141		84	4		215	Bachforelle	101	11	
142		83 85	4		216	Bachforelle Schmerle	96 108	9	
_	Elritze	67	2		217	Schmerle	80	2	
	Elritze	68	2		1	Elritze	35	<1	
146		52	Ī		220	Schmerle	82	3	
147	Schmerle	70	2		221	Schmerle	80	3	
	Elritze	70	2		222	Schmerle	78	3	
	Elritze	62	1		223	Schmerle	87	4	
	Elritze	76	3			Schmerle	80	3	
151	Elritze Elritze	66 79	2 3		225	Groppe Elritze	72 36	3 21	
153		71	2		227	Schmerle	87	4	
154		291	197		228	Groppe	71	3	
155		238	126		229	Elritze	65	2	
156	Bachforelle	180	59		230	Schmerle	85	4	
157		112	12		231	Schmerle	82	4	
	Elritze	67	3		232	Schmerle	79	3	
159	_ ''	66	2		233	Schmerle	65	2	
160		121 59	18 2		234	Bachforelle Groppe	103 122	12 23	
162		63	ĺ		236		112	18	
163		74	2		237	Bachforelle	117	16	
164		428	930	Schwanzfl. verkrüppelt	238		112	15	
165	Elritze	71	2		239	Groppe	81	7	tot
	Elritze	65	1		240	Groppe	109	12	
	Elritze	72	3		241	Groppe	97	9	
168	Elritze	70 67	2		242	Groppe	67 58	2	tot
	Elritze Elritze	76	2 3		243	Groppe Bachforelle	108	12	
171		64			245		91	8	
172		60	l i		246	Groppe	101	l ii	
173		80	3		247	Groppe	60	2	
174		97	6		248	Groppe	60	2	
	Elritze	75	3		249	Groppe	60	2	
176		94	9		250	Schmerle	74	2	
177	Elritze Elritze	65 77	2 3		251	Schmerle Schmerle	85 80	3	
179	Elritze	65	2		253	Schmerle	96	3	
	Elritze	75	3		254	Schmerle	75	2	
181	Elritze	75	3		255	Schmerle	79	3	
182		82	3		256	Schmerle	78	2	
	Schmerle	98	4			Schmerle	80	3	
	Schmerle	90 88	4			Schmerle	81	3	
	Schmerle Groppe	110	5 15			Schmerle Schmerle	89 88	3	
	Groppe	58	13			Groppe	67	2	
	Groppe	52	l i			Groppe	57	2	
	Groppe	67	3			Groppe	55	1	
190	Schmerle	78	3		1	Schmerle	88	3	tot
	Groppe	103	16			Schmerle	51	l I	
	Groppe	93	9			Elritze	38	< 	
	Groppe Groppe	80 75	7 5			Bachforelle Bachforelle	137 118	27 16	
	Groppe	73	4			Elritze	45	21	
	Groppe	66	3			Schmerle	79	3	
	Groppe	69	3		271	l I	71	3	
198	Groppe	53	1			Elritze	32	21	
	Groppe	68	2			Elritze	38	<1	
	Schmerle	78	3			Schmerle	88	4	
	Elritze	53	1			Schmerle	81	3	
	Bachforelle Bachforelle	103 267	10	Cabarrament and a		Groppe Elritze	57 53	l I	
	Bachforelle	267	186 235	Schwanzfl. verkrüppelt		Elritze	42		
	Groppe		91			Elritze	41	<	
	Elritze	99	7			Elritze	42	<1	
	Elritze	72	2		281	Groppe	111	16	
	Elritze	61	1		282	Groppe	112	16	
	Alet	373	575			Groppe	57	l l	
210	Alet	390	872		284	Groppe	63	2	

Nr.	Art	TL [mm]	Gewicht [g]	Bemerkungen	Nr.	Art	TL [mm]	Gewicht [g]	Bemerkungen
285	Groppe	67	3		342	Elritze	220	778	Sammelprobe
	Groppe	75	4		343	Groppe	54	207	Sammelprobe
287		57	1		344	Schmerle	187	801	Sammelprobe
288	Schmerle	76	2						·
289	Groppe	80	3						
290	Groppe	91	4						
	Groppe	88	4						
	Groppe	80	3						
293	Groppe	71	2						
294	Groppe	81	4						
	Groppe	84	3						
296	Groppe	82	3						
297	Groppe	70	2						
298	Barbe	42	<						
299	Barbe	41	<						
300	Groppe	73	4						
	Groppe	152	1						
302	Groppe	57	2						
303	Groppe	60	2						
	Groppe	59	2						
305	Groppe	67	2						
306	Elritze	69	2						
	Elritze	31							
308	Elritze	70	2						
	Elritze	73	3						
310	Schmerle	45	<						
	Bachforelle	128	21						
	Bachforelle	118	15						
313		100	10						
_	Bachforelle	113	13						
	Bachforelle	114	14						
	Bachforelle	134	21						
	Alet	182	62						
	Schmerle	45	<1						
	Elritze	41	I						
	Elritze	31	<1						
	Elritze	75	3						
_	Bachforelle	139	27						
323	Schmerle	68	2						

Derendingen – 2. Durchgang

Nr.	Art	TL [mm]	Gewicht [g]	Bemerkungen	Nr.	Art	TL [mm]	Gewicht [g]	Bemerkungen
324	Barbe	198	74		345	Elritze	170	576	Sammelprobe
325	Bachforelle	238	133		346	Groppe	112	541	Sammelprobe
326	Bachforelle	221	98		347	Schmerle	133	552	Sammelprobe
327	Alet	376	630						-
328	Elritze	94	7						
329	Groppe	57	2						
330	Bachforelle	236	124						
331	Bachforelle	179	53						
332	Bachforelle	255	166						
333	Bachforelle	225	139						
334	Barbe	195	70						
335	Barbe	45	<						
336	Bachforelle	110	14	evtl. tot					
337	Bachforelle	205	92						
338	Alet	331	433						
339	Bachforelle	98	10						
340	Bachforelle	89	6						
341	Bachforelle	78	6						

Luterbach – 1. Durchgang

Schmerle	Nr.	Art	TL [mm]	Gewicht [g]	Bemerkungen	Nr.	Art	TL [mm]	Gewicht [g]	Bemerkungen
2 Backforelle 113 3 70 Schmerle 77 3 71 Elritze 64 3 3 4 Schmerle 77 3 77 5 5 5 5 5 5 5 5		Schmarla			- U	69	Flritze			
3 Schmerle	-									
4 Schmerle 70 2 72 Elritze 62 2 2 5 Schmerle 74 4 73 Schmerle 78 3 3 6 Schmerle 77 4 74 75 Elritze 62 2 2 8 Groppe 68 3 75 Elritze 62 2 2 8 Groppe 68 3 76 Schmerle 67 2 77 Schmerle 67 2 77 Schmerle 69 3 10 Schmerle 68 2 78 Schmerle 62 2 78 Schmerle 69 3 10 Schmerle 68 2 78 Schmerle 62 2 79 Elritze 68 3 12 Schmerle 72 3 80 Groppe 48 1 1 13 Schmerle 77 2 81 Schmerle 72 3 80 Groppe 48 1 1 13 Schmerle 77 3 14 Schmerle 76 2 83 Elritze 65 3 81 Elritze 65 3 81 Elritze 62 3 81 Elritze 63 3 81 Elritze 64 3 81 Elritze 65 81 Elritze										
Schmerle	-									
6 Schmerle 77 4 7, Groppe 68 4 7 Schmerle 78 4 75 Elritze 62 2 2 8 Groppe 68 3 76 Schmerle 67 2 9 Schmerle 78 4 75 Elritze 62 2 1 9 Schmerle 78 4 77 Schmerle 69 3 3 10 Schmerle 68 2 78 Schmerle 62 2 2 11 Schmerle 68 2 78 Schmerle 62 2 2 11 Schmerle 68 3 12 Schmerle 62 2 3 13 Schmerle 72 3 80 Groppe 48 1 1 1 1 1 1 1 1 1 1 1 1 1 1 1 1 1 1	4	Schmerle		2		72	Elritze			
7 Schmerle 78 4 75 Elritze 62 2 9 8 Groppe 68 3 75 Elritze 62 2 9 9 Schmerle 78 4 77 Schmerle 67 2 2 9 10 Schmerle 68 2 77 Schmerle 69 3 10 Schmerle 68 2 77 Schmerle 69 3 3 78 Schmerle 62 2 2 11 Schmerle 72 3 8 80 Groppe 48 1 1 1 1 1 1 1 1 1 1 1 1 1 1 1 1 1 1	5	Schmerle	74	4		73	Schmerle	78	3	
7 Schmerle 78 4 75 Elrizze 62 2 2 8 6 Groppe 68 3 75 Elrizze 67 2 2 9 Schmerle 78 4 77 Schmerle 67 2 2 9 Schmerle 68 2 77 Schmerle 69 3 3 78 Schmerle 62 2 2 11 Schmerle 68 2 78 Schmerle 62 2 2 11 Schmerle 72 3 8 80 Groppe 48 1 1 1 1 1 1 1 1 1 1 1 1 1 1 1 1 1 1	6	Schmerle	77	4		74	Groppe	68	4	
8 Groppe 68 3 76 Schmerle 67 2 9 Schmerle 68 3 76 Schmerle 69 3 3 10 Schmerle 68 2 78 Schmerle 62 2 2 11 Schmerle 68 3 12 Schmerle 72 3 80 Groppe 48 1 13 Schmerle 75 2 81 Schmerle 72 3 80 Groppe 48 1 13 Schmerle 75 2 81 Schmerle 72 3 81 Schmerle 72 3 3 81 Schmerle 72 3 3 81 Schmerle 72 3 3 81 Schmerle 74 2 82 Elritze 65 3 3 Schmerle 62 2 2 3 16 Elritze 65 3 5 Schmerle 83 5 84 Elritze 62 2 2 2 17 Schmerle 83 5 84 Elritze 62 2 2 2 2 2 2 2 2	7	Schmerle	78	4		75	Elritze	62	2	
9 Schmerle 10 Schmerle 10 Schmerle 10 Schmerle 10 Schmerle 10 Schmerle 11 Schmerle 12 Schmerle 12 Schmerle 13 Schmerle 13 Schmerle 14 Schmerle 15 Schmerle 16 S						1				
10 Schmerle 68 2 78 Schmerle 62 2 1 Schmerle 72 3 80 Groppe 48 1 3 Schmerle 75 2 81 Schmerle 75 2 81 Schmerle 75 2 82 Elritze 65 3 3 Elritze 65 3 84 Elritze 62 3 5 Schmerle 76 2 83 Elritze 62 3 5 Schmerle 81 4 86 Schmerle 89 4 9 Schmerle 81 4 86 Schmerle 89 4 9 Schmerle 81 4 88 Schmerle 89 4 9 Schmerle 81 4 88 Schmerle 89 4 9 Schmerle 81 4 88 Schmerle 70 2 Schmerle 81 4 88 Schmerle 70 2 Schmerle 80 4 2 Schmerle 81 4 88 Schmerle 70 2 Schmerle 70 3 9 Schmerle 70 3 9 Schmerle 80 4 2 Schmerle 70 3 9 Schmerle 80 4 Schmerle 80 5 Schmerle 80 5 Schmerle 70 3 9 Schmerle 80 5 Schmerle 70 3										
11 Schmerle 72 3 80 Groppe 48 1 1 1 1 1 1 1 1 1										
12 Schmerle 72 3 8 8 Groppe 48 1 1 3 Schmerle 75 2 8 1 5 Schmerle 76 2 82 Elritze 65 3 5 5 Schmerle 76 2 83 Elritze 62 3 5 Schmerle 76 2 83 Elritze 62 3 5 Schmerle 81 4 8 Schmerle 89 4 19 Schmerle 81 4 8 Schmerle 89 4 19 Schmerle 81 4 88 Schmerle 89 4 19 Schmerle 81 4 88 Schmerle 70 4 2 2 2 2 2 2 2 2 2	-									
13 Schmerle 75 2 8 Schmerle 72 3 45 Schmerle 76 76 2 83 Elritze 65 3 5 Schmerle 76 2 83 Elritze 62 2 7 Schmerle 81 4 88 Schmerle 89 4 8 Schmerle 81 4 88 Schmerle 89 4 9 Schmerle 81 4 88 Schmerle 89 4 19 Schmerle 81 4 88 Schmerle 70 2 20 Schmerle 83 4 90 Schmerle 70 2 21 Schmerle 83 4 90 Schmerle 80 4 22 Schmerle 83 4 90 Schmerle 70 2 23 Groppe 63 3 91 Groppe 58 2 24 Schmerle 70 3 92 Elritze 60 1 25 Groppe 88 6 93 Schmerle 82 4 26 Elritze 60 2 94 Schmerle 82 4 27 Schmerle 72 3 95 Elritze 56 1 28 Schmerle 72 3 95 Elritze 56 1 28 Schmerle 72 3 95 Elritze 56 1 29 Schmerle 82 5 97 Groppe 91 8 30 Bachforelle 78 5 98 Schmerle 78 3 31 Elritze 65 2 100 Schmerle 78 3 32 Elritze 65 2 100 Schmerle 78 3 33 Elritze 65 2 100 Schmerle 79 3 34 Elritze 75 2 101 Schmerle 70 3 35 Groppe 62 3 102 Schmerle 70 3 36 Elritze 70 3 103 Schmerle 70 3 37 Schmerle 72 2 103 Schmerle 70 3 38 Schmerle 72 2 103 Schmerle 70 3 39 Elritze 70 3 104 Schmerle 70 3 30 Schmerle 71 2 105 Schmerle 70 3 31 Elritze 65 2 107 Elritze 71 2 40 Schmerle 70 3 111 Elritze 71 2 41 Schmerle 70 3 111 Elritze 70 3 42 Elritze 65 2 103 Schmerle 80 3 43 Schmerle 70 3 111 Elritze 70 3 44 Elritze 65 2 117 Elritze 65 2 45 Schmerle 78 4 111 Elritze 67 2 46 Schmerle 78 4 111 Elritze 67 2 47 Schmerle 78 4 111 Elritze 67 2 48 Schmerle 79 3 112 Elritze 65 3 49 Elritze 65 2 117	Ш	Schmerle				79		68	3	
14 Schmerle 84 2 82 Britze 65 3 15 Schmerle 65 3 84 Britze 62 2 17 Schmerle 81 4 85 55 85 55 86 55 18 Schmerle 81 4 86 Schmerle 89 4 19 Schmerle 82 5 87 Groppe 70 4 20 Schmerle 81 4 88 Schmerle 70 2 21 Schmerle 74 3 89 Schmerle 70 2 22 Schmerle 74 3 89 Schmerle 70 2 23 Schmerle 70 3 91 Groppe 58 2 24 Schmerle 70 3 91 Groppe 58 2 24 Schmerle 70 3 92 Britze 60 1 25 Groppe 88 6 93 Schmerle 82 4 26 Britze 60 2 94 Schmerle 82 4 27 Schmerle 72 3 95 Britze 56 1 28 Schmerle 73 4 96 Britze 56 1 29 Schmerle 82 5 97 Groppe 91 8 31 Britze 69 3 99 Britze 68 3 32 Britze 65 2 100 Schmerle 78 3 33 Britze 65 2 100 Schmerle 70 3 34 Groppe 54 1 103 Schmerle 70 3 35 Groppe 64 3 103 Schmerle 70 3 36 Britze 75 2 101 Schmerle 70 3 37 Schmerle 72 2 103 Schmerle 70 3 38 Schmerle 72 2 103 Schmerle 70 3 39 Schmerle 70 3 104 Schmerle 70 3 30 Britze 75 2 103 Schmerle 70 3 31 Britze 75 2 103 Schmerle 70 3 32 Britze 75 2 103 Schmerle 70 3 33 Schmerle 72 2 103 Schmerle 70 3 34 Groppe 61 2 107 Britze 71 2 40 Schmerle 72 2 105 Schmerle 85 4 41 Schmerle 70 3 104 Schmerle 85 4 42 Groppe 61 2 107 Britze 61 1 43 Schmerle 75 3 111 Britze 67 2 44 Britze 65 2 107 Britze 67 2 45 Schmerle 75 3 111 Britze 67 2 46 Schmerle 75 3 111 Britze 67 2 47 Schmerle 75 2 115 Schmerle 80 3 48 Schmerle 70 3 112 Britze 67 2 49 Schmerle 75 2 112 Britze 66 3	12	Schmerle	72	3		80	Groppe	48	l I	
15 Schmerle 76 2 83 Elritze 62 2 3 16 Elritze 65 3 34 Elritze 62 2 2 17 Schmerle 81 4 88 Schmerle 80 4 4 88 Schmerle 81 4 88 Schmerle 89 4 4 88 Schmerle 81 4 88 Schmerle 70 2 2 2 2 2 2 2 2 2	13	Schmerle	75	2		81	Schmerle	72	3	
15 Schmerle 76 2 83 Elritze 62 2 3 16 Elritze 65 3 34 Elritze 62 2 2 17 Schmerle 81 4 88 Schmerle 80 4 4 88 Schmerle 81 4 88 Schmerle 89 4 4 88 Schmerle 81 4 88 Schmerle 70 2 2 2 2 2 2 2 2 2	14	Schmerle	84	2		82	Elritze	65	3	
16 Elritze										
17 Schmerle	-					1				
18 Schmerle 19 20 20 20 20 20 20 20 2	-									
19 Schmerle						1				
20 Schmerle	18	Schmerle	81	4		86	Schmerle	89	4	
20 Schmerle	19	Schmerle	82	5		87	Groppe	70	4	
22 Schmerle	20	Schmerle	81	4		88		78	3	
22 Schmerle	-									
23 Groppe										
24 Schmerle 70 3 92 Elritze 60 1 2 4 4 2 5 Groppe 88 6 93 Schmerle 82 4 4 2 6 Elritze 60 2 94 Schmerle 82 4 4 2 7 Schmerle 72 3 95 Elritze 56 1 2 8 Schmerle 73 4 96 Elritze 95 6 6 9										
25 Groppe										
26 Elritze 60 2 94 Schmerle 82 4 27 Schmerle 72 3 95 Elritze 56 1 28 Schmerle 73 4 96 Elritze 56 1 29 Schmerle 82 5 97 Groppe 91 8 30 Bachforelle 78 5 98 Schmerle 78 3 31 Elritze 69 3 99 Elritze 68 3 32 Elritze 65 2 100 Schmerle 76 4 34 Groppe 62 3 102 Schmerle 70 3 35 Groppe 64 1 103 Schmerle 70 3 36 Elritze 70 3 104 Schmerle 70 3 37 Schmerle 72 2 105 Schmerle 83 4 38 Schmerle 72 2 106 Schmerle 83 4 39 Schmerle 72 2 106 Schmerle 83 4 39 Groppe 61 2 107 Elritze 71 2 40 Schmerle 80 3 109 Schmerle 85 4 41 Groppe 88 6 110 Schmerle 85 4 42 Groppe 88 6 110 Schmerle 85 5 43 Groppe 81 101 Schmerle 85 5 44 Groppe 84 1 1 103 Schmerle 85 4 45 Groppe 85 4 1 1 103 Schmerle 70 3 46 Elritze 70 3 104 Schmerle 85 4 47 Schmerle 72 1 106 Schmerle 85 4 48 Elritze 71 2 2 106 Schmerle 85 4 49 Groppe 81 6 1 2 107 Elritze 71 2 1 1 2 1 1 1 1 1 1 1 1 1 1 1 1 1 1									· ·	
27 Schmerle 72 3 95 Elritze 56 1	25	Groppe	88	6		93	Schmerle	82	4	
27 Schmerle 72 3 95 Elritze 56 1	26	Elritze	60	2		94	Schmerle	82	4	
28 Schmerle 82 5 97 Groppe 91 8 3 30 Bachforelle 82 5 99 Elritze 95 6 8 3 31 Elritze 69 3 99 Elritze 68 3 3 2 Elritze 65 2 100 Schmerle 76 4 4 34 Groppe 62 3 102 Schmerle 70 3 3 35 Groppe 54 1 103 Schmerle 70 3 3 35 Groppe 54 1 103 Schmerle 70 3 3 35 Groppe 54 1 103 Schmerle 70 3 3 35 Groppe 62 3 104 Schmerle 70 3 3 35 Groppe 61 2 105 Schmerle 70 3 3 Schmerle 72 2 105 Schmerle 83 4 4 38 Schmerle 72 2 106 Schmerle 83 4 4 39 Groppe 61 2 107 Elritze 71 2 2 105 Schmerle 85 4 39 Groppe 61 2 107 Elritze 71 2 2 108 Schmerle 85 4 4 39 Groppe 61 2 107 Elritze 71 2 2 108 Schmerle 85 4 4 39 Groppe 88 6 110 Schmerle 85 5 5 4 4 5 5 Schmerle 80 3 109 Schmerle 85 5 5 4 5 5 5 5 5 5 5 5 5 5 5 5 5 5 5						95				
29 Schmerle 82 5 97 Groppe 91 8 8 3 8 3 8 1 1 1 1 2 4 3 3 3 3 3 3 3 3 1 1										
30 Bachforelle 78 5 98 Schmerle 78 3 31 Elritze 69 3 99 Elritze 68 3 32 Elritze 75 2 101 Schmerle 76 4 34 Groppe 62 3 102 Schmerle 70 3 35 Groppe 54 1 103 Schmerle 70 3 36 Elritze 70 3 104 Schmerle 79 3 37 Schmerle 72 2 105 Schmerle 83 4 38 Schmerle 72 2 106 Schmerle 85 4 39 Groppe 61 2 107 Elritze 71 2 40 Schmerle 80 3 109 Schmerle 85 4 41 Schmerle 80 3 109 Schmerle 85 5 42 Groppe 88 66 110 Schmerle 82 4 43 Groppe 88 66 110 Schmerle 82 4 44 Elritze 68 3 111 Elritze 58 1 45 Schmerle 75 3 111 Elritze 58 1 46 Schmerle 78 4 114 Schmerle 77 3 47 Schmerle 90 5 115 Schmerle 84 4 48 Elritze 65 2 117 Elritze 67 2 49 Elritze 67 3 118 Elritze 67 2 50 Schmerle 78 4 114 Schmerle 77 3 49 Elritze 65 2 117 Elritze 67 2 51 Schmerle 78 4 118 Elritze 67 2 52 Groppe 62 3 120 Elritze 65 2 53 Schmerle 75 3 118 Elritze 65 2 54 Schmerle 75 3 117 Elritze 67 2 55 Schmerle 76 3 121 Elritze 67 2 55 Schmerle 76 3 121 Elritze 67 2 55 Schmerle 76 3 121 Elritze 65 2 56 Schmerle 77 3 121 Elritze 67 2 57 Schmerle 78 3 121 Elritze 65 2 58 Elritze 67 2 122 Schmerle 62 3 57 Schmerle 78 3 124 Elritze 65 2 58 Elritze 67 2 126 Elritze 67 2 58 Elritze 67 2 126 Elritze 67 2 59 Schmerle 88 4 128 Elritze 68 3 60 Schmerle 68 2 127 Schmerle 70 3 61 Schmerle 68 2 121 Elritze 67 2 62 Schmerle 68 3 121 Elritze 67 2 63 Schmerle 68 2 121 Elritze 67 2 64 Schmerle 65										
Second										
32 Elritze										
33 Elritze	31	Elritze	69	3		99	Elritze	68	3	
34 Groppe	32	Elritze	65	2		100	Schmerle	68	2	
34 Groppe 62 3 102 Schmerle 70 3 3 3 3 3 5 5 5 5 3 5 5	33	Elritze	75	2		101	Schmerle	76	4	
35 Groppe 54	34	Groppe	62			102	Schmerle	70	3	
36 Elritze				ĭ						
37 Schmerle 72 2 105 Schmerle 83 4 38 Schmerle 72 2 106 Schmerle 85 4 39 Groppe 61 2 107 Elritze 71 2 2 4 3 Schmerle 72 3 3 3 108 Schmerle 77 4 4 4 4 4 4 4 4				,						
38 Schmerle 72 2 106 Schmerle 85 4 4 4 4 4 4 4 4 4						1				
39 Groppe										
40 Schmerle 72 3 108 Schmerle 77 4 41 Schmerle 80 3 109 Schmerle 85 5 42 Groppe 88 6 110 Schmerle 82 4 43 Groppe 71 3 111 Elritze 70 2 44 Elritze 68 3 112 Elritze 58 1 45 Schmerle 75 3 113 Elritze 61 1 46 Schmerle 78 4 114 Schmerle 77 3 47 Schmerle 90 5 115 Schmerle 77 3 48 Elritze 65 2 116 Schmerle 77 3 49 Elritze 65 2 117 Elritze 67 2 50 Schmerle 78 4 118 Elritze 65 3 51 Elritze 67 3 119 Elritze 65 3 51 Elritze 67 3 119 Elritze 65 2 52 Groppe 62 3 120 Elritze 67 2 53 Schmerle 85 3 121 Elritze 67 2 54 Schmerle 75 2 122 Schmerle 62 3 55 Schmerle 70 3 123 Groppe 85 7 56 Schmerle 70 3 123 Groppe 85 7 56 Schmerle 70 3 124 Elritze 58 1 57 Schmerle 82 4 125 Elritze 65 2 58 Elritze 67 2 126 Elritze 66 3 50 Schmerle 88 4 128 Elritze 66 3 61 Schmerle 77 3 130 Schmerle 70 3 62 Schmerle 68 2 131 Elritze 65 2 63 Schmerle 68 2 131 Elritze 65 2 64 Schmerle 95 5 132 Schmerle 70 3 65 Schmerle 77 3 130 Schmerle 70 3 66 Schmerle 95 5 132 Schmerle 77 3 66 Schmerle 85 4 134 Schmerle 75 3 67 Elritze 72 4 135 Schmerle 75 3 68 Schmerle 70 3 135 Schmerle 75 3 69 Schmerle 70 3 135 Schmerle 75 3 60 Schmerl	38	Schmerle	72	2		106	Schmerle	85		
41 Schmerle 80 3 109 Schmerle 85 5 42 Groppe 88 6 110 Schmerle 82 4 43 Groppe 71 3 111 Elritze 70 2 44 Elritze 68 3 112 Elritze 58 1 45 Schmerle 75 3 113 Elritze 61 1 46 Schmerle 78 4 114 Schmerle 77 3 47 Schmerle 90 5 115 Schmerle 77 3 48 Elritze 65 2 116 Schmerle 77 3 49 Elritze 65 2 117 Elritze 67 2 50 Schmerle 78 4 118 Elritze 65 3 51 Elritze 67 3 119 Elritze 65 2 52 Groppe 62 3 119 Elritze 65 2 52 Groppe 62 3 120 Elritze 67 2 53 Schmerle 85 3 121 Elritze 69 3 54 Schmerle 75 2 122 Schmerle 62 3 55 Schmerle 70 3 123 Groppe 85 7 56 Schmerle 78 3 124 Elritze 58 1 57 Schmerle 82 4 125 Elritze 58 1 58 Elritze 67 2 126 Elritze 74 3 59 Schmerle 88 4 128 Elritze 66 3 60 Schmerle 77 3 130 Schmerle 78 3 61 Schmerle 75 3 129 Schmerle 80 3 62 Schmerle 68 2 131 Elritze 65 2 63 Schmerle 77 3 130 Schmerle 70 3 64 Schmerle 77 3 130 Schmerle 70 3 65 Schmerle 85 4 134 Schmerle 75 3 66 Schmerle 85 4 134 Schmerle 75 3 67 Elritze 72 4 135 Schmerle 75 3	39	Groppe	61	2		107	Elritze	71	2	
41 Schmerle 80 3 109 Schmerle 85 5 42 Groppe 88 6 110 Schmerle 82 4 43 Groppe 71 3 111 Elritze 70 2 44 Elritze 68 3 112 Elritze 58 1 45 Schmerle 75 3 113 Elritze 61 1 46 Schmerle 78 4 114 Schmerle 77 3 47 Schmerle 90 5 115 Schmerle 77 3 48 Elritze 65 2 116 Schmerle 77 3 49 Elritze 65 2 117 Elritze 67 2 50 Schmerle 78 4 118 Elritze 65 3 51 Elritze 67 3 119 Elritze 65 2 52 Groppe 62 3 119 Elritze 65 2 52 Groppe 62 3 120 Elritze 67 2 53 Schmerle 85 3 121 Elritze 69 3 54 Schmerle 75 2 122 Schmerle 62 3 55 Schmerle 70 3 123 Groppe 85 7 56 Schmerle 78 3 124 Elritze 58 1 57 Schmerle 82 4 125 Elritze 58 1 58 Elritze 67 2 126 Elritze 74 3 59 Schmerle 88 4 128 Elritze 66 3 60 Schmerle 77 3 130 Schmerle 78 3 61 Schmerle 75 3 129 Schmerle 80 3 62 Schmerle 68 2 131 Elritze 65 2 63 Schmerle 77 3 130 Schmerle 70 3 64 Schmerle 77 3 130 Schmerle 70 3 65 Schmerle 85 4 134 Schmerle 75 3 66 Schmerle 85 4 134 Schmerle 75 3 67 Elritze 72 4 135 Schmerle 75 3	40	Schmerle	72	3		108	Schmerle	77	4	
42 Groppe 88 6 III Schmerle 82 4 43 Groppe 71 3 III Elritze 70 2 44 Elritze 68 3 III Elritze 58 I 45 Schmerle 75 3 III Elritze 61 I 46 Schmerle 78 4 III Schmerle 77 3 47 Schmerle 90 5 III Schmerle 77 3 48 Elritze 65 2 III Elritze 67 2 50 Schmerle 78 4 III Elritze 67 2 50 Schmerle 78 4 III Elritze 67 2 51 Elritze 67 3 III Elritze 65 3 51 Elritze 67 3 III Elritze 65 2 52 Groppe 62 3 II Elritze 6	41					109	Schmerle			
43 Groppe 71 3 III Elritze 70 2 44 Elritze 68 3 III Elritze 58 I 45 Schmerle 75 3 III Elritze 61 I 46 Schmerle 78 4 III Elritze 61 I 46 Schmerle 78 4 III Schmerle 77 3 47 Schmerle 90 5 III Schmerle 77 3 48 Elritze 65 2 III Elritze 67 2 50 Schmerle 78 4 III Elritze 65 2 50 Schmerle 78 4 III Elritze 65 2 51 Elritze 67 2 3 120 Elritze 67 2 52 Groppe 85 3 121 Elritze										
Heat Firitize Heat Hea						1				
45 Schmerle 75 3 113 Elritze 61 1 46 Schmerle 78 4 114 Schmerle 77 3 47 Schmerle 90 5 115 Schmerle 84 4 48 Elritze 65 2 116 Schmerle 77 3 49 Elritze 65 2 117 Elritze 67 2 50 Schmerle 78 4 118 Elritze 65 2 50 Schmerle 78 4 118 Elritze 65 2 51 Elritze 67 3 129 Elritze 65 2 52 Groppe 62 3 120 Elritze 67 2 53 Schmerle 75 2 122 Schmerle 62 3 54 Schmerle 70 3 123 Groppe 85 </td <td></td>										
46 Schmerle 78 4 I14 Schmerle 77 3 47 Schmerle 90 5 I15 Schmerle 84 4 48 Elritze 65 2 I16 Schmerle 77 3 49 Elritze 65 2 I17 Elritze 67 2 50 Schmerle 78 4 I18 Elritze 65 3 51 Elritze 67 3 I19 Elritze 65 3 51 Elritze 67 3 I19 Elritze 65 2 52 Groppe 62 3 I20 Elritze 67 2 53 Schmerle 85 3 I21 Elritze 67 2 53 Schmerle 75 2 I22 Schmerle 62 3 55 Schmerle 78 3 I24 Elritze 58 </td <td></td> <td></td> <td></td> <td></td> <td></td> <td></td> <td></td> <td></td> <td> !</td> <td></td>									!	
47 Schmerle 90 5 115 Schmerle 84 4 48 Elritze 65 2 116 Schmerle 77 3 49 Elritze 65 2 117 Elritze 67 2 50 Schmerle 78 4 118 Elritze 65 3 51 Elritze 67 3 119 Elritze 65 2 52 Groppe 62 3 120 Elritze 67 2 53 Schmerle 85 3 121 Elritze 69 3 54 Schmerle 75 2 122 Schmerle 62 3 55 Schmerle 70 3 123 Groppe 85 7 56 Schmerle 78 3 124 Elritze 58 1 57 Schmerle 82 4 125 Elritze 65 2 58 Elritze 67 2 126 Elritze 74 3 59 Schmerle 68 2 127 Schmerle 78 3 60 Schmerle 75 3 130 Schmerle 80 3 61 Schmerle <td></td> <td></td> <td></td> <td></td> <td></td> <td></td> <td></td> <td></td> <td> 1</td> <td></td>									1	
48 Elritze 65 2 116 Schmerle 77 3 49 Elritze 65 2 117 Elritze 67 2 50 Schmerle 78 4 118 Elritze 65 3 51 Elritze 67 3 119 Elritze 65 2 52 Groppe 62 3 120 Elritze 67 2 53 Schmerle 85 3 121 Elritze 69 3 54 Schmerle 75 2 122 Schmerle 62 3 55 Schmerle 70 3 123 Groppe 85 7 56 Schmerle 78 3 124 Elritze 58 1 57 Schmerle 82 4 125 Elritze 65 2 58 Elritze 67 2 126 Elritze 74 3 59 Schmerle 88 2 127 Schmerle 78 3 60 Schmerle 88 4 128 Elritze 66 3 61 Schmerle<									3	
48 Elritze 65 2 116 Schmerle 77 3 49 Elritze 65 2 117 Elritze 67 2 50 Schmerle 78 4 118 Elritze 65 3 51 Elritze 67 3 119 Elritze 65 2 52 Groppe 62 3 120 Elritze 67 2 53 Schmerle 85 3 121 Elritze 69 3 54 Schmerle 75 2 122 Schmerle 62 3 55 Schmerle 70 3 123 Groppe 85 7 56 Schmerle 78 3 124 Elritze 58 1 57 Schmerle 82 4 125 Elritze 65 2 58 Elritze 67 2 126 Elritze 74 3 59 Schmerle 88 2 127 Schmerle 78 3 60 Schmerle 88 4 128 Elritze 66 3 61 Schmerle<	47	Schmerle	90	5		115	Schmerle	84	4	
49 Elritze 65 2 117 Elritze 67 2 50 Schmerle 78 4 118 Elritze 65 3 51 Elritze 67 3 119 Elritze 65 2 52 Groppe 62 3 120 Elritze 67 2 53 Schmerle 85 3 121 Elritze 69 3 54 Schmerle 75 2 122 Schmerle 62 3 55 Schmerle 70 3 123 Groppe 85 7 56 Schmerle 78 3 124 Elritze 58 1 57 Schmerle 82 4 125 Elritze 65 2 58 Elritze 67 2 126 Elritze 74 3 59 Schmerle 68 2 127 Schmerle 78 3 60 Schmerle 88 4 128 Elritze 66 3 61 Schmerle 75 3 130 Schmerle 80 3 62 Schmerle 77 3 131 Elritze 65 2 64 Schmerle	48			2				77	3	
50 Schmerle 78 4 I18 Elritze 65 3 51 Elritze 67 3 I19 Elritze 65 2 52 Groppe 62 3 I20 Elritze 67 2 53 Schmerle 85 3 I21 Elritze 69 3 54 Schmerle 75 2 I22 Schmerle 62 3 55 Schmerle 70 3 I23 Groppe 85 7 56 Schmerle 78 3 I24 Elritze 58 I 57 Schmerle 82 4 I25 Elritze 65 2 58 Elritze 67 2 I26 Elritze 74 3 59 Schmerle 68 2 I27 Schmerle 78 3 60 Schmerle 75 3 I29 Schmerle 80 </td <td></td> <td></td> <td></td> <td>2</td> <td></td> <td></td> <td></td> <td></td> <td>)</td> <td></td>				2)	
51 Elritze 67 3 119 Elritze 65 2 52 Groppe 62 3 120 Elritze 67 2 53 Schmerle 85 3 121 Elritze 69 3 54 Schmerle 75 2 122 Schmerle 62 3 55 Schmerle 70 3 123 Groppe 85 7 56 Schmerle 78 3 124 Elritze 58 1 57 Schmerle 82 4 125 Elritze 65 2 58 Elritze 67 2 126 Elritze 74 3 59 Schmerle 68 2 127 Schmerle 78 3 60 Schmerle 88 4 128 Elritze 66 3 61 Schmerle 75 3 129 Schmerle 80 3 62 Schmerle 77 3 130 Schmerle 70 3 63 Schmerle 68 2 131 Elritze 65 2 64 Schmerle 95 5 132 Schmerle 72 2 65 Groppe <td></td>										
52 Groppe 62 3 120 Elritze 67 2 53 Schmerle 85 3 121 Elritze 69 3 54 Schmerle 75 2 122 Schmerle 62 3 55 Schmerle 70 3 123 Groppe 85 7 56 Schmerle 78 3 124 Elritze 58 1 57 Schmerle 82 4 125 Elritze 65 2 58 Elritze 67 2 126 Elritze 74 3 59 Schmerle 68 2 127 Schmerle 78 3 60 Schmerle 88 4 128 Elritze 66 3 61 Schmerle 75 3 129 Schmerle 80 3 62 Schmerle 77 3 130 Schmerle 70 3 63 Schmerle 95 5 132										
53 Schmerle 85 3 121 Elritze 69 3 54 Schmerle 75 2 122 Schmerle 62 3 55 Schmerle 70 3 123 Groppe 85 7 56 Schmerle 78 3 124 Elritze 58 1 57 Schmerle 82 4 125 Elritze 65 2 58 Elritze 67 2 126 Elritze 74 3 59 Schmerle 68 2 127 Schmerle 78 3 60 Schmerle 88 4 128 Elritze 66 3 61 Schmerle 75 3 129 Schmerle 80 3 62 Schmerle 77 3 130 Schmerle 80 3 62 Schmerle 95 5 131 Elritze 65 2 64 Schmerle 95 5 132 <td></td>										
54 Schmerle 75 2 122 Schmerle 3 55 Schmerle 70 3 123 Groppe 85 7 56 Schmerle 78 3 124 Elritze 58 1 57 Schmerle 82 4 125 Elritze 65 2 58 Elritze 65 2 126 Elritze 74 3 59 Schmerle 68 2 127 Schmerle 78 3 60 Schmerle 88 4 128 Elritze 66 3 61 Schmerle 75 3 129 Schmerle 80 3 62 Schmerle 77 3 130 Schmerle 80 3 62 Schmerle 68 2 131 Elritze 65 2 64 Schmerle 95 5 132 Schmerle 72 2 65 Groppe 75 4 133 Elritze 73										
55 Schmerle 70 3 I23 Groppe 85 7 56 Schmerle 78 3 I24 Elritze 58 I 57 Schmerle 82 4 I25 Elritze 65 2 58 Elritze 65 2 I26 Elritze 74 3 59 Schmerle 68 2 I27 Schmerle 78 3 60 Schmerle 88 4 I28 Elritze 66 3 61 Schmerle 75 3 I29 Schmerle 80 3 62 Schmerle 77 3 I30 Schmerle 70 3 63 Schmerle 68 2 I31 Elritze 65 2 64 Schmerle 95 5 I32 Schmerle 72 2 65 Groppe 75 4 I33 Elritze 73								69		
55 Schmerle 70 3 123 Groppe 85 7 56 Schmerle 78 3 124 Elritze 58 1 57 Schmerle 82 4 125 Elritze 65 2 58 Elritze 65 2 126 Elritze 74 3 59 Schmerle 68 2 127 Schmerle 78 3 60 Schmerle 88 4 128 Elritze 66 3 61 Schmerle 75 3 129 Schmerle 80 3 62 Schmerle 77 3 130 Schmerle 70 3 63 Schmerle 68 2 131 Elritze 65 2 64 Schmerle 95 5 132 Schmerle 72 2 65 Groppe 75 4 133 Elritze 73	54	Schmerle	75	2		122	Schmerle	62	3	
56 Schmerle 78 3 124 Elritze 58 1 57 Schmerle 82 4 125 Elritze 65 2 58 Elritze 67 2 126 Elritze 74 3 59 Schmerle 68 2 127 Schmerle 78 3 60 Schmerle 88 4 128 Elritze 66 3 61 Schmerle 75 3 129 Schmerle 80 3 62 Schmerle 77 3 130 Schmerle 70 3 63 Schmerle 68 2 131 Elritze 65 2 64 Schmerle 95 5 132 Schmerle 72 2 65 Groppe 75 4 133 Elritze 73 3 66 Schmerle 85 4 134 Schmerle	55	Schmerle	70			123	Groppe			
57 Schmerle 82 4 125 Elritze 65 2 58 Elritze 67 2 126 Elritze 74 3 59 Schmerle 68 2 127 Schmerle 78 3 60 Schmerle 88 4 128 Elritze 66 3 61 Schmerle 75 3 129 Schmerle 80 3 62 Schmerle 77 3 130 Schmerle 70 3 63 Schmerle 68 2 131 Elritze 65 2 64 Schmerle 95 5 132 Schmerle 72 2 65 Groppe 75 4 133 Elritze 73 3 66 Schmerle 85 4 134 Schmerle 80 3 67 Elritze 72 4 135 Schmerle									i i	
58 Elritze 67 2 126 Elritze 74 3 59 Schmerle 68 2 127 Schmerle 78 3 60 Schmerle 88 4 128 Elritze 66 3 61 Schmerle 75 3 129 Schmerle 80 3 62 Schmerle 77 3 130 Schmerle 70 3 63 Schmerle 68 2 131 Elritze 65 2 64 Schmerle 95 5 132 Schmerle 72 2 65 Groppe 75 4 133 Elritze 73 3 66 Schmerle 85 4 134 Schmerle 80 3 67 Elritze 72 4 135 Schmerle 75 3										
59 Schmerle 68 2 127 Schmerle 78 3 60 Schmerle 88 4 128 Elritze 66 3 61 Schmerle 75 3 129 Schmerle 80 3 62 Schmerle 77 3 130 Schmerle 70 3 63 Schmerle 68 2 131 Elritze 65 2 64 Schmerle 95 5 132 Schmerle 72 2 65 Groppe 75 4 133 Elritze 73 3 66 Schmerle 85 4 134 Schmerle 80 3 67 Elritze 72 4 135 Schmerle 75 3										
60 Schmerle 88 4 128 Elritze 66 3 61 Schmerle 75 3 129 Schmerle 80 3 62 Schmerle 77 3 130 Schmerle 70 3 63 Schmerle 68 2 131 Elritze 65 2 64 Schmerle 95 5 132 Schmerle 72 2 65 Groppe 75 4 133 Elritze 73 3 66 Schmerle 85 4 134 Schmerle 80 3 67 Elritze 72 4 135 Schmerle 75 3										
61 Schmerle 75 3 129 Schmerle 80 3 62 Schmerle 77 3 130 Schmerle 70 3 63 Schmerle 68 2 131 Elritze 65 2 64 Schmerle 95 5 132 Schmerle 72 2 65 Groppe 75 4 133 Elritze 73 3 66 Schmerle 85 4 134 Schmerle 80 3 67 Elritze 72 4 135 Schmerle 75 3										
62 Schmerle 77 3 130 Schmerle 70 3 63 Schmerle 68 2 131 Elritze 65 2 64 Schmerle 95 5 132 Schmerle 72 2 65 Groppe 75 4 133 Elritze 73 3 66 Schmerle 85 4 134 Schmerle 80 3 67 Elritze 72 4 135 Schmerle 75 3	60	Schmerle		4		128	Elritze	66		
62 Schmerle 77 3 130 Schmerle 70 3 63 Schmerle 68 2 131 Elritze 65 2 64 Schmerle 95 5 132 Schmerle 72 2 65 Groppe 75 4 133 Elritze 73 3 66 Schmerle 85 4 134 Schmerle 80 3 67 Elritze 72 4 135 Schmerle 75 3	61	Schmerle	75	3		129	Schmerle	80	3	
63 Schmerle 68 2 131 Elritze 65 2 64 Schmerle 95 5 132 Schmerle 72 2 65 Groppe 75 4 133 Elritze 73 3 66 Schmerle 85 4 134 Schmerle 80 3 67 Elritze 72 4 135 Schmerle 75 3	-									
64 Schmerle 95 5 132 Schmerle 72 2 65 Groppe 75 4 133 Elritze 73 3 66 Schmerle 85 4 134 Schmerle 80 3 67 Elritze 72 4 135 Schmerle 75 3										
65 Groppe 75 4 133 Elritze 73 3 66 Schmerle 85 4 134 Schmerle 80 3 67 Elritze 72 4 135 Schmerle 75 3										
66 Schmerle 85 4 134 Schmerle 80 3 67 Elritze 72 4 135 Schmerle 75 3										
67 Elritze 72 4 135 Schmerle 75 3										
				4						
	67	Elritze	72	4		135	Schmerle	75	3	
68 Schmerle 92 6 136 Schmerle 82 4	68	Schmerle	92	6		136	Schmerle	82	4	

Nr.	Art	TL [mm]	Gewicht [g]	Bemerkungen	Nr.	Art	TL [mm]	Gewicht [g]	Bemerkungen
137	Elritze	60	2	_	211	Schmerle	87	5	_
	Elritze	70	2		212	Schmerle	88	4	
139	Elritze	75	3		213	Schmerle	75	3	
	Elritze	65	2		214	Schmerle	76	2	
	Elritze	70	2		215	Schmerle	80	3	
	Elritze	65	2		216	Schmerle	85	5	
	Elritze	67	3		217	Elritze	60		
		68	3			Schmerle	77	1	
	Elritze Elritze				219		82	2	
		61	2			Schmerle		2	
	Elritze	68	3			Schmerle	90	5	
	Elritze	66	2		221	Elritze	70	2	
	Elritze	67	2			Schmerle	70	2	
	Elritze	52	I		223	Elritze	66	2	
	Barbe	40	I			Elritze	62	2	
151	Schmerle	81	3		225	Elritze	65	3	
152	Schmerle	78	3		226	Schmerle	70	3	
153	Schmerle	71	2		227	Schmerle	78	5	
154	Schmerle	82	3		228	Schmerle	72	3	
155	Schmerle	73	2		229	Bachforelle	115	15	
156	Schmerle	72	2		230	Elritze	58	2	
	Schmerle	80	3		231	Elritze	61	3	
	Groppe	80	4			Schmerle	85	4	
	Schmerle	87	4			Elritze	70	3	
	Schmerle	78	3		233	Elritze	69	2	
	Schmerle	78 62	3		234	Elritze	69	1	
	Elritze	70	2		236	Schmerle	75	3	
	Elritze	65	2		237	Schmerle	76	3	
	Schmerle	83	4		238	Elritze	69	2	
	Elritze	60	I		239	Elritze	69	2	
166	Schmerle	85	5		240	Elritze	62		
167	Elritze	65	3		241	Schmerle	72	2	
168	Elritze	65	2		242	Groppe	80	6	
169	Elritze	67	2		243	Schmerle	70	2	
170	Elritze	65	2		244	Schmerle	78	3	
171	Elritze	60	1		245	Schmerle	80	3	
172	Schmerle	88	4		246	Schmerle	82	4	
	Elritze	67	2		247	Schmerle	82	4	
	Elritze	66	2		248	Schmerle	80	4	
	Schmerle	82	4		249	Groppe	75	5	
	Groppe	68	3			Schmerle	77	6	
	Elritze	62	2		251	Elritze	70	3	
	Elritze	55	Ī		252	Elritze	70	3	
179		62			253	Elritze	55		
	Groppe		2					2	
	Elritze	55	2		254	Elritze	68	3	
181	Elritze	58	2		255	Schmerle	86	5	
182	Groppe	71	4			Elritze	69	3	
	Schmerle	60	2	ohne Schwanzflosse		Schmerle	77	4	
	Elritze	65	3			Elritze	68	4	
	Elritze	58	1			Elritze	65	3	
	Schmerle	78	3			Elritze	78	3	
187	Schmerle	82	3			Elritze	88	3	
	Schmerle	62	1			Schmerle	75	2	
189	Groppe	69	3			Schmerle	82	2	
190	Schmerle	78	3		264	Elritze	65	3	
	Schmerle	81	4		265	Elritze	60	2	
	Schmerle	70	3			Elritze	88		
	Schmerle	72				Elritze	68		
	Elritze	61	2 2 3			Elritze	68		
	Elritze	71	3			Elritze	70		
	Elritze	68	2			Elritze	63		
	Elritze	65	I		271	Elritze	65		
	Schmerle	68	2			Elritze	68		
	Schmerle	70	2			Elritze	62		
	Elritze	70 78	3			Bachforelle	100	8	
								8	
	Elritze	67	2			Schmerle	65		
	Elritze	70	2			Schmerle	65		
	Elritze	65	2			Schmerle	80		
204	Groppe	87	7			Schmerle	76		
205	Elritze	68	2		279	Schmerle	72		
206	Elritze	60	1		280	Schmerle	80		
207	Schmerle	72	2		281	Schmerle	65		
	Schmerle	72	3			Schmerle	71		
	Schmerle	75	2			Schmerle	64		
209	Schmerie								

Nr.	Art	TL [mm]	Gewicht [g]	Bemerkungen	Nr.	Art	TL [mm]	Gewicht [g]	Bemerkungen
285	Schmerle	82			359	Elritze	70		
286	Schmerle	83			360	Elritze	65		
287	Schmerle	72			361	Elritze	62		
288	Schmerle	80			362	Elritze	60		
289	Schmerle	78			363	Elritze	68		
290	Schmerle	72			364	Elritze	60		
291	Schmerle	96			365	Elritze	62		
292	Schmerle	85			366	Elritze	52		
	Schmerle	82			367	Elritze	71		
	Schmerle	72			368	Elritze	62		
	Schmerle	85			369	Elritze	67		
	Schmerle	76			370	Elritze	70		
	Schmerle	72			371	Elritze	62		
	Schmerle	75			372	Elritze	65		
	Schmerle	66			373	Elritze	70		
	Schmerle	82			374	Elritze	60		
	Schmerle	75				Elritze	65		
	Schmerle	89			376	Elritze	65		
	Schmerle	75			377	Elritze	52		
	Schmerle	87			378	Elritze	62		
	Schmerle	69			379	Elritze	65		
	Schmerle	72			380	Elritze	68		
	Schmerle	71			381	Elritze	69		
	Schmerle	71				Elritze	58		
	Schmerle	80				Elritze	69		
	Schmerle	75				Elritze	63		
311		75 75			385	Elritze	61		
	Schmerle	95				Elritze	68		
	Schmerle	85			387	Elritze	65		
	Schmerle	72			388	Elritze	63		
	Schmerle	82				Schmerle	76		
		85							
	Schmerle					Schmerle	78		
	Schmerle	72			391	Schmerle	84		
	Schmerle	80				Schmerle	88		
	Schmerle	72				Schmerle	78		
	Schmerle	82			394	Schmerle	73		
321		75				Schmerle	82		
	Schmerle	73			396	Schmerle	82		
	Schmerle	79				Schmerle	78		
	Schmerle	66				Schmerle	80		
	Bachforelle	99	9			Schmerle	71		
	Elritze	65			400	Schmerle	82		
	Elritze	68			401	Schmerle	84		
	Elritze	75			402	Schmerle	80		
	Elritze	70			403	Schmerle	70		
	Elritze	73			404	Schmerle	71		
	Elritze	55				Schmerle	75		
	Elritze	65				Schmerle	72		
	Elritze	63				Schmerle	82		
	Elritze	66				Schmerle	77		
	Elritze	82				Schmerle	78		
	Elritze	65				Schmerle	72		
	Elritze	62				Schmerle	61		
	Elritze	62				Schmerle	80		
	Elritze	63				Schmerle	65		
	Elritze	61				Schmerle	69		
	Elritze	60				Schmerle	76		
	Elritze	71				Schmerle	68		
	Elritze	63				Groppe	52		
	Elritze	65				Groppe	53		
345	Elritze	71				Groppe	85		
346	Elritze	60			420	Groppe	86		
347	Elritze	60			421	Groppe	83		
348	Elritze	59			422	Groppe	60		
349	Elritze	65				Groppe	69		
	Elritze	62			424	Groppe	52		
	Elritze	71				Groppe	76		
	Elritze	63				Groppe	68		
	Elritze	65				Groppe	64		
	Elritze	65				Groppe	66		
	Elritze	58				Groppe	80		
	Elritze	70				Groppe	75		
	Elritze	70			431	Groppe	78		
	Elritze	58				Groppe	76		
550		30	1		132	J. oppe	, , ,	l .	

Nr.	Art	TL [mm]	Gewicht [g]	Bemerkungen	Nr.	Art	TLI	[mm]	Gewicht [σl	Bemerkungen
	Groppe	58			507	Elritze		55		LO	
	Groppe	66				Elritze		57			
	Groppe	60				Elritze		68			
	Groppe	63				Elritze		66			
	Groppe	53				Elritze		68			
	Groppe	78				Elritze		63			
	Groppe	61				Elritze		65			
	Groppe	58				Elritze		72			
	Groppe	62				Elritze		70			
	Bachforelle	84	6			Elritze		68			
	Schmerle	81				Elritze		60			
	Schmerle	74				Elritze		61			
	Schmerle	82 85				Elritze		65			
	Schmerle					Elritze		65			
	Schmerle	56			521	Elritze		65			
	Schmerle	62				Elritze		63			
	Schmerle	77				Elritze		63			
	Schmerle	85				Elritze		64			
	Schmerle	78				Elritze		65			
	Schmerle	80				Elritze		67			
	Schmerle	65			527	Elritze		65			
	Schmerle	64				Elritze		62			
	Schmerle	78				Elritze		72			
	Schmerle	70			11	Elritze		58			
	Schmerle	72			531	Schmerle		70		3	
	Schmerle	53									
	Schmerle	68									
	Schmerle	82									
461		81									
	Schmerle	77									
463	Schmerle	81									
464	Schmerle	84									
465	Schmerle	89									
466	Schmerle	75									
467	Schmerle	80									
	Schmerle	80									
469	Schmerle	92									
470	Schmerle	75									
471	Schmerle	67									
472	Schmerle	82									
473	Schmerle	64									
474	Schmerle	77									
475	Schmerle	70									
476	Schmerle	85									
477	Schmerle	72									
478	Schmerle	82									
479	Schmerle	75									
	Schmerle	67									
	Groppe	68									
	Groppe	63									
	Elritze	65									
	Elritze	63									
	Elritze	72									
	Elritze	72									
	Elritze	68									
	Elritze	74									
	Elritze	66									
	Elritze	68									
	Elritze	60									
497	Elritze	61									
	Elritze	63									
	Elritze	66									
	Elritze	67									
	Elritze	66									
	Elritze	63									
	Elritze	65									
	Elritze	59									
	Elritze	54									
	Elritze	60									
	Elritze	67									
	Elritze	63									
	Elritze	67									
	Elritze	58									
506	Elritze	63			Ш						

Luterbach – 2. Durchgang

Nr.	Art	TL [mm]	Gewicht [g]	Bemerkungen	Nr.	Art	TL [mm]	Gewicht [g]	Bemerkungen
	Elritze	71	201111111111111111111111111111111111111	20111011101118011	603	Schmerle	76		20111011101118011
	Elritze	66			604	Schmerle	79		
	Elritze	65			605	Schmerle	72		
	Elritze	71			606	Schmerle	78		
	Elritze	67			607	Schmerle	73		
537	Elritze	66			608	Schmerle	82		
538	Elritze	58			609	Schmerle	85		
539	Elritze	67			610	Schmerle	89		
540	Elritze	67			611	Schmerle	74		
541	Elritze	63			612	Schmerle	92		
	Elritze	68			613		86		
	Elritze	65			614		79		
	Elritze	65			615		87		
	Elritze	60				Schmerle	81		
	Elritze	60			617	Schmerle	67		
	Elritze Elritze	68 64			618	Schmerle Schmerle	82 71		
	Elritze	70				Schmerle	85		
	Elritze	67			621	Schmerle	85		
551		65			622		78		
	Elritze	61			623	Schmerle	83		
	Elritze	62				Schmerle	74		
	Elritze	67			625	Schmerle	68		
	Elritze	66				Schmerle	78		
	Elritze	64			627	Schmerle	75		
557	Elritze	62			628	Schmerle	81		
558	Elritze	65			629	Schmerle	78		
559	Elritze	61			630	Schmerle	65		
560	Elritze	62			631	Schmerle	80		
561	Elritze	67			632	Schmerle	85		
	Elritze	65				Schmerle	78		
	Elritze	62			634		89		
	Elritze	65				Schmerle	82		
	Elritze	61			636		77		
	Elritze	62			637	Schmerle	78		
	Elritze	68			1	Schmerle	78		
	Elritze Elritze	62 73			639	Schmerle Schmerle	82 81		
	Elritze	60			641	Schmerle	81		
	Elritze	69			642	Schmerle	87		
	Elritze	63			643	Schmerle	82		
	Elritze	70			644		73		
	Elritze	68			645	Groppe	75		
575	Elritze	68			646		90		
576	Elritze	59			647	Groppe	75		
577	Elritze	61			648	Groppe	69		
	Elritze	62				Groppe	69		
	Elritze	74				Groppe	61		
	Elritze	61			651	1 1 1	57	3	
	Elritze	70				Groppe	59		
	Elritze	55				Groppe	75		
	Elritze Elritze	70 57				Groppe	66		
	Elritze	69				Groppe Groppe	65		
	Bachforelle	96	8		657		63		
	Schmerle	70	•			Elritze	58		
	Schmerle	78				Elritze	63		
	Schmerle	94				Elritze	63		
	Schmerle	89			1	Elritze	69		
591	Schmerle	78			1	Elritze	67		
592	Schmerle	88			663	Elritze	62		
	Schmerle	79			1	Elritze	56		
	Schmerle	85				Elritze	88		
	Schmerle	78			1	Elritze	79		
	Schmerle	79			1	Elritze	68		
	Schmerle	85				Elritze	77		
	Schmerle	83			1	Schmerle	82		
	Schmerle	82				Schmerle	80		
	Schmerle	78 74			671	Schmerle	69		
	Schmerle Schmerle	76 69				Schmerle Schmerle	84 87		
002	Schinene	67			0/3	Schinerie	87		

Nr.	Art	TL [mm]	Gewicht [g]	Bemerkungen	Nr.	Art	TL [mm]	Gewicht [g]	Bemerkungen
674	Schmerle	79			748	Schmerle	70		
675	Schmerle	81				Schmerle	70		
	Schmerle	92				Schmerle	80		
	Schmerle	85			/51	Groppe	71		
	Schmerle	86			/52	Groppe	92		
679	Schmerle	81			753	Groppe	77		
680	Schmerle	79			754	Groppe	53		
681	Schmerle	79				Groppe	69		
682	Schmerle	83				Groppe	82		
	Schmerle	86				Groppe	88		
		91							
	Schmerle				750	Groppe	54		
	Schmerle	82			1	Elritze	65		
686	Schmerle	77			760	Elritze	58		
687	Schmerle	70			761	Elritze	67		
688	Schmerle	88			762	Elritze	63		
689	Schmerle	76			763	Elritze	68		
690	Schmerle	75			764	Elritze	63		
691	Schmerle	86				Elritze	52		
	Schmerle	72				Elritze	67		
	Schmerle	75				Elritze	62		
	Schmerle	80				Elritze	63		
695	Schmerle	70			769	Elritze	65		
696	Schmerle	66			770	Elritze	65		
697	Schmerle	78			771	Elritze	64		
	Groppe	90				Elritze	70		
	Groppe	92			1	Elritze	65		
	Groppe	88				Elritze	68		
					1				
	Groppe	75				Elritze	65		
	Groppe	53				Elritze	62		
	Groppe	72			1	Elritze	64		
704	Groppe	82			778	Elritze	72		
705	Groppe	86			779	Elritze	67		
	Groppe	73			780	Elritze	70		
	Groppe	62				Elritze	67		
	Groppe	75			1	Elritze	65		
	Elritze	65				Elritze	61		
					1				
	Elritze	67			1	Elritze	68		
	Elritze	67				Elritze	61		
712	Elritze	71			786	Elritze	68		
713	Elritze	85			787	Elritze	58		
714	Elritze	62			788	Elritze	63		
715	Elritze	62			789	Elritze	60		
716	Elritze	60			1	Elritze	65		
717	Elritze	67			1	Elritze	68		
	Elritze	66				Elritze	68		
	Elritze	62				Elritze	65		
	Elritze	65				Elritze	66		
	Elritze	63				Elritze	68		
	Elritze	62			796	Elritze	56		
723	Elritze	68			797	Elritze	73		
724	Elritze	63			798	Elritze	64		
	Elritze	55				Elritze	63		
	Schmerle	82			800	Elritze	62		
	Schmerle	75				Elritze	71		
					1		60		
	Schmerle	76				Elritze			
	Schmerle	81			1	Elritze	63		
	Schmerle	72				Elritze	65		
	Schmerle	85				Elritze	65		
732	Schmerle	85			806	Elritze	68		
733	Schmerle	72			807	Elritze	60		
	Schmerle	79				Elritze	58		
	Schmerle	81			1	Elritze	66		
	Schmerle	68			1	Elritze	67		
		70							
	Schmerle				1	Schmerle	81		
	Schmerle	94				Schmerle	68		
	Schmerle	70			1	Schmerle	94		
740	Schmerle	81				Schmerle	58		
741	Schmerle	83			815	Schmerle	80		
742	Schmerle	70				Schmerle	82		
	Schmerle	72				Schmerle	83		
	Schmerle	68			1	Schmerle	78		
	Schmerle						88		
		70			1	Schmerle			
	Schmerle	85				Schmerle	70		
747	Schmerle	78			821	Schmerle	83		

Nr.	Art	TL [mm]	Gewicht [g]	Bemerkungen	Nr.	Art	TL [mm]	Gewicht [g]	Bemerkungen
822	Schmerle	75			841	Schmerle	69		
823	Schmerle	77			842	Schmerle	76		
824	Schmerle	67			843	Schmerle	63		
825	Schmerle	71			844	Schmerle	83		
826	Schmerle	73			845	Schmerle	72		
827	Schmerle	82			846	Schmerle	71		
828	Schmerle	73			847	Schmerle	79		
829	Schmerle	81			848	Schmerle	77		
830	Schmerle	78			849	Schmerle	60		
831	Schmerle	72			850	Schmerle	72		
832	Schmerle	71			851	Groppe	61		
833	Schmerle	75			852	Groppe	79		
834	Schmerle	73			853	Groppe	69		
835	Schmerle	70			854	Groppe	57		
836	Schmerle	71			855	Schmerle	75		
837	Schmerle	62			856	Schmerle	75		
838	Schmerle	67			857	Schmerle	85		
839	Schmerle	60			858	Schmerle	75		
840	Schmerle	65							

Hochwasserschutz und Revitalisierung Emme Solothurn, Wehr Biberist bis Aare Ausgangserhebung Erfolgskontrolle

Anhang C

Laichhabitat Bachforelle/Äsche

Erhebungsmethodik

Vorgehen

Das dominierende Substrat wurde an mehreren Hundert Messpunkten⁸ (Emmenschachen: 344; Schwarzweg: 1051; Papierfabrik: 2393) für eine Fläche mit einem Radius von ca. 0.5 m um den Messpunkt, erfasst. Die Klassifizierung der Substrate erfolgte nach (Stucki P, 2010). Die Berechnung der Wassertiefen und Fliessgeschwindigkeiten erfolgte durch die Firma Hunziker, Zarn & Partner (siehe Kapitel 5). In der Untersuchungsstrecke Papierfabrik wurde ein 32 m langer Teilbereich wegen zu geringer Triangulationspunkte-Dichte (2D-Modellierung) von der Auswertung ausgeschlossen.

Bewertung

Die Bewertung der artspezifischen Habitateignung erfolgte mittels eines zweidimensionalen PHABSIM-Modellansatzes⁹. Er basiert auf einer Verknüpfung von hydraulischen und biologischen Parametern. Mit Hilfe des 2D-Modells wurden die tiefengemittelten Fliessgeschwindigkeiten¹⁰ und Wassertiefen für Abflüsse von 1.8 m³/s und 6.2 m³/s berechnet. Die Interpolation der Eignung der an den einzelnen Messpunkten dominierenden Substrate erfolgte mit Hilfe eines Raster-GIS¹¹. Die Ergebnisse für die drei Parameter wurden in ein Raster mit einer Zellgrösse von 0.3 x 0.3 m überführt.

Die Verknüpfung mit den biologischen Parametern erfolgte über so genannte Eignungskurven («suitability curves»). Sie beschreiben mit Hilfe eines Eignungsindexes (Werte von 0 = ungeeignet bis 1 = optimal), wie gut die Ansprüche bezüglich eines einzelnen Habitatparameters erfüllt sind. Anstelle von Eignungskurven wurde mit 4 Eignungsklassen gearbeitet (Tabelle 1).

Die Eignungsklassen für das Laichhabitat wurden aus in der Literatur angegebenen Eignungskurven abgeleitet. Auf diese Weise konnten die Ausdehnung und Lage der potenziell geeigneten Flächen bezüglich Fliessgeschwindigkeit, Tiefe und Substrat berechnet werden.

⁸ Die Einmessung erfolgte mit einem GPS mit einer Genauigkeit von um 70 cm.

PHABSIM bedeutet «physical habitat simulation». Es ist Teil der «Instream flow incremetal methology» (IFIM), die in den 1980er und 1990er Jahren in den USA entwickelt wurde. Die Methodik hat sich seither auch in Europa etabliert. Sie basierte ursprünglich auf einer eindimensionalen Modellierung der Wassertiefen und Fliessgeschwindigkeiten. Inzwischen wurde sie mit einem deutlich aussagekräftigeren zweidimensionalen Ansatz erweitert.

¹⁰ Mittlere Fliessgeschwindigkeit in der Wassersäule.

¹¹ Interpolationsmethode: IDW (inverse distance weighted) mit variablem Suchradius unter Verwendung von 3 Messpunkten (Geist, D. R., Murray, C. J., Hanrahan, T. P., Xie, Y., 2008)

Eignungsklasse	Umschreibung	Eignungsindex		
0	ungeeignet	0.0-0.1		
0.2	bedingt geeignet	0.1-0.3		
0.6	geeignet	0.3-0.8		
1	optimal	0.8-1		

Tabelle 1 Definition der verwendeten Eignungsklassen (abgeändert nach (Brown S. K., Buja K. R., Jury S. H., Monaco M. E., Banner A., 2000))

Herleitung der Eignungsklassen

Nach einer begrenzten Recherche wurden aus der Literatur Eignungskurven entnommen, in die vier Eignungsklassen (Tabelle 1) übertragen und für die Laichhabitate zusammengestellt. Auf der Basis dieser Kurvenauswahl und eigenen Kenntnissen wurden die zu verwendenden Eignungsklassen definiert (Tabelle 2).

+	Parameter	Eignungsklasse					
Art	Umschreibung	0 (ungeeignet)	0.2 (500.		1 (optimal)		
Bachforelle	Fliessgeschwindigkei t [m/s]	<0.10 >0.80	0.10-0.15 0.65-0.8	0.15-0.25 0.5-0.65	0.25-0.5		
	Wassertiefe [m]	<0.10	-	0.1-0.15 -	>0.15		
	Substrat	Pelal, Psammal	Mesolithal	Akal	Mikrolitha I		
Äsche	Fliessgeschwindigkei t [m/s]	<0.20 >0.75	0.20-0.25 0.65-0.75	0.25-0.35 0.5-0.65	0.35-0.5		
	Wassertiefe [m]	<0.15 -	0.15-0.25 -	0.25-0.5	>0.50		
<u>.</u>	Substrat	Pelal, Psammal, Mesolithal, Makrolithal, Megalithal	Akal	-	Mikrolitha I		

Tabelle 2 Für die Modellierung des Habitatangebotes für die Bachforelle und Äsche verwendete Eignungsklassen

Berechnung der Potenzialflächen

Aus den Eignungsklassen der 3 Parameter (Einzeleignungen) erfolgte für jede Rasterzelle durch Aggregation die Bewertung der Gesamteignung. Aufgrund der Empfehlungen in (Jorde, K., Schneider, M., 2010) wurde als Aggregationsmethode das geometrische Mittel gewählt. Dadurch ist gewährleistet, dass die Gesamteignung 0 ergibt, wenn ein einzelner Habitatparameter ungeeignet (= 0) ist. Da die Wassertiefe von

untergeordneter Bedeutung ist, wurde sie lediglich mit einem Drittel gewichtet.

Eine adulte Bachforelle benötigt zum Laichen, aber auch ausserhalb der Laichzeit, eine minimale Habitatfläche. Diese ist umso kleiner, je grösser ihre Qualität ist (Tabelle 3). Sämtliche Teilflächen einer Eignungsklasse, die kleiner als die minimale Habitatfläche waren, wurden deshalb nicht weiter berücksichtigt. Sie erhielten die Eignungsklasse 0. Da uns für die Äsche keine entsprechenden Daten zur Verfügung standen, wurden diejenigen für die Bachforelle verwendet.

Das potenzielle Habitatangebot wurde als integraler Wert berechnet, der sowohl die nutzbare Fläche als auch ihre Eignung als Lebensraum berücksichtigt. Hierfür wurden die Rasterflächen einer Eignungsklasse aufsummiert, die Flächensummen nach ihrer Eignung gewichtet (d.h. mit ihrem Eignungswert 1, 0.6, 0.2 oder 0 multipliziert) und zur so genannten "weighted usable area" (WUA) addiert. Sind alle Einzelflächen optimal geeignet (Eignungsklasse 1) entspricht die WUA der gesamten Gerinnefläche¹².

Eignungsklasse	Laichhabitat
0	_
0.2	9 m²
0.6	5 m²
1	2 m²

Tabelle 3 Definition der minimal notwendigen Fläche für eine Bachforelle (Baumann P, Kirchhofer A, Schälchli U, 2012)

_

Das Modell, als vereinfachtes Abbild der realen Natur, geht davon aus, dass die Einzelparameter gleich wichtig und unabhängig sind. Es gibt aber eine grosse Abhängigkeit zwischen Tiefe und Fliessgeschwindigkeit und die Fliessgeschwindigkeit bestimmt das Substrat (Korngrösse). Die Habitatwahl der Fische ist unzweifelhaft ein multivariater Prozess. Sie basiert also auf mehreren interagierenden Habitatvariablen. Das verwendete Modell kann diese Komplexität nicht berücksichtigen.

Hochwasserschutz und Revitalisierung Emme Solothurn, Wehr Biberist bis Aare Ausgangserhebung Erfolgskontrolle

Anforderungen an das Laichhabitat

Laichhabitat

Bachforellen und Äschen legen ihre Eier in Laichgruben im Kiesbett. Gute Laichplätze zeichnen sich in erster Linie durch ein geeignetes Substrat der Gewässersohle aus. Der Anteil an Sand und Silt sollte nicht mehr als 10 % betragen. Zudem darf die Kolmation nicht zu stark sein.

Ausreichend hohe Fliessgeschwindigkeiten gewährleisten, dass der Kies des Laichplatzes von Feinstoffen befreit ist. Ist der Feinstoffanteil im Kies zu hoch, nimmt die Durchlässigkeit des Kieses ab und die Versorgung der Eier mit Sauerstoff ist nicht mehr gesichert. Bezüglich der Wassertiefe sind Bachforellen und Äschen flexibler als bei den anderen beiden Habitatparametern. Zudem benötigen beide Arten genügend Deckung als Sicht- und Strömungsschutz während der Ruhephasen zwischen den Laichakten.

Optimale Laichhabitate liegen in den Übergängen zwischen einem Kolk (Deckung/Strömungsschutz) und einem Riffle oder einer Schnelle. Generell werden seicht überströmte Kiesbänke als Laichplätze bevorzugt.

Sohlensubstrat

Emmenschachen

Das Gerinne wurde von ausgedehnten Grobkiesflächen (Mikrolithal) dominiert (Abbildung 1).

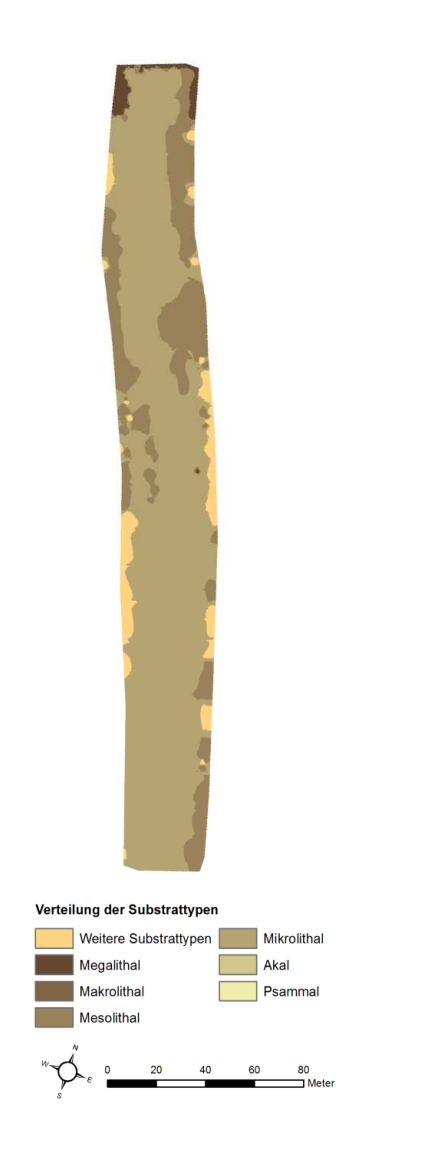


Abbildung 1 Verteilung der Substrattypen in der Untersuchungsstrecke Emmenschachen am 25.11.2014.

Hochwasserschutz und Revitalisierung Emme Solothurn, Wehr Biberist bis Aare Ausgangserhebung Erfolgskontrolle

Schwarzweg

Unterhalb der Schwelle dominierte Fels (Megalithal; Abbildung 2). Dazwischen sowie oberhalb der Schwelle kamen grosse Grobkiesflächen (Mikrolithal) vor.



Abbildung 2 Verteilung der Substrattypen in der Untersuchungsstrecke Schwarzweg am 25.11.2014.

Hochwasserschutz und Revitalisierung Emme Solothurn, Wehr Biberist bis Aare Ausgangserhebung Erfolgskontrolle

Papierfabrik

Unterhalb der Schwelle bestand das Gerinne aus Fels (Megalithal), welcher stellenweise von Grobkiesflächen (Mikrolithal) überdeckt war (Abbildung 3). Oberhalb der Schwelle dominierte Grobkies.



Abbildung 3 Verteilung der Substrattypen in der Untersuchungsstrecke Papierfabrik am 17.4.2014.

Deckung und Sandanteil

Emmenschachen

Es kamen nur kleinere Deckungsstrukturen vor (unterspülte Ufer, Wurzelwerk, Totholz), die eine Gesamtfläche von lediglich gut 40 m² einnahmen (Abbildung 4). Das potenzielle Laichsubstrat war nicht mit Sand durchsetzt.



Abbildung 4 Gesamteignung der Untersuchungsstrecke Emmenschachen als Laichhabitat für die Bachforelle. Lage der vorhandenen Deckungsstrukturen

Schwarzweg

Es kamen nur kleinere Deckungsstrukturen vor (unterspülte Ufer, Totholz), die eine Gesamtfläche von lediglich gut 10 m² einnahmen (Abbildung 5 und 6). Das potenzielle Laichsubstrat war im obersten Viertel der Untersuchungsstrecke teilweise mit Sand durchsetzt.



Abbildung 5 Gesamteignung der Untersuchungsstrecke Schwarzweg als Laichhabitat für die Bachforelle. Lage der vorhandenen Deckungsstrukturen. Darstellung der erfassten Substratpunkte mit Sandanteil >5 % respektive mit dominierendem Substrattyp Sand im mit Wasser bedeckten Gerinnebereich.



Abbildung 6 Gesamteignung der Untersuchungsstrecke Schwarzweg als Laichhabitat für die Äsche. Lage der vorhandenen Deckungsstrukturen. Darstellung der erfassten Substratpunkte mit Sandanteil >5 % respektive mit dominierendem Substrattyp Sand im mit Wasser bedeckten Gerinnebereich.

Papierfabrik

Es kamen keine Deckungsstrukturen vor. Das potenzielle Laichsubstrat war nicht mit Sand durchsetzt.

Eignung als Laichhabitat

Emmenschachen							
Art	Parameter	Abfluss [m³/s]				Gesamt- fläche	
		[,5]	optimal	geeignet	bed. geeig.	ungeeignet	[m²]
	Substrat	_	73.5	0.0	19.3	7.3	11 781.4
	Fliessgeschwindigkeit	1.8	39.7	30.8	5.9	5.3	11 186.0
e e		6.2	67.4	18.2	5.8	3.0	11 186.0
Bachforelle	Wassertiefe	1.8	62.6	9.5	0.0	9.9	11 186.0
ach		6.2	85.4	3.1	0.0	6.0	11 186.0
Ω	Gesamteignung	1.8	51.8	18.1	0.1	30.0	11 078.5
		6.2	67.1	14.4	2.8	15.7	11 078.5
-	Substrat	_	73.5	0.0	0.0	26.5	11 781.4
	Fliessgeschwindigkeit	1.8	5.7	35.1	18.0	22.9	11 186.0
٠.		6.2	55.4	25.1	6.7	7.3	11 186.0
Äsche	Wassertiefe	1.8	0.5	26.8	35.3	19.4	11 186.0
Ä		6.2	23.3	54.8	7.3	9.1	11 186.0
	Gesamteignung	1.8	1.4	43.5	0.0	55.1	11 078.3
		6.2	53.1	13.5	0.0	33.4	11 078.3

Tabelle 4 Eignung der Untersuchungsstrecke Emmenschachen als Fläche für Laichhabitat Bachforelle und Äsche. Die für die Substratmodellierung deckte sich nicht ganz vollständig mit derjenigen für Modellierung von Fliessgeschwindigkeit, Wassertiefe Gesamteignung.

Schwarzweg							
Art	Parameter					Gesamt- fläche	
		[m³/s]	optimal	geeignet	bed. geeig.	ungeeignet	[m ²]
	Substrat	_	26.4	0.9	9.2	63.5	9 876.5
	Fliessgeschwindigkeit	1.8	25.4	19.7	5.9	10.0	8 861.5
elle		6.2	31.5	26.0	13.7	5.5	8 861.5
Bachforelle	Wassertiefe	1.8	48.1	4.7	0.0	8.4	8 861.5
ach		6.2	68.0	2.8	0.0	5.9	8 861.5
ш	Gesamteignung	1.8	9.9	5.2	0.0	84.9	8 814.5
		6.2	19.7	5.1	0.6	74.6	8 814.5
	Substrat	_	26.4	0.0	0.9	72.7	9 876.5
	Fliessgeschwindigkeit	1.8	11.4	17.9	9.6	22.2	8 861.5
۵.		6.2	21.9	29.1	12.9	12.8	8 861.5
Äsche	Wassertiefe	1.8	13.0	23.7	11.4	13.1	8 861.5
Ä		6.2	38.3	23.3	6.5	8.7	8 861.5
	Gesamteignung	1.8	2.0	5.7	0.0	92.3	8 814.7
		6.2	11.4	8.1	0.0	80.5	8 814.5

Tabelle 5 Untersuchungsstrecke Eignung der Schwarzweg als Laichhabitat für Bachforelle und Äsche. Die Fläche für die Substratmodellierung deckte sich nicht ganz vollständig mit derjenigen für Modellierung Fliessgeschwindigkeit, Wassertiefe von Gesamteignung.

Papierfabrik							
Art	Parameter	Abfluss [m³/s]				Gesamt- fläche	
		[111 75]	optimal	geeignet	bed. geeig.	ungeeignet	[m ²]
	Substrat	_	47.4	0.4	0.0	52.2	10 185.8
	Fliessgeschwindigkeit	1.8	36.4	18.1	7.0	9.2	8 795.2
elle		6.2	9.2	19.8	21.4	28.6	8 795.2
Bachforelle	Wassertiefe	1.8	47.7	10.5	0.0	12.9	8 795.2
ach		6.2	70.4	2.9	0.0	5.8	8 795.2
ш	Gesamteignung	1.8	35.1	2.8	0.0	62.1	8 046.5
		6.2	16.1	15.5	0.0	68.4	8 046.3
	Substrat	_	47.4	0.0	0.4	52.2	10 185.8
	Fliessgeschwindigkeit	1.8	19.2	27.3	8.7	15.6	8 795.2
4)		6.2	6.3	20.1	15.3	37.3	8 795.2
Äsche	Wassertiefe	1.8	0.1	22.9	24.6	23.4	8 795.2
Ä		6.2	7.4	53.6	9.4	8.7	8 795.2
	Gesamteignung	1.8	6.8	24.7	0.0	68.5	8 046.3
		6.2	1.9	24.2	0.0	74.0	8 046.4

Tabelle 6 der Untersuchungsstrecke Papierfabrik Eignung als Laichhabitat für Bachforelle und Äsche. Die Fläche für die Substratmodellierung deckte sich nicht ganz vollständig mit derjenigen für Modellierung Fliessgeschwindigkeit, Wassertiefe von Gesamteignung.

Hochwasserschutz und Revitalisierung Emme Solothurn, Wehr Biberist bis	Aare
Ausgangserhebung Erfolgskontrolle	Anhang D

Anhang D

Fotografische Dokumentation Fischwerk, 2015



Emmenschachen Fotostandort ECI, 25.8.2014

Erfolgskontrolle Erhebung Ausgangszustand Fotografische Dokumentation

9. Juni 2015

FISCHWERK

WERNER DÖNNI

FISCHBIOLOGIE • GEWÄSSERÖKOLOGIE • GEOINFORMATIK

NEUSTADTSTRASSE 7, 6003 LUZERN T 041 210 20 15

INFO@FISCHWERK.CH

WWW.FISCHWERK.CH

1 Problemstellung und Auftrag

Mit dem Indikator 'Fotografische Dokumentation' soll die optische Entwicklung der Untersuchungsstrecken festgehalten werden. Für die Untersuchungsstrecken Emmenspitz (Auengebiet), Emmenschachen (Aufweitung), Schwarzweg (Überflutungsfläche) und Papierfabrik (km 3.9-4.5) sollen je 4 Fotostandorte ausgewählt werden, an denen Fotos bei Restwasserabfluss (Zielabfluss 1 m 3 /s) und bei Hochwasser (Zielabfluss \geq 57 m 3 /s) gemacht werden. Durch zusätzliche Fotostandorte zwischen den Untersuchungsstrecken soll die gesamte Strecke zwischen Biberist und der Mündung in die Aare fotografisch abgedeckt werden.

2 Fotostandorte

Die Auswahl der Fotostandorte ist der kritische Punkte im gesamten Vorgehen. Es besteht ein gewisses Risiko, dass die ausgewählten Standorte im Projektzustand nicht mehr zugänglich sind. Es wurden deshalb 5–6 Fotostandorte pro Untersuchungsstrecke ausgewählt, statt nur deren 4. Diese wurden mit 5 zusätzlichen Fotostandorten zwischen den Untersuchungsstrecken ergänzt.

Für jedes Untersuchungsgebiet wurden Fotostandorte ausgewählt, die eine möglichst freie Sicht in die Untersuchungsstrecke erlauben. Es wurde auf ein grosses Blickfeld geachtet, das im Idealfall markante Strukturen enthielt, die durch das Projekt nicht verändert werden. Die Projektveränderungen sollen vom Fotostandort aus sichtbar sein, der Standort selber soll jedoch möglichst wenig Veränderung durch das Projekt erfahren, insbesondere im Bezug auf die Bodenhöhe (-> gleiche Fotoposition Ausgangs- und Projektzustand).

3 Vorgehen

Die Fotostandorte wurden mit einem GPS mit Submetergenauigkeit eingemessen. Dazu wurde eine Markierung angebracht (Abb. 1) und der Standort verbal beschrieben. Das Stativ wurde mittels eines Kompasses nach Norden ausgerichtet und mit der Wasserwaage ausbalanciert. Die Richtung der Fotos wurde festgehalten (Elevation, Deklination, Neigung). Pro Fotostandort wurden in verschiedene Richtungen fotografiert (Serien). Sämtliche Aufnahmen wurden mit der Programmautomatik und einer Brennweite von 18 mm gemacht. Die Ausgabegrösse der JPEG-Dateien betrug 2976x1984 Pixel (5.9 Megapixel), die Auflösung 350x350 ppi (Pixel/Zoll).

Die Restwasserabfluss-Fotos wurden am 25.8.2014 bei bewölktem Himmel und einem Abfluss von ca. 2 m 3 /s aufgenommen. Die Aufnahmen wurden am 27.11.2014 bei bewölktem Himmel und einem Abfluss von ca. 1 m 3 /s durch Fotografien an den zusätzlichen Fotostandorten ergänzt. Die Aufnahmen bei Hochwasser fanden am 5.5.2015 bei bewölktem Himmel und einem Abfluss von zwischen 63 m 3 /s (Morgen) und 43 m 3 /s (Abend) statt. Ein Standort war bei Hochwasser nicht zugänglich. Bei Standorten im Wald (geplanter Altarm / geplantes Initialgerinne / geplante Überflutungsfläche) konnte im Ausgangszustand keine Veränderung zwischen Hochwasser- und Restwasserzustand festgestellt werden. Daher wurde im Ausgangszustand auf eine Hochwasser-Aufnahme dieser Standorte verzichtet.

Die Bilddateien wurden nach folgendem System benannt:

Untersuchungsstrecke/Nummer Fotostandort_Abfluss_Datum_Serie

Bsp.: SW2_NW_20140825_C = Schwarzweg, 2. Fotostandort bei Niedrigwasser am 25.8.2014, Serie C. Abkürzungen der Untersuchungsstrecken: EZ = Emmenspitz, EC = Emmenschachen, SW = Schwarzweg, PF = Papierfabrik.

Abkürzungen der zusätzlichen Fotostandorte: BB = Bahnbrücke, PD = Pockenhaus Derendingen, AB = Autobahnbrücke.

FISCHWERK 2





Abb. 1 Kamera auf Stativ am Ufer der Emme. Als Markierung wurde ein rotes Z auf der Ufermauer, einem Stein oder einem Baum, angebracht.

4 Dokumentation

Fotostandort gelber Kreis = Standort

blau Linie = Blickrichtung

rote Etikette = Standortbezeichnung (Abkürzung Untersuchungsstrecke/Nummer

Fotostandorte)

4.1 Fotografische Dokumentation der Untersuchungsstrecken

Emmenspitz Standorte der geplanten Initialgerinne (Fotostandorte 1; 4; 5), Standort des

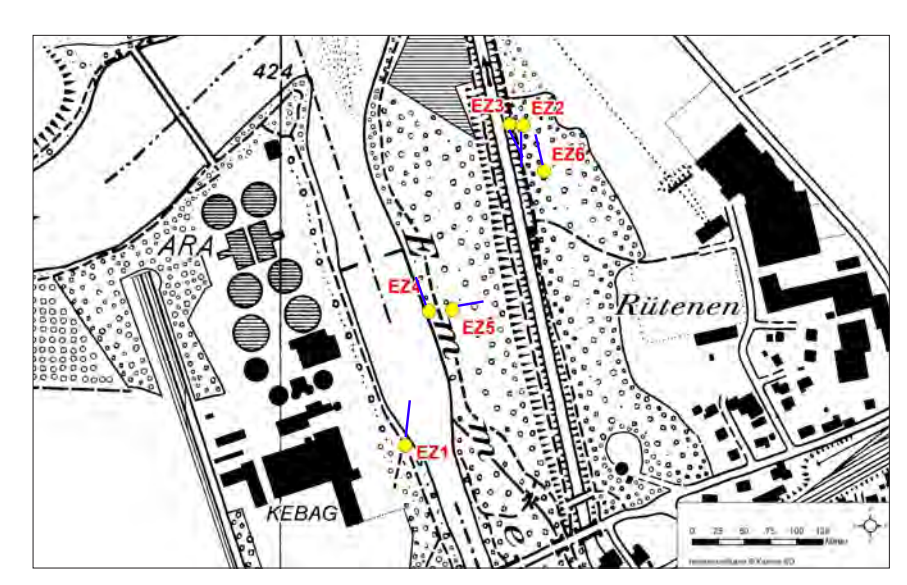
geplanten Altarmes (2; 3; 6).

Emmenschachen Rechtes Ufer im Bereich der geplanten Aufweitung (1; 2; 3), Gerinne (4; 5).

Schwarzweg Überflutungsfläche (1–5).

Papierfabrik Gerinneverbreiterung (2; 3; 4; 5), Sohlenstrukturierung (1; 4).

FISCHWERK 3



Emmenspitz

Abb. 2 Lage der Fotostandorte im Untersuchungsgebiet Emmenspitz inklusive Blickrichtung.





Abb. 3 Fotostandort EZ1. Geplantes Initialgerinne. Links: 25.8.2014 / Rechts: 5.5.2015





Abb. 4 Fotostandort EZ4. Geplantes Initialgerinne. Links: 25.8.2014 / Rechts: 5.5.2015



Abb. 5 Fotostandort EZ5. Geplantes Initialgerinne. 25.8.2014. Keine Aufnahme bei Hochwasser da keine Veränderung zu Zustand bei Restwasserabfluss.



Abb. 6 Fotostandort EZ2. Geplanter Altarm. 25.8.2014. Keine Aufnahme bei Hochwasser da keine Veränderung zu Zustand bei Restwasserabfluss.

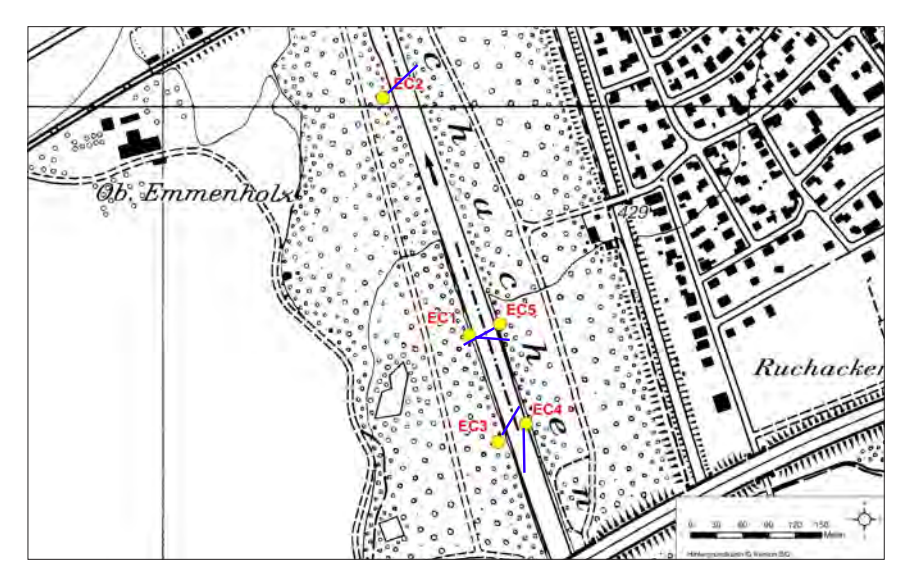


Abb. 7 Fotostandort EZ3. Geplanter Altarm. Links: 25.8.2014 / Rechts: 5.5.2015





Abb. 8 Fotostandort EZ6. Geplanter Altarm. 25.8.2014. Keine Aufnahme bei Hochwasser da keine Veränderung zu Zustand bei Restwasserabfluss.



Emmenschachen

Abb. 9 Lage der Fotostandorte im Untersuchungsgebiet Emmenschachen inklusive Blickrichtung.





Abb. 10 Fotostandort EC1. Geplante Aufweitung. Links: 25.8.2014 / Rechts: 5.5.2015





Abb. 11 Fotostandort EC2. Geplante Aufweitung. Links: 25.8.2014 / Rechts: 5.5.2015





Abb. 12 Fotostandort EC3. Geplante Aufweitung. Links: 25.8.2014 / Rechts: 5.5.2015



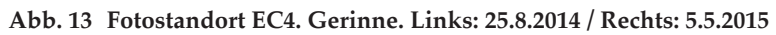






Abb. 14 Fotostandort EC5. Gerinne. Links: 25.8.2014 / Rechts: 5.5.2015



Schwarzweg

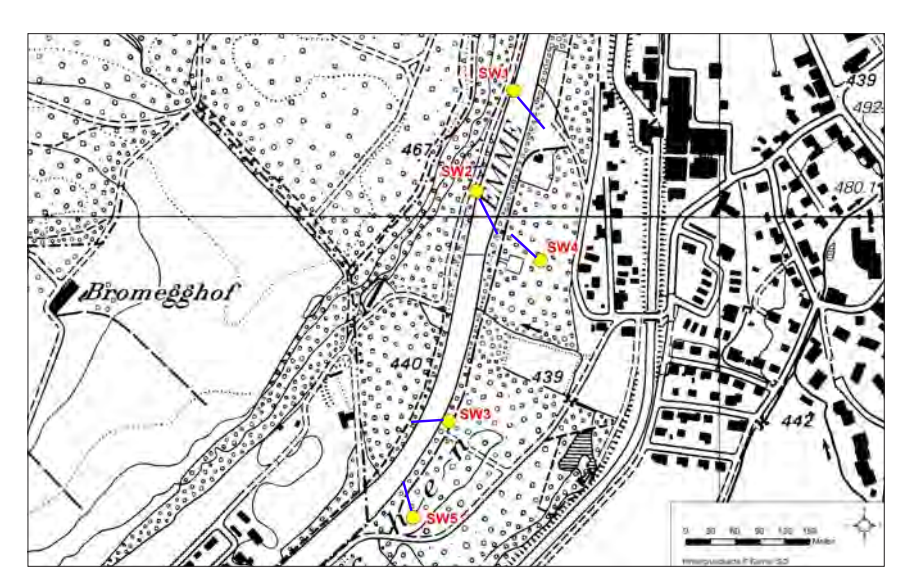


Abb. 15 Lage der Fotostandorte im Untersuchungsgebiet Schwarzweg inklusive Blickrichtung.



Abb. 16 Fotostandort SW1. Geplante Überflutungsfläche. Links: 25.8.2014 / Rechts: 5.5.2015





Abb. 17 Fotostandort SW2. Geplante Überflutungsfläche. Links: 25.8.2014 / Rechts: 5.5.2015







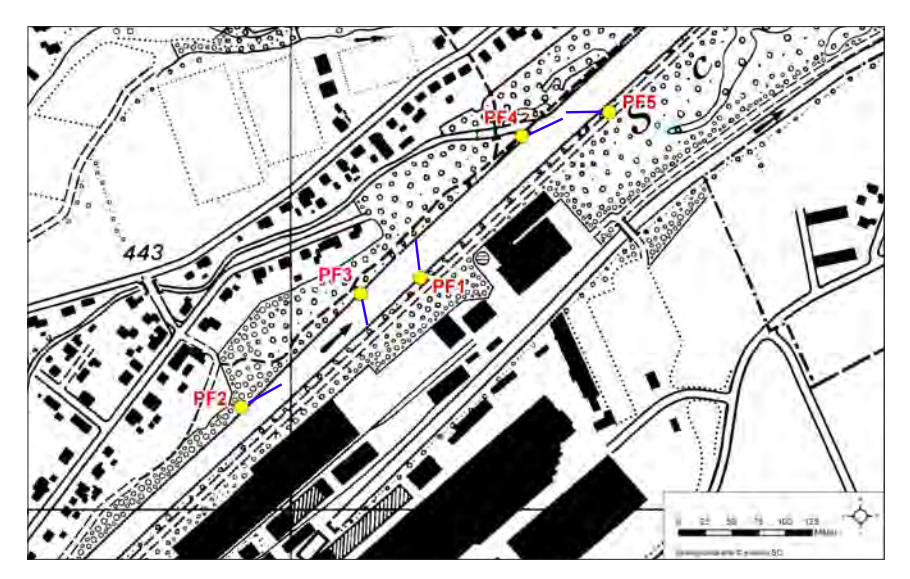
Abb. 18 Fotostandort SW3. Geplante Überflutungsfläche. Links: 25.8.2014 / Rechts: 5.5.2015



Abb. 19 Fotostandort SW4. Geplante Überflutungsfläche. 25.8.2014. Keine Aufnahme bei Hochwasser da keine Veränderung zu Zustand bei Restwasserabfluss.



Abb. 20 Fotostandort SW5. Geplante Überflutungsfläche. 25.8.2014. Keine Aufnahme bei Hochwasser da keine Veränderung zu Zustand bei Restwasserabfluss.



Papierfabrik

Abb. 21 Lage der Fotostandorte im Untersuchungsgebiet Papierfabrik inklusive Blickrichtung.





Abb. 22 Fotostandort PF1. Gerinne. Links: 25.8.2014 / Rechts: 5.5.2015







Abb. 23 Fotostandort PF2. Geplante Gerinneverbreiterung. Links: 25.8.2014 / Rechts: 5.5.2015







Abb. 24 Fotostandort PF3. Geplante Gerinneverbreiterung. Links: 25.8.2014 / Rechts: 5.5.2015





Abb. 25 Fotostandort PF4 bei der Dorfbachmündung. Geplante Gerinneverbreiterung. Links: 25.8.2014 / Rechts: 5.5.2015





Abb. 26 Fotostandort PF5. Geplante Gerinneverbreiterung. Links: 25.8.2014 / Rechts: 5.5.2015

4.2 Fotografische Dokumentation zwischen den Untersuchungsstrecken

Bahnbrücke Bahn- und Fussgängerbrücke zwischen Wehr Biberist und der Untersu-

chungsstrecke Papierfabrik. Umbau der Schwelle unterhalb Bahnbrücke in Blockrampe geplant. Veränderungen an Sohle und Ufer oberhalb der Brü-

cke vorgesehen.

Pockenhaus Derendingen Zwischen Untersuchungsstrecken Papierfabrik und Schwarzweg. Gerin-

nerverbreiterung, Sohlenstrukturierung.

Autobahnbrücke Längerer Abschnitt zwischen Untersuchungsstrecken Schwarzweg und

Emmenschachen. Gerinneaufweitung (Fotostandorte 1; 2; 3), Ergänzung

Schwelle durch Blockrampe (2).

FISCHWERK 17

Bahnbrücke

Grossn

Abb. 27 Lage der Fotostandorte im Untersuchungsgebiet Emmenspitz inklusive Blickrichtung.





Abb. 28 Fotostandort Bahnbrücke (BB) bei der geplanten Blockrampe. Links: 27.11.2014 / Rechts: 5.5.2015

Pockenhaus Derendingen



Abb. 30 Fotostandort Pockenhaus Derendingen (PD). Geplante Gerinneverbreiterung und Sohlenstrukturierung. 27.11.2014. Der Fotostandort war bei Hochwasser nicht zugänglich.

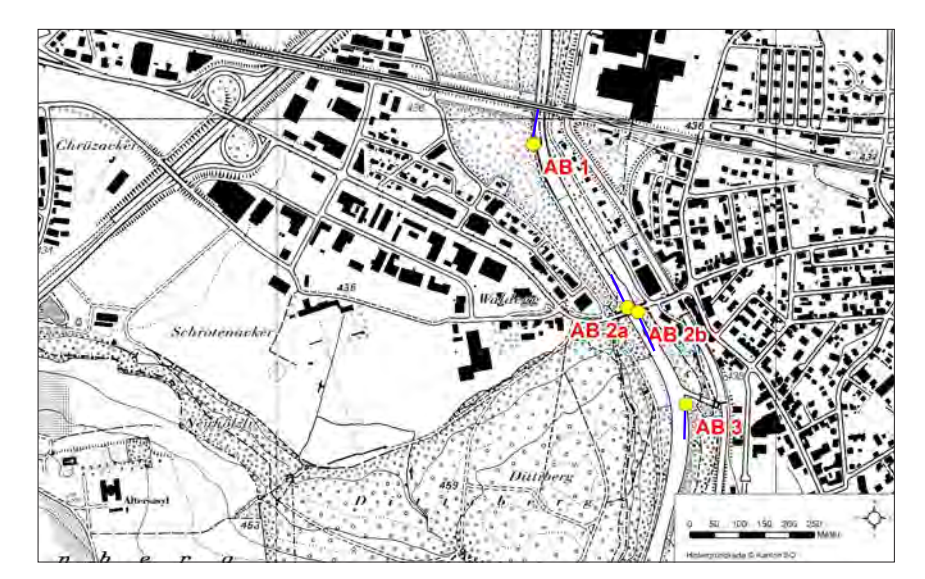


Abb. 31 Lage der Fotostandorte im Bereich der Autobahnbrücke inklusive Blickrichtung.





Abb. 32 Fotostandort AB1. Geplante Gerinneaufweitung. Links: 27.11.2014 / Rechts: 5.5.2015





Abb. 33 Fotostandort AB2a. Geplante Blockrampe. Links: 27.11.2014 / Rechts: 5.5.2015





Abb. 34 Fotostandort AB2b. Geplante Gerinneaufweitung. Links: 27.11.2014 / Rechts: 5.5.2015





Abb. 35 Fotostandort AB3. Geplante Gerinneaufweitung. Links: 27.11.2014 / Rechts: 5.5.2015

Hochwasserschutz und Revitalisierung Emme Solothurn, Wehr Biberist bis Aare Ausgangserhebung Erfolgskontrolle Anhang D

Hochwasserschutz	und Revitalisierung	Emme Solothurn,	Wehr Biberist bis	Aare
Ausgangserhebung	Erfolgskontrolle			Anhang E

Anhang E

Emmenschachen Luterbach – Amphibienerfassung 2012 Schlüchter und Lüscher, 2012

Emmenschachen Luterbach - Amphibienerfassung 2012



Beat Schlüchter & Beatrice Lüscher beatschluechter@gmail.com, beatrice.luescher@karch.ch

unter Mithilfe von Peter Geissbühler

Auftraggeber: Amt für Raumplanung, Kanton Solothurn

Projektleiter: Jonas Lüthy

Ausgangslage

Daten zu Amphibienarten im Auengebiet Emmenschachen bei Luterbach (SO) waren bis anhin nicht vorhanden. Im Hinblick auf bevorstehende Hochwasserschutz- und Revitalisierungsprojekte an der Emme ist es jedoch wichtig, wertvolle Lebensräume und die Vorkommen gefährdeter Arten wie Amphibien im Projektperimeter zu kennen.

Methode

Auf zwei Tagbegehungen (14. & 27. März) wurde das Gebiet nach potentiellen Amphibienlaichgewässern abgesucht. Hierbei wurden Grasfrosch- und Erdkrötenlaich erfasst.

Auf zwei Nachtbegehungen (5. April & 17. Juni) wurden die Gewässer auf der Suche nach weiteren Amphibienarten mit Hilfe einer Taschenlampe abgesucht, rufende Tiere wurden erfasst. Ergänzende Beobachtungen stammen von Peter Geissbühler (29. Mai).

Zudem waren während dreier Nächte (18. bis 20. April) Molchfallen in den Gewässern positioniert. Die gefangenen Tiere wurden jeden Morgen registriert und anschliessend wieder freigelassen.

Untersuchungsgebiet und Gewässer

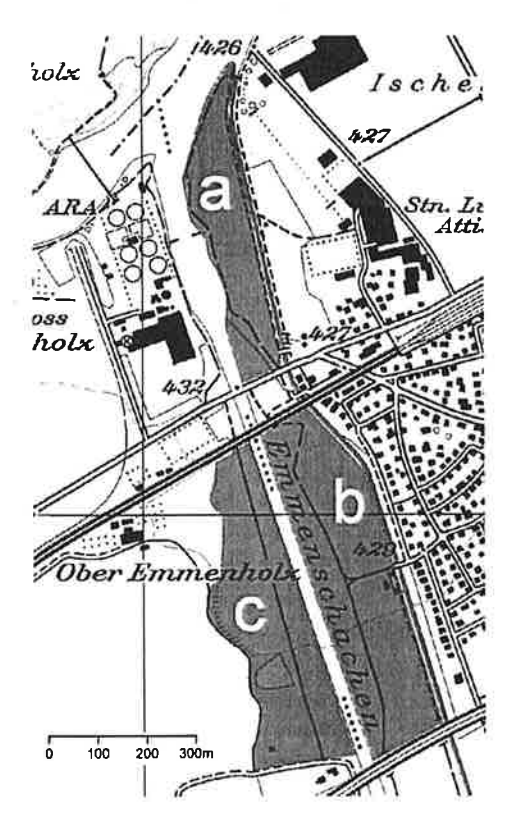


Abb.1: Übersichtskarte der Region. Der untersuchte Perimeter entspricht der rot markierten Fläche (Kompartimente a, b & c).

Im untersuchten Perimeter (Abb. 1) wurden 3 Gewässer mit Amphibienpotential gefunden.

Altlauf

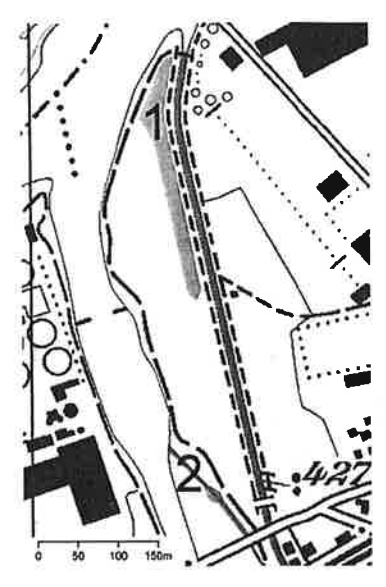
Der grossflächige Altlauf (Kompartiment a, Abb. 2) weist eine maximale Wassertiefe von etwa 90cm auf. Da sich das Gewässer im Wald befindet, ist es stellenweise stark beschattet. Das breitere Nordende gegen die Aare hin weist einen sehr starken Schilfbewuchs auf. Es ist über einen kurzen Kanal an der Nordseite direkt mit der Aare verbunden und weist eine relativ hohe Fischdichte auf Rotfeder und Stichling haben (Hecht, nachgewiesen). Weiter haben wir in diesem Gewässer mehrmals Biber gesichtet – die gut erkennbaren Wechsel zwischen dem Kraftwerkskanal und dem Weiher lassen auf sehr häufigen Besuch des Weihers schliessen.

<u>Bach</u>

Das Bächlein (Kompartiment a, Abb. 2) dient als "Überlauf" des Kraftwerks und führt nur sehr wenig Wasser. Es entwässert in die Emme und ist durch den direkten Kontakt mit dem Fluss auch durch Fische besiedelbar und für diese durchgängig. An einer Stelle ist das ansonsten schmale Gerinne stark verbreitet.

Kleinweiher

Der Kleinweiher (Kompartiment c, Abb. 2) wies während der Beobachtungszeit eine maximale Tiefe von 60cm auf. Am Nordende befindet sich ein Zuflussrohr, welches den Weiher wohl zeitweise mit Wasser versorgt. Zu einem sehr grossen Teil ist der Weiher von Seggen zugewachsen, so dass nur sehr wenig offene Wasserfläche vorhanden ist. Im Weiher befinden sich neben drei grossen Spiegelkarpfen auch Bartgrundeln in wahrscheinlich grosser Zahl.



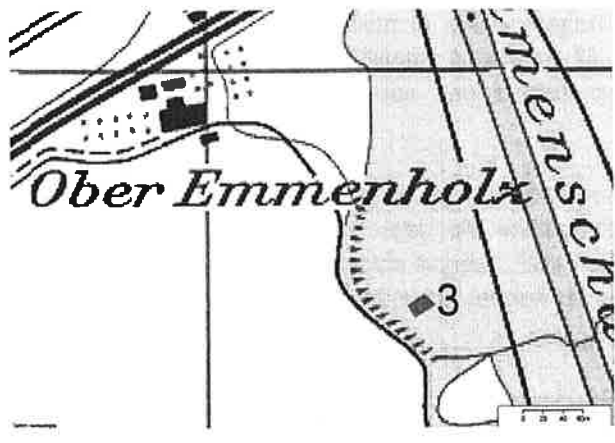


Abb. 2: Blau eingezeichnete Standorte der drei Gewässer. 1: Altlauf, 2: Bach. 3: Kleinweiher

Resultate Amphibienerfassung

Die Rohdaten aller Beobachtungen und Fallenfänge sind im Anhang aufgeführt. Die Anzahl beobachteter Individuen sind in Tabelle 1 zusammengefasst.

Tab.1: Beobachtungen nach Gewässer. Aufgeführt ist jeweils die grösste Anzahl auf einer Begehung beobachteter bzw. in Fallen gefangener Adulttiere (Ad), Larven (LV), Laichballen (LB) und Laichschnüre (LS).

	Fadenmolch	Bergmolch	Erdkröte	Grasfrosch	Seefrosch	Grünfrosch unbestimmt
Altlauf			2Ad, 1LS	1Ad, 110LB, LV	2Ad	6Ad
Bach				1LB		
Kleinweiher	24Ad	3Ad	1Ad, 50LV	3Ad, 7LB, LV		2Ad

Wir haben im Gebiet 5 Arten nachgewiesen.

Der Grasfrosch hat sich in allen drei untersuchten Gewässern fortgepflanzt, jedoch nur im Altlauf mit über 100 Laichballen in grösserer Zahl.

Einen sicheren Nachweis des Neozoons Seefrosch mussten wir leider im Altlauf machen. Wir können nicht ausschliessen, dass es sich auch bei den weiteren Grünfröschen dort und im Kleinweiher um Seefrösche handelt.

Einzelne Erdkröten haben sich in den beiden Gewässern Altlauf und Kleinweiher fortgepflanzt. Molche konnten wir leider nur im Kleinweiher nachweisen, den auentypischen, verletzlichen Fadenmolch in deutlich grösserer Dichte als den Bergmolch.

Fazit: der Kleinweiher ist mit den nachgewiesenen 5 Amphibienarten, darunter Fadenmolch und Erdkröte, für Amphibien wohl am wertvollsten. Im Altlauf haben wir drei Amphibienarten nachgewiesen, den Grasfrosch in relativ grosser Population. Bemerkenswert sind zwei Ringelnatterbeobachtungen an diesem Gewässer.

Diskussion Amphibienerfassung

Die Gewässer waren zum Teil schlecht zugänglich und stark bewachsene Ufer erschwerten die Aufnahmen. Einzeltiere haben wir sicherlich übersehen. Wir können auch nicht ausschliessen, dass wir einzelne Molche im Altlauf verpasst haben. Dass wir eine zusätzlich vorkommende Amphibienart übersehen haben ist zwar möglich, aber eher unwahrscheinlich: In dieser Region und im flachen Gelände wäre nur noch die Gelbbauchunke aus besiedelbarer Distanz bekannt – für diese Art fehlen im Emmeschachen momentan geeignete Lebensräume. Und von den beiden stark gefährdeten Molcharten fehlen Nachweise aus der Region.

Grünfrösche kann man aus Distanz nur bestimmen, wenn sie deutlich rufen. Die einzigen zwei Tiere, die wir bestimmen konnten waren Seefrösche. Wir wissen nicht, ob noch andere Grünfrösche vorkommen, oder ob es sich bei allen Tieren um den Seefrosch handelt. Wir hatten leider keine optimale Rufnacht bei den Erfassungen. Angaben von Anwohnern deuten darauf hin, dass an manchen Abenden grössere Rufchöre aktiv sind.

Auffallend ist, wie schlecht der **Altlauf** durch Amphibien besiedelt ist. Der umgebende Wald wäre als strukturreicher Landlebensraum sehr gut geeignet. Aufgrund der Gewässermorphologie und der in der Umgebung vorhandenen Amphibienvorkommen hätte der grosse Weiher durchaus Amphibienpotential. Der grosse Prädationsdruck (v.a. Fische, aber auch zahlreiche Raubinsekten) wird sicher ein Hauptgrund für die extrem geringen Amphibiendichten sein. Ein weiterer Grund

könnte auch die starke Beschattung sein. Wir können ebenfalls nicht ausschliessen, dass Isolation (Distanz, Hindernisse wie Strasse und Kanäle) ein Faktor ist.

Für Erdkröten wäre der Weiher trotz der Fische gut geeignet. Die geringen Zahlen 2012 könnten durch ein schlechtes Jahr mitbedingt sein – vielerorts wurden 2012 nur wenige Erdkröten beobachtet.

Einzig die Grasfroschpopulation - und eventuell die Grünfroschpopulation - sind nicht ganz klein. Diese beiden Arten werden die Hauptnahrung der Ringelnattern im Gebiet darstellen.

Potential und Zielarten

Das Potential des Emmenschachens ist gross – strukturreicher Auenwald und Ausgangspopulationen von fünf Amphibienarten in einem Kleinweiher sind vorhanden. Das grosse Defizit sind gut geeignete, fischfreie und mindestens teilweise besonnte Stehgewässer. Es wäre vielversprechend im gesamten Emmenschachen verschiedene Gewässer neu anzulegen. Die Gewässer sollten primär auf den auentypischen, verletzlichen Fadenmolch ausgerichtet werden.

Mögliche Aufwertungsmassnahmen

Neue Weiher

Aufgrund der natürlichen und vom Menschen verursachten Zerschneidung der Landschaft durch die stark befahrene Strasse und die Emme, sowie aufgrund relativ kurzer Wanderdistanzen der Molche wären neue Weiher beidseits der Emme und beidseits der Strasse wünschenswert. Wir schlagen vor, in den drei mit a, b und c bezeichneten Kompartimenten des Emmenschachens (Abb. 1) jeweils ein neues Gewässer (Zielart Fadenmolch) zu erstellen.

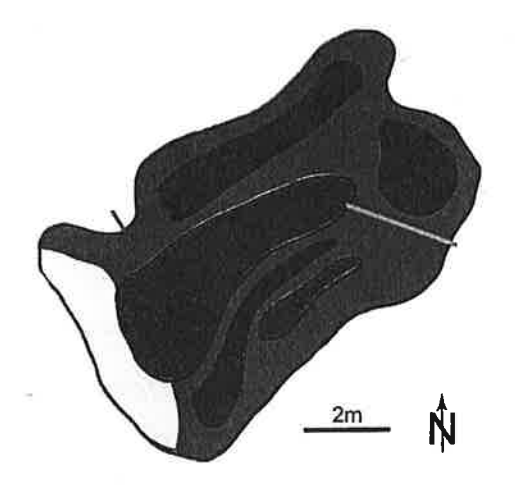
Die Kleinweiher sollten im Schwankungsbereich des Grundwassers erstellt werden und dürfen auch beim alljährlichen Frühlingshochwasserstand keine direkte Verbindung zu bestehenden Gewässern aufweisen. Die Aushubtiefe soll sicherstellen, dass die neu erstellten Gewässer im Winter austrocknen (beim Bau im Winter enthalten die Weiher kein Wasser). Dies ist notwendig, um den Raubdruck auf die Amphibien gering zu halten. Zudem sind Gewässer, welche für eine gewisse Zeit des Jahres trockenfallen für den nicht einheimischen Seefrosch weniger gut geeignet, was sich auch wieder positiv auf die einheimischen Arten auswirkt. Als weitere Massnahme, um nicht den invasiven Seefrosch stärker zu fördern als die einheimischen Arten, sollten die einzelnen Weiher nicht allzu gross gestaltet werden. Bei grösserem Platzangebot können mehrere Flachweiher von 40 bis höchstens 100 m² nebeneinander erstellt werden. Eine ausreichende Besonnung der Gewässer muss sichergestellt werden.

Die Standortwahl sollte sich nach den folgenden Kriterien richten:

- Berücksichtigung bestehender Vertiefungen im Gelände
- Sicherheit vor Hochwasser. Um eine Besiedlung durch Fische zu verhindern, sollten die Gewässer nicht im jährlichen Überflutungsbereich liegen.
- Bereitschaft der Waldbesitzer
- Eventuell Ausnützen bestehender Lichtungen / Waldränder.
- Grundwasserstand zur Abklärung sind eventuell Probelöcher notwendig.

Unterhalt Kleinweiher

Der starke Fischdruck (Spiegelkarpfen und Bartgrundeln) verhindert grosse Individuendichten im ansonsten für Amphibien attraktiven Gewässer. Eine vollständige Trockenlegung des Gewässers im Herbst zur Entfernung der Fischbestände wäre sehr wünschenswert. Ist dies nicht möglich, sollte mittels kleineren Erdbewegungen zumindest der fischfreie Bereich besser vom Rest getrennt werden (türkisfarbene Linie in Abb. 3). Eine zusätzliche Vertiefung am Südende der Mulde würde ebenfalls einen wertvollen fischfreien Kleinweiher generieren (gelber Bereich in Abb. 3).



Die offene Wasserfläche ist durch den starken Seggenwuchs sehr klein. Aus Sicht der Amphibien wäre es zwingend notwendig, den Weiher im Herbst auszuräumen, und die Wasserfläche wieder zu vergrössern. Diese Massnahme ist nur sinnvoll, falls der Weiher fischfrei gemacht werden kann bzw. falls klare Abtrennungen möglich sind, die zu fischfreien Kompartimenten führen.

Abb. 3: Skizze Kleinweiher. Blau: offene Wasserflächen, Grün: dichter Seggenbestand, Braun: Erderhebungen über Wasserstand, Gelb: flacher, trockengefallener Bereich, Rot: Einlauf, Türkis: Abtrennung fischfreier Bereich – Bereich mit Fischvorkommen.

Ausblick

Die stark gefährdete Gelbbauchunke, ursprünglich eine Art dynamischer Auen, könnte nach gezielten, kleinräumig radikalen Aufwertungen, und natürlich mit etwas Glück, ins Gebiet einwandern. Die Gelbbauchunke braucht ca. jedes zweite Jahr ein Set mehrerer neuer, gut besonnter Tümpel. Allenfalls könnte dieser Ansatz im Zusammenhang mit den Revitalisierungsmassnahmen weiterverfolgt werden.

Quellen

• Kartenmaterial: www.geo.admin.ch

Anhang

• Tabellen mit Rohdaten der Beobachtungen und Fallenfängen

Rohdaten Beobachtungen (ohne Fallenfänge)

		Altlauf Nordende	Bach	Kleinweiher
	Fadenmolch	171		1Ad
	Bergmolch			
Ę	Erdkröte	27.3. 1LS, 2Ad		5.4. 50 LV, 1Ad
Amphibien	Grasfrosch 27.3. 110LB, 1Ad 5.4. 50LV, LB		27.3. 1 LB	14.3. 7LB, 3Ad 5.4. 60 LV
Am	Seefrosch	17.6. 2 Ad		
	Grünfrosch unbestimmt	27.3. 1Ad 29.5. 3 Ad * 17.6. 6Ad		18. 4. 1Ad 17.6. 2 Ad
Übrige	Ringelnatter	27.3. 1juv 18.4. 1 Ad		
———	Fische	27.3. 1 Hecht tot (20cm), 1 Rotfeder		3 Spiegelkarpfen

Adulttiere (Ad), Larven (LV), Laichballen (LB), Laichschnur (LS)

^{*)} Beobachtung P. Geissbühler

Rohdaten Fallenfänge Kleinweiher

17.	bis 18. April	Falle 1	Falle 2	Falle 3	Falle 4				
	Fadenmolch	96 900 9 730 98	4Ad	3Ad	12Ad				
E Be	Bergmolch								
Amphibien	Erdkröte								
npł	Grasfrosch	1juv		8 LV					
Ā	Seefrosch								
	Grünfrosch unbestimmt								
Fische	Bartgrundel	1	1						

18.	bis 19. April	Falle 1	Falle 2	Falle 3	Falle 4
	Fadenmolch	3Ad	6Ad	1Ad	11Ad
eu	Bergmolch	18.18			1Ad
įģ	Erdkröte				
Amphibien	Grasfrosch	2 n = 1			3LV
₹	Seefrosch				-
	Grünfrosch unbestimmt				
Fische	Bartgrundel	1	2	2	

19. l	ois 20. April	Falle 1	Falle 2	Falle 3	Faile 4			
	Fadenmolch	1Ad	6Ad	7Ad	10Ad			
en	Bergmolch				3Ad			
įģi	Erdkröte							
Amphibien	Grasfrosch	1LV						
Ā	Seefrosch							
	Grünfrosch unbestimmt							
Fische	Bartgrundel				0			

Adulttiere (Ad), Larven (LV), Laichballen (LB), Laichschnur (LS)

Rohdaten Fallenfänge Altlauf

ÜŁ	orige		Amphibien						
		Grünfrosch unbestimmt	Seefrosch	Grasfrosch	Erdkröte	Bergmolch	Fadenmolch	17. bis 18. April	
				2 LV				Falle 1	
				1 LV				Falle 2	
zah	4 Gelbrand/Gaukler							Falle 1 Falle 2 Falle 3	
zahlreiche Rückenschwim	Stichling							Falle 4	
nschwimi					1 LV			Falle 5	
mer in allen Fallen								Falle 6	
SN.							3	Falle 7	
								Falle 7 Falle 8	

Ü	brige		Amphibien						
		Grünfrosch unbestimmt	Seefrosch	Grasfrosch	Erdkröte	Bergmolch	Fadenmolch	18. DIS 19. April	
	B							Falle 1	
								Falle 1 Falle 2 Falle 3	
zahlrei	1 Gelbrand/Gaukler							Falle 3	
che Rückens								Falle 4	
chwimm								Falle 5	
zahlreiche Rückenschwimmer in fast allen Fallen	Stichling, Weissfisch							Falle 6	
								Falle 7	
	5 Gelbrand/Gaukler							Falle 7 Falle 8	

ÜŁ	orige		Amphibien						
		Grünfrosch unbestimmt	Seefrosch	Grasfrosch	Erdkröte	Bergmolch	Fadenmolch	19. bis 20. April	
								Falle 1	
								Falle 1 Falle 2 Falle 3	
Z				5 LV				Falle 3	
zahlreiche Rückenschwimmer in fast allen Fallen								Falle 4	
chwimm								Falle 5	
er in fast allen Fa						~		Falle 6	
llen								Falle 7	
								Falle 7 Falle 8	

Adulttiere (Ad), Larven (LV), Laichballen (LB), Laichschnur (LS)

Hochwasserschutz und Revitalisierung Emme Solothurn, Wehr Biberist bis Aare Ausgangserhebung Erfolgskontrolle Anhang E